

Université de Tunis  
Institut Supérieur de Gestion  
École Doctorale Sciences de Gestion



# Motifs corrélés rares : Caractérisation et nouvelles représentations concises

Mémoire en vue de l'obtention du Mastère en  
*Informatique Appliquée à la Gestion*

Présenté par :

**Souad BOUASKER**

Sous la direction de :

**Mr. Sadok BEN YAHIA**  
**Mr. Tarek HAMROUNI**

Année Universitaire 2010/2011



## *Dédicaces*

*À la mémoire de mon père qui est toujours présent dans mon esprit et mon cœur. À ton âme papa, et la mémoire du grand amour que tu m'as offert, je dédie ma réussite.*

*À ma chère mère à qui je dois tout et dont l'amour, l'affection, les encouragements et la patience ont été pour moi le meilleur gage de réussite. En témoignage de ma reconnaissance et mon attachement.*

*À ma famille, à qui je dois tout mon bonheur et ma prospérité*

*À mes maîtres, à qui je tiens à leur montrer que je suis et je reste à l' hauteur de leur espérances*

*Et enfin à tous ceux qui m'ont soutenu de près ou de loin durant mes études*

*Je dédie ce modeste travail*

*Souad*



## *Remerciements*

Au terme de ce travail, je commence tout d'abord par saluer vivement les membres du jury pour l'honneur qu'ils me font en acceptant d'évaluer ce modeste travail.

Mes remerciements les plus cordiaux s'adressent à mon directeur de mémoire Monsieur **Sadok BEN YAHIA**, Maître de Conférences à la Faculté des Sciences de Tunis, pour son implication, sa disponibilité incessante et ses conseils rigoureux. Puissent ces lignes être l'expression de ma plus profonde reconnaissance.

Mes remerciements les plus sincères et ma gratitude s'adressent à mon co-directeur de mémoire Monsieur **Tarek HAMROUNI**, Assistant à l'Institut Supérieur des Arts Multimédias de La Mannouba. Sa patience, sa disponibilité, sa rigueur scientifique, son sens critique m'ont été d'une aide précieuse et ses judicieux conseils qui ont contribué à l'amélioration de ce mémoire.

Je tiens également à remercier tous ceux qui ont contribué à la réalisation de ce travail.



# Table des matières

<b>Introduction générale</b>	<b>1</b>
<b>1 Notions de base</b>	<b>7</b>
1.1 Introduction . . . . .	7
1.2 Extraction des motifs . . . . .	7
1.3 Motifs rares . . . . .	11
1.4 Motifs corrélés selon la mesure <i>bond</i> . . . . .	12
1.5 Opérateur de fermeture $f_{bond}$ associé à la mesure <i>bond</i> . . . . .	15
1.6 Représentations concises d'un ensemble de motifs . . . . .	18
1.7 Conclusion . . . . .	19
<b>2 État de l'art de la fouille des motifs sous contraintes</b>	<b>21</b>
2.1 Introduction . . . . .	21
2.2 État de l'art de la fouille des motifs rares . . . . .	22
2.2.1 Extraction des motifs rares . . . . .	22
2.2.2 Discussion . . . . .	26
2.3 État de l'art de la fouille des motifs corrélés . . . . .	28
2.3.1 Mesures de corrélation . . . . .	28
2.3.2 Extraction des motifs corrélés . . . . .	31
2.3.3 Extraction des représentations concises des motifs corrélés fréquents	34
2.3.4 Extraction des motifs corrélés sous la conjonction de contraintes de types opposés . . . . .	34
2.3.5 Discussion . . . . .	35
2.4 État de l'art des approches traitant de la conjonction de contraintes mo- notones et de contraintes anti-monotones . . . . .	37
2.4.1 L'approche DUALMINER . . . . .	39
2.4.2 Les approches MCP et ACP . . . . .	40
2.4.3 Les approches VST et FAVST . . . . .	42
2.4.4 Les approches DPC-COFI et BIFOLD-LEAP . . . . .	43
2.4.5 L'approche EXAMINER . . . . .	44
2.4.6 Les approches d'extraction de représentations concises de motifs fréquents sous la conjonction de contraintes de types opposés . . . . .	45
2.4.7 Discussion . . . . .	47
2.5 Conclusion . . . . .	48

<b>3</b>	<b>Nouvelles représentations concises des motifs corrélés rares</b>	<b>51</b>
3.1	Introduction . . . . .	51
3.2	Caractérisation des motifs corrélés rares . . . . .	51
3.2.1	Définition des motifs corrélés rares . . . . .	51
3.2.2	Étude des propriétés spécifiques des motifs corrélés rares . . . . .	54
3.3	Mécanisme d'intégration des contraintes de rareté et de corrélation . . . . .	57
3.3.1	Premier scénario . . . . .	57
3.3.2	Deuxième scénario . . . . .	58
3.3.3	Synthèse des deux scénarios . . . . .	59
3.4	Caractérisation des classes d'équivalence corrélées rares . . . . .	60
3.5	Motivations de l'extraction des représentations concises exactes des motifs corrélés rares . . . . .	61
3.6	Représentations concises exactes des motifs corrélés rares . . . . .	62
3.6.1	La représentation concise exacte $\mathcal{RMCR}$ . . . . .	63
3.6.2	La représentation concise exacte $\mathcal{RMMaxF}$ . . . . .	66
3.6.3	La représentation concise exacte $\mathcal{RMinMF}$ . . . . .	68
3.7	La représentation concise approximative $\mathcal{RMinMMaxF}$ . . . . .	70
3.8	Conclusion . . . . .	73
<b>4</b>	<b>Approches d'extraction des motifs corrélés rares et des représentations proposées</b>	<b>75</b>
4.1	Introduction . . . . .	75
4.2	CRP_MINER : Algorithme d'extraction de l'ensemble $\mathcal{MCR}$ de tous les motifs corrélés rares . . . . .	75
4.2.1	Description de l'algorithme CRP_MINER . . . . .	76
4.2.2	Étape 1 : Extraction des motifs corrélés maximaux . . . . .	77
4.2.3	Étape 2 : Extraction des items corrélés rares . . . . .	78
4.2.4	Étape 3 : Extraction des motifs corrélés rares de taille supérieure ou égale à deux . . . . .	78
4.2.5	Trace d'exécution de l'algorithme CRP_MINER . . . . .	82
4.3	CRPR_MINER : Algorithme d'extraction de la représentation concise exacte $\mathcal{RMCR}$ . . . . .	84
4.3.1	Description de l'algorithme CRPR_MINER . . . . .	84
4.3.2	Étape 1 : Extraction des motifs corrélés maximaux . . . . .	85
4.3.3	Étape 2 : Extraction de tous les motifs minimaux et fermés corrélés rares . . . . .	86
4.3.4	Trace d'exécution de l'algorithme CRPR_MINER . . . . .	89
4.3.5	Extraction de la représentation concise exacte $\mathcal{RMMaxF}$ . . . . .	92
4.3.6	Extraction de la représentation concise exacte $\mathcal{RMinMF}$ . . . . .	92
4.3.7	Preuves théoriques . . . . .	93
4.4	Algorithmes d'interrogation et de régénération des motifs corrélés rares à partir de la représentation $\mathcal{RMCR}$ . . . . .	95
4.4.1	Interrogation de la représentation concise exacte $\mathcal{RMCR}$ . . . . .	95
4.4.2	Régénération de l'ensemble total de tous les motifs corrélés rares . . . . .	97
4.5	Conclusion . . . . .	99

---

<b>5 Étude expérimentale</b>	<b>101</b>
5.1 Introduction . . . . .	101
5.2 Environnement d'expérimentations . . . . .	101
5.3 Évaluation expérimentale pour des bases de test "benchmark" . . . . .	102
5.3.1 Description des bases de test . . . . .	102
5.3.2 Étude des cardinalités pour des bases denses . . . . .	103
5.3.3 Étude des cardinalités pour des bases éparses . . . . .	110
5.4 Étude des temps d'extraction des représentations concises proposées . . . . .	112
5.5 Application de la représentation concise exacte $\mathcal{RMCR}$ dans le cadre de la détection d'intrusions . . . . .	113
5.5.1 Description des bases de données . . . . .	113
5.5.2 Description du processus de traitement des bases de détection d'in- trusion . . . . .	114
5.5.3 Évaluation expérimentale de l'efficacité de la classification basée sur les règles d'association corrélées rares . . . . .	118
5.6 Conclusion . . . . .	121
<b>Conclusion générale</b>	<b>121</b>
<b>Bibliographie</b>	<b>124</b>
<b>A Tableaux des résultats expérimentaux</b>	<b>137</b>



# Table des figures

1.1	Treillis des motifs associés au contexte $\mathcal{D}$ pour $minsupp = 3$ . . . . .	13
2.1	Trace d'exécution de l'algorithme MINIT pour $minsupp = 3$ et $S = 3$ . . . . .	25
2.2	Trace d'exécution de l'algorithme DUALMINER pour le contexte $\mathcal{D}$ . . . . .	40
2.3	Le principe de déroulement de l'algorithme EXAMINER pour le contexte $\mathcal{D}$ . . . . .	45
3.1	Espace des motifs corrélés rares pour $minsupp = 4$ et $minbond = 0,2$ . . . . .	52
3.2	Effet de l'application de la contrainte de corrélation pour $minsupp = 3$ et $minbond = 0,3$ . . . . .	58
3.3	Effet de l'application de la contrainte de rareté pour $minsupp = 3$ et $minbond = 0,2$ . . . . .	59
5.1	Processus de traitement des données depuis l'extraction des motifs jusqu'au la tâche de la classification. . . . .	115



# Liste des tableaux

1	Extrait d'un fichier log d'accès à un serveur Web. . . . .	2
1.1	Un exemple d'une base de transactions. . . . .	8
2.1	Tableau comparatif des algorithmes de fouille des motifs rares. . . . .	27
2.2	Table de contingence de l'itemset 'AC' associé au contexte $\mathcal{D}$ . . . . .	30
2.3	Tableau comparatif des algorithmes d'extraction des motifs corrélés fréquents. . . . .	38
2.4	Tableau comparatif des algorithmes d'extraction des motifs corrélés sous la conjonction de contraintes de types opposés. . . . .	39
2.5	Tableau comparatif des algorithmes traitant des contraintes de types opposés. . . . .	49
4.1	Notations adoptées dans l'algorithme CRP_MINER. . . . .	76
4.2	Notations adoptées dans l'algorithme CRPR_MINER. . . . .	85
4.3	Résultat de l'exécution de l'algorithme CRPR_MINER pour $minsupp = 3$ et $minbond = 0,20$ . . . . .	91
4.4	Notations adoptées dans les algorithmes REGENERATE et CRP_REGENERATION . . . . .	95
5.1	Caractéristiques des bases de test "benchmark". . . . .	102
5.2	Liste des attributs dans les bases DARPA 1998. . . . .	115
5.3	Caractéristiques des bases de données DARPA 1998 pré-traitées. . . . .	116
5.4	Évaluation expérimentale du nombre de motifs extraits pour les différentes bases de détection d'intrusions. . . . .	116
5.5	Évaluation expérimentale pour les différentes bases de détection d'intrusions. . . . .	119
5.6	Évaluation expérimentale de l'efficacité des règles de classification corrélées rares. . . . .	119
5.7	Taux de détection en pourcentage obtenus pour différentes approches de détection d'intrusions. . . . .	120
5.8	Comparaison entre les règles génériques corrélées rares de classification et l'approche WIFI MINER basée sur les motifs rares. . . . .	121
A.1	Cardinalités des ensembles extraits en fonction de $minsupp$ pour les bases denses CHESS et MUSHROOM. . . . .	138
A.2	Cardinalités des représentations concises extraites en fonction de $minsupp$ pour les bases denses MUSHROOM et CHESS. . . . .	139
A.3	Cardinalités des ensembles extraits en fonction de $minsupp$ pour des bases denses. . . . .	140

A.4	Cardinalités des représentations concises extraites en fonction de <i>minsupp</i> pour des bases denses. . . . .	141
A.5	Cardinalités des ensembles extraits en fonction de <i>minbond</i> pour des bases denses. . . . .	142
A.6	Cardinalités des représentations concises extraites en fonction de <i>minbond</i> pour des bases denses. . . . .	143
A.7	Cardinalités des ensembles extraits en fonction de <i>minsupp</i> pour les bases éparses. . . . .	144
A.8	Cardinalités des représentations concises extraites en fonction de <i>minsupp</i> pour des bases éparses. . . . .	145
A.9	Cardinalités des ensembles extraits en fonction de <i>minbond</i> pour des bases éparses. . . . .	146
A.10	Cardinalités des représentations concises extraites en fonction de <i>minbond</i> pour des bases éparses. . . . .	147





# Liste des Algorithmes

1	CRP_MINER . . . . .	81
2	CALCUL_SUPPORTS_BOND . . . . .	82
3	CRPR_MINER . . . . .	87
4	CALCUL_SUPPORTS_FERMETURES . . . . .	90
5	REGENERATE . . . . .	96
6	CRP_REGENERATION . . . . .	98



# Introduction générale

L'extraction des règles d'association est une technique très répandue dans la fouille de données et répond aux besoins des experts dans plusieurs domaines d'application [Ayouni *et al.*, 2010, Hamrouni *et al.*, 2008, Ben Othman et Ben Yahia, 2008]. Plusieurs travaux se sont ainsi focalisés sur la dérivation des règles d'association à partir des motifs fréquents. Toutefois, l'utilisation de ces motifs ne constitue pas une solution intéressante pour certaines applications, telles que la détection d'intrusions, la détection des fraudes, l'identification des valeurs extrêmes dans les bases de données, l'analyse des données criminelles, l'analyse du désordre génétique à partir des données biologiques, l'analyse des maladies rares à partir des données médicales, l'analyse des données d'apprentissage en ligne, etc. [Booker, 2009, He et Xu, 2005, Koh et Rountree, 2010, Mahmood *et al.*, 2010, Manning *et al.*, 2008, Romero *et al.*, 2010, Szathmary *et al.*, 2010, Gasmi *et al.*, 2007].

En effet, dans de telles situations, un comportement fréquent peut être sans valeur ajoutée pour l'utilisateur final. Par contre, les événements peu fréquents sont les plus intéressants parce qu'ils indiquent qu'un événement inattendu, une exception par exemple [Taniar *et al.*, 2008], est survenue. Une étude doit alors continuer afin de déterminer les causes possibles de ce changement peu commun du comportement normal.

La fouille des motifs rares s'est alors avérée d'une réelle valeur ajoutée [Koh et Rountree, 2010, Yun *et al.*, 2003, Weiss, 2004]. En effet, ces motifs, ayant une fréquence d'apparition dans la base inférieure à un certain seuil donné, permettent de cerner les événements rares, peu communs, inattendus, exceptionnels, cachés, etc. [Berberidis et Vlahavas, 2007, Padmanabhan et Tuzhilin, 2006, Weiss, 2004]. En effet, la détection des valeurs extrêmes est une tâche utile dans plusieurs applications réelles comme la détection des fraudes des cartes de crédit, la découverte des activités criminelles dans le commerce électronique et le marketing.

Comme illustration des applications des motifs rares dans le domaine de la sécurité informatique [Brahmi *et al.*, 2010], étant donné un fichier log qui représente les tentatives de connexions effectuées sur un serveur Web d'authentification, ces motifs véhiculent les

Adresse IP	Port	Authentification	Date
197.2.123.87	23	NV	$d_1$
197.1.104.19	1221	NV	$d_2$
194.23.22.2	80	V	$d_3$
197.1.104.19	225	V	$d_4$
197.2.123.29	21	V	$d_5$
197.1.104.19	1221	NV	$d_6$
⋮	⋮	⋮	⋮
197.1.156.27	145	V	$d_n$

TABLE 1 – Extrait d’un fichier log d’accès à un serveur Web.

informations liées aux tentatives d’attaques à savoir par exemple l’origine des attaques, les ports les plus attaqués et les services les plus visés. Considérons par exemple la table 1 qui représente un échantillon réduit d’un tel fichier V dénote Valide, NV dénote Non Valide, et  $d_i$  une date d’accès. Par exemple, si le motif  $(197.1.104.19, 1221, NV)$  s’avère rare, l’adresse  $197.1.104.19$  peut être considérée à l’origine d’une attaque sur le port 1221. Une analyse détaillée de ses accès est alors à effectuer.

Dans la pratique, l’exploitation des motifs rares est confrontée à diverses contraintes dont les principales sont : (i) l’extraction complexe de ces motifs qui ne bénéficient pas des propriétés des motifs fréquents et par conséquent les critères d’élagage appliqués pour ces derniers ne sont pas exploitables ; (ii) le nombre très important des motifs rares qui ne sont pas aussi rares, dans les applications réelles, que laisserait présager leur qualificatif ; et (iii) la qualité des motifs rares extraits et qui peuvent comporter des items qui n’ont aucun lien sémantique entre eux. Par exemple, le motif composé par les items “*Lait*” et “*Caviar*” est un motif rare. Cependant, aucune corrélation n’existe entre le produit “*Lait*” très fréquemment acheté et le produit “*Caviar*” cher et rarement acheté.

Afin que l’exploitation des motifs extraits soit fructueuse, leur nombre relativement réduit et leur qualité intéressante sont deux critères importants que doit chercher à faire émerger un processus de fouille. Dans le domaine médical ou encore dans la sécurité des réseaux informatiques par exemple, une information exacte et précise est exigée. Ainsi, l’idée d’extraire les motifs rares tout en intégrant les mesures de corrélations est d’une grande utilité. En effet, l’intégration de telles mesures permet de limiter l’ensemble extrait aux motifs rares ayant une corrélation entre leurs items dépassant un certain seuil de corrélation. Ces motifs *corrélés rares* offrent ainsi un fort lien sémantique entre les items

les composant.

Dans [Hamrouni *et al.*, 2011], les auteurs ont proposé des représentations concises *sans perte d'information*, appelées aussi *exactes*, des motifs rares sans aucune considération des mesures de corrélations dans le processus de fouille. Une étude des représentations concises des motifs fréquents [Calders *et al.*, 2005] a été alors menée afin de proposer celles des motifs rares. Elle a prouvé l'intérêt de considérer la notion de classe d'équivalence, associée à l'opérateur de fermeture conjonctive [Ganter et Wille, 1999], permettant de réduire la redondance au sein des motifs en regroupant ensemble ceux caractérisant un même ensemble de transactions. Les éléments minimaux et maximaux de la classe, les générateurs minimaux (appelé aussi itemsets libres) et les itemsets fermés [Pasquier *et al.*, 2005] respectivement, sont ainsi à la base des représentations des motifs rares proposées. Par ailleurs, un des résultats clés de cette étude est que les représentations basées sur les règles de déduction [Calders *et al.*, 2005] et celles basées sur les identités d'inclusion-exclusion [Casali *et al.*, 2005, Hamrouni *et al.*, 2009] ne sont pas adaptées à la fouille des motifs rares.

D'autre part, l'approche présentée dans [Ben Younes *et al.*, 2010a, Ben Younes *et al.*, 2010a] utilise la mesure de corrélation *bond* [Omiecinski, 2003] pour l'extraction de représentations concises exactes des motifs corrélés fréquents. Ceci a permis de ne retenir qu'un sous-ensemble des motifs fréquents, constitué par les motifs présentant une forte corrélation entre les items les constituant. Le choix de cette mesure a été effectué sur la base d'une étude de ses propriétés qui se sont avérées plus intéressantes que celles d'autres mesures de corrélation. Toutefois, l'intégration d'une mesure de corrélation est d'une utilité encore plus grande dans le cas de la fouille des motifs rares. En effet, elle permet d'éviter l'extraction de motifs contenant des items n'ayant aucun lien sémantique entre eux ce qui expliquerait en quelque sorte pourquoi ces motifs sont rares. Ainsi, sans l'utilisation d'une mesure de corrélation, un motif rare peut ne représenter aucune information utile s'il est composé d'items faiblement corrélés entre eux. Un motif rare intéressant serait donc celui qui apparaît un nombre très faible de fois dans la base tout en ayant des items qui sont fortement liés, c.-é.-d. que l'apparition de l'un dépend de celles des autres.

Ainsi, dans ce mémoire, nous allons nous intéresser à l'extraction des représentations concises exactes des motifs corrélés rares. Dans ce cadre, nous nous intéressons à la mesure de corrélation *bond* correspondant au rapport entre le support conjonctif d'un motif et son support disjonctif. Notre choix de cette mesure est motivé par le cadre théorique dont elle bénéficie [Omiecinski, 2003] ainsi que l'étude structurelle qui a été effectuée dans [Ben Younes *et al.*, 2010a, Ben Younes *et al.*, 2010a]. En plus, il a été prouvé dans

[Surana *et al.*, 2010] que la mesure *bond* vérifie les propriétés théoriques que toute mesure de qualité dédiée aux règles d'association rares doit avoir. La mesure *bond* a été aussi utilisée dans l'approche de fouille de motifs corrélés proposée dans [Segond et Borgelt, 2011]. L'extraction des motifs corrélés a été alors montrée plus complexe tout en étant plus informative que celle des motifs fréquents [Segond et Borgelt, 2011]. Il est toutefois important de noter qu'aucune étude de l'ensemble des motifs corrélés rares n'a été effectuée dans [Segond et Borgelt, 2011, Surana *et al.*, 2010].

Grace à cette propriété d'anti-monotonie, les motifs corrélés, selon la mesure *bond*, induisent un idéal d'ordre dans le treillis des motifs (tout sous-ensemble d'un motif corrélé est aussi corrélé). Par opposition à ces derniers, les motifs rares induisent un filtre d'ordre et vérifient une contrainte monotone (tout sur-ensemble d'un motif rare est aussi rare). Par conséquent, l'ensemble des motifs corrélés rares que nous visons à extraire résulte de l'intersection des deux théories [Mannila et Toivonen, 1997] associées respectivement aux contraintes de corrélation et de rareté.

La nature opposée de ces contraintes permet de différencier l'ensemble des motifs corrélés rares de l'ensemble des motifs induit par une ou plusieurs contraintes de même type [Boulicaut et Jeudy, 2010] [Pei et Han, 2004]. Cette caractéristique rend plus complexe l'extraction de l'ensemble des motifs corrélés rares. À cet égard, nous proposons dans ce mémoire une caractérisation de cet ensemble moyennant la notion de classe d'équivalence. Dans notre cas, les classes d'équivalence seront induites par l'opérateur de fermeture associé à la mesure de corrélation *bond*. Ces classes jouent un rôle clé dans l'élimination de la redondance entre les motifs. Une fois la caractérisation effectuée, nous proposons des représentations exactes des motifs corrélés rares. Ces représentations permettent d'une part de réduire significativement le nombre de motifs corrélés rares extraits. Elles améliorent aussi leur qualité et ce en évitant la redondance entre motifs puisqu'elles ne maintiennent qu'un sous-ensemble sans perte d'information de l'ensemble total des motifs corrélés rares. D'autre part, elles assurent la régénération aisée et efficace de l'ensemble des motifs corrélés rares. Il est aussi important de noter que les représentations proposées permettent non seulement la dérivation du support conjonctif mais aussi des supports disjonctif et négatif des motifs corrélés rares. Ceci permet par exemple d'utiliser ces motifs comme base pour l'extraction des règles généralisées ou les connecteurs de disjonction et de négation sont utilisés en plus de celui classique de conjonction [Hamrouni *et al.*, 2010].

Au meilleur de notre connaissance, aucune étude n'a été réalisée dans la littérature dans le but de proposer une représentation concise des motifs corrélés rares. Par ailleurs, une autre originalité de ce travail consiste en la nature des contraintes manipulées et

la caractérisation de l'ensemble résultant moyennant une relation d'équivalence. Nous signalons aussi que l'approche proposée dans ce travail n'est pas restreinte aux motifs corrélés rares selon cette mesure. En effet, elle est générique dans le sens qu'elle s'applique à tout ensemble de motifs corrélés rares selon toute mesure de corrélation vérifiant les mêmes propriétés structurelles que la mesure *bond* telle que par exemple la mesure *all-confidence* [Omiécinski, 2003] <sup>(1)</sup>. Il est toutefois à noter que la mesure *bond* a pour avantage de permettre la dérivation des supports disjonctif et négatif, ce que ne peut pas permettre les autres mesures.

## Structure du mémoire

La synthèse des travaux de recherches effectués sera présentée dans le cadre de ce mémoire et répartie dans cinq chapitres comme suit.

Dans le **premier chapitre**, nous présentons les notions de base qui seront utilisées tout au long de ce travail. Ces notions de bases incluent les notions préliminaires relatives à l'extraction des motifs intéressants et des représentations concises exactes de ces derniers. Les caractéristiques des motifs rares et des motifs corrélés selon la mesure *bond* y seront aussi présentés. De plus, nous intégrons la présentation des opérateurs de fermetures et nous spécifions précisément l'opérateur de fermeture  $f_{bond}$  associé à la mesure de corrélation *bond*.

Le **deuxième chapitre** décrit les approches d'extraction des motifs rares et les différentes approches d'extraction des motifs corrélés sous contraintes. Nous y étudions et analysons aussi les algorithmes d'extraction de motifs sous la conjonction de contraintes de types opposés.

Dans le **troisième chapitre**, nous définissons et étudions profondément les propriétés de l'ensemble des motifs corrélés rares selon la mesure *bond*. Nous présentons aussi les spécificités des classes d'équivalence corrélées rares. Ensuite, nous exposons les nouvelles représentations concises exactes des motifs corrélés rares selon la mesure *bond* à savoir  $\mathcal{RMCR}$ ,  $\mathcal{RMMaxF}$  et  $\mathcal{RMinMF}$ . Nous clôturons ce chapitre avec la définition et l'étude de la représentation concise approximative  $\mathcal{RMinMMaxF}$ .

Dans le **quatrième chapitre**, nous introduisons le nouvel algorithme `CRP_MINER` d'extraction de l'ensemble total des motifs corrélés rares dans un premier temps. Ensuite,

---

1. Mathématiquement équivalente à la mesure *h-confidence* [Xiong *et al.*, 2006].

nous présentons l'algorithme `CRPR_MINER` d'extraction des représentations concises proposées. Nous démontrons ses propriétés théoriques de validité et de terminaison. Par ailleurs, nous décrivons les stratégies d'interrogation et de régénération des motifs corrélés rares à partir de la représentation concise exacte  $\mathcal{RMCR}$  et nous proposons et décrivons les algorithmes dédiés.

Le **cinquième chapitre** présente les études expérimentaux menées sur des bases "benchmark". Cette étude s'étalera sur deux principaux axes. Le premier axe concerne la quantification et l'analyse des taux de compacité des différentes représentations concises proposées. Le deuxième axe concerne la comparaison et l'analyse de la variation des coûts d'extraction des différentes représentations proposées. De plus, nous décrivons le processus d'extraction des règles de classification corrélées rares à partir de la représentation concise exacte  $\mathcal{RMCR}$ . Nous évaluons expérimentalement l'efficacité de la classification basée sur ces règles dans le cadre de la détection d'intrusions.

Ce mémoire se termine par une conclusion générale récapitulant l'ensemble de nos contributions et cernant les principales perspectives futures de travaux de recherche.

# Chapitre 1

## Notions de base

### 1.1 Introduction

Nous repérons, dans ce chapitre, les notions de base que nous estimons primordiales dans la présentation de nos approches. À cet égard, la première section sera consacrée à l'introduction des notions préliminaires sur laquelle est basée l'extraction des motifs. Nous enchaînons, dans la deuxième section, avec la présentation des propriétés des motifs rares. Ensuite, la troisième section sera dédiée à la présentation des motifs corrélés selon la mesure de corrélation *bond*. La quatrième section sera consacrée à la présentation de l'opérateur de fermeture  $f_{bond}$  [Ben Younes *et al.*, 2010a] associé à la mesure *bond*. Ce chapitre sera clôturé avec une définition des représentations concises associés à un ensemble de motifs.

### 1.2 Extraction des motifs

Nous commençons par présenter l'ensemble des notions de base relatives à l'extraction des motifs, qui seront utilisés tout au long de ce travail. Définissons d'abord une base de transactions à partir de laquelle se fait l'extraction des motifs intéressants.

**Définition 1** (*Base de transactions*) Une base de transactions (appelée aussi contexte d'extraction ou simplement contexte) est représentée sous la forme d'un triplet  $\mathcal{D} = (\mathcal{T}, \mathcal{I}, \mathcal{R})$  dans lequel  $\mathcal{T}$  et  $\mathcal{I}$  sont, respectivement, des ensembles finis de transactions (ou objets) et d'items (ou attributs), et  $\mathcal{R} \subseteq \mathcal{T} \times \mathcal{I}$  est une relation binaire entre les transactions et les items. Un couple  $(t, i) \in \mathcal{R}$  dénote le fait que la transaction  $t \in \mathcal{T}$  contient l'item  $i \in \mathcal{I}$ .

**Exemple 1** Un exemple d'une base de transactions  $\mathcal{D} = (\mathcal{T}, \mathcal{I}, \mathcal{R})$  (resp. contexte d'extraction  $\mathcal{K} = (\mathcal{O}, \mathcal{I}, \mathcal{R})$ ) est donné par la table 1.1. Dans cette base (resp. ce contexte), l'ensemble de transactions  $\mathcal{T} = \{1, 2, 3, 4, 5\}$  (resp. d'objets  $\mathcal{O} = \{1, 2, 3, 4, 5\}$ ) et l'ensemble d'items  $\mathcal{I} = \{A, B, C, D, E\}$ . Le couple  $(2, B) \in \mathcal{R}$  car la transaction  $2 \in \mathcal{T}$  contient l'item  $B \in \mathcal{I}$ .

	A	B	C	D	E
1	×		×	×	
2		×	×		×
3	×	×	×		×
4		×			×
5	×	×	×		×

TABLE 1.1 – Un exemple d'une base de transactions.

**Remarque 1** Nous notons, par souci de précision, que les notations de base de transactions et de contexte d'extraction seront les mêmes dans la suite. Ils seront notés  $\mathcal{D} = (\mathcal{T}, \mathcal{I}, \mathcal{R})$ .

### Définition 2 *Itemset ou Motif*

Une transaction  $t \in \mathcal{T}$ , avec un identificateur communément noté *TID* (*Tuple IDentifier*), contient un ensemble, non vide, d'items de  $\mathcal{I}$ . Un sous-ensemble  $I$  de  $\mathcal{I}$  ou  $k = |I|$  est appelé un  $k$ -motif ou simplement un motif, et  $k$  représente la cardinalité de  $I$ . Le nombre de transactions  $t$  d'une base  $\mathcal{D}$  contenant un motif  $I$ ,  $|\{t \in \mathcal{D} \mid I \subseteq t\}|$ , est appelé support absolu de  $I$  et noté par la suite  $\text{Supp}(\wedge I)$ . Le support relatif de  $I$  ou la fréquence de  $I$ , notée  $\text{freq}(I)$ , est le quotient de son support absolu par le nombre total de transactions de  $\mathcal{D}$ , c.-é.-d.,  $\text{freq}(I) = \frac{|\{t \in \mathcal{D} \mid I \subseteq t\}|}{|\mathcal{T}|}$ .

**Remarque 2** Nous signalons que dans ce travail, nous nous intéressons à la classe des motifs formée par des itemsets, c.-é.-d., des ensembles d'items. Par conséquent, nous employons dans la suite une forme sans séparateur pour dénoter les itemsets. Par exemple,  $AC$  représente l'ensemble d'items  $\{A, C\}$ .

Introduisons à ce stade la notion de treillis des motifs.

**Définition 3 (*Treillis des motifs*)** Un treillis des motifs est un regroupement conceptuel et hiérarchique des motifs. Il est aussi dit treillis d'inclusion ensembliste. Toutefois,

l'ensemble des parties de  $\mathcal{I}$  est ordonné par inclusion ensembliste dans le treillis des motifs. Le treillis des motifs associé au contexte donné par la table 1.1 est représenté par la figure 1.1.

Toutefois, plusieurs mesures sont utilisées pour évaluer l'intérêt d'un motif, dont les plus connues sont présentées à travers la définition 4.

**Définition 4 (Supports d'un motif)** Soient  $\mathcal{D} = (\mathcal{T}, \mathcal{I}, \mathcal{R})$  une base de transactions et un motif non vide  $I \subseteq \mathcal{I}$ . Nous distinguons trois types de supports correspondants à  $I$  :

- **Le support conjonctif** :  $Supp(\wedge I) = |\{t \in \mathcal{T} \mid \forall i \in I : (t, i) \in \mathcal{R}\}|$
- **Le support disjonctif** :  $Supp(\vee I) = |\{t \in \mathcal{T} \mid \exists i \in I : (t, i) \in \mathcal{R}\}|$
- **Le support négatif** :  $Supp(\neg I) = |\{t \in \mathcal{T} \mid \forall i \in I : (t, i) \notin \mathcal{R}\}|$

Il est à noter que la loi de De Morgan assure la transition entre le support disjonctif et le support négatif de  $I$  comme suit :  $Supp(\neg I) = |\mathcal{T}| - Supp(\vee I)$ .

**Exemple 2** Considérons la base de transactions illustrée par la table 1.1 et qui sera utilisée dans la suite pour les différents exemples. Nous avons  $Supp(\wedge AD) = |\{1\}| = 1$ ,  $Supp(\vee AD) = |\{1, 3, 5\}| = 3$ , et,  $Supp(\neg(AD)) = |\{2, 4\}| = 2$ <sup>(1)</sup>.

Dans la suite, s'il n'y a pas de risque de confusion, le *support conjonctif* sera simplement appelé *support*. La définition suivante présente le statut de fréquence d'un motif, fréquent ou infrequent, étant donné un seuil minimal de support [Agrawal et Srikant, 1994].

**Définition 5 (Motif fréquent/rare)** Soit une base de transactions  $\mathcal{D} = (\mathcal{T}, \mathcal{I}, \mathcal{R})$ , un seuil minimal de support conjonctif  $minsupp$ , un motif  $I \subseteq \mathcal{I}$  est dit fréquent si  $Supp(\wedge I) \geq minsupp$ .  $I$  est dit infrequent ou rare sinon.

**Exemple 3** Soit  $minsupp = 2$ .  $Supp(\wedge BCE) = 3$ , le motif *BCE* est un motif fréquent. Cependant, le motif *CD* est non fréquent ou rare puisque  $Supp(\wedge CD) = 1 < 2$ .

Outre la contrainte de fréquence minimale traduite par le seuil  $minsupp$ , d'autres contraintes peuvent être intégrées dans le processus d'extraction des motifs. Ces contraintes admettent différents types, dont les deux principaux sont définis dans ce qui suit [Pei et Han, 2004].

**Définition 6 (Contrainte anti-monotone/monotone)**

- Une contrainte  $Q$  est anti-monotone si  $\forall I \subseteq \mathcal{I}, \forall I_1 \subseteq I : I$  satisfait  $Q \Rightarrow I_1$  satisfait  $Q$ .
- Une contrainte  $Q$  est monotone si  $\forall I \subseteq \mathcal{I}, \forall I_1 \supseteq I : I$  satisfait  $Q \Rightarrow I_1$  satisfait  $Q$ .

---

1. Nous employons une forme sans séparateur pour les ensembles d'items : par exemple, *AD* représente l'ensemble  $\{A, D\}$ .

**Exemple 4** La contrainte de fréquence, c.-é.-d. avoir un support supérieur ou égal à  $\text{minsupp}$ , est une contrainte anti-monotone. En effet,  $\forall I, I_1 \subseteq \mathcal{I}$ , si  $I_1 \subseteq I$  et  $\text{Supp}(\wedge I) \geq \text{minsupp}$ , alors  $\text{Supp}(\wedge I_1) \geq \text{minsupp}$  puisque  $\text{Supp}(\wedge I_1) \geq \text{Supp}(\wedge I)$ .

D'une manière duale, la contrainte de rareté, c.-é.-d. avoir un support strictement inférieur à  $\text{minsupp}$ , est monotone. En effet,  $\forall I, I_1 \subseteq \mathcal{I}$ , si  $I_1 \supseteq I$  et  $\text{Supp}(\wedge I) < \text{minsupp}$ , alors  $\text{Supp}(\wedge I_1) < \text{minsupp}$  puisque  $\text{Supp}(\wedge I_1) \leq \text{Supp}(\wedge I)$ .

Soit  $\mathcal{P}(\mathcal{I})$  l'ensemble de tous les sous-ensembles de  $\mathcal{I}$ . Dans ce qui suit, nous introduisons les notions duales d'idéal d'ordre et de filtre d'ordre [Ganter et Wille, 1999] définis sur  $\mathcal{P}(\mathcal{I})$ .

**Définition 7 (Idéal d'ordre)** Un sous-ensemble  $\mathcal{S}$  de  $\mathcal{P}(\mathcal{I})$  est un idéal d'ordre s'il vérifie les propriétés suivantes :

- Si  $I \in \mathcal{S}$ , alors  $\forall I_1 \subseteq I : I_1 \in \mathcal{S}$ .
- Si  $I \notin \mathcal{S}$ , alors  $\forall I \subseteq I_1 : I_1 \notin \mathcal{S}$ .

**Définition 8 (Filtre d'ordre)** Un sous-ensemble  $\mathcal{S}$  de  $\mathcal{P}(\mathcal{I})$  est un filtre d'ordre s'il vérifie les propriétés suivantes :

- Si  $I \in \mathcal{S}$ , alors  $\forall I_1 \supseteq I : I_1 \in \mathcal{S}$ .
- Si  $I \notin \mathcal{S}$ , alors  $\forall I \supseteq I_1 : I_1 \notin \mathcal{S}$ .

Une contrainte anti-monotone telle que la contrainte de fréquence induit un idéal d'ordre. D'une manière duale, une contrainte monotone telle que la contrainte de rareté forme un filtre d'ordre. L'ensemble des motifs satisfaisant une contrainte donnée est appelé *théorie* dans [Mannila et Toivonen, 1997]. Cette théorie est délimitée par deux bordures, une dite *bordure positive* et l'autre appelée *bordure négative*, et qui sont définies comme suit.

**Définition 9 (Bordure positive/négative)** [Bonchi et Lucchese, 2006]

Pour le cas d'une contrainte anti-monotone  $C_{am}$ , la bordure correspond à l'ensemble des motifs dont tous les sous ensembles satisfont cette contrainte et dont tous les sur-ensembles ne la satisfont pas. Soit un ensemble de motifs  $\mathcal{S}_{am}$  satisfaisant une contrainte anti-monotone  $C_{am}$ , la bordure est formellement définie comme suit :

$$\text{Bd}(\mathcal{S}_{am}) = \{X \mid \forall Y \subset X : Y \in \mathcal{S}_{am} \text{ et } \forall Z \supset X : Z \notin \mathcal{S}_{am}\}$$

Pour le cas d'une contrainte monotone  $C_m$ , la bordure correspond à l'ensemble des motifs dont tous les sur-ensembles satisfont cette contrainte et dont tous les sous ensembles ne la satisfont pas. Soit un ensemble de motifs  $\mathcal{S}_m$  satisfaisant une contrainte monotone  $C_m$ , la bordure est formellement définie comme suit :

$$\mathcal{Bd}(\mathcal{S}_m) = \{X \mid \forall Y \supset X : Y \in \mathcal{S}_m \text{ et } \forall Z \subset X : Z \notin \mathcal{S}_m\}$$

Cependant, il est à distinguer entre la bordure positive et la bordure négative pour une contrainte  $C$  donnée. Soit un ensemble de motifs  $\mathcal{S}$  satisfaisant une contrainte  $C$ . La bordure positive  $\mathcal{Bd}^+(\mathcal{S})$  correspond à l'ensemble des motifs appartenant à la bordure  $\mathcal{Bd}(\mathcal{S})$  et qui satisfont la contrainte  $C$ . La bordure négative  $\mathcal{Bd}^-(\mathcal{S})$  correspond à l'ensemble des motifs appartenant à la bordure  $\mathcal{Bd}(\mathcal{S})$  et qui ne satisfont pas la contrainte  $C$ . Ces bordures sont formellement définies comme suit :

$$\begin{aligned}\mathcal{Bd}^+(\mathcal{S}) &= \mathcal{Bd}(\mathcal{S}) \cap \mathcal{S}, \\ \mathcal{Bd}^-(\mathcal{S}) &= \mathcal{Bd}(\mathcal{S}) \setminus \mathcal{S}.\end{aligned}$$

**Exemple 5** *Considérons le contexte donné par la table 1.1. L'ensemble  $\mathcal{MFM}$  des motifs fréquents maximaux est composé des motifs fréquents dont tous les sur-ensembles sont des motifs rares et est égal à,  $\mathcal{MFM} = \{AC, BCE\}$ . Les motifs fréquents maximaux représentent à la fois la bordure positive des motifs vérifiant la contrainte anti-monotone de fréquence et la bordure négative des motifs vérifiant la contrainte monotone de rareté.*

Comme dans ce travail, nous nous intéressons principalement aux motifs rares qui sont aussi corrélés, nous présentons certaines propriétés utiles des motifs rares et des motifs corrélés.

## 1.3 Motifs rares

L'ensemble des motifs rares, correspondant aux motifs vérifiant la contrainte de rareté, est défini comme suit :

**Définition 10 (Motifs rares)** *L'ensemble des motifs rares est défini par :  $\mathcal{MR} = \{I \subseteq \mathcal{I} \mid \text{Supp}(\wedge I) < \text{minsupp}\}$ . Ou d'une manière équivalente :  $\mathcal{MR} = \{I \subseteq \mathcal{I} \mid \text{Supp}(\wedge I) \leq \text{maxsupp}\}$  avec  $\text{maxsupp}$  correspond au seuil maximal du support conjonctif,  $\text{maxsupp} = \text{minsupp} - 1$ .*

Comme indiqué plus haut, cet ensemble forme un filtre d'ordre dans  $\mathcal{P}(\mathcal{I})$ . Il en résulte que tous les sur-ensembles d'un motif rare sont aussi rares.

**Exemple 6** *Soit  $\text{minsupp} = 4$ . Le motif  $BC$  est rare puisque  $\text{Supp}(\wedge BC) = 3 < 4$ ,  $BC \in \mathcal{MR}$ . Aussi,  $ABC \in \mathcal{MR}$  puisque  $BC \subseteq ABC$ .*

**Remarque 3** *Un motif est dit fréquent si son support est supérieur ou égal au seuil minimal de support  $\text{minsupp}$ , et il est rare ou non fréquent si son support est strictement inférieur au seuil  $\text{minsupp}$  ou autrement dit son support est inférieur ou égal au seuil  $\text{maxsupp}$ . Dans ce qui suit nous considérons que le seuil  $\text{maxsupp}$  est calculé à partir du seuil  $\text{minsupp}$  et est égal à  $\text{minsupp} - 1$ . Il peut exister un intervalle de valeur entre  $\text{minsupp}$  et  $\text{maxsupp}$  [Szathmary, 2006], cependant, nous optons pour le cas général c.-é.-d., un motif est rare s'il n'est pas fréquent. Ceci implique l'existence d'une seule bordure entre les motifs fréquents et ceux rares.*

Nous soulignons que, nous ne considérons pas les motifs rares de support égal à zéro. En effet, ces motifs n'apparaissent jamais dans la base et ne représentent donc pas un événement rare.

Dans la suite, nous aurons besoin des motifs rares les plus petits, par rapport à la relation d'inclusion ensembliste. Ces motifs forment la bordure positive de l'ensemble  $\mathcal{MR}$  des motifs rares et correspondent aux motifs rares dont tous les sous-ensembles sont fréquents [Hamrouni *et al.*, 2011]. Ils sont définis comme suit :

**Définition 11** (*Motifs rares minimaux*) *L'ensemble  $\mathcal{MRMin}$  des motifs rares minimaux correspond aux motifs rares n'ayant aucun sous-ensemble strict rare. Cet ensemble est défini par :  $\mathcal{MRMin} = \{I \in \mathcal{MR} \mid \forall I_1 \subset I : I_1 \notin \mathcal{MR}\}$ , ou d'une manière équivalente :  $\mathcal{MRMin} = \{I \in \mathcal{MR} \mid \forall I_1 \subset I : \text{Supp}(\wedge I_1) \geq \text{minsupp}\}$ .*

**Exemple 7** *Considérons la base illustrée par la table 1.1 pour  $\text{minsupp} = 3$ . Le motif  $AB \in \mathcal{MRMin}$  puisque  $\text{Supp}(\wedge AB) = 2 < 3$  et, d'autre part,  $\text{Supp}(\wedge A) = 3 \geq 3$  et  $\text{Supp}(\wedge B) = 4 \geq 3$ . Il en est de même pour  $D$  et  $AE$ . Ainsi, dans ce cas,  $\mathcal{MRMin} = \{D, AB, AE\}$ . L'ensemble  $\mathcal{MRMin}$  ainsi que l'ensemble  $\mathcal{MR}$  se tous les motifs rares sont schématisés par la figure 1.1. Le support indiqué en haut à gauche de chaque cadre représentant un motif est son support conjonctif*

Après avoir présenté les motifs rares, nous étudions dans ce qui suit les propriétés des motifs corrélés selon la mesure *bond*.

## 1.4 Motifs corrélés selon la mesure *bond*

La mesure *bond* [Omiecinski, 2003] est mathématiquement équivalente aux mesures *coherence* [Lee *et al.*, 2003], *coefficient de Tanimoto* [Tanimoto, 1958] et *Jaccard* [Jaccard, 1901]. Elle a été redéfinie dans [Ben Younes *et al.*, 2010a] comme suit :

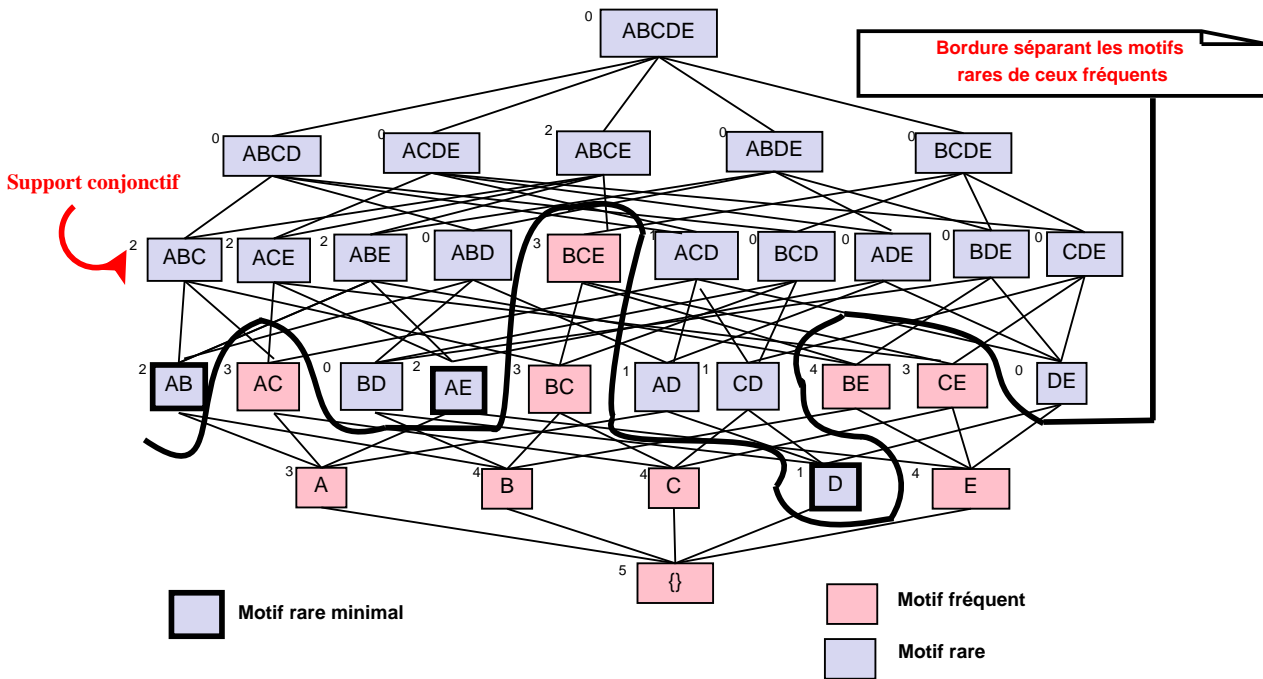


FIGURE 1.1 – Treillis des motifs associés au contexte  $\mathcal{D}$  pour  $minsupp = 3$ .

**Définition 12 (Mesure *bond*)** Soit  $I \subseteq \mathcal{I}$ . La mesure *bond* de  $I$  est définie par :

$$bond(I) = \frac{Supp(\wedge I)}{Supp(\vee I)}$$

La mesure *bond* prend ses valeurs sur l'intervalle  $[0, 1]$ . En considérant l'univers d'un motif  $I$  [Lee et al., 2003], c.-é.-d. l'ensemble des transactions contenant un sous-ensemble non-vide de  $I$ , la mesure *bond* véhicule l'information concernant le taux d'apparition simultanée des items d'un motif dans son univers. Ainsi, plus les items du motif sont dispersés dans son univers (c.-é.-d. faiblement corrélés), plus sera faible la valeur de *bond* puisque  $Supp(\wedge I)$  serait nettement plus petit que  $Supp(\vee I)$ . Inversement, plus les items de  $I$  dépendent les uns des autres (c.-é.-d. fortement corrélés), plus sera élevée la valeur de *bond* puisque  $Supp(\wedge I)$  serait proche de  $Supp(\vee I)$ .

Après avoir présenté la mesure *bond*, nous définissons maintenant les motifs corrélés selon cette mesure.

**Définition 13 (Motifs corrélés selon la mesure *bond*)** Soit *minbond* un seuil minimal de corrélation. L'ensemble  $\mathcal{MC}$  des motifs corrélés selon la mesure *bond* est défini par :  $\mathcal{MC} = \{I \subseteq \mathcal{I} \mid bond(I) \geq minbond\}$

**Exemple 8** Considérons la base illustrée par la table 1.1. Pour  $minbond = 0,5$ , Nous avons  $bond(AB) = \frac{2}{5} = 0,4 < 0,5$ . Le motif  $AB$  est alors non corrélé. Par contre,  $bond(BCE)$

$= \frac{3}{5} = 0,6 \geq 0,5$ . Ainsi, le motif *BCE* est corrélé.

Il a été démontré dans [Ben Younes *et al.*, 2010a] que la mesure *bond* présente diverses propriétés intéressantes. En effet, cette mesure : (i) est *symétrique* puisque  $\forall I, J \subseteq \mathcal{I}$ ,  $bond(IJ) = bond(JI)$ ; (ii) est *descriptive c.-é.-d.* insensible au changement du nombre de transactions; (iii) vérifie la propriété de *cross support* [Xiong *et al.*, 2006]. Grâce à cette dernière propriété, pour un motif  $I \subseteq \mathcal{I}$  et pour un seuil minimal de corrélation *minbond*, s'il existe un couple d'items  $x, y \in I$  tel que  $\frac{Supp(\wedge x)}{Supp(\wedge y)} < minbond$ , alors  $I$  n'est pas corrélé puisque  $bond(I) < minbond$ .  $I$  vérifie alors la propriété de cross-support pour le seuil *minbond*; et (iv) induit une contrainte anti-monotone du moment que le seuil minimal *minbond* est fixé. En effet,  $\forall I, I_1 \subseteq \mathcal{I}$ , si  $I_1 \subseteq I$ , alors  $bond(I_1) \geq bond(I)$ . Ainsi, l'ensemble  $\mathcal{MC}$  des motifs corrélés forme un idéal d'ordre. Autrement dit, si un motif est corrélé, alors tous ses sous-ensembles sont aussi corrélés.

La proposition suivante présente une relation intéressante entre la valeur de la mesure *bond* et les valeurs des supports conjonctifs et disjonctifs pour chaque couple de deux motifs  $I$  et  $I_1$  tel que  $I \subseteq I_1$  [Ben Younes *et al.*, 2010a].

**Proposition 1** Soient  $I, I_1 \subseteq \mathcal{I}$  et  $I \subseteq I_1$ . Si  $bond(I) = bond(I_1)$ , alors  $Supp(\wedge I) = Supp(\wedge I_1)$  et  $Supp(\vee I) = Supp(\vee I_1)$ .

D'après la proposition précédente, si  $bond(I) = bond(I_1)$ , alors  $Supp(\neg I) = Supp(\neg I_1)$ . En effet,  $I$  et  $I_1$  ont le même support disjonctif et, par la loi de De Morgan, nous avons le lien suivant entre les supports disjonctif et négatif d'un motif :  $Supp(\neg I) = |\mathcal{T}| - Supp(\vee I)$ . D'autre part, si  $bond(I) \neq bond(I_1)$ , alors  $Supp(\wedge I) \neq Supp(\wedge I_1)$  ou  $Supp(\vee I) \neq Supp(\vee I_1)$  (c.-é.-d. un des deux supports est différent ou les deux à la fois).

**Exemple 9** Considérons le contexte d'extraction donné par la table 1.1. Nous avons  $bond(ACD) = bond(CD) = \frac{1}{4}$ . Les motifs *ACD* et *CD* ont les mêmes supports conjonctifs et disjonctifs,  $Supp(\wedge ACD) = Supp(\wedge CD) = 1$  et  $Supp(\vee ACD) = Supp(\vee CD) = 4$ . Nous avons  $bond(ABCE) = \frac{2}{5} \neq bond(BCE) = \frac{3}{5}$ . En effet, les motifs *ABCE* et *BCE* n'ont pas le même support conjonctif,  $Supp(\wedge ABCE) = 2 \neq Supp(\wedge BCE) = 3$ .

Dans la suite, nous aurons besoin de l'ensemble des motifs corrélés maximaux défini formellement comme suit.

**Définition 14 (Motifs corrélés maximaux)** L'ensemble des motifs corrélés maximaux constitue la bordure positive des motifs corrélés et correspond aux motifs corrélés n'admettant aucun sur-ensemble strict corrélé. Cet ensemble est défini par :  $\mathcal{MCMax} = \{I \in$

$MC \mid \forall I_1 \supset I : I_1 \notin MC\}$ , ou d'une manière équivalente :  $MCMax = \{I \in MC \mid \forall I_1 \supset I : bond(I_1) < minbond\}$ .

**Exemple 10** Soit la base illustrée par la table 1.1. Pour  $minbond = 0,2$ , nous avons  $MCMax = \{ACD, ABCE\}$ . En effet, quelque soit le sur-ensemble strict de  $ACD$  ou de  $ABCE$ , ce sur-ensemble n'est pas corrélé.

Nous avons ainsi présenté les notions préliminaires des motifs rares et des motifs corrélés selon la mesure  $bond$ . Dans la suite, nous enchaînons avec l'opérateur de fermeture  $f_{bond}$  associé à la mesure  $bond$ . Cet opérateur permettra de caractériser les motifs grâce aux classes d'équivalence induites.

## 1.5 Opérateur de fermeture $f_{bond}$ associé à la mesure $bond$

Définissons d'abord le concept de l'opérateur de fermeture.

**Définition 15 Opérateur de fermeture** [Ganter et Wille, 1999]

Soit un ensemble partiellement ordonné  $(E, \leq)$ . Une application  $f$  de  $(E, \leq)$  dans  $(E, \leq)$  est appelée un opérateur de fermeture, si et seulement si elle possède les propriétés suivantes. Pour tout sous-ensemble  $S, S' \subseteq E$  :

1. *Isotonie* :  $S \leq S' \Rightarrow f(S) \leq f(S')$
2. *Extensivité* :  $S \leq f(S)$
3. *Idempotence* :  $f(f(S)) = f(S)$

L'opérateur de fermeture associé à la mesure  $bond$  est défini comme suit [Ben Younes *et al.*, 2010a] :

**Définition 16 (Opérateur  $f_{bond}$ )**

$$f_{bond} : \mathcal{P}(\mathcal{I}) \rightarrow \mathcal{P}(\mathcal{I})$$

$$I \mapsto f_{bond}(I) = I \cup \{i \in \mathcal{I} \setminus I \mid bond(I) = bond(I \cup \{i\})\}$$

L'opérateur  $f_{bond}$  a été démontré d'être un opérateur de fermeture [Ben Younes *et al.*, 2010a]. En effet, il vérifie les propriétés d'isotonie, d'extensivité et d'idempotence [Ganter et Wille, 1999]. Le motif fermé d'un motif  $I$  par  $f_{bond}$ , *c.-é.-d.*  $f_{bond}(I)$ , est ainsi l'ensemble maximal d'items contenant  $I$  et ayant la même valeur de la mesure  $bond$  que  $I$ .

**Exemple 11** Soit la base illustrée par la table 1.1. Pour  $\text{minbond} = 0,2$ , nous avons  $\text{bond}(AB) = \frac{2}{5}$ ,  $\text{bond}(ABC) = \frac{2}{5}$ ,  $\text{bond}(ABE) = \frac{2}{5}$ . Ainsi,  $C \in f_{\text{bond}}(AB)$ , et  $E \in f_{\text{bond}}(AB)$ . Par contre,  $\text{bond}(ABD) = \frac{0}{5} = 0$ . Ainsi,  $D \notin f_{\text{bond}}(AB)$ . Par conséquent,  $f_{\text{bond}}(AB) = ABCE$ .

Illustrons les différentes propriétés d'un opérateur de fermeture. Pour la propriété d'isotonie, nous avons  $AB \supset B$ ,  $f_{\text{bond}}(AB) = ABCE$  et  $f_{\text{bond}}(B) = BE$ . Concernant la propriété d'extensivité, nous avons par exemple,  $f_{\text{bond}}(CD) = ACD$ ,  $CD \subseteq f_{\text{bond}}(CD)$ . Pour la propriété d'idempotence de l'opérateur de fermeture  $f_{\text{bond}}$ , nous notons l'exemple du motif fermé  $ABCE$ ,  $f_{\text{bond}}(f_{\text{bond}}(ABCE)) = ABCE$ .

L'application de l'opérateur  $f_{\text{bond}}$  partitionne l'ensemble des parties de  $\mathcal{I}$  en des classes d'équivalence disjointes définies comme suit.

**Définition 17** (*Classe d'équivalence associée à l'opérateur de fermeture  $f_{\text{bond}}$* ) Une classe d'équivalence associée à l'opérateur de fermeture  $f_{\text{bond}}$  contient un ensemble de tous les motifs possédant la même fermeture par  $f_{\text{bond}}$ .

Chaque classe d'équivalence est caractérisée par un élément maximal – un motif fermé – et un ou plusieurs éléments minimaux – des motifs minimaux corrélés. Nous définissons formellement ces motifs.

**Définition 18** (*Motifs fermés corrélés*) L'ensemble  $\mathcal{MFC}$  des motifs fermés corrélés par  $f_{\text{bond}}$  est défini par :  $\mathcal{MFC} = \{I \in \mathcal{MC} \mid \nexists I_1 \supset I : \text{bond}(I) = \text{bond}(I_1)\}$ , ou d'une manière équivalente :  $\mathcal{MFC} = \{I \in \mathcal{MC} \mid \nexists I_1 \supset I : f_{\text{bond}}(I) = f_{\text{bond}}(I_1)\}$ .

**Exemple 12** Soit la base illustrée par la table 1.1 pour  $\text{minbond} = 0,2$ . Le motif  $ACD$  est corrélé puisque  $\text{bond}(ACD) = \frac{1}{4} = 0,25 \geq 0,2$ . Il est aussi fermé puisque il n'admet pas de sur-ensemble strict de même valeur de  $\text{bond}$ . En effet,  $\text{bond}(ABCD) = 0$ ,  $\text{bond}(ACDE) = 0$ , et par conséquent  $\text{bond}(ABCDE) = 0$ .

**Définition 19** (*Motifs minimaux corrélés*) L'ensemble  $\mathcal{MMC}$  des motifs minimaux corrélés est défini par :  $\mathcal{MMC} = \{I \in \mathcal{MC} \mid \nexists I_1 \subset I : \text{bond}(I) = \text{bond}(I_1)\}$ , ou d'une manière équivalente :  $\mathcal{MMC} = \{I \in \mathcal{MC} \mid \nexists I_1 \subset I : f_{\text{bond}}(I) = f_{\text{bond}}(I_1)\}$ .

**Exemple 13** Soit la base illustrée par la table 1.1 pour  $\text{minbond} = 0,2$ . Le motif  $AB$  est corrélé puisque  $\text{bond}(AB) = \frac{2}{5} = 0,4 > 0,2$ . Il est aussi minimal puisque  $\text{bond}(A) = \text{bond}(B) = 1$ .

Nous introduisons dans ce qui suit une propriété intéressante de l'idéal d'ordre des motifs minimaux corrélés.

**Propriété 1** *L'ensemble  $\mathcal{MMC}$  des motifs minimaux corrélés forme un idéal d'ordre.*

Toutefois, l'ensemble des motifs minimaux corrélés contient les motifs vérifiant la contrainte anti-monotone “être minimal dans sa classe d'équivalence et être corrélé” [Ben Younes *et al.*, 2010a]. En effet, cette dernière résulte de la conjonction de deux contraintes anti-monotones, à savoir “être un motif minimal” et “être un motif corrélé”. Par conséquent, la contrainte “être un motif minimal corrélé” est anti-monotone et l'ensemble  $\mathcal{MMC}$  des motifs minimaux corrélés forme ainsi un idéal d'ordre dans le treillis des motifs.

Nous avons à ce stade présenté les motifs fermés et minimaux corrélés associés à une classe d'équivalence induite par  $f_{bond}$ . Nous introduisons dans la proposition suivante les propriétés communes à deux motifs appartenant à une même classe d'équivalence associée à l'opérateur de fermeture  $f_{bond}$ .

**Proposition 2** *Soit  $\mathcal{C}$  une classe d'équivalence associée à l'opérateur de fermeture  $f_{bond}$  et  $I$  et  $I_1 \in \mathcal{C}$ . Nous avons : **a)**  $f_{bond}(I) = f_{bond}(I_1)$ , **b)**  $bond(I) = bond(I_1)$ , **c)**  $Supp(\wedge I) = Supp(\wedge I_1)$ , **d)**  $Supp(\vee I) = Supp(\vee I_1)$ , et, **e)**  $Supp(\neg I) = Supp(\neg I_1)$ .*

**Preuve.**

- a)** Grâce à la définition 17,  $I$  et  $I_1$  ont la même fermeture par  $f_{bond}$ . Soit  $F$  cette fermeture.
- b)** Comme l'opérateur de fermeture préserve la valeur de la mesure  $bond$  d'un motif (cf. Définition 16), et puisque  $I$  et  $I_1$  ont la même fermeture  $F$ , nous avons  $bond(I) = bond(F)$ , et  $bond(I_1) = bond(F)$ . Ainsi,  $bond(I) = bond(I_1)$ .
- c), d), et e)** Comme  $I \subseteq F$  et  $bond(I) = bond(F)$ , d'après la proposition 1,  $I$  et  $F$  admettent les mêmes supports conjonctif, disjonctif, et négatif. Il en est de même pour  $I_1$  et  $F$ . Ainsi,  $I$  et  $I_1$  ont les mêmes supports conjonctif, disjonctif, et négatif.

**Exemple 14** *Soit la base illustrée par la table 1.1 et  $minbond = 0,2$ . Considérons la classe d'équivalence dont le motif fermé corrélé est  $ABCE$ . Les motifs minimaux corrélés associés sont  $AB$  et  $AE$ . Les motifs corrélés, qui ne sont ni des fermés ni des minimaux, sont  $ABE$ ,  $ABC$ , et  $ACE$ . Chacun de ces derniers est compris entre un motif minimal et le fermé corrélé. Les motifs de cette classe d'équivalence, partagent la même valeur de la mesure  $bond$  égale à  $\frac{2}{5}$ , le même support conjonctif égal à 2, le même support disjonctif égal à 5 et le même support négatif égal à 0.*

Ainsi, tous les motifs d'une classe d'équivalence induite par  $f_{bond}$  apparaissent dans les mêmes transactions (grâce à l'égalité du support conjonctif). En plus, les items associés aux motifs de la classe caractérisent les mêmes transactions. En effet, chacune de ces dernières contient nécessairement un sous-ensemble non vide de chaque motif de la classe (grâce à l'égalité du support disjonctif). Cet opérateur de fermeture lie ainsi l'espace de recherche conjonctif et celui disjonctif [Ben Younes *et al.*, 2010a]. Le motif fermé de la classe offre ainsi l'expression la plus spécifique caractérisant ces transactions, tandis qu'un des motifs minimaux représente une des expressions les plus générales. Nous avons ainsi cerné les propriétés des motifs rares et des motifs corrélés ainsi que les différentes caractéristiques de l'opérateur de fermeture  $f_{bond}$  associé à la mesure  $bond$ . Dans ce qui suit, nous décrivons brièvement la notion de représentations concises d'un ensemble donné de motifs.

## 1.6 Représentations concises d'un ensemble de motifs

En effet, l'extraction des motifs intéressants peut être coûteuse en espace mémoire et en temps de calcul à cause du nombre important des candidats générés. À cet égard, l'idée consiste à extraire des ensembles de taille plus réduite mais capables de régénérer l'ensemble total de motifs, ces ensembles sont dits "Représentations concises". Dans le cas où la régénération s'effectue sans perte d'information alors la représentation concise est dite *exacte*, sinon elle est dite *approximative*. Ces représentations sont formellement définies dans ce qui suit.

**Définition 20** *Représentations concises [Mannila et Toivonen, 1997]*

*Une représentation concise de l'ensemble des itemsets intéressants est un ensemble représentatif de l'ensemble total permettant de le caractériser d'une manière exacte ou approximative. D'une manière générale, une représentation  $\mathcal{R}$  constitue une couverture parfaite d'un ensemble  $\mathcal{E}$  si et seulement si sa taille ne dépasse jamais la taille de l'ensemble  $\mathcal{E}$  à représenter.*

**Exemple 15** *Soit  $\mathcal{R}$  une représentation concise d'un ensemble  $\mathcal{E}$  de motifs fréquents.  $\mathcal{R}$  est dite représentation concise exacte, si à partir de  $\mathcal{R}$ , nous sommes capables de déterminer pour un motif quelconque s'il est fréquent ou non et de retrouver son support exact s'il est fréquent. Par exemple, les motifs fermés fréquents [Pasquier *et al.*, 2005] constituent une représentation concise exacte de l'ensemble des motifs fréquents.*

*Cependant, la représentation  $\mathcal{R}$  est dite représentation concise approximative, si elle est incapable de déterminer d'une manière exacte le support de tous les motifs de l'ensemble à représenter. Elle retourne alors une valeur approximative de ce dernier. Par exemple, les motifs fréquents maximaux [Roberto et Bayardo, 1998] constituent une représentation concise approximative de l'ensemble des motifs fréquents. En effet, les motifs fréquents maximaux permettent de déterminer la nature de fréquence (fréquent ou rare) d'un motif quelconque mais ne peuvent pas dériver exactement son support.*

Toutefois nous nous intéressons, dans ce mémoire, à l'extraction des représentations concises des motifs corrélés rares. Ces derniers vérifient à la fois la contrainte monotone de rareté et anti-monotone de corrélation. Par souci de précision, nous signalons que la terminologie “motifs corrélés rares” est équivalente à la terminologie “motifs rares corrélés”.

## 1.7 Conclusion

Dans ce chapitre, nous avons cerné l'ensemble des notions de bases relatives à l'extraction des motifs. Ensuite, nous avons étudié les propriétés des motifs rares et des motifs corrélés selon la mesure *bond*. Nous avons, de plus, détaillé les caractéristiques des classes d'équivalence induites par l'opérateur de fermeture  $f_{bond}$  associé à la mesure de corrélation *bond*. Cet opérateur constitue un élément important qui va nous servir dans l'extraction des représentations concises des motifs corrélés rares par rapport à la mesure *bond*. Le chapitre suivant est dédié à la présentation de l'état de l'art des approches traitant de l'extraction des motifs sous contraintes.



# Chapitre 2

## État de l'art de la fouille des motifs sous contraintes

### 2.1 Introduction

Le processus d'extraction de motifs intéressants souffre souvent de la taille élevée de ces motifs extraits. À cet égard, il s'est avéré nécessaire d'intégrer des contraintes dans le processus d'extraction afin de réduire le nombre de motifs extraits. Ces contraintes sont traduites par des traitements qui peuvent être effectués avant, en cours, ou après l'étape de fouille.

Étant donné que dans le cadre de ce mémoire, nous nous intéressons aux motifs corrélés rares, alors nous jugeons intéressant de consacrer ce chapitre à la présentation et l'étude des approches de l'état de l'art s'inscrivant dans le cadre de notre problématique. Il est important de noter que, dans cette étude, nous nous intéressons principalement aux contraintes monotones et aux contraintes anti-monotones. En effet, les motifs corrélés rares que nous étudions dans ce travail correspondent à la conjonction entre la contrainte anti-monotone de corrélation et monotone de rareté.

Dans ce chapitre, nous abordons ainsi dans la première section la présentation des approches d'extraction des motifs rares. Dans la deuxième section, nous effectuons un survol des différentes mesures de corrélation et nous étudions les approches d'extraction des motifs corrélés sous contraintes. La troisième section sera consacrée à l'étude des algorithmes d'extraction de motifs sous la conjonction de contraintes de types opposés.

## 2.2 État de l'art de la fouille des motifs rares

### 2.2.1 Extraction des motifs rares

Toutefois, l'ensemble des motifs rares forme un filtre d'ordre dans le treillis des motifs [Szathmary *et al.*, 2010] et induit une contrainte monotone. En effet, tous les sur-ensembles d'un motif rare sont rares. Cette propriété de monotonie rends l'extraction des motifs rares plus difficile que l'extraction d'un ensemble vérifiant une contrainte anti-monotone. À cet égard, différents algorithmes [Szathmary *et al.*, 2007, Haglin et Manning, 2007, Adda *et al.*, 2007, Kiran et Reddy, 2010, Szathmary *et al.*, 2010, Okubo et Haraguchi, 2010] ont été dédiés à l'extraction d'un sous ensemble ou de l'ensemble total de tous les motifs rares ont été proposés.

Nous citons par exemple, les approches MSAPRIORI [Liu *et al.*, 1999] et RSAA [Yun *et al.*, 2003]. Toutefois, l'idée de l'approche MSAPRIORI <sup>(1)</sup> consiste à définir un seuil minimal de support conjonctif *minsupp* pour chaque item par l'utilisateur et à extraire l'ensemble des motifs fréquents par rapport aux seuils minimaux posés. À cet égard, une partie de l'ensemble des motifs rares sera récupérée pour des seuils bas de *minsupp*.

**Exemple 16** *Considérons la base de transaction donnée par la table 1.1. Dans le cas où nous considérons,  $minsupp(A) = 5$ ,  $minsupp(C) = 2$  et  $minsupp(D) = 3$ . Le support de l'itemset  $AD$  est égal à 1,  $Supp(AD) = 1$ . Ainsi, l'itemset  $AD$  est rare puisque  $Supp(AD) < \min\{minsupp(A), minsupp(D)\} = \min\{5, 3\} = 3$ . Le motif  $AC$  est cependant fréquent,  $Supp(AC) = 3 > \min\{minsupp(A), minsupp(C)\} = \min\{5, 2\} = 2$ .*

Cette approche opère à la APRIORI et les itemsets rares ne seront ainsi identifiés que pour des seuils de *minsupp* très bas. Dans ce cas, le nombre de règles d'association générées sera énorme. De plus, un problème lié au choix du seuil *minsupp* adéquat pour chaque item et aux coûts d'évaluation d'un candidat par rapport aux différents seuils, est toujours posé.

Dans le but de pallier cet inconvénient, Yun *et al.* ont proposé dans [Yun *et al.*, 2003] une nouvelle approche intitulée RSAA <sup>(2)</sup>. Cette approche permet de générer des règles d'association englobant des itemsets rares. La technique proposée est basée sur la notion de support relatif et permet de générer des règles d'association dont le support relatif dépasse un seuil minimal donné. Le support relatif *RSupp* d'un itemset  $I$  de la forme  $(i_1, i_2, \dots, i_k)$  est noté  $RSupp(I)$  et correspond é,

---

1. MSAPRIORI est l'acronyme de **M**ultiple **S**upport **A**priori.

2. RSAA est l'acronyme de **R**elative **S**upport **A**priori **A**lgorithm.

$$R\text{Supp}(i_1, i_2, \dots, i_k) = \max\left(\frac{\text{Supp}(i_1, i_2, \dots, i_k)}{\text{Supp}(i_1)}, \frac{\text{Supp}(i_1, i_2, \dots, i_k)}{\text{Supp}(i_2)}, \dots, \frac{\text{Supp}(i_1, i_2, \dots, i_k)}{\text{Supp}(i_k)}\right).$$

**Exemple 17** *Considérons la base de transaction donnée par la table 1.1.  $R\text{Supp}(ACE) = \max\left(\frac{\text{Supp}(ACE)}{\text{Supp}(A)}, \frac{\text{Supp}(ACE)}{\text{Supp}(C)}, \frac{\text{Supp}(ACE)}{\text{Supp}(E)}\right) = \max\left(\frac{2}{3}, \frac{2}{4}, \frac{2}{4}\right) = \frac{2}{3}$ . Nous avons  $R\text{Supp}(ACE) = \frac{2}{3}$ , ainsi pour un seuil minimal de support relatif  $\text{minsupp}R = \frac{1}{2}$ , le motif  $ACE$  est fréquent. Cependant, pour un seuil  $\text{minsupp}R = \frac{3}{4}$ , le motif  $ACE$  est considéré comme rare.*

L'algorithme RSAA permet de repérer une partie des motifs rares tout en résolvant le problème lié à la définition de plusieurs seuils minimaux posé par l'approche MSAPRIORI. Cependant, pour des seuils minimaux de supports relatifs très bas le nombre d'itemsets générés risque d'exploser et d'engendrer ainsi des coûts énormes d'extraction.

L'approche APRIORI-INVERSE [Koh et Rountree, 2005] s'inscrit aussi dans ce même cadre. En effet, APRIORI-INVERSE est un algorithme opérant en largeur et permet moyennant un parcours du treillis du bas vers le haut d'extraire pour chaque niveau  $n$  les motifs rares de taille  $n$  dont tous les sous-ensembles sont rares. Ces motifs sont dits "*motifs parfaitement rares*". Toutefois, l'ensemble extrait n'englobe pas tous les motifs rares puisqu'il élimine les motifs rares minimaux, *c.-é.-d.* les motifs rares dont tous les sous-ensembles sont fréquents.

**Exemple 18** *Considérons le contexte d'extraction donné par la table 1.1. Pour un seuil  $\text{minsupp} = 4$ . L'algorithme APRIORI-INVERSE permet d'extraire uniquement les itemsets rares dont le support est à la fois non nul et inférieur à  $\text{minsupp}$  et dont tous les sous-ensembles sont rares. Par conséquent, seuls les itemsets rares  $D$ ,  $A$  et  $AD$  seront extraits.*

D'autres approches traitant la problématique des motifs rares ont été aussi proposées. Nous citons par exemple, les approches APRIORI-RARE et MRG-EXP [Szathmary *et al.*, 2006, Szathmary *et al.*, 2007] permettant aussi le repérage d'un sous-ensemble des motifs rares composé uniquement des motifs rares minimaux (*cf.* Définition 11 page 12), formant la bordure séparatrice entre les motifs fréquents et les motifs rares. Ces approches effectuent l'exploration du treillis des itemsets du bas vers le haut, en commençant par l'ensemble vide jusqu'à la localisation de la bordure des motifs rares minimaux.

Les approches APRIORI-RARE et MRG-EXP se reposent sur le même principe cependant l'approche MRG-EXP se différencie de l'approche APRIORI-RARE par l'intégration d'un critère d'élagage davantage. Ce critère consiste à éliminer les motifs rares minimaux après leur identification de l'ensemble des motifs candidats afin de ne générer des candidats qu'à partir des motifs fréquents.

Considérons, par exemple, le contexte d'extraction donné par la table 1.1 pour  $\text{minsupp} = 3$ . L'ensemble  $\mathcal{MRMin}$  des motifs récupérés par les algorithmes APRIORI-RARE et MRG-EXP correspond é,  $\mathcal{MRMin} = \{D, AB, AE\}$ .

Une fois cet ensemble est identifié, l'ensemble de tous les motifs rares est alors extrait, moyennant l'approche ARIMA et ce en générant par tailles croissantes les sur-ensembles des motifs appartenant à la bordure composée par les motifs rares minimaux.

**Exemple 19** *Par exemple, considérons l'ensemble  $\mathcal{MRMin} = \{D, AB, AE\}$  précédemment identifié. L'ensemble  $\mathcal{MR}$  de tous les motifs rares correspond é,  $\mathcal{MR} = \{D, AD, CD, ABC, ABE, ACE\}$ , les motifs rares de support nul, à savoir  $BD, DE, ABD, BCD, BDE, ADE$  et  $CDE$ , ne feront pas parti du résultat final.*

Nous notons que dans [Romero *et al.*, 2010], les approches APRIORI-INVERSE et APRIORI-RARE ont été appliquées sur des données concernant des étudiants dans un site d'apprentissage en ligne. Les règles d'association générées permettent de nous renseigner quant au lien entre les activités en ligne de l'étudiant (navigation sur le site, consultation des forums, durée de navigation) et la mention obtenue (Excellent, Bien, Moyen). Les règles d'association rares permettent de détecter les comportements infréquents des étudiants et leurs relation avec la mention finale.

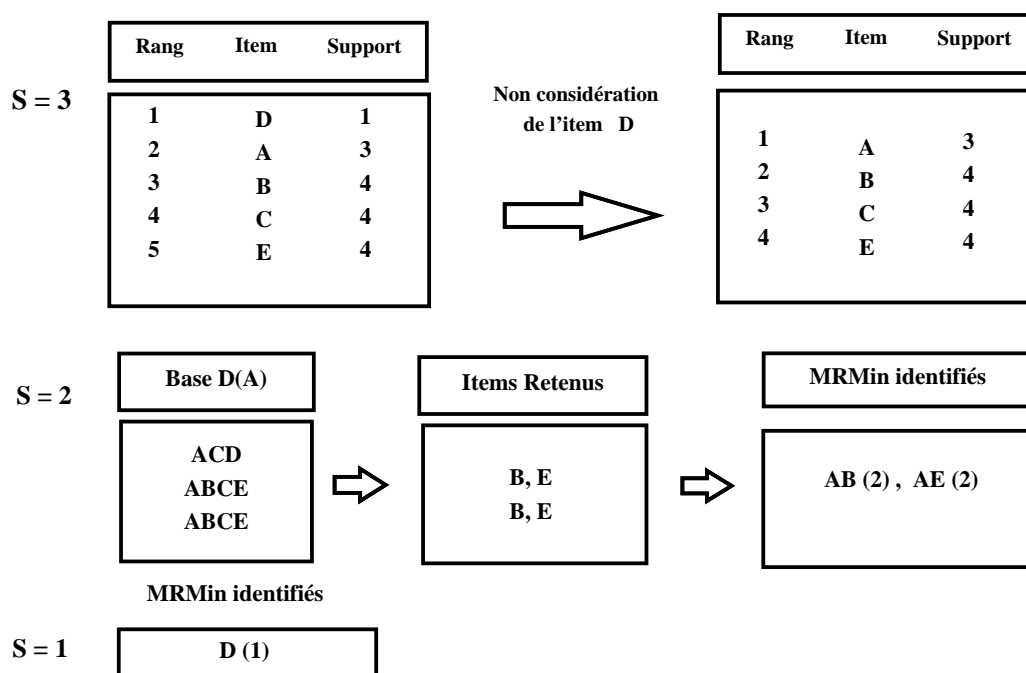
L'approche AFIRM proposée dans [Adda *et al.*, 2007] s'inscrit aussi dans ce même cadre. Cependant, elle diffère des approches proposées par Szathmary *et al.* dans la nature du parcours de l'espace de recherche. En effet, l'approche AFIRM suggère un parcours du haut vers le bas du treillis *c.-é.-d* du plus grand motif, par rapport à la relation d'inclusion ensembliste, jusqu'é la localisation des motifs rares minimaux.

**Exemple 20** *Considérons le contexte d'extraction de la table 1.1 pour  $\text{minsupp} = 3$ . L'algorithme AFIRM extrait les motifs rares comme suit. Initialement, les plus grands motifs rares seront extraits,  $\mathcal{MR}_4 = \{ABCE, ABCD, BCDE, ABDE\}$ . Ensuite, leurs sous-ensembles rares seront générés et nous aurons,  $\mathcal{MR}_3 = \{ABE, ABD, BCD, CDE, BDE, ADE, ACD\}$ . Les motifs de support nul ne sont pas considérés, donc nous aurons,  $\mathcal{MR}_4 = \{ABCE\}$ ,  $\mathcal{MR}_3 = \{ABE, ACD\}$ .  $\mathcal{MR}_2 = \{AB, AE, CD, AD\}$  et  $\mathcal{MR}_1 = \{D\}$ .*

L'approche MINIT <sup>(3)</sup> [Haglin et Manning, 2007], a été aussi proposée et permet de récupérer aussi les motifs rares minimaux dont la taille ne dépasse pas un certain seuil de cardinalité maximale  $S$ . L'idée de l'algorithme MINIT se déroule de la manière suivante.

---

3. MINIT est l'acronyme de **M**inimal **I**nfrequent **I**temset.

FIGURE 2.1 – Trace d'exécution de l'algorithme MINIT pour  $minsupp = 3$  et  $S = 3$ .

D'abord, les items sont triés selon l'ordre croissant du support. Ensuite, nous commençons par traiter l'item ayant le plus petit support en lui associant son sous-contexte et en identifiant la liste des items triés appartenant à ce sous-contexte et un appel récursif de l'algorithme MINIT sera réalisé et le seuil  $S$  sera décrémenté. Cette procédure se termine lorsque le seuil  $S$  devient égal à 1.

**Exemple 21** *Considérons le contexte donné par la table 1.1. Pour  $minsupp = 3$  et  $S = 3$ , le déroulement de l'algorithme MINIT est donné par la figure 2.1. Les motifs rares minimaux de cardinalité inférieure à 3 seront ainsi extraits. Initialement, l'item  $D$  ne sera pas considéré puisqu'il ne donne pas naissance à un motif rare minimal de taille 2. Ensuite, nous considérons l'item  $A$  et le contexte associé  $Base D(A)$  sera créé et la variable  $S$  sera décrémentée  $S = 2$ . Les items retenus sont  $B$  et  $E$ , l'item  $C$  ne sera pas retenu puisqu'il appartient à toutes les transactions du contexte  $Base D(A)$ . Les motifs rares minimaux ainsi identifiés sont  $AE$  et  $AB$  de support 2 chacun. Par la suite, la variable  $S$  sera décrémentée,  $S = 1$ , alors l'algorithme identifie le seul item rare  $D$  de support 1. Les motifs rares minimaux ainsi récupérés correspondent é,  $MRMin = \{(AE, 2), (AB, 2), (D, 1)\}$ .*

Nous avons ainsi passé en revue les approches les plus représentatives traitant la problématique d'extraction d'un sous-ensemble ou de l'ensemble total des motifs rares. Toutefois,

la fouille des motifs rares souffre d'un deuxième problème lié au nombre des motifs rares qui risque d'être très élevé. L'explosion du nombre des motifs rares empêche certainement une exploitation efficace des connaissances cachées dans ces motifs. Pour pallier cet inconvénient, deux représentations concises exactes des motifs rares ont été définies dans [Hamrouni *et al.*, 2011] et sont basées sur la notion de classe d'équivalence. La première représentation concise exacte est composée des éléments minimaux des classes d'équivalences à savoir les générateurs minimaux rares et est extraite grâce à l'algorithme GMRARE. La deuxième représentation est composée des éléments maximaux des classes d'équivalences à savoir les motifs fermés rares et est extraite moyennant l'algorithme MFRARE.

### 2.2.2 Discussion

Nous récapitulons dans le tableau 2.1 les caractéristiques des différentes approches étudiées. Cette comparaison couvre les axes suivants :

1. **Motifs extraits** : Cette propriété décrit les motifs générés par l'algorithme.
2. **Caractéristiques** : Cette propriété décrit les caractéristiques de l'approche en question.

D'après l'étude des approches de l'état de l'art que nous venons de présenter, nous concluons qu'il n'existe pas dans la littérature un algorithme efficace d'extraction de l'ensemble de tous les motifs rares pour tous les types des contextes ou même pour un type particulier de contextes. Ceci est dû à la difficulté de localiser la bordure séparant les motifs rares de ceux fréquents dans le treillis. En effet, cette bordure est dépendante du contexte et du seuil minimal du support *minsupp*. La problématique liée à l'explosion du nombre de motifs rares a été aussi abordée dans la littérature. En effet, deux représentations concises exactes des motifs rares ont été proposées dans [Hamrouni *et al.*, 2011]. Ces dernières autorisent une réduction sans perte d'information de l'ensemble total des motifs rares, et constituent ainsi une alternative au problème de nombre élevé des motifs rares.

Toutefois, un autre problème lié à l'absence de corrélation entre les motifs rares retenus, est toujours posé. Par exemple, le motif composé par les items "Lait" et "Caviar" est un motif rare cependant aucune corrélation n'existe entre le produit "Lait" très fréquemment acheté et le produit "Caviar" cher et rarement acheté. En effet, l'information extraite à partir des motifs rares est souvent appelée à présenter une valeur ajoutée aux experts dans plusieurs domaines. Nous citons comme exemple, la détection des pannes dans les réseaux informatiques [Ma et Hellerstein, 2001], la découverte des irrégularités dans les actions

Algorithme d'extraction	Motifs extraits	Caractéristiques
<ul style="list-style-type: none"> <li>• MSAPRIORI [Liu <i>et al.</i>, 1999]</li> <li>• RSAA [Yun <i>et al.</i>, 2003]</li> </ul>	Uniquement une partie des motifs rares est extraite pour un <i>minsupp</i> faible	<ul style="list-style-type: none"> <li>– Approches non dédiées à la fouille des motifs rares</li> <li>– Seule une partie de ces derniers est récupérée</li> <li>– Définition compliquée de la formule du support relatif</li> </ul>
<ul style="list-style-type: none"> <li>• APRIORI-INVERSE [Koh et Rountree, 2005]</li> </ul>	Motifs parfaitement rares	<ul style="list-style-type: none"> <li>– Coûts d'extraction élevés cependant seuls les motifs parfaitement rares seront extraits.</li> </ul>
<ul style="list-style-type: none"> <li>• APRIORI-RARE [Szathmary <i>et al.</i>, 2006]</li> <li>• MRG-EXP [Szathmary <i>et al.</i>, 2007]</li> </ul>	Motifs rares minimaux	<ul style="list-style-type: none"> <li>– Parcours coûteux de l'ensemble de tous les motifs fréquents</li> <li>– La nécessité d'un deuxième algorithme pour la récupération de tous les motifs rares</li> </ul>
<ul style="list-style-type: none"> <li>• ARIMA [Szathmary <i>et al.</i>, 2006]</li> </ul>	Motifs rares	<ul style="list-style-type: none"> <li>– Dans le cas où le nombre de motifs rares est réduit, ces derniers sont localisés dans le plus haut du treillis ainsi le parcours du bas vers le haut proposé n'est pas efficace.</li> </ul>
<ul style="list-style-type: none"> <li>• AFIRM [Adda <i>et al.</i>, 2007]</li> </ul>	Motifs rares	<ul style="list-style-type: none"> <li>– Nécessité de machines de hautes capacités afin de pouvoir exécuter l'algorithme</li> </ul>
<ul style="list-style-type: none"> <li>• MINIT(<math>S</math>) [Haglin et Manning, 2007]</li> </ul>	Motifs rares minimaux de taille inférieur à $S$	<ul style="list-style-type: none"> <li>– Extraction d'une partie des motifs rares minimaux et non la totalité</li> </ul>
<ul style="list-style-type: none"> <li>• MFRARE [Hamrouni <i>et al.</i>, 2011]</li> <li>• GMRARE [Hamrouni <i>et al.</i>, 2011]</li> </ul>	Motifs fermés et motifs rares  Générateurs minimaux rares	<ul style="list-style-type: none"> <li>– Les représentations concises proposées sont sans perte d'information.</li> </ul>

TABLE 2.1 – Tableau comparatif des algorithmes de fouille des motifs rares.

boursières, la détection de fraudes dans les systèmes financiers [Cohen *et al.*, 2000], la détection d'intrusions dans les systèmes informatiques.

Ainsi, il est intéressant d'intégrer les mesures de corrélation dans l'extraction des motifs rares. Ceci permet, d'une part, d'améliorer la qualité des motifs extraits en ayant un ensemble plus réduit contenant des motifs intéressants qui sont rares mais fortement

corrélés. D'autre part, ceci renforce la qualité des règles d'association dérivées à partir de ces motifs corrélés rares. Par exemple, le motif composé par les items "Collier en or" et "Boucles d'oreilles" ou aussi l'exemple de "Télévision" et "Lecteur DVD" correspondent à des motifs corrélés rares. Ces derniers présentent des articles chers dont la vente est bénéfique pour les commerçants.

Nous constatons, ainsi, que la fouille des motifs corrélés rares est une piste très intéressante à exploiter. De plus, cette problématique n'a pas été abordée auparavant dans la littérature. Par conséquent, nous proposons dans ce mémoire d'étudier profondément les caractéristiques des motifs corrélés rares selon la mesure de corrélation *bond* et de proposer de nouvelles représentations concises exactes de ces motifs.

Comme nous avons passé en revue les différentes approches de fouille des motifs rares dans cette section. Nous nous focalisons alors, dans la section suivante, sur la présentation des approches de fouille des motifs corrélés.

## 2.3 État de l'art de la fouille des motifs corrélés

Dans cette section, nous étudions les différentes approches d'extraction des motifs corrélés. Nous commençons d'abord par un survol non exhaustif des différentes mesures de corrélations et de leurs propriétés. Nous nous sommes principalement basés sur l'étude des mesures de corrélations présentée dans [Ben Younes et Hamrouni, 2010].

### 2.3.1 Mesures de corrélation

L'intégration des mesures de corrélations dans le processus d'extraction de motifs permet de réduire le nombre de motifs extraits tout en améliorant leur qualité. En effet, seuls les motifs véhiculant le maximum d'informations concernant la corrélation entre les items les composant seront maintenus. À cet égard, différentes mesures de corrélation ont été proposées dans la littérature.

- **La mesure de corrélation *any-confidence*** [Omicinski, 2003]

Cette mesure est définie, pour tout motif non vide  $X \subseteq \mathcal{I}$  comme suit :

$$any-conf(X) = \frac{Supp(\wedge X)}{\min\{Supp(\wedge i) | i \in X\}}$$

La mesure *any-confidence* ne conserve pas les propriétés intéressantes d'anti-monotonie et de cross-support [Ben Younes et Hamrouni, 2010].

**Exemple 22** *Considérons la base des transactions illustrée par la table 1.1. Pour un seuil minimal de any-confidence de 0,80. La valeur de la mesure any-confidence du motif AB est égal é,  $\text{any-confidence}(AB) = \frac{\text{Supp}(\wedge AB)}{\min\{\text{Supp}(\wedge A), \text{Supp}(\wedge B)\}} = \frac{2}{\min\{3, 4\}} = 0,66$ . Le motif AB ne satisfait le seuil de any-confidence, par conséquent il n'est pas un motif corrélé alors que le motif AD est corrélé et sa valeur de la mesure any-confidence est égale à 1. Nous avons aussi,  $\frac{\text{Supp}(\wedge A)}{\text{Supp}(\wedge C)} = \frac{3}{4} = 0,75 < 0,80$ , cependant,  $\text{any-confidence}(AD) = 1 > 0,80$ . Cet exemple illustre la non conservation des propriétés d'anti-monotonie et de cross-support.*

- **La mesure de corrélation *all-confidence*** [Omiecinski, 2003]

La mesure *all-confidence* est définie pour tout motif non vide  $X \subseteq \mathcal{I}$  comme suit :

$$\text{all-conf}(X) = \frac{\text{Supp}(\wedge X)}{\max\{\text{Supp}(\wedge i) | i \in X\}}$$

La mesure *all-confidence* conserve la propriété d'anti-monotonie [Omiecinski, 2003] ainsi que la propriété de cross-support [Xiong *et al.*, 2006].

**Exemple 23** *Considérons la base des transactions illustrée par la table 1.1. Pour un seuil minimal de all-confidence de 0,40. La valeur de la mesure all-confidence du motif ABCE est égal é,  $\text{all-confidence}(ABCE) = \frac{\text{Supp}(\wedge ABCE)}{\max\{\text{Supp}(\wedge A), \text{Supp}(\wedge B), \text{Supp}(\wedge C), \text{Supp}(\wedge E)\}} = \frac{2}{\max\{3, 4\}} = 0,50$ . Le motif ABCE est corrélé selon la mesure all-confidence. Tous ses sous-ensembles directs sont aussi des motifs corrélés. Nous avons  $\text{all-confidence}(ABE) = \text{all-confidence}(ACE) = \frac{2}{4} = 0,50$ ,  $\text{all-confidence}(BCE) = \frac{3}{4} = 0,75$ .*

*Pour le motif AD, nous avons  $\frac{\text{Supp}(\wedge D)}{\text{Supp}(\wedge A)} = \frac{1}{3} = 0,33 < 0,40$  et nous avons  $\text{all-confidence}(AD) = \frac{1}{3} = 0,33$ . Le motif AD ne vérifie pas la propriété de cross-support et il n'est ainsi pas corrélé. Cet exemple illustre la conservation des propriétés d'anti-monotonie et de cross-support.*

- **La mesure de corrélation *hyper-confidence*** [Xiong *et al.*, 2006]

La mesure *hyper-confidence* notée *h-conf* d'un motif  $X = \{i_1, i_2, \dots, i_m\}$  est définie comme suit :

$$\text{h-conf}(X) = \min \{ \text{Conf}(i_1 \Rightarrow i_2, i_3, \dots, i_m), \dots, \text{Conf}(i_m \Rightarrow i_1, i_2, \dots, i_{m-1}) \}.$$

Avec *Conf* fait référence à la mesure *confiance* associée aux règles d'association <sup>(4)</sup>.

---

4. Soit une règle d'association  $R : A \Rightarrow B$ , avec  $A, B \subseteq \mathcal{I}$  :  $\text{Conf}(R) = \frac{\text{Supp}(A \cup B)}{\text{Supp}(A)}$ .

La mesure *hyper-confidence* est équivalente à la mesure *all-confidence* et vérifie ainsi les propriétés de d'anti-monotonie et de cross-support.

• **Le coefficient de corrélation  $\chi^2$**  [Brin *et al.*, 1997]

Le coefficient  $\chi^2$  d'un motif  $Z = ab$ , avec  $a$  et  $b \in \mathcal{I}$ , est défini comme suit <sup>(5)</sup> :

$$\chi^2(Z) = |\mathcal{T}| \times \frac{(Supp_r(\wedge ab) - Supp_r(\wedge a) \times Supp_r(\wedge b))^2}{Supp_r(\wedge a) \times Supp_r(\wedge b) \times (1 - Supp_r(\wedge a)) \times (1 - Supp_r(\wedge b))}$$

**Exemple 24** *Tout motif corrélé selon la mesure  $\chi^2$ , tous ses sur-ensembles sont aussi corrélés. Le calcul de la valeur de  $\chi^2$  pour un motif donné nécessite la construction de la table de contingence associée. Considérons par exemple, le motif **AC**, la table de contingence qui lui est associée est donnée par la table 2.2. Par  $S_l$  et  $S_c$ , nous entendons respectivement la somme de la ligne et la somme de la colonne.*

$$\begin{aligned} \text{Nous avons } \chi^2(\mathbf{AC}) &= \frac{(3 - 4 \times \frac{3}{5})^2}{4 \times \frac{3}{5}} + \frac{(1 - 4 \times \frac{2}{5})^2}{4 \times \frac{2}{5}} + \frac{(0 - 1 \times \frac{3}{5})^2}{1 \times \frac{3}{5}} + \frac{(1 - 1 \times \frac{2}{5})^2}{1 \times \frac{2}{5}} \\ &= 2,325 \end{aligned}$$

	A	$\bar{A}$	$S_l$
C	3	1	4
$\bar{C}$	0	1	1
$S_c$	3	2	5

TABLE 2.2 – Table de contingence de l'itemset 'AC' associé au contexte  $\mathcal{D}$ .

D'autres mesures de corrélation existent aussi, comme par exemple la mesure *bond* [Ben Younes *et al.*, 2010a] que nous avons décrit dans le premier chapitre, la mesure *cosine* [Huynh *et al.*, 2005], la mesure *lift* [Brin *et al.*, 1997], le coefficient de corrélation  $\phi$ , appelé aussi coefficient de corrélation de Pearson [Xiong *et al.*, 2004].

Nous avons ainsi présenté quelques mesures de corrélation existantes dans la littérature. Nous enchaînons, dans ce qui suit, avec quelques approches d'extraction des motifs corrélés.

---

5.  $Supp_r(\wedge I) = \frac{Supp(\wedge I)}{|\mathcal{T}|}$  désigne le support relatif de  $I \subseteq \mathcal{I}$ .

### 2.3.2 Extraction des motifs corrélés

Très peu d'approches de la littérature ont abordé la problématique de la fouille des motifs rares corrélés. Toutefois, une première idée naïve de récupération des motifs corrélés rares, consiste à extraire l'ensemble de tous les motifs corrélés sans aucune intégration de la contrainte de *minsupp*. Cet ensemble englobe bien évidemment tous les motifs corrélés, ceux qui sont rares et ceux qui sont fréquents.

L'approche proposée dans [Cohen *et al.*, 2000] est fondée sur ce principe. Cette approche permet d'extraire les paires d'items corrélés selon la mesure de corrélation *Similarity*. En effet, la mesure *Similarity* permet de mesurer la similarité entre deux items et correspond au rapport entre le nombre d'apparitions simultanée des deux items et le nombre de leurs apparitions complémentaires. Par conséquent, la mesure *Similarity* est équivalente à la mesure de corrélation *bond*. Cependant aucune analyse des propriétés de cette mesure n'a été menée. Toutefois, l'approche proposée permet d'extraire les paires d'items corrélés sans calculer leurs supports. En effet, elle affecte à chaque item une signature composée par la liste des identificateurs des transactions auxquelles il appartient. Ensuite, la valeur de la similarité de chaque paire d'items, correspond au nombre d'intersections de leurs signatures divisé par leur union. Nous notons que, la contrainte de support minimum n'a pas été intégrée et ceci afin d'avoir les itemsets qui sont fortement corrélés et ayant un faible support. À partir de ces derniers, les règles d'association de confiances élevées et de supports faibles seront générées. Ces règles englobent des pépites de connaissances qui très intéressantes dans plusieurs domaines. Par exemple, l'algorithme proposé a été appliqué sur des articles de presse afin d'extraire les paires de mots apparaissant ensemble et permettant de fournir des informations pertinentes quant au contenu de l'article en question.

Dans ce même cadre, nous citons aussi l'algorithme DISCOVERMPATTERNS proposé dans [Ma et Hellerstein, 2001]. En effet, cet algorithme permet d'extraire tous les motifs corrélés selon la mesure *all-confidence*. Ces motifs vérifient la propriété d'anti-monotonie. En effet, une première version de l'approche proposée permet d'extraire tous les motifs corrélés sans restriction de la valeur du support conjonctif afin de récupérer les motifs rares fortement corrélés. Ensuite, dans une deuxième version de l'approche, la contrainte anti-monotone de support minimum a été intégrée dans la fouille des motifs corrélés. Par conséquent, l'ensemble de tous les motifs fréquents corrélés résultant de la jointure entre les deux contraintes anti-monotones de fréquence et de corrélation est récupéré.

Une autre idée de récupération d'une partie des motifs corrélés rares consiste à extraire

l'ensemble de tous les motifs fréquents pour un seuil de *minsupp* très bas. Cet ensemble englobe une partie des motifs corrélés qui sont très peu fréquents.

Xiong *et al.* se sont basés sur ce principe et ont introduit l'algorithme HYPERCLIQUEMINER dans [Xiong *et al.*, 2006]. Ce dernier permet d'extraire d'une manière efficace l'ensemble des motifs fréquents corrélés pour des valeurs faibles du seuil minimal *minsupp*. Par conséquent, une partie de l'ensemble des motifs corrélés rares sera récupérée parmi les motifs extraits.

En effet, les performances considérables de cet algorithme sont justifiées par les propriétés d'anti-monotonie et de cross-support vérifiées par la mesure de corrélation *hyperconfidence*. Toutefois, ces deux propriétés permettent d'élaguer significativement les candidats et de réduire les coûts inutiles d'évaluation de la contrainte de corrélation.

Dans ce même cadre, se situe aussi l'approche proposée dans [Sandler et Thomo, 2010]. Cette approche permet d'extraire des itemsets fréquents et fortement corrélés de taille deux. C'est une approche naïve dont l'idée consiste à extraire d'abord tous les motifs fréquents de taille deux pour un *minsupp* très faible grâce à une solution parallèle. Ensuite, un post traitement a été effectué afin de ne garder que les itemsets présentant une forte corrélation entre les deux items les composants. En effet, le post traitement permet de ne maintenir que les itemsets pour lesquelles la probabilité conditionnelle d'apparition d'un de ses items en fonction de l'autre dépasse un seuil minimal défini. Cette probabilité correspond, en effet, à la mesure *all-confidence*. Nous citons aussi l'algorithme FT-MINER [Hu et Li, 2009] d'extraction des motifs fréquents corrélés par rapport à une mesure de corrélation, nommée *N-confidence*, équivalente à la mesure *all-confidence*. Cet algorithme permet d'extraire ces motifs pour des seuils de *minsupp* très bas et effectue l'extraction des règles associatives à partir de ces motifs.

L'algorithme PARTITION [Omiecinski, 2003] a été aussi introduit afin d'extraire les motifs qui satisfont soit le seuil minimal de *all-confidence* soit le seuil minimal de *bond* et ce en fonction de l'exigence de l'utilisateur. Cet algorithme, dont le principal atout est d'allier deux mesures, permet d'extraire tous les motifs corrélés indépendamment de leur statut de fréquence.

D'autres travaux de la littérature se sont intéressés à la fouille des motifs corrélés qui respectent la contrainte de fréquence. À cet égard, nous citons l'algorithme COMINE [Lee *et al.*, 2003]. Cet algorithme permet de récupérer l'ensemble des motifs corrélés fréquents. Deux versions de l'algorithme COMINE sont à distinguer. La première version considère la mesure de corrélation *all-confidence* alors que la deuxième version traite la mesure *bond*. Dans ce même cadre, nous citons aussi l'algorithme récent JIM

[Segond et Borgelt, 2011]. JIM permet d'extraire selon le choix de l'utilisateur, les motifs fréquents corrélés, les motifs fréquents corrélés maximaux et les motifs fermés fréquents corrélés. Les auteurs proposent la mesure de corrélation *bond* et onze autres mesures de corrélations qui sont toutes anti-monotones et l'extraction des motifs se fait selon la mesure de corrélation choisie par l'utilisateur.

La mesure de corrélation *bond* a été aussi utilisée dans les travaux proposés dans [Okubo *et al.*, 2010]. En effet, les auteurs dans [Okubo *et al.*, 2010] recourent à la mesure de corrélation *bond* et à la notion de la fermeture conjonctive afin d'introduire un algorithme en profondeur permettant de récupérer les motifs fermés conjonctifs rares. Toutefois, les auteurs se sont basés sur le fait qu'un motif faiblement corrélé par rapport à la mesure *bond* est généralement rare dans la base d'extraction. À cet égard, la contrainte de la rareté est exprimée en fonction de la mesure *bond* comme suit,  $\text{bond}(M) \leq \delta$ , avec  $\delta$  un seuil de corrélation maximal fixé par l'utilisateur. Cette contrainte de corrélation maximale est monotone puisqu'elle correspond à l'opposée de la contrainte anti-monotone de corrélation.

Dans le but d'atténuer l'explosion du nombre de motifs rares extraits et afin de se débarrasser des motifs qui sont très rares dans la base *c.-é.-d.* les motifs qui représentent juste des exceptions et ne sont pas informatifs, les auteurs ont posé une restriction quant à la rareté des motifs extraits. Cette restriction est traduite pour tout motif  $M$  par une fonction reliant son support conjonctif et le support minimal de ses items,  $\text{Freq}(M) = \alpha \times \text{Supp}(M) + \beta \times \min\{\text{Supp}(m_i), \forall m_i \in M\}$  avec  $\alpha$  et  $\beta$  sont deux coefficients fixés par l'utilisateur. L'idée consiste à extraire les  $N$  premiers motifs respectant la contrainte de corrélation et maximisant la contrainte de fréquence posées. Ces motifs correspondent aux motifs rares les plus informatifs dans la base.

Nous avons ainsi passé en revue différents algorithmes d'extraction de motifs corrélés. Néanmoins, les ensembles des motifs corrélés extraits risquent d'être de taille élevée. Ce qui constitue un obstacle pour une bonne exploitation des connaissances offertes par ces motifs. À cet égard, l'idée de concevoir des approches réductrices de l'ensemble des motifs corrélés est d'une grande pertinence. Dans ce sens, nous discutons dans ce qui suit les algorithmes proposés en vue d'extraire des représentations concises des motifs corrélés fréquents.

### 2.3.3 Extraction des représentations concises des motifs corrélés fréquents

Rares sont les travaux de la littérature traitant la problématique d'extraction des représentations concises des motifs corrélés. Nous citons dans ce cadre uniquement deux approches. Premièrement, l'algorithme CCMINE [Kim *et al.*, 2004] qui permet ainsi d'extraire une représentation concise exacte des motifs corrélés fréquents associés à la mesure *all-confidence*. La représentation concise extraite est basée sur les motifs fermés corrélés fréquents. Le deuxième algorithme CCPR\_MINER a été proposé dans [Ben Younes *et al.*, 2010a]. Cet algorithme permet d'extraire une nouvelle représentation concise exacte des motifs fréquents corrélés associée à la mesure *bond*. Cette représentation est composée des motifs fermés corrélés fréquents munis de leurs supports conjonctifs et disjonctifs. Elle permet de dériver, pour tout motif corrélé fréquent, exactement le support conjonctif, le support disjonctif et par conséquent la valeur de la mesure *bond* égale au rapport des deux supports conjonctifs et disjonctifs.

Dans ce qui suit nous étudions les algorithmes traitant de la fouille de motifs corrélés sous la conjonction de contraintes de types opposés.

### 2.3.4 Extraction des motifs corrélés sous la conjonction de contraintes de types opposés

Dans [Brin *et al.*, 1997] les auteurs ont étudié les caractéristiques des motifs contenant des items qui sont fortement dépendants selon la mesure  $\chi^2$ . Afin de réduire l'explosion du nombre de candidats, les auteurs proposent d'intégrer la contrainte de fréquence dans la fouille de ces motifs corrélés. Étant donné que la mesure  $\chi^2$  est monotone, l'ensemble des motifs fréquents corrélés extraits résulte ainsi de la jointure de deux contraintes de types opposés à savoir la contrainte monotone de corrélation selon la mesure  $\chi^2$  et la contrainte anti-monotone de fréquence. Cependant, la problématique d'extraction de l'ensemble total des motifs satisfaisant les deux contraintes de types différents n'a pas été traitée. En effet, les auteurs se sont limités à l'extraction des motifs minimaux corrélés fréquents uniquement. Pour ce faire, un algorithme par niveau effectuant un parcours du bas vers le haut, jusqu'à la localisation de ces motifs minimaux, a été mis en place.

Cet algorithme intitulé BMS <sup>(6)</sup>, a constitué la base de l'approche proposée dans [Grahne *et al.*, 2000]. En effet, les auteurs dans [Grahne *et al.*, 2000] proposent d'étendre

---

6. BMS est l'acronyme de *Beyond Market Baskets*.

l'approche proposée dans [Brin *et al.*, 1997]. Ils étudient la problématique des motifs fréquents corrélés selon la mesure  $\chi^2$  et qui satisfont aussi un ensemble de contraintes monotones et de contraintes anti-monotones. Ils définissent deux ensembles particuliers de motifs. Le premier est composé des motifs minimaux corrélés et qui sont valides quant à l'ensemble des contraintes. Quant au deuxième, il englobe les motifs minimaux qui satisfont l'ensemble de contraintes *c.-é.-d* les motifs minimaux valides et qui sont corrélés. Afin d'extraire le premier ensemble, deux algorithmes BMS+ et BMS++ ont été proposés. L'algorithme BMS+ est une approche naïve qui consiste à extraire l'ensemble des motifs minimaux corrélés fréquents moyennant le noyau de l'algorithme proposé dans [Brin *et al.*, 1997] puis à effectuer un post traitement afin de ne garder que les motifs minimaux corrélés et qui satisfont l'ensemble de contraintes posées. Cependant, l'idée de l'algorithme BMS++ consiste à intégrer, dans le processus de fouille, les contraintes de corrélation minimale et de fréquence avec l'ensemble des contraintes posées et à extraire les motifs qui répondent à toutes ces contraintes à la fois.

De plus, les algorithmes BMS\* et BMS\*\* ont été introduit afin de récupérer l'ensemble formée par les motifs minimaux satisfaisant l'ensemble de contraintes et qui sont corrélés. Quant à l'algorithme BMS\*, il est basée sur l'idée naïve d'extraire l'ensemble de tous les motifs minimaux valides par rapport à l'ensemble de contraintes puis de filtrer les motifs corrélés de cet ensemble. Par opposition à ce dernier, l'algorithme BMS\*\* est basé sur la même idée stratégique de l'algorithme BMS++ qui consiste à intégrer l'ensemble des contraintes dans le processus de fouille.

Nous avons à ce stade, présenté et analysé les différentes approches d'extraction des ensembles des motifs corrélés sous contraintes.

### 2.3.5 Discussion

L'étude des approches de l'état de l'art que nous avons présenté dans cette section a été menée selon trois principaux axes. Nous avons dans un premier temps analysé les approches d'extraction des motifs corrélés. Nous constatons que la majorité de ces approches opèrent sur la base des mesures *bond* et *all-confidence*. Ces dernières vérifient la propriété d'anti-monotonie. Cette propriété est pertinente dans le processus de fouille, vu sa capacité à réduire l'espace de recherche et à optimiser le temps d'extraction ainsi que la consommation des ressources matérielles. Ainsi, l'ensemble des motifs corrélés fréquents extraits résulte de la jointure de deux contraintes de même type, à savoir la contrainte anti-monotone de corrélation et la contrainte anti-monotone de fréquence.

Toutefois, la récupération de l'ensemble des motifs qui sont à la fois très peu fréquents et fortement corrélés est basée sur l'idée naïve d'extraire l'ensemble de tous les motifs fréquents pour un seuil de *minsupp* très bas puis de filtrer ces motifs par la contrainte de corrélation. Cette opération est très coûteuse en temps de traitement et en consommation de la mémoire à cause de l'explosion du nombre de candidats à évaluer. D'ailleurs, l'approche proposée dans [Sandler et Thomo, 2010] est fondée sur ce principe. Une autre stratégie d'extraction des motifs rares fortement corrélés, consiste à extraire l'ensemble de tous les motifs corrélés sans aucune intégration de la contrainte de support. Cette idée permet de récupérer les motifs rares fortement corrélés comme c'est le cas des algorithmes proposés dans [Ma et Hellerstein, 2001] et dans [Cohen *et al.*, 2000].

Nous déduisons pour toutes ces approches, que la contrainte monotone de rareté n'a été jamais incorporée dans la fouille afin de récupérer l'ensemble des motifs rares fortement corrélés.

Dans un deuxième volet de cette analyse, nous avons mis l'accent sur les approches d'extraction des motifs corrélés sous la conjonction de contraintes de types opposés. Nous avons analysé les algorithmes proposés dans [Brin *et al.*, 1997] et [Grahne *et al.*, 2000]. Ces derniers permettent d'intégrer l'ensemble des contraintes dans le processus de fouille. Ils exploitent ainsi les différentes opportunités d'élagage offertes par l'ensemble des contraintes posées et bénéficient du pouvoir sélectif de chaque type de contrainte. Cependant, ces approches se limitent à l'extraction d'un sous ensemble restreint composé uniquement des motifs minimaux valides *c.-é.-d.* satisfaisant l'ensemble de contraintes posées. De plus, aucune représentation concise des motifs corrélés retenus n'a été proposée.

D'ailleurs, les uniques représentations concises des motifs corrélés ont été proposées dans [Kim *et al.*, 2004] et dans [Ben Younes *et al.*, 2010a]. Ces dernières, offrent des approches réductrices sans perte d'information de l'ensemble des motifs fréquents corrélés respectivement selon les mesures *all-confidence* et *bond*.

Les tableaux 2.3 et 2.4 récapitulent les caractéristiques des différentes approches étudiées. Cette récapitulation couvrira les axes suivants :

1. **Mesures de corrélation** : Cette propriété décrit la ou les mesures de corrélation traitée(s) par l'algorithme.
2. **Type de motifs extraits** : Cette propriété décrit le type de motifs générés par l'algorithme. Par "Valide", nous entendons que le motif respecte l'ensemble des contraintes posées.
3. **Natures des contraintes** : Cette propriété décrit les types des contraintes mani-

pulées par l'algorithme.

4. **Nature de l'algorithme** : Cette propriété décrit la nature de l'algorithme. Nous distinguons les algorithmes *approximatifs*, algorithmes *parallèles* et les algorithmes *exacts*. Pour les algorithmes exacts, nous spécifions aussi la stratégie d'exploration de l'espace de recherche. Autrement dit, la manière avec laquelle l'espace de recherche sera parcouru par l'algorithme. Ceci peut être réalisé *en profondeur c.-é.-d.* en étenant le candidat en cours de traitement par un item qu'il ne contient pas déjà. Ou *en largeur* (appelé aussi *par niveau*) et englobe deux type de parcours. Le premier se réalise du bas vers le haut du treillis *c.-é.-d.* par taille croissante des itemsets en commençant par l'ensemble vide. Le deuxième se réalise du haut vers le bas du treillis *c.-é.-d.* par taille décroissante en commençant par le plus grand motif jusqu'à l'ensemble vide.
5. **Principe de déroulement** : Cette propriété est spécifiée uniquement pour les approches d'extraction de motifs corrélés sous la conjonction de contraintes de natures opposés. La valeur *Par post traitement* indique qu'un seul type de contraintes a été intégré dans la fouille et l'ensemble de motifs intéressant est obtenu par post traitement selon le deuxième type de contraintes. Cependant, la valeur *Par intégration de contraintes* indique que les contraintes de types opposés ont été intégrées dans la fouille.

Nous avons ainsi présenté dans cette section les différentes approches de fouille de motifs corrélés sous contraintes de types opposés. Dans la section suivante, nous tenons à présenter un état de l'art des approches de la littérature traitant de la conjonction entre les contraintes monotones et les contraintes anti-monotones.

## 2.4 État de l'art des approches traitant de la conjonction de contraintes monotones et de contraintes anti-monotones

Lors de processus de fouille de motifs, il est plus complexe de localiser les motifs vérifiant des contraintes de natures différentes que de localiser ceux associés à des contraintes de même nature. En effet, la nature opposée des contraintes fait que les stratégies d'élagage ne sont applicables que pour une partie des contraintes et pas pour les autres. Ceci augmente les coûts des traitements à effectuer afin de déterminer si un motif donné fait partie de

Algorithme d'extraction	Mesure(s) de corrélation	Type de motifs extraits	Nature de(s) contrainte(s)	Nature de l'algorithme
L'approche de [Cohen <i>et al.</i> , 2000]	<i>bond</i>	Tous les motifs corrélés de taille deux	anti-monotones	Approximatif
DISCOVERMPATTERN [Ma et Hellerstein, 2001]	<i>all-confidence</i>	Tous les motifs corrélés	anti-monotones	Exact en largeur
PARTITION [Omicinski, 2003]	<i>all-confidence</i> <i>bond</i>	Tous les motifs corrélés	anti-monotone	Exact en largeur
COMINE( $\alpha$ ) [Lee <i>et al.</i> , 2003]	<i>all-confidence</i>	corrélés fréquents	anti-monotones	Exact en profondeur
COMINE( $\gamma$ ) [Lee <i>et al.</i> , 2003]	<i>bond</i>	corrélés fréquents	anti-monotones	Exact en profondeur
HYPERCLIQUEMINER [Xiong <i>et al.</i> , 2006]	<i>h-confidence</i>	corrélés fréquents et une partie des motifs corrélés rares	anti-monotones	Exact en largeur
L'approche de [Sandler et Thomo, 2010]	<i>all-confidence</i>	corrélés fréquents et une partie des motifs corrélés rares	anti-monotones	Algorithme Parallèle
L'approche de [Okubo <i>et al.</i> , 2010]	<i>bond</i>	faiblement corrélés	monotones	Exact en profondeur
CCMINE [Kim <i>et al.</i> , 2004]	<i>all-confidence</i>	fermés corrélés fréquents	anti-monotones	Exact en profondeur
CCPR_MINER [Ben Younes <i>et al.</i> , 2010b]	<i>bond</i>	fermés corrélés fréquents	anti-monotones	Exact en largeur

TABLE 2.3 – Tableau comparatif des algorithmes d'extraction des motifs corrélés fréquents.

l'ensemble désiré ou non.

Beaucoup de travaux ont été proposés dans la littérature afin de prendre en considération des contraintes de natures différentes lors du processus de fouille de motifs intéressants [Boulicaut et Jeudy, 2010, Pei et Han, 2004]. Toutefois, nous nous limitons dans notre étude aux contraintes monotones et aux contraintes anti-monotones.

Les différentes approches de la littérature traitant de la conjonction de contraintes monotones et de contraintes anti-monotones peuvent être classés en cinq grandes catégories en fonction de leurs principe de résolution du problème de fouille. Nous proposons dans ce qui suit une analyse des différentes catégories d'approches.

Algorithme d'extraction	Mesure(s) de corrélation	Type de motifs extraits	Nature de(s) contrainte(s)	Stratégie d'exploration	Principe de déroulement
BMS [Brin <i>et al.</i> , 1997]	$\chi^2$	minimaux corrélés fréquents	monotones et anti-monotones	largeur	Par intégration de contraintes
BMS+  BMS* [Grahne <i>et al.</i> , 2000]	$\chi^2$	minimaux corrélés valides minimaux valides corrélés	monotones et anti-monotones	largeur	Par post traitement
BMS++  BMS** [Grahne <i>et al.</i> , 2000]	$\chi^2$	minimaux corrélés valides minimaux valides corrélés	monotones et anti-monotones	largeur	Par intégration de contraintes

TABLE 2.4 – Tableau comparatif des algorithmes d'extraction des motifs corrélés sous la conjonction de contraintes de types opposés.

### 2.4.1 L'approche DUALMINER

Le premier algorithme se situant dans ce cadre est intitulé DUALMINER [Bucila *et al.*, 2003]. DUALMINER est une approche générique de résolution du problème d'extraction de motifs sous la conjonction de contraintes monotones et de contraintes anti-monotones. Cet algorithme effectue la réduction de l'espace de recherche en incorporant à la fois les contraintes monotones ainsi que les contraintes anti-monotones. En effet, DUALMINER extrait des familles de solutions valides par rapport à l'ensemble des contraintes. Chacune de ses familles, est représentée par le couple  $\langle T, B \rangle$  avec  $T$  représente l'élément maximal correspondant à l'union de tous les éléments de cette famille et  $B$  représente l'élément minimal et correspond à l'intersection de tous les éléments de cette famille. Considérons un exemple illustratif dans ce qui suit.

**Exemple 25** *Considérons le contexte donné par la table 1.1. La contrainte anti-monotone  $C_{am}$  correspond à  $Supp(M) \geq minsupp$  et la contrainte monotone  $C_m$  correspond à  $Supp(M) \leq maxsupp$  avec  $minsupp = 2$  et  $maxsupp = 3$ . Par conséquent, tout motif  $M$  satisfaisant les contraintes anti-monotone  $C_{am}$  et monotone  $C_m$  doit vérifier,  $2 \leq Supp(M) \leq 3$ . Lors d'un premier parcours de treillis des motifs, l'item  $D$  ne vérifie pas la contrainte anti-monotone  $C_{am}$  ainsi il sera supprimé ainsi que tous ses sur-ensembles. Ensuite, l'itemset  $BE$  ne vérifie pas la contrainte monotone  $C_m$ , ainsi, il sera supprimé ainsi que ses sous-ensembles  $B$  et  $E$ . L'item  $C$  sera plus considéré puisqu'il viole la contrainte monotone. Par conséquent, la seule partie du treillis correspond à la famille dont l'élément*

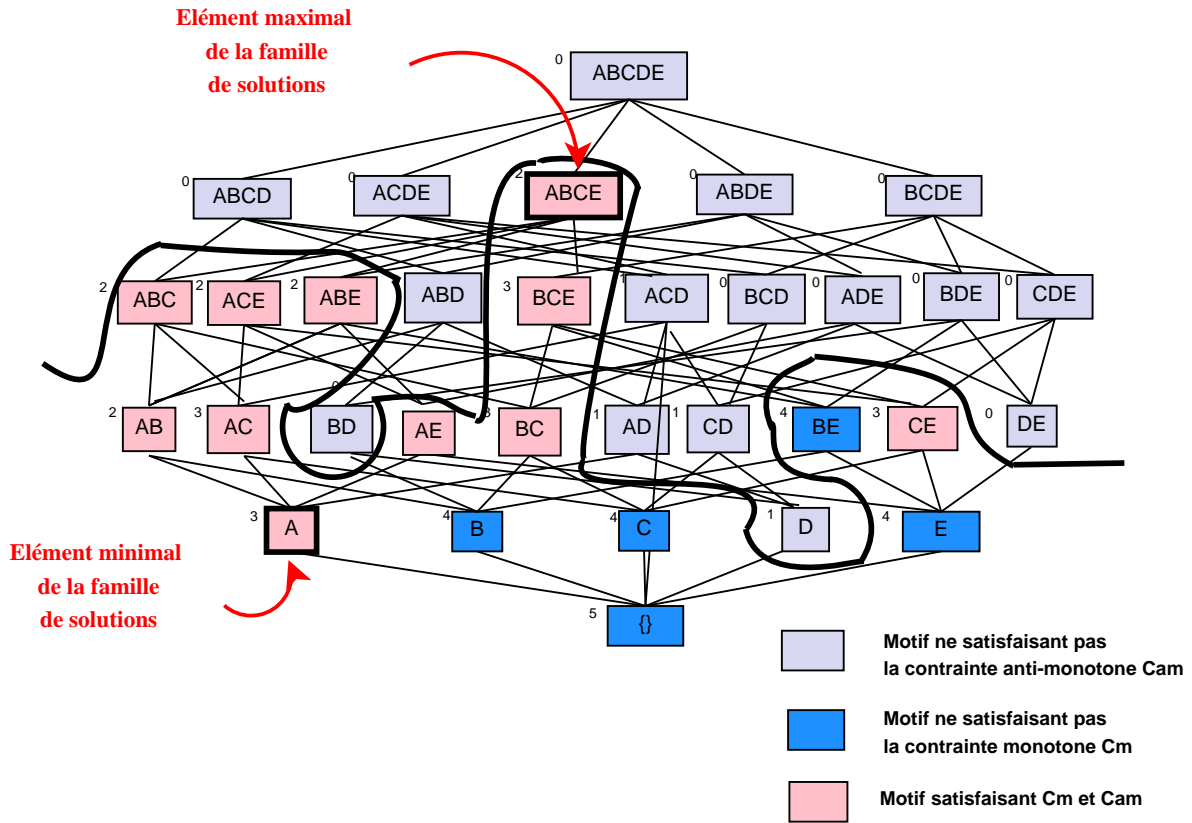


FIGURE 2.2 – Trace d'exécution de l'algorithme DUALMINER pour le contexte  $\mathcal{D}$ .

minimal est  $A$  et l'élément maximal est  $ABCE$ . Il est à remarquer que le motif  $A$  respecte la contrainte monotone  $C_m$ ,  $Supp(A) = 3 \leq 3$ , ainsi, tous ses sur-ensembles le sont aussi. Quant au motif  $ABCE$ , il vérifie la contrainte anti-monotone  $C_{am}$ ,  $Supp(ABCE) = 2 \geq 2$ . Par conséquent, la famille de solution délimitée par  $A$  et  $ABCE$  est une famille de solution valide. Cette exécution est représentée par la figure 2.2.

Toutefois, DUALMINER souffre aussi d'une limite liée au nombre d'évaluation de contraintes. En effet, le temps d'exécution de l'algorithme DUALMINER augmente en fonction de la taille de l'espace d'intersection entre les deux contraintes incorporées. Or, cette taille peut augmenter d'une manière exponentielle en fonction de la taille du problème [Boley et Gärtner, 2009] ce qui présente une des limites de cette approche.

### 2.4.2 Les approches MCP et ACP

La problématique de fouille de motifs sous contraintes de types opposés a été abordée aussi dans les travaux de Boulicaut et Jeudy, qui ont proposé l'approche MCP

<sup>(7)</sup> [Boulicaut et Jeudy, 2000]. MCP est une approche permettant l’extraction de motifs satisfaisant à la fois un ensemble de contraintes monotones et de contraintes anti-monotones. Cependant, MCP est basée sur l’hypothèse que les motifs minimaux satisfaisant la contrainte monotone sont facilement récupérables et constituent un paramètre d’entrée de l’approche MCP. Alors que cette hypothèse n’est pas toujours valide [Bucila *et al.*, 2003]. Toutefois, l’ensemble des motifs minimaux valides par rapport à la contrainte monotone est difficilement repérable vu la propriété de filtre d’ordre induite par toute contrainte monotone.

Dans ce même sens, Bonchi *et al.* ont proposé l’approche ACP <sup>(8)</sup> dans [Bonchi *et al.*, 2003]. En effet, l’approche ACP permet d’intégrer à la fois les contraintes monotones et les contraintes anti-monotones dans un algorithme par niveau. Par opposition à l’approche MCP, l’algorithme ACP permet dans un premier temps d’extraire la bordure positive de la contrainte monotone et ensuite de générer les candidats qui correspondent aux sur-ensembles des motifs de cette bordure. Puisque, les sur-ensembles des motifs de cette bordure vérifient la contrainte monotone, ils seront ainsi évalués uniquement par rapport à la contrainte anti-monotone.

La particularité de l’approche ACP réside dans le fait qu’elle adopte un comportement adaptatif pour renforcer l’élagage selon une contrainte par rapport à une autre afin de maximiser l’efficacité. En effet, l’adaptativité se traduit par l’introduction d’un paramètre  $\alpha$ , initialisé lors du premier balayage de la base puis il est mis à jour à chaque niveau en fonction de l’ensemble des nouvelles connaissances collectées lors de l’itération précédente. Cependant, aucune indication quant à l’initialisation et la mise à jour du paramètre  $\alpha$  n’a été présentée.

**Exemple 26** Soit  $minsupp$  le seuil minimal de support conjonctif, la contrainte monotone  $C_m$  correspondant à “ $Supp(X) < minsupp$ ”. Considérons le contexte d’extraction donné par la table 1.1 pour  $minsupp = 3$ . Les motifs minimaux satisfaisant la contrainte monotone  $C_m$  extraits moyennant l’approche MCP correspondent aux motifs rares minimaux.  $MRMin = \{D, AB, AE\}$ .

La contrainte anti-monotone  $C_{am}$  est formulée pour chaque itemset  $X$  en fonction des prix de ses items  $X_i$ , “ $\min(X_i.prix) < 4$ ”. Les prix des items  $A, B, C, D, E$  correspondent respectivement à 5, 4, 6, 3 et 10.

L’ensemble  $\mathcal{E}$  des motifs de support non nul et satisfaisant les contraintes  $C_m$  et  $C_{am}$  peut être récupéré grâce aux approches MCP et ACP et est composé des motifs suivants,

7. MCP est l’acronyme de *Monotone Constraint Pushing*.

8. ACP est l’acronyme de *Adaptive Constraint Pushing*.

$$\mathcal{E} = \{D, AD, CD, ACD\}.$$

### 2.4.3 Les approches VST et FAVST

D'autres travaux ont essayé aussi d'étudier cette problématique, comme par exemple l'algorithme VST [De Raedt *et al.*, 2002] d'extraction de motifs de chaînes de caractères sous la conjonction de contraintes de types différents. Cet algorithme parcourt l'espace de recherche par niveau à la APRIORI [Agrawal et Srikant, 1994]. Il se déroule en deux phases principales. La première consiste à effectuer un parcours du bas vers le haut permettant l'élagage des motifs candidats selon la contrainte anti-monotone. Puis, la deuxième phase assure un parcours par niveau du haut vers le bas pour l'élagage des motifs candidats selon la contrainte monotone. Chacune des deux phases inclut ainsi le cycle de génération, évaluation et élagage des candidats. Le cycle se termine quand il n'y a plus de candidats à générer. À la fin de ces deux phases, les motifs retenus sont valides par rapport à l'ensemble des contraintes considérées. Toutefois, dans le cas où la contrainte monotone est très sélective alors plusieurs évaluations inutiles des candidats selon la contrainte anti-monotone auraient été déjà menés lors de la première phase inutilement. De plus, l'algorithme VST souffre d'une limite liée au nombre de balayages de la base de données. En effet, il réalise au plus  $2^m$  parcours de la base avec  $m$  correspond à la taille de la plus grande chaîne valide par rapport à la contrainte anti-monotone. À cet égard, l'algorithme FAVST [Lee et De Raedt, 2004] a été introduit afin d'améliorer les performances de l'algorithme VST. L'algorithme FAVST assure une extraction efficace des chaînes de caractères satisfaisant les contraintes posées et offre de meilleures performances que l'algorithme VST.

**Exemple 27** *Considérons le contexte d'extraction donné par la table 1.1. Soient la contrainte anti-monotone  $C_{am}$  correspondant à la conjonction de deux contraintes anti-monotones. La première concerne la longueur minimale de la chaîne,  $Taille(C) \geq 3$  et la deuxième est traduite par un support non nul,  $Supp(C) > 0$ . La contrainte monotone  $C_m$  permet de ne retenir que les chaînes englobant le caractère  $A$ ,  $Appartient(A, C)$ . Les approches VST et FAVST permettent d'extraire l'ensemble  $\mathcal{E}$  des motifs satisfaisant à la fois les contraintes  $C_{am}$  et  $C_m$ . Lors de la première phase, tous les motifs satisfaisant la contrainte  $C_{am}$  sont extraits,  $\mathcal{E} = \{ABC, ABE, ACD, ACE, BCE\}$ . Lors de la deuxième phase, les motifs ne respectant pas la contrainte monotone  $C_m$  seront élagués. Nous avons ainsi,  $\mathcal{E} = \{ABC, ABE, ACD, ACE\}$ . Nous remarquons, que seul le candidat  $BCE$  est élagué puisqu'il n'englobe pas l'item  $A$ .*

### 2.4.4 Les approches DPC-COFI et BIFOLD-LEAP

D'autres travaux visant à améliorer les performances des algorithmes traitant de contraintes de types différents ont aussi vu le jour, tel que DPC-COFI <sup>(9)</sup> [El-Hajj et Zaïane, 2005] et BIFOLDLEAP [El-Hajj *et al.*, 2005]. Ces deux approches permettent d'extraire l'ensemble des motifs fréquents satisfaisant un ensemble de contraintes monotones et anti-monotones. Ces approches mettent en place une nouvelle stratégie qui se réalise en deux principales phases. La première phase consiste à extraire tous les motifs fréquents maximaux moyennant l'algorithme COFI\* [El-Hajj et Zaïane, 2004]. La contrainte monotone est intégrée lors de la première phase afin d'élaguer tous les items qui ne vérifient pas cette contrainte puisque tous leurs sur-ensembles ne la vérifient bien évidemment pas. Puis, lors de la deuxième phase tous les sous ensembles valides des motifs fréquents maximaux seront générés selon le principe suivant. Tout motif fréquent maximal ne satisfaisant pas la contrainte monotone, sera élagué puisque tous ses sous ensembles ne la satisfont pas. Pour tout motif fréquent maximal satisfaisant la contrainte anti-monotone, alors tous ses sous ensemble satisfont cette contrainte et seront ainsi générés et évalués par rapport à la contrainte monotone. À la fin de ce traitement, tous les motifs fréquents valides par rapport aux contraintes monotones et anti-monotones posées, seront extraits. Les deux algorithmes proposés présentent des performances meilleures que l'algorithme DUALMINER grâce aux techniques de réductions du nombre d'évaluations des contraintes adoptées.

**Exemple 28** *Considérons le contexte d'extraction donné par la table 1.1. La contrainte anti-monotone  $C_{am}$  correspond à la contrainte de corrélation minimale par rapport à la mesure  $bond$ ,  $bond(X) \geq 0,30$ . La contrainte monotone  $C_m$  correspond,  $Supp(X) < 3$ .*

*La première phase consiste à extraire l'ensemble  $\mathcal{MFM}$  des motifs maximaux de support non nul, nous avons  $\mathcal{MFM} = \{(ABCE, 2), (ACD, 1)\}$ . La contrainte de fréquence est traduite par  $Supp(X) \geq 1$ .*

*Lors de la deuxième étape, le motif  $ACD$  ne satisfait pas la contrainte anti-monotone de corrélation, vu que  $bond(ACD) = \frac{1}{4} = 0,25 < 0,30$ . Ainsi, tous ses sous-ensembles ne sont pas corrélés, il est ainsi élagué. Par contre, le motif  $ABCE$  est corrélé,  $bond(ABCE) = \frac{2}{5} = 0,40 \geq 0,30$  et il est rare aussi,  $Supp(ABCE) = 2 < 3$ . Donc tous ses sous-ensembles sont corrélés, ils seront ainsi générés et évalués uniquement par rapport à la contrainte monotone de rareté. Nous avons ainsi,  $\mathcal{S} = \{(ABC, 2), (ABE, 2), (BCE, 3)\}$ . Le motif  $BCE$  n'est pas rare, il sera élagué, L'ensemble  $\mathcal{RES}$  des motifs résultats correspond é,  $\mathcal{RES} =$*

---

9. DPC-COFI est l'acronyme de *Dual Pushing* of Constraint in **Cofi**.

$\{(ABCE, 2), (ABC, 2), (ABE, 2)\}$ . Les motifs  $ABC$  et  $ABE$  seront maintenus et tous leurs sous-ensembles sont générés,  $\mathcal{S} = \{(AB, 2), (AC, 3), (BC, 3), (AE, 2), (BE, 4)\}$ . Les motifs rares seront ajoutés à l'ensemble résultat  $\mathcal{RES}$  de tous les motifs corrélés rares,  $\mathcal{RES} = \{(ABCE, 2), (ABC, 2), (ABE, 2), (AE, 2), (AB, 2)\}$ .

### 2.4.5 L'approche EXAMINER

L'algorithme EXAMINER [Bonchi *et al.*, 2005] a été aussi proposé pour la fouille des motifs fréquents sous une contrainte monotone. Les auteurs de cet algorithme prouvent l'existence d'une synergie réelle entre les contraintes de natures opposés. En effet, les contraintes anti-monotones permettent la réduction de l'espace de recherche grâce à la propriété de fermeture vers le bas, tandis que les contraintes monotones permettent d'éliminer des transactions de la base de transactions. L'élagage des transactions de la base qui ne satisfont pas une contrainte monotone est effectué par l'algorithme EXANTE. En effet, la réduction de la base de transaction est justifiée par le fait qu'aucun sous-ensemble d'une transaction élaguée ne satisfait la contrainte monotone considérée. La synergie est ainsi traduite par le fait que les deux stratégies d'élagages se renforcent en réduisant l'espace de recherche, et simplifient par conséquent la dimension du problème de fouille. Il est toutefois important de noter que ces stratégies de réduction du contexte d'extraction, souffrent d'une limite liée aux coûts des opérations d'entrée et de sortie réalisées lors des processus itératifs de réécriture de la base sur le disque [El-Hajj *et al.*, 2005]. De plus, ces approches ne sont pas applicables pour le cas d'une contrainte monotone sensible au changement du nombre de transactions. Ceci est le cas de la contrainte de rareté que nous traitons dans ce travail.

**Exemple 29** *Considérons le contexte d'extraction donné par la table 1.1. Pour un motif donné  $X$ , la contrainte anti-monotone  $C_{am}$  de fréquence est traduite par,  $Supp(X) \geq 3$ . La contrainte monotone  $C_m$  est traduite par,  $Prix(X) \geq 30$ . Le principe de déroulement de l'algorithme EXAMINER est illustré par la figure 2.3.*

Nous avons ainsi analysé différentes approches de la littérature abordant la problématique de fouille de motifs sous la conjonction de contraintes de types opposés. Dans ce qui suit, nous passons en revue les algorithmes d'extraction de représentations concises de motifs fréquents sous la conjonction de contraintes.

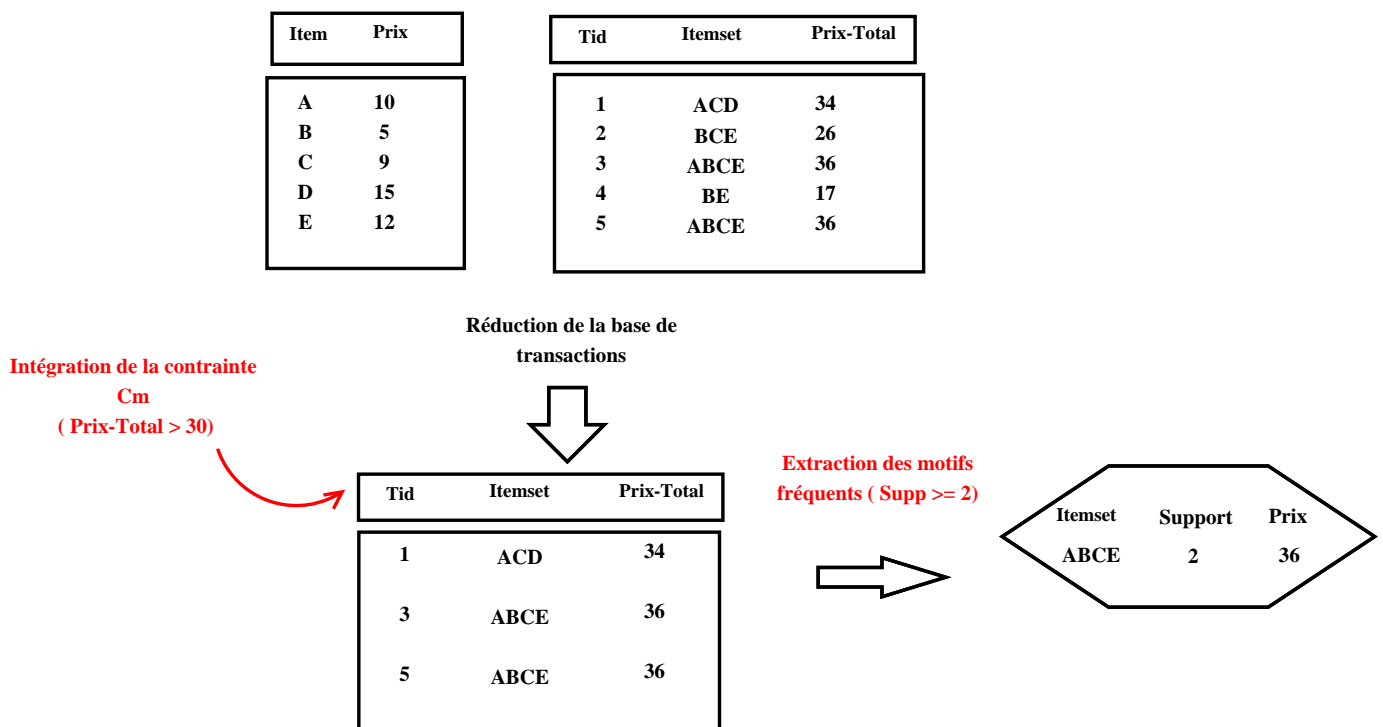


FIGURE 2.3 – Le principe de déroulement de l’algorithme EXAMINER pour le contexte  $\mathcal{D}$ .

### 2.4.6 Les approches d’extraction de représentations concises de motifs fréquents sous la conjonction de contraintes de types opposés

Très peu d’approches traitants la problématique d’extraction de représentations concises de motifs fréquents sous la conjonction de contraintes de types opposés ont vu le jour. En effet, nous distinguons uniquement trois approches. La première approche a été proposée dans [Boulicaut et Jeudy, 2001] et consiste en une approche d’extraction d’une représentation concise basée sur les générateurs minimaux dits aussi “itemsets libres” fréquents et qui satisfont un ensemble donné de contraintes monotones et de contraintes anti-monotones. En effet, l’algorithme proposé constitue une variation de l’algorithme A-CLOSE [Pasquier *et al.*, 2005] avec l’incorporation des contraintes dans la phase d’extraction des motifs. De plus, les motifs libres extraits constituent une représentation concise avec perte d’information [Bonchi et Lucchese, 2006], autrement dit l’ensemble total des motifs fréquents respectant les contraintes posées, ne peut pas être dérivé à partir de l’ensemble des motifs libres retenus. À cet égard, des approches d’extraction

de représentations concises sous contraintes basée sur les motifs fermés fréquents ont aussi émergé. Nous citons dans ce cadre, l'approche introduite dans [Lei *et al.*, 2003] et l'algorithme CCI-MINER [Bonchi et Lucchese, 2006]. Toutefois, l'algorithme proposé dans [Lei *et al.*, 2003] opère par post traitement. En effet, tous les motifs fermés fréquents sont extraits dans un premier temps puis, ils sont filtrés par post traitement afin de ne maintenir que les fermés fréquents qui sont valides par rapport à l'ensemble de contraintes posées. Par opposition à ce dernier, CCI-MINER est une approche sophistiquée qui consiste en un algorithme en profondeur basée sur le principe d'incorporation de toutes les contraintes à la fois. En effet, CCI-MINER repose sur l'intégration de l'algorithme FP-BONSAI [Bonchi et Lucchese, 2006] d'extraction des motifs fréquents sous contraintes monotones avec l'algorithme CLOSET d'extraction de motifs fermés fréquents. Ces motifs retournés par CCI-MINER constituent une représentation concise sans perte d'information de l'ensemble de tous les motifs fréquents répondants aux contraintes posées. En outre, dans [Bonchi et Lucchese, 2006] les auteurs ont prouvé expérimentalement que les approches naïves opérants par post-traitement engendrent une perte d'information considérable. Nous proposons dans ce qui suit un exemple illustratif des différentes représentations concises proposées.

**Exemple 30** *Considérons le contexte d'extraction donné par la table 1.1 et la table des prix des items utilisée dans l'exemple 29. Pour un motif donné  $X$ , la contrainte anti-monotone  $Cam$  de fréquence est traduite par,  $Supp(X) \geq 2$  et la contrainte monotone  $Cm$  est traduite par,  $Prix(X) \geq 12$ .*

*L'approche proposée dans [Boulicaut et Jeudy, 2001] permet d'extraire l'ensemble  $\mathcal{GMF}$  des générateurs minimaux fréquents. Chaque itemset de cet ensemble ne possède aucun sous-ensemble de même support conjonctif que lui. Nous avons, pour  $minsupp = 2$ , l'ensemble  $\mathcal{GMF}$  des générateurs minimaux fréquents muni chacun de son support.  $\mathcal{GMF} = \{(E, 4, 12), (B, 4, 5), (AB, 2, 15), (AE, 2, 22), (C, 4, 9), (BC, 3, 14), (EC, 3, 21), (A, 3, 10)\}$ . Tous les éléments de cet ensemble vérifient la contrainte anti-monotone de fréquence, les itemsets ne vérifiant pas la contrainte monotone traduite par le prix minimal seront élagués. Ainsi, nous avons  $\mathcal{GMF} = \{(E, 4, 12), (AB, 2, 15), (AE, 2, 22), (BC, 3, 14), (EC, 3, 21)\}$ . L'ensemble  $\mathcal{GMF}$  englobe ainsi tous les générateurs minimaux fréquents satisfaisants la contrainte monotone. L'ensemble de tous les motifs fréquents répondant à la contrainte monotone ne peut pas être dérivé à partir de l'ensemble  $\mathcal{GMF}$ . Traitons à présent l'ensemble  $\mathcal{MFF}$  des motifs fermés fréquents extraits grâce à l'approche CCI-MINER [Bonchi et Lucchese, 2006] ou moyennant l'approche proposée*

dans [Lei et al., 2003]. Tout motif de l'ensemble  $\mathcal{MFF}$  ne possède aucun sur-ensemble de même support que lui. Nous avons  $\mathcal{MFF}$  l'ensemble de ces motifs munis chacun de son support et de son prix.  $\mathcal{MFF} = \{ (ABCE, 2, 36), (BCE, 3, 26), (BE, 4, 17), (AC, 3, 19) \}$ . L'ensemble  $\mathcal{MFF}$  englobe ainsi tous les motifs fermés fréquents dont le prix dépasse 12. L'ensemble  $\mathcal{MF}$  de tous les motifs fréquents vérifiant la contrainte monotone de prix minimal peut être dérivé en générant pour chaque motif fermé, les sous-ensembles appartenant à la même classe d'équivalence que lui c.-é.-d. possédant le même support que lui.  $\mathcal{MF} = \{ (ABCE, 2, 36), (ABC, 2, 24), (ABE, 2, 27), (AB, 2, 15), (AE, 2, 22), (BCE, 3, 26), (BC, 3, 14), (CE, 3, 21), (BE, 4, 17), (E, 4, 12), (AC, 3, 19) \}$ .

Nous avons ainsi montré que les représentations concises proposées par [Bonchi et Lucchese, 2006] et [Lei et al., 2003] autorisent une dérivation complète de l'ensemble de tous les motifs fréquents satisfaisant la contrainte monotone de prix minimal.

### 2.4.7 Discussion

D'après l'étude des différentes approches de la littérature présentée dans cette section, nous constatons que les approches sophistiquées et les approches opérants par post traitement constituent deux solutions pour la problématique d'extraction de motifs sous contraintes.

Les approches opérants par post traitement, consistent à extraire tous les motifs vérifiant la contrainte anti monotone puis à effectuer un post traitement pour filtrer ces motifs par rapport à la contrainte monotone. Autrement dit, aucune intégration de la contrainte monotone n'est réalisée et l'exploration de l'espace de tous les motifs ne vérifiant pas la contrainte monotone s'effectue ainsi inutilement. De plus, les algorithmes actuels risquent de se bloquer à cause de la consommation excessive de la mémoire centrale.

Quant aux approches sophistiquées, ces dernières intègrent l'ensemble des contraintes anti-monotones et monotones dans la fouille. Toutefois, l'intégration des contraintes monotones engendre la réduction des opportunités d'élagage de candidats selon la propriété de l'idéal d'ordre des contraintes anti-monotones. En effet, les contraintes anti-monotones sont plus faciles à intégrer dans la réduction de l'espace de recherche en exploitant la propriété très intéressante de l'idéal d'ordre. Alors que les contraintes monotones sont plus compliquées et difficiles à incorporer dans le processus de fouille. De plus, elles sont moins efficaces dans la réduction de l'espace de recherche que les contraintes anti-monotones.

Nous constatons, que le choix de la meilleure approche dépend des caractéristiques de la base de données et des spécificités des contraintes posées.

Le tableau 2.5 récapitule les caractéristiques des différentes approches étudiées. Cette récapitulation couvrira les axes suivants :

1. **Type de motifs extraits** : Cette propriété décrit le type de motifs générés par l'algorithme. Par *Motifs valides*, nous entendons les motifs qui satisfont l'ensemble des contraintes monotones et anti-monotones posées.
2. **Caractéristiques** : Cette propriété décrit les principales caractéristiques de l'algorithme en question.

Au meilleur de notre connaissance, aucune étude dans la littérature n'a été réalisée afin d'extraire des représentations concises de l'ensemble des motifs corrélés rares selon la mesure *bond* résultant de la conjonction de la contrainte anti-monotone de corrélation et de la contrainte monotone de rareté. À cet égard, nous introduisons dans le chapitre suivant nos approches d'extraction de nouvelles représentations exactes de ces motifs corrélés rares.

## 2.5 Conclusion

Dans ce chapitre nous avons donné un aperçu de l'extraction des motifs rares et nous avons analysé l'approche récente d'extraction de représentations concises exactes des motifs rares. Ensuite, nous avons détaillé les approches d'extraction des motifs corrélés fréquents et de leurs représentations concises. Nous avons aussi étudié les algorithmes traitants de l'extraction des motifs corrélés sous contraintes de types opposés. Nous avons, par la suite, analysé la panoplie d'approches constituant le cadre générique de la problématique de fouille de motifs sous la conjonction de contraintes de types opposés. Nous avons, à cet égard, étudié les caractéristiques de ces approches et discuté leurs avantages et limites. Dans le chapitre suivant, nous allons caractériser l'ensemble des motifs corrélés rares selon la mesure *bond* et nous présenterons de nouvelles représentations concises de ces motifs.

Algorithme d'extraction	Type de motifs extraits	Caractéristiques
DUALMINER [Bucila <i>et al.</i> , 2003]	tous les motifs valides	– Temps d'exécution élevé vu la nature duale du parcours
MCP [Boulicaut et Jeudy, 2000]	tous les motifs valides	– La bordure positive de la contrainte monotone doit passer en paramètre
ACP [Bonchi <i>et al.</i> , 2003]	tous les motifs valides	– La notion d'adaptativité proposée n'est pas spécifiée rigoureusement
VST [De Raedt <i>et al.</i> , 2002]	chaînes de caractères valides	– Nombre élevé de balayage de la base – Évaluations inutiles des contraintes
FAVST [Lee et De Raedt, 2004]	chaînes de caractères valides	– Approche plus efficace que VST.
DPCCOFI [El-Hajj et Zaïane, 2005] BIFOLDLEAP [El-Hajj <i>et al.</i> , 2005]	motifs fréquents valides	– Approches sophistiquées et plus efficaces que DUAL-MINER
EXAMINER [Bonchi <i>et al.</i> , 2005]	motifs fréquents valides	– Coûts élevés de réécriture de la base – Approche applicable que pour les contraintes monotones insensibles au changement de la base
CCIMINER [Bonchi et Lucchese, 2006]	motifs fermés fréquents valides	– Approche sophistiquée – Représentation concise et sans perte d'information
L'approche de [Lei <i>et al.</i> , 2003]	motifs fermés fréquents valides	– Approche par post traitement et engendre une perte d'information
L'approche de [Boulicaut et Jeudy, 2001]	générateurs minimaux fréquents valides	– Représentation concise avec perte d'information

TABLE 2.5 – Tableau comparatif des algorithmes traitant des contraintes de types opposés.



# Chapitre 3

## Nouvelles représentations concises des motifs corrélés rares

### 3.1 Introduction

Nous consacrons ce chapitre à la présentation de nos contributions dans la réduction des motifs corrélés rares. Pour ce faire, nous étudions profondément les propriétés des motifs corrélés rares dans la première section. Ensuite, nous décrivons dans la deuxième section les caractéristiques des classes d'équivalence associées à ces motifs. Quant à la troisième section, elle sera dédiée à la justification de nos motivations quant à l'extraction des représentations concises des motifs corrélés rares. Ensuite nous proposons, de nouvelles représentations concises des motifs corrélés rares [Bouasker *et al.*, 2011] à savoir les représentations concises exactes  $\mathcal{RMCR}$ ,  $\mathcal{RMMaxF}$  et  $\mathcal{RMinMF}$ , ainsi que la représentation concise approximative  $\mathcal{RMinMMaxF}$ .

### 3.2 Caractérisation des motifs corrélés rares

Nous commençons dans la sous-section suivante par définir l'ensemble des motifs rares corrélés selon la mesure *bond*.

#### 3.2.1 Définition des motifs corrélés rares

**Définition 21** (*Motifs corrélés rares associés à la mesure bond*) [Bouasker *et al.*, 2011] *étant donnés les seuils minimaux de support conjonctif et de corrélation min<sub>supp</sub> et min<sub>bond</sub>, respectivement, l'ensemble des motifs corrélés rares, dénoté  $\mathcal{MCR}$ , est défini comme*

suit :  $MCR = \{I \subseteq \mathcal{I} \mid Supp(\wedge I) < minsupp \text{ et } bond(I) \geq minbond\}$ .

**Exemple 31** Considérons la base illustrée par la table 1.1 pour  $minsupp = 4$  et  $minbond = 0,2$ . L'ensemble  $MCR$  est composé des motifs suivants où chaque triplet représente le motif, sa valeur de support et sa valeur de bond :  $MCR = \{(A, 3, \frac{3}{5}), (D, 1, \frac{1}{1}), (AB, 2, \frac{2}{5}), (AC, 3, \frac{3}{4}), (AD, 1, \frac{1}{3}), (AE, 2, \frac{2}{5}), (BC, 3, \frac{3}{5}), (CD, 1, \frac{1}{4}), (CE, 3, \frac{3}{5}), (ABC, 2, \frac{2}{5}), (ABE, 2, \frac{2}{5}), (ACD, 1, \frac{1}{4}), (ACE, 2, \frac{2}{5}), (BCE, 3, \frac{3}{5}), (ABCE, 2, \frac{2}{5})\}$ . Cet ensemble est schématisé par la figure 3.1. Le support indiqué en haut à gauche de chaque cadre représentant un motif est son support conjonctif. Comme le montre cette figure, l'ensemble  $MCR$  des motifs corrélés rares correspond aux motifs localisés en dessous de la bordure de la contrainte anti-monotone associée aux motifs corrélés, et au dessus de la bordure de la contrainte monotone associée aux motifs rares.

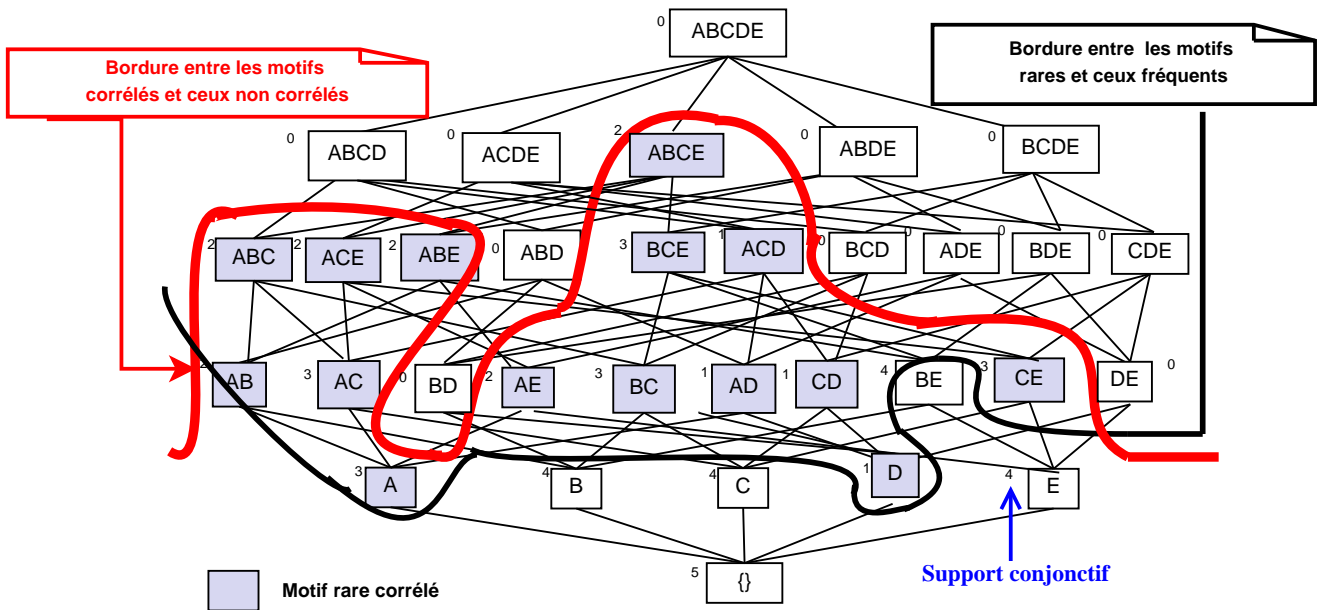


FIGURE 3.1 – Espace des motifs corrélés rares pour  $minsupp = 4$  et  $minbond = 0,2$ .

Il résulte de la définition précédente que l'ensemble  $MCR$  correspond à l'intersection de l'ensemble des motifs corrélés et de l'ensemble des motifs rares :  $MCR = MC \cap MR$ . La proposition suivante découle de ce résultat.

**Proposition 3** Soit  $I \in MCR$ . Nous avons :

- D'après l'idéal d'ordre de l'ensemble des motifs corrélés selon la mesure bond,  $\forall I_1 \subseteq I : I_1 \in MC$

— D’après le filtre d’ordre de l’ensemble des motifs rares,  $\forall I_1 \supseteq I : I_1 \in \mathcal{MR}$ .

La preuve découle des propriétés induites par les contraintes de corrélation et de rareté. L’ensemble  $\mathcal{MCR}$ , dont les éléments vérifient la contrainte “être un motif corrélé rare”, résulte ainsi de l’intersection de deux ordres résultant de deux contraintes de natures opposés. Cet ensemble n’est ainsi ni un idéal ni un filtre d’ordre. Dans le treillis des motifs, l’espace de recherche des motifs corrélés rares est ainsi délimité, d’une part, par les éléments maximaux vérifiant la contrainte de corrélation et qui sont rares, *c.-é.-d.* les motifs rares parmi l’ensemble  $\mathcal{MCMax}$  des motifs corrélés maximaux (*cf.* Définition 14) et, d’autre part, par les éléments minimaux vérifiant la contrainte de rareté et qui sont corrélés, *c.-é.-d.* les motifs corrélés parmi l’ensemble  $\mathcal{MRMin}$  des motifs rares minimaux (*cf.* Définition 11). Ainsi, tout motif corrélé rare est nécessairement compris entre un élément de chacun des deux ensembles susmentionnés.

**Exemple 32** *Considérons la figure 3.1 pour  $\text{minsupp} = 4$  et  $\text{minbond} = 0,2$ . L’espace des motifs corrélés rares est délimité par : d’une part les motifs corrélés maximaux pour  $\text{minbond} = 0,2$ , à savoir  $ACD$  et  $ABCE$  (*cf.* Exemple 10), et, d’autre part, par les motifs rares minimaux pour  $\text{minsupp} = 4$ , à savoir  $A$ ,  $D$ ,  $BC$  et  $CE$ . Par exemple, le motif  $AD$  est un motif corrélé rare étant donné qu’il est compris entre un motif rare minimal à savoir  $D$  et un motif corrélé maximal à savoir  $ACD$ .*

Cet espace est ainsi plus difficile à localiser que les ensembles associés à des contraintes de même nature. En effet, la conjonction de contraintes anti-monotones (*resp.* monotones) est une contrainte anti-monotone (*resp.* monotone) [Bonchi et Lucchese, 2006]. Par exemple, la contrainte “être un motif corrélé non rare (*c.-é.-d.* fréquent)” est une contrainte anti-monotone puisque elle est résultante de la conjonction des contraintes anti-monotones “être un motif corrélé” et “être un motif fréquent”. Elle induit donc un idéal d’ordre [Ben Younes *et al.*, 2010a]. La contrainte “être un motif non corrélé rare” est une contrainte monotone et l’ensemble associé forme un filtre d’ordre dans le treillis des motifs.

D’un point de vue taille, et étant données les natures des contraintes induites par les seuils minimaux de support et de corrélation, à savoir respectivement  $\text{minsupp}$  et  $\text{minbond}$ , la taille de l’ensemble  $\mathcal{MCR}$  des motifs corrélés rares varie de la manière indiquée dans la proposition suivante.

#### Proposition 4

a) Soient  $\text{minsupp}_1$  et  $\text{minsupp}_2$  deux seuils minimaux de support et  $\mathcal{MCR}_{s_1}$  et  $\mathcal{MCR}_{s_2}$  les deux ensembles des motifs corrélés rares associés pour une même valeur de  $\text{minbond}$ . Nous avons : si  $\text{minsupp}_1 \leq \text{minsupp}_2$ , alors  $\mathcal{MCR}_{s_1} \subseteq \mathcal{MCR}_{s_2}$  et par conséquent  $|\mathcal{MCR}_{s_1}| \leq |\mathcal{MCR}_{s_2}|$ .

b) Soient  $\text{minbond}_1$  et  $\text{minbond}_2$  deux seuils minimaux de corrélation et  $\mathcal{MCR}_{b_1}$  et  $\mathcal{MCR}_{b_2}$  les deux ensembles des motifs corrélés rares associés pour une même valeur de  $\text{minsupp}$ . Nous avons : si  $\text{minbond}_1 \leq \text{minbond}_2$ , alors  $\mathcal{MCR}_{b_2} \subseteq \mathcal{MCR}_{b_1}$  et par conséquent  $|\mathcal{MCR}_{b_2}| \leq |\mathcal{MCR}_{b_1}|$ .

**Preuve.**

- La preuve de **a)** dérive du fait que pour  $I \subseteq \mathcal{I}$ , si  $\text{Supp}(\wedge I) < \text{minsupp}_1$ , alors  $\text{Supp}(\wedge I) < \text{minsupp}_2$ . Ainsi,  $\forall I \in \mathcal{MCR}_{s_1}, I \in \mathcal{MCR}_{s_2}$ . Il en résulte que  $\mathcal{MCR}_{s_1} \subseteq \mathcal{MCR}_{s_2}$ .

- La preuve de **b)** dérive du fait que pour  $I \subseteq \mathcal{I}$ , si  $\text{bond}(I) \geq \text{minbond}_2$ , alors  $\text{bond}(I) \geq \text{minbond}_1$ . Ainsi,  $\forall I \in \mathcal{MCR}_{b_2}, I \in \mathcal{MCR}_{b_1}$ . Par conséquent,  $\mathcal{MCR}_{b_2} \subseteq \mathcal{MCR}_{b_1}$ .

Ainsi, la taille de  $\mathcal{MCR}$  est proportionnelle à  $\text{minsupp}$  et inversement proportionnelle à  $\text{minbond}$ . Il est toutefois à noter que, dans le cas général, nous ne pouvons rien décider quand les deux seuils varient en même temps et non seulement un à la fois.

Nous avons ainsi analysé la variation de la taille de l'ensemble  $\mathcal{MCR}$ . La question qui se pose à ce stade est, comment pouvons nous caractériser les motifs corrélés rares à travers leurs sous-ensembles directs? Autrement dit, pouvons nous affirmer la corrélation et ou la rareté d'un motif quelconque, étant donné la connaissance de ses sous-ensemble? Cette problématique sera étudiée dans ce qui suit.

### 3.2.2 Étude des propriétés spécifiques des motifs corrélés rares

Toutefois, deux cas sont à distinguer lors de l'affirmation de la nature de corrélation et de rareté d'un motif quelconque  $X$  connaissant ses sous-ensembles. Le premier cas se réalise lorsque le motif  $X$  possède un sous-ensemble direct corrélié rare. Quand au deuxième cas, il se réalise lorsque le motif  $X$  ne possède aucun sous ensemble corrélié rare. Analysons chaque cas à part.

Dans le premier cas, le motif  $X$  possède un sous-ensemble direct corrélié rare. Ce motif est ainsi rare corrélié comme le justifie la proposition suivante,.

**Proposition 5** *Soit  $X$  est un motif corrélé. Si  $\exists Y \in \mathcal{MCR} \mid Y \subset X$  et  $|Y| = |X| - 1$  alors le motif  $X$  est un motif corrélé rare.*

La preuve de cette proposition découle de la propriété de filtre d'ordre des motifs rares. En effet, tout motif corrélé qui est sur-ensemble d'un motif rare est forcément rare corrélé.

Cependant, dans le deuxième cas, *c.-é.-d.* lorsque le motif  $X$  ne possède aucun sous-ensemble appartenant à l'ensemble  $\mathcal{MCR}$ . Plus précisément, tous les sous-ensembles du motif  $X$  sont des motifs corrélés fréquents, alors nous ne pouvons rien décider quant à la nature de fréquence de ce motif. La proposition suivante présente une condition nécessaire et suffisante à l'affirmation de la nature de fréquence d'un motif corrélé.

**Proposition 6** *Soit  $X$  est un motif corrélé. Désignons par  $\text{minbond}$  le seuil minimal de corrélation selon la mesure  $\text{bond}$  et par  $\text{minsuppRel}$  le seuil minimal de support relatif correspondant à  $\frac{\text{minsupp}}{|\mathcal{T}|}$ . Si  $\text{bond}(X) < \text{minsuppRel}$  alors le motif corrélé  $X$  est un motif corrélé rare.*

**Preuve.** *Désignons par  $\text{SuppRel}(X)$  le support relatif d'un motif  $X$ . Nous avons  $\text{SuppRel}(X) = \frac{\text{Supp}(\wedge X)}{|\mathcal{T}|}$  et  $\text{bond}(X) = \frac{\text{Supp}(\wedge X)}{\text{Supp}(\vee X)}$ .*

*Or,  $\text{Supp}(\vee X) \leq |\mathcal{T}|$  donc  $\frac{1}{\text{Supp}(\vee X)} \geq \frac{1}{|\mathcal{T}|}$ . Ainsi, nous avons  $\frac{\text{Supp}(\wedge X)}{\text{Supp}(\vee X)} \geq \frac{\text{Supp}(\wedge X)}{|\mathcal{T}|}$ .*

*Ceci est équivalent é,  $\text{bond}(X) \geq \text{SuppRel}(X)$ . Le motif  $X$  étant corrélé, alors  $\text{bond}(X) \geq \text{minbond}$ .*

*Dans le cas où  $\text{minbond} < \text{minsuppRel}$  et  $\text{minbond} \leq \text{bond}(X) < \text{minsuppRel}$ , nous avons alors  $\text{SuppRel}(X) \leq \text{bond}(X) < \text{minsuppRel}$ . Ce qui implique,  $\text{SuppRel}(X) < \text{minsuppRel}$ .*

*Par conséquent,  $\text{SuppRel}(X) \times |\mathcal{T}| < \text{minsuppRel} \times |\mathcal{T}|$ . Ceci est équivalent é,  $\text{Supp}(\wedge X) < \text{minsupp}$ , le motif  $X$  est par conséquent rare.*

D'après la proposition précédente, nous concluons qu'un motif corrélé  $X$ , pour qu'il soit corrélé rare, il faut que sa valeur de mesure  $\text{bond}$  soit strictement inférieur au seuil  $\text{minsuppRel}$ . Cependant, lorsque la valeur de mesure  $\text{bond}$  dépasse le seuil  $\text{minsuppRel}$ , alors nous ne pouvons pas affirmer la rareté du motif  $X$ . Ceci est justifié grâce à la proposition suivante.

**Proposition 7** *Pour  $\text{bond}(X) \geq \text{minsuppRel}$ , nous pouvons rien affirmer quant à la fréquence du motif corrélé  $X$ .*

**Preuve.** Nous avons  $\text{Supp}(\wedge X) \geq \frac{\text{Supp}(\wedge X)}{\text{Supp}(\vee X)}$ , ceci est équivalent à  $\text{Supp}(\wedge X) \geq \text{bond}(X)$ .

Pour  $\text{bond}(X) \geq \text{minsuppRel}$ , nous avons  $\text{Supp}(\wedge X) \geq \text{bond}(X) \geq \text{minsuppRel}$ . Ceci donne,  $\text{minsuppRel} \leq \text{Supp}(\wedge X)$  et  $\text{minsuppRel} \leq \text{minsupp}$ . Par conséquent, nous ne pouvons rien conclure quant à la fréquence ou la rareté du motif corrélé candidat  $X$ .

D'après les propositions 6 et 7, nous concluons qu'un motif corrélé  $X$ , pour qu'il soit corrélé rare, il faut que sa valeur de mesure  $\text{bond}$  soit strictement inférieur au seuil  $\text{minsuppRel}$ . Toutefois, dans le cas où tous les sous-ensembles du motif  $X$  sont fréquents corrélés, nous ne pouvons pas cerner sa valeur de la mesure  $\text{bond}$  et par conséquent nous ne pouvons toujours pas, comme l'illustre la proposition suivante, décider de sa fréquence ou de sa rareté.

**Proposition 8** Soit  $X$  un motif corrélé. Si tous les sous-ensembles de  $X$  sont corrélés fréquents alors nous pouvons rien affirmer quant à la fréquence du motif corrélé  $X$ .

**Preuve.** Tous les sous-ensembles d'un motif corrélé  $X$  sont des motifs corrélés fréquents, ainsi nous avons pour tout motif  $Y \subset X$  et  $|Y| = |X| - 1$ ,  $\text{bond}(Y) \geq \text{minbond}$  et  $\text{SuppRel}(Y) \geq \text{minsuppRel}$ .

Or,  $\text{bond}(Y) \geq \text{SuppRel}(Y)$  donc  $\text{bond}(Y) \geq \text{minsuppRel}$ .

Comme  $Y \subset X$ , alors  $\text{bond}(X) \leq \text{bond}(Y)$  d'après la propriété d'anti-monotonie des motifs corrélés.

Puisque  $\text{bond}(Y) \geq \text{minsuppRel}$ , alors deux cas sont possibles :

(i)  $\text{bond}(X) < \text{minsuppRel} \leq \text{bond}(Y)$  : Le motif corrélé candidat  $X$  est ainsi rare d'après la proposition 6.

(ii)  $\text{minsuppRel} \leq \text{bond}(X) \leq \text{bond}(Y)$  : Nous ne pouvons rien décider quant à fréquence ou à la rareté du motif corrélé candidat  $X$  d'après la proposition 7.

Il est clair d'après la proposition précédente, que même dans le cas où, tous les sous-ensembles d'un motif corrélé  $X$  sont fréquents corrélés, nous devons l'évaluer par rapport à la contrainte de rareté afin de confirmer sa nature.

Nous avons ainsi analysé minutieusement les propriétés des motifs corrélés rares. Dans ce qui suit, nous étudions le mécanisme d'intégration des contraintes dans le processus de fouille.

### 3.3 Mécanisme d'intégration des contraintes de rareté et de corrélation

L'ordre d'évaluation des contraintes est d'une importance majeure vu la nature opposée des contraintes anti-monotone de corrélation et monotone de rareté que nous considérons dans ce travail. Deux scénarios sont ainsi à distinguer :

- **Scénario 1** : Appliquer la contrainte de rareté, l'opérateur de fermeture associé, et ensuite la contrainte de corrélation, ou,
- **Scénario 2** : Appliquer la contrainte de corrélation, l'opérateur de fermeture associé, et ensuite la contrainte de rareté.

Ces deux scénarios sont analysés dans ce qui suit afin de justifier le choix du scénario adéquat dans les approches que nous allons proposer.

#### 3.3.1 Premier scénario

Dans ce cas, l'extraction des motifs rares est effectuée en premier lieu. Ensuite, les motifs retenus seront filtrés en ne gardant que les motifs rares, dont la valeur de la mesure *bond* dépasse le seuil minimal *minbond*. Dans cette situation, afin de réduire la redondance entre les motifs, l'application de l'opérateur de fermeture conjonctive associé au support conjonctif [Ganter et Wille, 1999] permet de partitionner le treillis en des classes d'équivalence oé, pour un motif donné, cette fermeture ne préserve que le support conjonctif. Il en résulte que tous les motifs qui apparaissent dans les mêmes transactions seront regroupés dans une même classe d'équivalence. Ils ont ainsi le même support conjonctif et la même fermeture conjonctive, mais ont des supports disjonctifs éventuellement différents. Dans ce cas, les classes d'équivalence rares, *c.-é.-d.* celles contenant les motifs rares, seront ensuite évaluées par la contrainte anti-monotone de corrélation. Les motifs d'une même classe seront ainsi divisés en des motifs corrélés rares et des motifs rares non corrélés, comme le montre la figure 3.2.

**Exemple 33** *Soit le contexte illustré par la table 1.1. Pour  $\text{minsupp} = 3$ , nous distinguons les deux classes d'équivalence rares  $\mathcal{C}_1$  et  $\mathcal{C}_2$  schématisées par la figure 3.2 et qui sont comme suit :*

- $\mathcal{C}_1$  contient les motifs  $D$ ,  $AD$ ,  $CD$  et  $ACD$ . Elle admet comme support conjonctif 1 et comme fermeture conjonctive  $ACD$ .
- $\mathcal{C}_2$  contient les motifs  $AB$ ,  $AE$ ,  $ABC$ ,  $ABE$ ,  $ACE$ , et  $ABCE$ . Elle admet comme support conjonctif 2 et comme fermeture conjonctive  $ABCE$ .

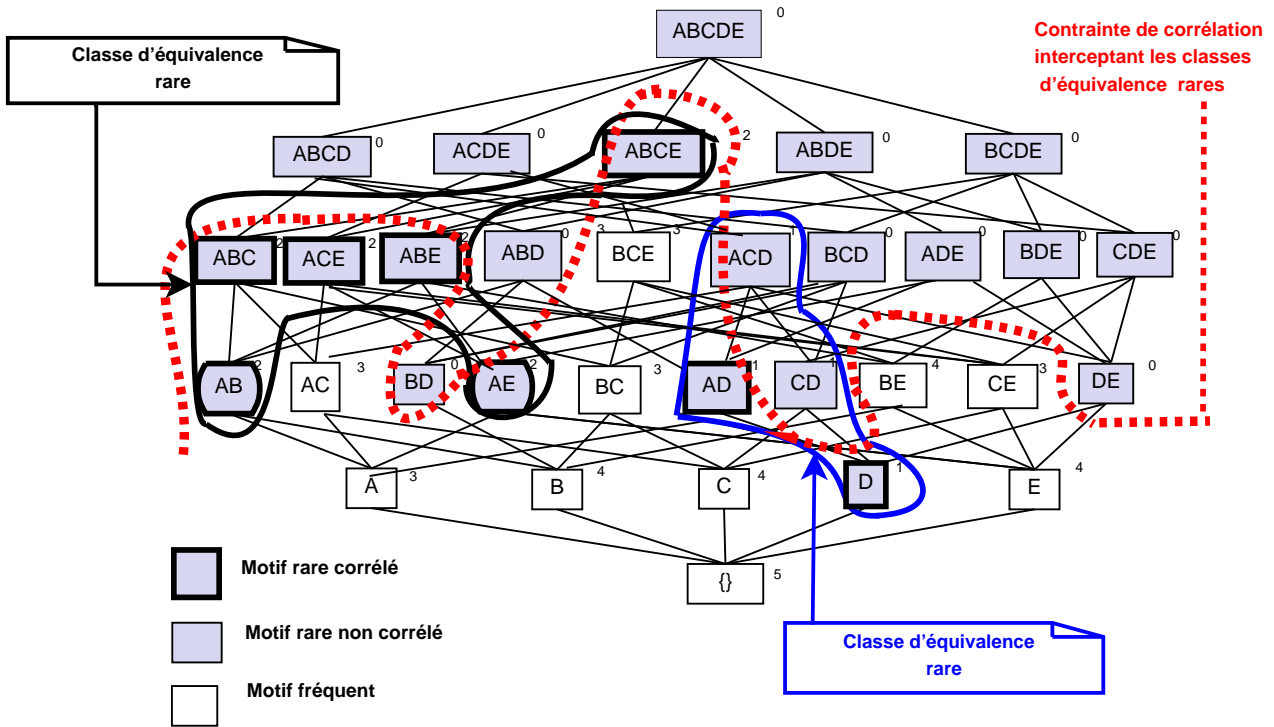


FIGURE 3.2 – Effet de l’application de la contrainte de corrélation pour  $minsupp = 3$  et  $minbond = 0,3$ .

En appliquant la contrainte de corrélation à travers un seuil minimal  $minbond = 0,3$ , pour la classe  $\mathcal{C}_1$ , seuls les motifs  $\{(D, 1, \frac{1}{1}), (AD, 1, \frac{1}{3})\}$  seront rares corrélés alors que  $(CD, 1, \frac{1}{4}), (ACD, 1, \frac{1}{4})$  sont des éléments rares non corrélés. Ceci revient au fait que les motifs de  $\mathcal{C}_1$  n’admettent pas le même support disjonctif. Par contre, tous les motifs de la classe  $\mathcal{C}_2$  sont corrélés rares.

### 3.3.2 Deuxième scénario

Le deuxième scénario consiste à extraire tous les motifs corrélés et les répartir en des classes d’équivalence moyennant l’opérateur de fermeture  $f_{bond}$  puis à les filtrer par rapport à la contrainte de rareté. En fait, les éléments d’une même classe d’équivalence partagent bien évidemment la même valeur de la mesure  $bond$ . Par conséquent, en considérant uniquement la contrainte anti-monotone de corrélation nous distinguons deux types de classes d’équivalence à savoir les classes corrélées et les classes non corrélées. La question qui se pose à ce stade, est quel est l’effet de l’ajout de la contrainte monotone de rareté sur ces classes d’équivalence? Autrement dit, Comment s’affectent ces classes d’équivalence lorsqu’elles seront interceptées par la contrainte monotone de rareté?

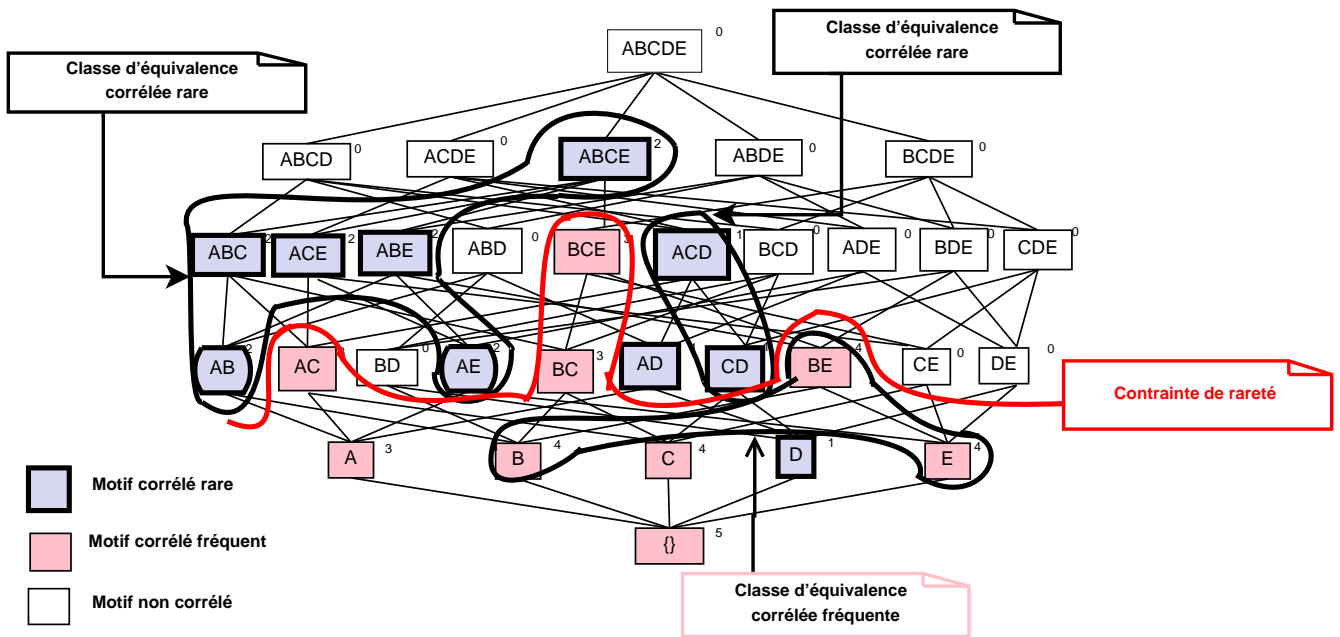


FIGURE 3.3 – Effet de l'application de la contrainte de rareté pour  $minsupp = 3$  et  $minbond = 0,2$ .

En effet, pour chaque classe d'équivalence, la conservation de la valeur de la mesure  $bond$  conserve bien évidemment le support conjonctif, le support disjonctif et le support négatif. Par conséquent, les éléments d'une même classe d'équivalence ont le même comportement quant aux contraintes de corrélation et de rareté. À cet égard, pour une classe d'équivalence corrélée, *c.-é.-d.* celle contenant des motifs corrélés, les éléments sont tous rares ou sont tous fréquents. Il en est de même pour une classe d'équivalence non corrélée, *c.-é.-d.* dont les motifs associés sont non corrélés. Ainsi, ces classes d'équivalence ne seront pas affectées comme le montre la figure 3.3. À cet égard, nous distinguons les classes corrélés fréquentes, les classes non corrélés fréquentes, les classes corrélés rares et les classes non corrélés rares.

### 3.3.3 Synthèse des deux scénarios

La caractéristique des classes d'équivalence induites par  $f_{bond}$  précédemment analysée, est très intéressante. En effet, ceci n'est pas le cas de tous les opérateurs de fermeture. Par exemple, l'application de l'opérateur de fermeture associé au support conjonctif, *c.-é.-d.* l'opérateur de fermeture conjonctive [Ganter et Wille, 1999], induit des classes d'équivalence où le comportement d'un motif d'une classe donnée vis-à-vis de la contrainte de corrélation n'est pas représentatif du comportement du reste des motifs de la classe. Pour

une classe donnée, chaque motif doit ainsi être testé indépendamment des autres de la même classe pour savoir s'il est corrélé ou non. Toutefois, contrairement à la fermeture conjonctive, l'opérateur de fermeture  $f_{bond}$  préserve non seulement le support conjonctif d'un motif mais aussi son support disjonctif, et par conséquent sa valeur de la mesure  $bond$ . À cet égard, nous optons pour le deuxième scénario lors de la conception de l'ensemble des approches que nous proposons. Dans ce qui suit, nous présentons l'étude de ces classes d'équivalence proposée dans [Bouasker *et al.*, 2011].

### 3.4 Caractérisation des classes d'équivalence corrélées rares

Nous commençons par présenter un exemple illustratif des classes d'équivalence corrélées rares.

**Exemple 34** *Considérons la base  $\mathcal{D}$  illustrée par la table 1.1 pour  $minsupp = 4$  et  $minbond = 0,2$ . Les classes d'équivalence corrélées rares dont les éléments de chacune sont récapitulés comme suit :*

- $\mathcal{C}_1$  contient le motif  $A$ . Elle admet pour support conjonctif 3 et pour valeur de bond 1.
- $\mathcal{C}_2$  contient le motif  $D$ . Elle admet pour support conjonctif 1 et pour valeur de bond 1.
- $\mathcal{C}_3$  contient les motifs  $AB$ ,  $AE$ ,  $ABC$ ,  $ABE$ ,  $ACE$ , et  $ABCE$ . Elle admet pour support conjonctif 2 et pour valeur de bond  $\frac{2}{5}$ .  $ABCE$  est le fermé corrélé de cette classe.
- $\mathcal{C}_4$  contient le motif  $AC$ . Elle admet pour support conjonctif 3 et pour valeur de bond  $\frac{3}{4}$ .
- $\mathcal{C}_5$  contient le motif  $AD$ . Elle admet pour support conjonctif 1 et pour valeur de bond  $\frac{1}{3}$ .
- $\mathcal{C}_6$  contient les motifs  $CD$  et  $ACD$ . Elle admet pour support conjonctif 1 et pour valeur de bond  $\frac{1}{4}$ .  $ACD$  est le fermé corrélé de cette classe.
- $\mathcal{C}_7$  contient les motifs  $BC$ ,  $CE$  et  $BCE$ . Elle admet pour support conjonctif 3 et pour valeur de bond  $\frac{3}{5}$ .  $BCE$  est le fermé corrélé de cette classe.

L'ensemble des motifs corrélés rares est ainsi partitionné en classes disjointes, les classes d'équivalence corrélées rares. Dans chaque classe, un motif fermé corrélé rare est alors le motif le plus large au sens de l'inclusion dans la classe. Par contre, les plus petits motifs

sont les motifs minimaux corrélés rares incomparables selon la relation d'inclusion. Les motifs minimaux et fermés seront formellement définis dans ce qui suit.

**Définition 22** (*Motifs fermés corrélés rares*) L'ensemble  $\mathcal{MF}\mathcal{C}\mathcal{R}$  des motifs fermés corrélés rares est défini par :  $\mathcal{MF}\mathcal{C}\mathcal{R} = \{I \in \mathcal{M}\mathcal{C}\mathcal{R} \mid \forall I_1 \supset I : \text{bond}(I) > \text{bond}(I_1)\}$

En fait, l'ensemble  $\mathcal{MF}\mathcal{C}\mathcal{R}$  résulte de l'intersection entre l'ensemble des motifs corrélés rares et l'ensemble des motifs fermés corrélés. Ainsi,  $\mathcal{MF}\mathcal{C}\mathcal{R} = \mathcal{M}\mathcal{C}\mathcal{R} \cap \mathcal{M}\mathcal{F}\mathcal{C}$ .

**Définition 23** (*Motifs minimaux corrélés rares*) L'ensemble  $\mathcal{M}\mathcal{M}\mathcal{C}\mathcal{R}$  des motifs minimaux corrélés rares est défini par :  $\mathcal{M}\mathcal{M}\mathcal{C}\mathcal{R} = \{I \in \mathcal{M}\mathcal{C}\mathcal{R} \mid \forall I_1 \subset I : \text{bond}(I) < \text{bond}(I_1)\}$ .

Cet ensemble,  $\mathcal{M}\mathcal{M}\mathcal{C}\mathcal{R}$ , résulte de l'intersection entre l'ensemble des motifs corrélés rares et l'ensemble des motifs minimaux corrélés. Ainsi,  $\mathcal{M}\mathcal{M}\mathcal{C}\mathcal{R} = \mathcal{M}\mathcal{C}\mathcal{R} \cap \mathcal{M}\mathcal{M}\mathcal{C}$ .

**Exemple 35** Soit la base illustrée par la table 1.1 pour  $\text{minsupp} = 4$  et  $\text{minbond} = 0,2$ . Le motif  $ACD \in \mathcal{MF}\mathcal{C}\mathcal{R}$ . En effet, il est fermé corrélé (cf. Exemple 12). Il est aussi rare (cf. Exemple 31). Par ailleurs, le motif  $AB \in \mathcal{M}\mathcal{M}\mathcal{C}\mathcal{R}$ . En effet, il est minimal corrélé (cf. Exemple 13). Il est aussi rare (cf. Exemple 31).

En se référant aux diverses classes d'équivalence corrélées rares, nous avons l'ensemble  $\mathcal{MF}\mathcal{C}\mathcal{R}$  composé des éléments maximaux de ces classes c.-é.-d.  $A, D, AC, AD, ACD, BCE$  et  $ABCE$ . Par ailleurs, l'ensemble  $\mathcal{M}\mathcal{M}\mathcal{C}\mathcal{R}$  est composé des éléments minimaux de ces classes c.-é.-d.  $A, D, AB, AC, AD, AE, BC, CD$  et  $CE$ . Les motifs  $A, D, AC$  et  $AD$  sont à la fois des motifs fermés et minimaux. Leurs classes associées se réduisent donc chacune à un unique élément.

Nous avons ainsi détaillé les propriétés des classes d'équivalence corrélées rares. Sur la base de ces dernières, nous décrivons les différentes représentations proposées. Justifions d'abord nos motivations quant à l'extraction des représentations concises exactes des motifs corrélés rares.

## 3.5 Motivations de l'extraction des représentations concises exactes des motifs corrélés rares

Notre choix d'extraire des représentations concises, et non la totalité de l'ensemble total  $\mathcal{M}\mathcal{C}\mathcal{R}$  des motifs corrélés rares, a été motivé par deux principales raisons. Premièrement, l'extraction des représentations concises est possible et plus efficace dans un certain

nombre de cas que l'extraction de l'ensemble total  $\mathcal{MCR}$ . L'extraction de ce dernier est souvent coûteuse en espace mémoire et en temps d'exécution.

Une représentation exacte des motifs corrélés rares doit permettre de déterminer si un motif arbitraire est corrélé rare ou non, et s'il est corrélé rare, la représentation doit permettre de dériver sans perte d'information son support et sa valeur de la mesure *bond*. Dans ce sens, les représentations proposées dans ce travail seront montrées comme étant toujours de taille plus réduite que l'ensemble total des motifs corrélés rares. Elles permettent ainsi une meilleure exploitation des connaissances extraites. En plus, étant sans perte d'information, elles permettent la dérivation quand ceci est nécessaire de tous les motifs corrélés rares non retenus dans une représentation donnée.

Afin de proposer les représentations concises des motifs corrélés rares, nous nous basons sur les classes d'équivalence. Ces classes permettent de ne retenir que les motifs non-redondants. En effet, parmi les motifs d'une classe donnée, seuls ceux nécessaires à la régénération de l'ensemble total des motifs corrélés rares seront retenus dans une représentation donnée. Le reste des motifs de la classe ne sera donc pas maintenu, ce qui réduit la redondance dans les connaissances extraites. Ces classes d'équivalence facilitent aussi l'exploration de l'espace de recherche des motifs corrélés rares. En effet, l'application d'un opérateur de fermeture permet de passer de l'élément minimal d'une classe à son élément maximal sans avoir à parcourir les niveaux intermédiaires.

Après avoir introduit les propriétés des classes d'équivalence corrélées rares, nous introduisons dans la suite les représentations concises proposées.

### 3.6 Représentations concises exactes des motifs corrélés rares

Une première idée intuitive afin de proposer une représentation concise exacte des motifs corrélés rares serait de voir si les éléments minimaux ou les éléments maximaux des classes d'équivalence associées permettraient de représenter sans perte d'information cet ensemble. Dans ce sens, il est important de rappeler que l'ensemble  $\mathcal{MCR}$  des motifs corrélés rares résulte de l'intersection de l'idéal d'ordre des motifs corrélés et du filtre d'ordre des motifs rares. Cet ensemble  $\mathcal{MCR}$  ne forme donc ni un idéal d'ordre ni un filtre d'ordre. Dans cette situation, pris chacun indépendamment de l'autre, est ce que l'ensemble  $\mathcal{MMCR}$  ou l'ensemble  $\mathcal{MFCR}$  peut constituer une représentation concise exacte des motifs rares corrélés ?

Analysons dans ce qui suit chacun de ces deux ensembles :

- Commentéons par l'ensemble  $\mathcal{MMCR}$  des minimaux des classes d'équivalence corrélées rares. De part la nature de ses éléments – minimaux de leurs classes d'équivalence – cet ensemble permet pour un motif donné  $I$  de vérifier s'il est rare ou non. En effet, il suffit de trouver un élément  $J \in \mathcal{MMCR}$ , tel que  $J \subseteq I$  pour décider que  $I$  est un motif rare. Si ce n'est pas le cas, alors  $I$  n'est pas un motif rare. Toutefois, l'ensemble  $\mathcal{MMCR}$  ne permet pas de déterminer dans le cas général si  $I$  est corrélé ou non (ceci n'est possible que si  $I \in \mathcal{MMCR}$ ). En effet, même s'il existe  $J \in \mathcal{MMCR}$ , tel que  $J \subset I$ , et même sachant que  $J$  est corrélé, nous ne pouvons rien décider quant au statut de  $I$  vis-à-vis de la contrainte de corrélation puisque cette dernière est anti-monotone (le fait que  $J$  est corrélé n'implique pas que  $I$  l'est aussi). Ainsi,  $\mathcal{MMCR}$  ne peut pas constituer une représentation exacte de  $\mathcal{MCR}$ .

- Traitons maintenant le cas de l'ensemble  $\mathcal{MFCR}$  des maximaux des classes d'équivalence corrélées rares. D'une manière duale à  $\mathcal{MMCR}$ , les éléments de  $\mathcal{MFCR}$  permettent de déterminer pour un motif  $I$  s'il est corrélé ou non. Il suffit qu'il soit inclus dans un motif  $J \in \mathcal{MFCR}$ , et sinon  $I$  n'est pas corrélé. Toutefois, de part leur nature, les fermés appartenant à  $\mathcal{MFCR}$  ne permettent pas dans le cas général de dériver l'information concernant le statut de rareté d'un motif  $I$  quelconque (ceci n'est possible que si  $I \in \mathcal{MFCR}$ ). En effet, même s'il existe  $J \in \mathcal{MFCR}$ , tel que  $I \subset J$ , et même sachant que  $J$  est rare, nous ne pouvons pas savoir si  $I$  est rare ou non puisque la contrainte de rareté est monotone (le fait que  $J$  est rare n'implique pas que  $I$  l'est aussi). Ainsi,  $\mathcal{MFCR}$  ne peut pas constituer une représentation exacte de  $\mathcal{MCR}$ . Il résulte de l'analyse que nous venons d'effectuer que la complémentarité entre  $\mathcal{MMCR}$  et  $\mathcal{MFCR}$  peut constituer une représentation exacte des motifs corrélés rares. Cette première alternative est étudiée dans la sous-section qui suit, et qui sera suivie par deux optimisations afin de ne retenir que les éléments indispensables à la régénération sans perte d'information des éléments de  $\mathcal{MCR}$ .

### 3.6.1 La représentation concise exacte $\mathcal{RMCR}$

La première représentation que nous proposons est définie comme suit.

**Définition 24** (*Représentation  $\mathcal{RMCR}$* ) [Bouasker et al., 2011]

Soit  $\mathcal{RMCR}$  la représentation concise exacte des motifs corrélés rares basée sur l'ensemble  $\mathcal{MFCR}$  des motifs fermés corrélés rares et sur l'ensemble  $\mathcal{MMCR}$  des motifs minimaux corrélés rares. La représentation  $\mathcal{RMCR}$  est définie comme suit :  $\mathcal{RMCR} = \mathcal{MFCR} \cup \mathcal{MMCR}$ . Chaque élément  $I$  de  $\mathcal{RMCR}$  est muni de son support,  $\text{Supp}(\wedge I)$ , et sa mesure

$\text{bond}$ ,  $\text{bond}(I)$ .

**Exemple 36** *Considérons la base de transactions donnée dans la table 1.1, pour  $\text{minsupp} = 4$  et  $\text{minbond} = 0,2$ . En considérant les ensembles  $\mathcal{MF}\mathcal{CR}$  et  $\mathcal{MM}\mathcal{CR}$  (cf. Exemple 35), la représentation  $\mathcal{RM}\mathcal{CR}$  est composée par :  $(A, 3, \frac{3}{3})$ ,  $(D, 1, \frac{1}{1})$ ,  $(AB, 2, \frac{2}{5})$ ,  $(AC, 3, \frac{3}{4})$ ,  $(AD, 1, \frac{1}{3})$ ,  $(AE, 2, \frac{2}{5})$ ,  $(BC, 3, \frac{3}{5})$ ,  $(CD, 1, \frac{1}{4})$ ,  $(CE, 3, \frac{3}{5})$ ,  $(ACD, 1, \frac{1}{4})$ ,  $(BCE, 3, \frac{3}{5})$  et  $(ABCE, 2, \frac{2}{5})$ .*

Le théorème suivant montre que les éléments de  $\mathcal{RM}\mathcal{CR}$  représentent sans perte d'information les motifs corrélés rares.

**Théorème 1** *La représentation  $\mathcal{RM}\mathcal{CR}$  est une représentation concise exacte de l'ensemble  $\mathcal{M}\mathcal{CR}$  des motifs corrélés rares.*

**Preuve.** *Soit un motif  $I \subseteq \mathcal{I}$ . Trois cas se présentent :*

a) *Si  $I \in \mathcal{RM}\mathcal{CR}$ , alors  $I$  est un motif corrélé rare et nous avons son support et sa valeur de la mesure  $\text{bond}$ .*

b) *Si  $\nexists J \in \mathcal{RM}\mathcal{CR}$  tel que  $J \subseteq I$  ou  $\nexists Z \in \mathcal{RM}\mathcal{CR}$  tel que  $I \subseteq Z$ , alors  $I \notin \mathcal{M}\mathcal{CR}$  puisque  $I$  n'appartient à aucune classe d'équivalence corrélée rare.*

c) *Si non,  $I \in \mathcal{M}\mathcal{CR}$ . En effet, d'après la proposition 3,  $I$  est corrélé puisque inclus dans un motif corrélé, à savoir  $Z$ . Il est aussi rare puisque englobant un motif rare, à savoir  $J$ . Dans ce cas, il suffit de localiser la fermeture de  $I$  par  $f_{\text{bond}}$ , disons  $F$ .  $F$  appartient nécessairement à  $\mathcal{RM}\mathcal{CR}$  puisque  $I$  est un motif corrélé rare et  $\mathcal{RM}\mathcal{CR}$  inclut l'ensemble  $\mathcal{MF}\mathcal{CR}$  des motifs fermés corrélés rares. Par conséquent,  $F = \min_{\subseteq} \{I_1 \in \mathcal{RM}\mathcal{CR} \mid I \subseteq I_1\}$ . Comme l'opérateur  $f_{\text{bond}}$  préserve la mesure  $\text{bond}$  et par conséquent le support conjonctif (cf. Proposition 2), nous avons :  $\text{bond}(I) = \text{bond}(F)$  et  $\text{Supp}(\wedge I) = \text{Supp}(\wedge F)$ .*

**Exemple 37** *Considérons la représentation  $\mathcal{RM}\mathcal{CR}$  donnée dans l'exemple précédent. Illustrons chacun des trois cas. Le motif  $AD \in \mathcal{RM}\mathcal{CR}$ . Ainsi, nous avons son support égal à 1 et sa valeur de la mesure  $\text{bond}$  égale à  $\frac{1}{3}$ .*

*Considérons le motif  $BE$ . Bien qu'il soit inclus dans deux motifs de  $\mathcal{RM}\mathcal{CR}$ , à savoir  $BCE$  et  $ABCE$ ,  $BE \notin \mathcal{M}\mathcal{CR}$  puisque aucun élément de  $\mathcal{RM}\mathcal{CR}$  n'est inclus dans  $BE$ . Soit maintenant le motif  $ABC$ . Il existe deux motifs de  $\mathcal{RM}\mathcal{CR}$  qui vérifient la condition faisant*

de  $ABC$  un motif corrélé rare, à savoir  $AB$  et  $ABCE$ , puisque  $AB \subseteq ABC \subseteq ABCE$ . Le plus petit motif de  $\mathcal{RMCR}$  couvrant  $ABC$ , c.-é.-d. sa fermeture, est  $ABCE$ . Ainsi,  $\text{bond}(ABC) = \text{bond}(ABCE) = \frac{2}{5}$ , et  $\text{Supp}(\wedge ABC) = \text{Supp}(\wedge ABCE) = 2$ .

Il est important de noter que la représentation  $\mathcal{RMCR}$  est une *couverture parfaite* de l'ensemble  $\mathcal{MCR}$ . En effet, la taille de la représentation  $\mathcal{RMCR}$  ne dépasse jamais celle de l'ensemble  $\mathcal{MCR}$  quelle que soit la base et les valeurs de  $\text{minsupp}$  et de  $\text{minbond}$  considérées. En effet, nous avons toujours  $(\mathcal{MFCR} \cup \mathcal{MMCR}) \subseteq \mathcal{MCR}$ .

**Remarque 4** *Il est important de noter que nous sommes obligés de maintenir, pour un motif  $I$  de la représentation, à la fois le  $\text{Supp}(\wedge I)$  et  $\text{bond}(I)$ . D'une part, la valeur de  $\text{bond}(I)$  étant un rapport entre le support conjonctif et celui disjonctif de  $I$  ne permet pas de dériver le support conjonctif de  $I$ . D'autre part, ayant le support conjonctif d'un motif  $I$ , ceci n'est pas suffisant pour calculer la valeur de sa mesure  $\text{bond}$ . En effet, ceci nécessite la connaissance de son support disjonctif. Ce dernier ne peut être dérivé moyennant les identités d'inclusion-exclusion que connaissant les supports conjonctifs de tous les sous-ensembles de  $I$  [Galambos et Simonelli, 2000]. Toutefois, si  $I$  est un motif corrélé rare, tous ses-ensembles ne le sont pas forcément et par conséquent nous n'avons pas accès à leurs supports conjonctifs respectifs. Ainsi, il faut retenir le support conjonctif et la valeur de la mesure  $\text{bond}$  pour chaque élément de la représentation. C'est aussi la raison pour laquelle les représentations concises basées sur les règles de déduction [Calders et al., 2005] et celles basées sur les identités d'inclusion-exclusion [Casali et al., 2005, Hamrouni et al., 2009] ne sont pas applicables pour représenter l'ensemble des motifs corrélés rares. En effet, ces représentations nécessitent pour un motif donné la connaissance du support conjonctif ou disjonctif, suivant la représentation, associé à tous ses sous-ensembles. Ceci est exigé que ce soit pour retenir les éléments de la représentation ou pour la dérivation des informations associées aux éléments non-retenus dans la représentation.*

Dans cette situation, les motifs fermés et minimaux des classes d'équivalence offrent comme montré précédemment une solution intéressante pour représenter d'une manière concise l'ensemble des motifs corrélés rares. En effet, la localisation de tels motifs nécessite un voisinage restreint, les sur-ensembles immédiats et les sous-ensembles immédiats respectivement, et non tous leurs sous-ensembles respectifs, comme c'est le cas par exemple des motifs non-dérivables [Calders et Goethals, 2007]. En plus, la dérivation des supports des motifs à partir des fermés et des minimaux est réalisée d'une manière directe, contrairement par exemple aux motifs essentiels [Casali et al., 2005] et aux motifs non-dérivables

qui nécessitent tous les sous-ensembles du motif dérivé.

**Remarque 5** *Il est aussi intéressant de signaler que le fait de considérer, dans  $\mathcal{RMCR}$ , l'union entre les ensembles  $\mathcal{MMCR}$  et  $\mathcal{MFCR}$  permet d'éviter la redondance – à cause de la duplication d'un motif donné – qui peut apparaître dans la représentation si nous considérons chacun des ensembles  $\mathcal{MMCR}$  et  $\mathcal{MFCR}$  séparément. Par exemple, si nous considérons l'exemple 36, nous remarquons que les éléments  $(A, 3, \frac{3}{3})$ ,  $(D, 1, \frac{1}{1})$ ,  $(AC, 3, \frac{3}{4})$  et  $(AD, 1, \frac{1}{3})$  appartiennent à la fois à l'ensemble  $\mathcal{MMCR}$  et  $\mathcal{MFCR}$ . Toutefois, un avantage de la gestion de chaque ensemble à part est la réduction de certains tests d'inclusion lors de l'interrogation de la représentation. Le choix entre tolérer une certaine duplication et réduire éventuellement le coût de la régénération dépend de la nature de l'application où il sera éventuellement question de privilégier soit l'espace mémoire soit les temps de dérivation. Notons qu'une solution intermédiaire serait de localiser dans un premier groupe les éléments qui sont à la fois des motifs fermés et des motifs minimaux tels que  $A$ ,  $D$ ,  $AC$  et  $AD$  dans notre cas, dans un second le reste des minimaux à part, et le reste des fermés formeront un troisième groupe. Le premier et le second groupe seront utilisés pour les traitements où les minimaux seront utiles, tandis que le premier et le troisième seront utilisés pour les traitements nécessitant les fermés.*

Nous proposons dans la suite de cette section deux optimisations de  $\mathcal{RMCR}$  permettant de réduire encore plus le nombre de motifs à retenir dans la représentation tout en garantissant la non-perte d'information concernant l'ensemble  $\mathcal{MCR}$  des motifs corrélés rares.

### 3.6.2 La représentation concise exacte $\mathcal{RMMaxF}$

Cette première optimisation se base sur le fait que l'ensemble  $\mathcal{MMCR}$  des motifs minimaux corrélés rares augmenté seulement des maximaux, par rapport à l'inclusion ensembliste, parmi les motifs fermés corrélés rares est suffisant pour représenter d'une manière exacte l'ensemble  $\mathcal{MCR}$ . L'ensemble  $\mathcal{MFCRMax}$  des motifs fermés corrélés rares maximaux est défini comme suit :

**Définition 25** (*Ensemble  $\mathcal{MFCRMax}$  des motifs fermés corrélés rares maximaux*) *L'ensemble  $\mathcal{MFCRMax}$  correspond aux motifs qui sont à la fois des motifs fermés corrélés rares (cf. Définition 22, page 61) et des motifs corrélés maximaux (cf. Définition 14, page 14). Ainsi,  $\mathcal{MFCRMax} = \mathcal{MFCR} \cap \mathcal{MCMaX}$ .*

L'ensemble  $\mathcal{MF}\mathcal{C}\mathcal{R}\mathcal{M}\mathit{ax}$  est donc restreint aux éléments de  $\mathcal{M}\mathcal{C}\mathcal{M}\mathit{ax}$  qui sont aussi rares (en plus d'être les plus grands motifs corrélés).

**Exemple 38** Soit la base illustrée par la table 1.1. Pour  $\text{minsupp} = 4$  et  $\text{minbond} = 0,2$ ,  $\mathcal{M}\mathcal{F}\mathcal{C}\mathcal{R} = \{A, D, AD, ACD, BCE, ABCE\}$  (cf. Exemple 36). Par ailleurs, pour  $\text{minbond} = 0,2$ ,  $\mathcal{M}\mathcal{C}\mathcal{M}\mathit{ax} = \{ACD, ABCE\}$  (cf. Exemple 10). Ainsi,  $\mathcal{M}\mathcal{F}\mathcal{C}\mathcal{R}\mathcal{M}\mathit{ax} = \mathcal{M}\mathcal{F}\mathcal{C}\mathcal{R} \cap \mathcal{M}\mathcal{C}\mathcal{M}\mathit{ax} = \{ACD, ABCE\}$ . En effet, les fermés corrélés  $A$ ,  $D$  et  $AD$  ne sont pas retenus puisqu'ils sont inclus dans  $ACD$ . Le fermé  $BCE$  sera aussi éliminé puisqu'il est inclus dans  $ABCE$ .

La définition suivante présente la représentation des motifs corrélés rares basée sur cette optimisation.

**Définition 26** (*Représentation  $\mathcal{R}\mathcal{M}\mathcal{M}\mathit{ax}\mathcal{F}$* ) [Bouasker et al., 2011]

Soit  $\mathcal{R}\mathcal{M}\mathcal{M}\mathit{ax}\mathcal{F}$  la représentation basée sur l'ensemble  $\mathcal{M}\mathcal{M}\mathcal{C}\mathcal{R}$  et l'ensemble  $\mathcal{M}\mathcal{F}\mathcal{C}\mathcal{R}\mathcal{M}\mathit{ax}$ . Nous avons  $\mathcal{R}\mathcal{M}\mathcal{M}\mathit{ax}\mathcal{F} = \mathcal{M}\mathcal{M}\mathcal{C}\mathcal{R} \cup \mathcal{M}\mathcal{F}\mathcal{C}\mathcal{R}\mathcal{M}\mathit{ax}$ . Chaque élément  $I$  de  $\mathcal{R}\mathcal{M}\mathcal{M}\mathit{ax}\mathcal{F}$  est muni de son support,  $\text{Supp}(\wedge I)$ , et de sa mesure bond,  $\text{bond}(I)$ .

**Exemple 39** Considérons la base de transactions donnée dans la table 1.1. Pour  $\text{minsupp} = 4$  et  $\text{minbond} = 0,2$ . La représentation  $\mathcal{R}\mathcal{M}\mathcal{M}\mathit{ax}\mathcal{F}$  est composée par :  $(A, 3, \frac{3}{3})$ ,  $(D, 1, \frac{1}{1})$ ,  $(AB, 2, \frac{2}{5})$ ,  $(AD, 1, \frac{1}{3})$ ,  $(AE, 2, \frac{2}{5})$ ,  $(CD, 1, \frac{1}{4})$ ,  $(BC, 3, \frac{3}{5})$ ,  $(CE, 3, \frac{3}{5})$ ,  $(AC, 3, \frac{3}{4})$ ,  $(ACD, 1, \frac{1}{4})$ , et  $(ABCE, 2, \frac{2}{5})$ . Nous remarquons que, pour cet exemple, le seul élément appartenant à la représentation  $\mathcal{R}\mathcal{M}\mathcal{C}\mathcal{R}$  et non à la représentation  $\mathcal{R}\mathcal{M}\mathcal{M}\mathit{ax}\mathcal{F}$  est le motif  $BCE$ . En effet, ceci est dû au fait que les motifs fermés éliminés de  $\mathcal{M}\mathcal{C}\mathcal{M}\mathit{ax}$  sont eux mêmes des minimaux corrélés rares, à savoir  $D$ ,  $A$ ,  $AC$  et  $AD$ . Toutefois, la représentation  $\mathcal{R}\mathcal{M}\mathcal{M}\mathit{ax}\mathcal{F}$  serait plus réduite que  $\mathcal{R}\mathcal{M}\mathcal{C}\mathcal{R}$  si les ensembles  $\mathcal{M}\mathcal{M}\mathcal{C}\mathcal{R}$  et  $\mathcal{M}\mathcal{F}\mathcal{C}\mathcal{R}$  sont gérés séparément (cf. Remarque 5). En effet, il n'y aura plus de duplication de  $A$ ,  $D$ ,  $AC$  et de  $AD$ .

Le théorème 2 montre que  $\mathcal{R}\mathcal{M}\mathcal{M}\mathit{ax}\mathcal{F}$  couvre sans perte d'information l'ensemble  $\mathcal{M}\mathcal{C}\mathcal{R}$ .

**Théorème 2** La représentation  $\mathcal{R}\mathcal{M}\mathcal{M}\mathit{ax}\mathcal{F}$  est une représentation concise exacte de l'ensemble  $\mathcal{M}\mathcal{C}\mathcal{R}$  des motifs corrélés rares.

**Preuve.** Soit un motif  $I \subseteq \mathcal{I}$ . Trois cas se présentent :

a) Si  $I \in \mathcal{R}\mathcal{M}\mathcal{M}\mathit{ax}\mathcal{F}$ , alors  $I$  est un motif corrélé rare et nous avons son support et sa valeur de la mesure bond.

b) Si  $\nexists J \in \mathcal{R}\mathcal{M}\mathcal{M}\mathit{ax}\mathcal{F}$  tel que  $J \subseteq I$  ou  $\nexists Z \in \mathcal{R}\mathcal{M}\mathcal{M}\mathit{ax}\mathcal{F}$  tel que  $I \subseteq Z$ , alors  $I \notin \mathcal{M}\mathcal{C}\mathcal{R}$  puisque  $I$  n'appartient à aucune classe d'équivalence corrélée rare.

c) Sinon,  $I \in \mathcal{MCR}$ . En effet, d'après la proposition 3,  $I$  est corrélé puisque inclus dans un motif corrélé, à savoir  $Z$ . Il est aussi rare puisque englobant un motif rare, à savoir  $J$ . Comme  $I$  est un motif corrélé rare et la représentation  $\mathcal{RMMaxF}$  inclut l'ensemble  $\mathcal{MMCR}$  contenant les éléments minimaux des différentes classes d'équivalence corrélées rares, cette représentation contient au moins un élément de la classe d'équivalence de  $I$ , en particulier tous les motifs minimaux de la classe.

Comme le support conjonctif et la mesure bond décroissent avec la taille des motifs, les valeurs du support conjonctif et de la mesure bond de  $I$  sont égales aux valeurs minimales des mesures associées à ses sous-ensembles appartenant à  $\mathcal{RMMaxF}$ . Il en résulte que :

- $Supp(\wedge I) = \min\{Supp(\wedge I_1) \mid I_1 \in \mathcal{RMMaxF} \text{ et } I_1 \subseteq I\}$ , et,
- $bond(I) = \min\{bond(I_1) \mid I_1 \in \mathcal{RMMaxF} \text{ et } I_1 \subseteq I\}$ .

**Exemple 40** Soit la représentation  $\mathcal{RMMaxF}$  donnée dans l'exemple précédent. Le traitement du premier et du second cas est semblable à ceux des deux premiers cas de la représentation  $\mathcal{RMCR}$  (cf. Exemple 37).

Considérons donc le motif  $ABE$  pour illustrer le troisième cas. Il existe deux motifs de  $\mathcal{RMMaxF}$  qui vérifient la condition faisant de  $ABE$  un motif corrélé rare, à savoir  $AB$  et  $ABCE$  ( $AB \subseteq ABE \subseteq ABCE$ ). Les motifs de  $\mathcal{RMMaxF}$  inclus dans  $ABE$  sont  $AB$  et  $AE$ . Par conséquent,  $Supp(\wedge ABE) = \min\{Supp(\wedge AB), Supp(\wedge AE)\} = \min\{2, 2\} = 2$ , et  $bond(ABE) = \min\{bond(AB), bond(AE)\} = \min\{\frac{2}{5}, \frac{2}{5}\} = \frac{2}{5}$ .

Étant incluse dans  $\mathcal{RMCR}$ , qui a été montrée comme étant une couverture parfaite de  $\mathcal{MCR}$ , la représentation  $\mathcal{RMMaxF}$  est aussi une couverture parfaite de  $\mathcal{MCR}$ .

La sous-section suivante présente une autre optimisation de la représentation  $\mathcal{RMCR}$ .

### 3.6.3 La représentation concise exacte $\mathcal{RMinMF}$

D'une manière duale à la représentation précédente, il suffit de retenir dans  $\mathcal{RMCR}$  que les motifs minimaux, par rapport à l'inclusion ensembliste, parmi ceux de l'ensemble  $\mathcal{MMCR}$  des motifs minimaux corrélés rares. L'élagage des autres éléments de  $\mathcal{MMCR}$  sera prouvé comme étant sans perte d'information lors de la régénération de l'ensemble  $\mathcal{MCR}$  des motifs corrélés rares. L'ensemble  $\mathcal{MMCRMin}$  des motifs minimaux parmi ceux de  $\mathcal{MMCR}$  est défini comme suit :

**Définition 27** (*Ensemble  $MMCRMin$  des éléments minimaux de l'ensemble  $MMCR$* ) L'ensemble  $MMCRMin$  contient les motifs qui sont à la fois des motifs minimaux corrélés rares (cf. Définition 23, page 12) et des motifs rares minimaux (cf. Définition 11, page 12). Ainsi,  $MMCRMin = MMCR \cap MRMin$ .

L'ensemble  $MMCRMin$  est donc restreint aux éléments de  $MRMin$  qui sont aussi corrélés (en plus d'être les plus petits motifs rares).

**Exemple 41** Soit la base illustrée par la table 1.1. Pour  $minsupp = 4$  et  $minbond = 0,2$ ,  $MMCR = \{A, D, AB, AD, AE, CD, AC, BC, CE\}$  (cf. Exemple 36). Par ailleurs, pour  $minsupp = 4$ ,  $MRMin = \{A, D, BC, CE\}$ . Ainsi,  $MMCRMin = MMCR \cap MRMin = \{A, D, BC, CE\}$ . Les motifs minimaux corrélés rares  $AB, AD, AE$  et  $AC$  ne sont pas retenus puisqu'ils englobent le motif  $A$ . De même pour le motif  $CD$ , il sera éliminé puisqu'il englobe le motif  $D$ .

**Remarque 6** Il est important de noter que dans l'exemple précédent, nous avons  $MRMin \subseteq MMCR$ . Toutefois, ceci n'est pas le cas d'une manière générale. En effet, un motif rare minimal peut bien évidemment ne pas être corrélé et donc ne pas appartenir à  $MMCR$ . Cette remarque s'applique aussi pour le cas de l'exemple 38 où  $MCMaX \subseteq MF CR$ . En effet, un motif corrélé maximal peut ne pas être rare et donc ne pas appartenir à  $MF CR$ .

La définition 28 présente la représentation résultante de l'utilisation de  $MMCRMin$ .

**Définition 28** (*Représentation  $\mathcal{R}MinMF$* ) [Bouasker et al., 2011]

Soit  $\mathcal{R}MinMF$  la représentation basée sur l'ensemble  $MF CR$  et l'ensemble  $MMCRMin$ . Nous avons  $\mathcal{R}MinMF = MF CR \cup MMCRMin$ . Chaque élément  $I$  de  $\mathcal{R}MinMF$  est muni de son support,  $Supp(\wedge I)$ , et sa mesure  $bond$ ,  $bond(I)$ .

**Exemple 42** Considérons la base de transactions donnée dans la table 1.1, pour  $minsupp = 4$  et  $minbond = 0,2$ . La représentation  $\mathcal{R}MinMF$  est composée par :  $(A, 3, \frac{3}{3})$ ,  $(D, 1, \frac{1}{1})$ ,  $(AC, 3, \frac{3}{4})$ ,  $(AD, 1, \frac{1}{3})$ ,  $(BC, 3, \frac{3}{5})$ ,  $(CE, 3, \frac{3}{5})$ ,  $(ACD, 1, \frac{1}{4})$ ,  $(BCE, 3, \frac{3}{5})$ , et  $(ABCE, 2, \frac{2}{5})$ .

Nous remarquons que, comparée à  $\mathcal{R}MCR$ , cette représentation admet trois éléments en moins à savoir  $AB, AE$  et  $CD$ .

Le théorème suivant prouve que cette troisième représentation est aussi sans perte d'information de l'ensemble  $MCR$  des motifs corrélés rares.

**Théorème 3** *La représentation  $\mathcal{R}Min\mathcal{MF}$  est une représentation concise exacte de l'ensemble  $\mathcal{MCR}$  des motifs corrélés rares.*

Afin de démontrer ce théorème, nous adoptons le même principe de démonstration que les deux autres théorèmes précédents.

**Preuve.** *Soit un motif  $I \subseteq \mathcal{I}$ . Trois cas se présentent :*

a) *Si  $I \in \mathcal{R}Min\mathcal{MF}$ , alors  $I$  est un motif corrélé rare et nous avons son support et sa valeur de la mesure bond.*

b) *Si  $\nexists J \in \mathcal{R}Min\mathcal{MF}$  tel que  $J \subseteq I$  ou  $\nexists Z \in \mathcal{R}Min\mathcal{MF}$  tel que  $I \subseteq Z$ , alors  $I \notin \mathcal{MCR}$  puisque  $I$  n'appartient à aucune classe d'équivalence corrélée rare.*

c) *Sinon,  $I \in \mathcal{MCR}$ . En effet, d'après la proposition 3,  $I$  est corrélé puisque inclus dans un motif corrélé, à savoir  $Z$ . Il est aussi rare puisque englobant un motif rare, à savoir  $J$ . Comme l'ensemble  $\mathcal{MF}\mathcal{CR}$  appartient à  $\mathcal{R}Min\mathcal{MF}$ , il suffit de localiser le fermé corrélé de  $I$ , disons  $F$ , égal à :  $F = \min_{\subseteq} \{I_1 \in \mathcal{R}Min\mathcal{MF} \mid I \subseteq I_1\}$ . Ainsi,  $\text{bond}(I) = \text{bond}(F)$  et  $\text{Supp}(\wedge I) = \text{Supp}(\wedge F)$ .*

**Exemple 43** *Soit la représentation  $\mathcal{R}Min\mathcal{MF}$  donnée dans l'exemple précédent. Le traitement du premier et du second cas est semblable à ceux des deux premiers cas de la représentation  $\mathcal{R}MCR$  (cf. Exemple 36).*

*Considérons donc le motif  $ABC$  pour illustrer le troisième cas. Il existe deux motifs  $ABCE$  et  $BC$  tel que ( $BC \subseteq ABC$  et  $ABC \subseteq ABCE$ ). Nous concluons donc que le motif  $ABC$  est un motif corrélé rare. Le fermé associé au motif  $ABC$  correspond à  $ABCE$ . Par conséquent,  $\text{Supp}(\wedge ABC) = \text{Supp}(\wedge ABCE) = 2$  et  $\text{bond}(ABC) = \text{bond}(ABCE) = \frac{2}{5}$ .*

Étant incluse dans  $\mathcal{R}MCR$ ,  $\mathcal{R}Min\mathcal{MF}$  est comme les deux précédentes représentations une couverture parfaite de  $\mathcal{MCR}$ .

Nous avons, ainsi, décrit et analysé les caractéristiques des différentes représentations concises exactes des motifs corrélés rares. Dans ce qui suit, nous présentons une représentation concise approximative résultante de la jointure entre les deux représentations concises exactes  $\mathcal{R}Min\mathcal{MF}$  et  $\mathcal{R}MMax\mathcal{F}$ .

### 3.7 La représentation concise approximative $\mathcal{R}Min\mathcal{M}Max\mathcal{F}$

En se basant sur les deux représentations concises exactes  $\mathcal{R}Min\mathcal{MF}$  et  $\mathcal{R}MMax\mathcal{F}$  précédemment décrites, nous définissons la représentation concise approximative  $\mathcal{R}Min\mathcal{M}$ -

$Max\mathcal{F}$ .

Cette dernière est composée de l'ensemble  $MFCRMax$  des motifs fermés corrélés rares maximaux (cf. Définition 25) et de l'ensemble  $MMCRMin$  des éléments minimaux de l'ensemble  $MMCR$  (cf. Définition 27). Nous définissons cette représentation formellement comme suit.

**Définition 29 (Représentation  $\mathcal{R}MinMMax\mathcal{F}$ )** [Bouasker et al., 2011]

Soit  $\mathcal{R}MinMMax\mathcal{F}$  la représentation basée sur l'ensemble  $MFCRMax$  et sur l'ensemble  $MMCRMin$ . Nous avons  $\mathcal{R}MinMMax\mathcal{F} = MFCRMax \cup MMCRMin$ . Chaque élément  $I$  de  $\mathcal{R}MinMMax\mathcal{F}$  est muni de son support,  $Supp(\wedge I)$ , et de sa valeur de la mesure bond,  $bond(I)$ .

**Exemple 44** Nous avons, l'ensemble  $MMCRMin = \{A, D, BC, CE\}$  (cf. Exemple 41) et l'ensemble  $MFCRMax = \{ACD, ABCE\}$  (cf. Exemple 38). Par conséquent, la représentation  $\mathcal{R}MinMMax\mathcal{F}$  est composée des éléments suivants,  $\mathcal{R}MinMMax\mathcal{F} = \{(A, 3, \frac{3}{3}), (D, 1, \frac{1}{1}), (BC, 3, \frac{3}{5}), (CE, 3, \frac{3}{5}), (ACD, 1, \frac{1}{4}), (ABCE, 2, \frac{2}{5})\}$ .

La représentation  $\mathcal{R}MinMMax\mathcal{F}$  offre une meilleure réduction que les représentations concises exactes  $\mathcal{R}MCR$ ,  $\mathcal{R}MinM\mathcal{F}$  et  $\mathcal{R}MMax\mathcal{F}$ . Dans cet exemple, la représentation  $\mathcal{R}MinMMax\mathcal{F}$  possède six éléments de moins que la représentation concise exacte  $\mathcal{R}MCR$ , onze éléments de moins que la représentation concise exacte  $\mathcal{R}MMax\mathcal{F}$  et un élément de moins que la représentation concise exacte  $\mathcal{R}MinM\mathcal{F}$ . Cependant, cette représentation n'offre pas le même degré d'exactitude que les représentations concises exactes précédemment citées. En effet, elle ne permet pas, comme l'illustre le théorème suivant, de dériver d'une manière exacte les données de tout motif corrélé rare.

**Théorème 4** La représentation  $\mathcal{R}MinMMax\mathcal{F}$  n'est qu'une représentation concise approximative de l'ensemble  $MCR$  des motifs corrélés rares.

**Preuve.** En effet, pour un motif arbitraire  $I \subseteq \mathcal{I}$ , cette représentation permet de déterminer si  $I$  est corrélé rare ou non. Il suffit de trouver deux motifs  $J$  et  $Z$  appartenant à la représentation tel que  $J \subseteq I \subseteq Z$ . Si  $J$  ou  $Z$  n'existe pas alors  $I \notin MCR$ . Toutefois, les informations concernant le support et la mesure bond de  $I$  ne peuvent être exactement dérivées que si  $I \in \mathcal{R}MinMMax\mathcal{F}$ . Dans le cas contraire, cette représentation ne permet pas de les dériver d'une manière exacte étant donné qu'elle peut ne contenir aucun élément représentatif de la classe d'équivalence de  $I$  (c.-é.-d. ni le fermé associé s'il n'appartient pas à  $MFCRMax$  ni les minimaux associés s'il n'appartiennent pas à

$\mathcal{MMCRMin}$ ). Seule une approximation des supports de  $I$  et de sa valeur de bond peut être effectuée dans ce cas.

À cet égard, nous définissons les bornes maximales et minimales du support conjonctif, du support disjonctif et de la valeur de la mesure bond d'un motif corrélé rare  $I$ .

Soient,

- $R1 = \max\{Supp(\wedge F), F \in \mathcal{MFCRMax} \mid I \subseteq F\}$ ,
- $R2 = \min\{Supp(\wedge G), G \in \mathcal{MMCRMin} \mid G \subseteq I\}$ ,
- $R3 = \min\{Supp(\vee F), F \in \mathcal{MFCRMax} \mid I \subseteq F\}$  et
- $R4 = \max\{Supp(\vee G), G \in \mathcal{MMCRMin} \mid G \subseteq I\}$ .

Alors nous définissons les bornes minimales et maximales du support conjonctif du motif  $I$  en fonction de  $R1$  et de  $R2$  comme suit. Désignons par  $MinConj$  la borne minimale du support conjonctif du motif  $I$ ,  $MinConj = \min(R1, R2)$  et désignons par  $MaxConj$  la borne maximale du support conjonctif du motif  $I$ ,  $MaxConj = \max(R1, R2)$ .

Concernant le support disjonctif du motif  $I$ , nous définissons les bornes minimales et maximales du support disjonctif du motif  $I$  en fonction de  $R3$  et de  $R4$  comme suit. Désignons par  $MinDisj$  la borne minimale du support disjonctif du motif  $I$ ,  $MinDisj = \min(R3, R4)$  et désignons par  $MaxDisj$  la borne maximale du support disjonctif du motif  $I$ ,  $MaxDisj = \max(R3, R4)$ .

Par conséquent le support conjonctif de tout motif corrélé rare  $I$  identifié par la représentation  $\mathcal{R.MinMMaxF}$ , sera compris entre  $MinConj$  et  $MaxConj$ . Formellement,  $Supp(\wedge I) \in [MinConj, MaxConj]$ . Le support disjonctif du motif  $I$  sera tout de même cerné par la borne minimale  $MinDisj$  et la borne maximale  $MaxDisj$ ,  $Supp(\vee I) \in [MinDisj, MaxDisj]$ .

Ainsi, les bornes minimales et maximales de la valeur de la mesure bond du motif corrélé rare  $I$  seront définis en fonction de  $MinConj$ ,  $MinDisj$ ,  $MaxConj$  et  $MaxDisj$  comme suit.

Puisque  $MinDisj \leq Supp(\vee I) \leq MaxDisj$ , ainsi  $\frac{1}{MaxDisj} \leq \frac{1}{Supp(\vee I)} \leq \frac{1}{MinDisj}$ .

Comme  $Supp(\wedge I) \neq 0$  alors nous déduisons que,  $\frac{Supp(\wedge I)}{MaxDisj} \leq \frac{Supp(\wedge I)}{Supp(\vee I)} \leq \frac{Supp(\wedge I)}{MinDisj}$ .

Ceci est équivalent à,  $\frac{Supp(\wedge I)}{MaxDisj} \leq bond(I) \leq \frac{Supp(\wedge I)}{MinDisj}$ . Or,  $MinConj \leq Supp(\wedge I)$

Ceci implique,  $\frac{MinConj}{MaxDisj} \leq bond(I)$ . De plus,  $Supp(\wedge I) \leq MaxConj$  ainsi  $bond(I) \leq$

$\frac{MaxConj}{MinDisj}$ . Nous avons ainsi,  $\frac{MinConj}{MaxDisj} \leq bond(I) \leq \frac{MaxConj}{MinDisj}$ .

Désignons par  $Minbond$  la borne minimale de la valeur de la mesure bond,  $Minbond = \frac{MinConj}{MaxDisj}$  et par  $Maxbond$  la borne maximale de la valeur de la mesure bond,  $Maxbond =$

$\frac{MaxConj}{MinDisj}$ . Nous concluons de ce qui précède, que la valeur de la mesure *bond* du motif  $I$  appartient à l'intervalle borné par  $Minbond$  et  $Maxbond$ ,  $bond(I) \in [Minbond, Maxbond]$ .

**Exemple 45** *Considérons l'exemple 44. Prenons le cas du motif  $ABE$ , les deux motifs qui font que l'itemset  $ABE$  est un motif corrélé rare sont  $A$  et  $ABCE$  ( $A \subset ABE \subset ABCE$ ). Ainsi le motif  $ABE$  est un motif corrélé rare, ses supports conjonctif, disjonctif et sa valeur de la mesure *bond* seront estimés comme suit.*

- $R1 = Supp(\wedge ABCE) = 2$ ,
- $R2 = Supp(\wedge A) = 3$ ,
- $R3 = Supp(\vee ABCE) = 5$ ,
- $R4 = Supp(\vee A) = 5$ .

Ainsi, nous avons  $MinConj = \min(R1, R2) = \min(2, 3) = 2$ ,  $MaxConj = \max(R1, R2) = \max(2, 3) = 3$ , et  $\min(R3, R4) = \max(R3, R4) = \min(5, 5) = \max(5, 5) = 5$ . Donc pour cet exemple,  $MinDisj = MaxDisj = 5$ . Ce qui implique que,  $Minbond = \frac{MinConj}{MaxDisj} = \frac{2}{5}$  et  $Maxbond = \frac{MaxConj}{MinDisj} = \frac{3}{5}$ .

Par conséquent, nous avons  $Supp(\wedge ABE) \in [2, 3]$ ,  $Supp(\vee ABE) \in [5, 5]$  alors  $Supp(\vee ABE) = 5$  et  $bond(ABE) \in [\frac{2}{5}, \frac{3}{5}]$ .

Nous remarquons d'après le contexte donné par la table 1.1, que les valeurs des supports conjonctif, disjonctif et la valeur de la mesure *bond* du motif  $ABE$  correspondent respectivement à 2, 5 et  $\frac{2}{5}$ . Ces valeurs ne contredisent pas les valeurs approximées précédemment calculées. Nous avons ainsi affirmé que le mécanisme d'approximation offert par la représentation concise approximative  $\mathcal{R}MinMMax\mathcal{F}$  est valide.

## 3.8 Conclusion

Dans ce chapitre, nous avons étudié les caractéristiques des motifs corrélés rares selon la mesure *bond* et nous avons décrit minutieusement les spécificités des classes d'équivalence corrélées rares. Ensuite, nous avons introduit les différentes représentations concises des motifs corrélés rares selon la mesure *bond* et nous avons prouvé leurs propriétés théoriques d'exactitude et de compacité. Ce chapitre a été clôturé avec la définition et l'analyse de la représentation concise approximative. Cette dernière sacrifie l'exactitude des résultats au profit d'une meilleure réduction. Dans le chapitre suivant, nous présenterons l'ensemble des algorithmes dédiés à l'extraction de l'ensemble des motifs corrélés rares et des différentes représentations concises proposées.



# Chapitre 4

## Approches d'extraction des motifs corrélés rares et des représentations proposées

### 4.1 Introduction

Dans ce chapitre, nous introduisons dans la première section l'algorithme `CRP_MINER` d'extraction de l'ensemble  $\mathcal{MCR}$  de tous les motifs corrélés rares. La deuxième section sera consacrée à la présentation de l'algorithme `CRPR_MINER` d'extraction de la représentation concise exacte  $\mathcal{RMCR}$ . Nous enchaînons ensuite avec la démonstration de ses propriétés théoriques. Par ailleurs, nous suggérons deux algorithmes d'interrogation et de régénération, à partir de la représentation  $\mathcal{RMCR}$ . Le premier, intitulé `REGENERATE`, permettant le requêtage de cette représentation. Quant au second algorithme, `CRPRE-GENERATION`, il rend possible la dérivation de tous les motifs corrélés rares à partir de la représentation  $\mathcal{RMCR}$ .

### 4.2 `CRP_MINER` : Algorithme d'extraction de l'ensemble $\mathcal{MCR}$ de tous les motifs corrélés rares

Dans cette section, nous introduisons l'algorithme `CRP_MINER`<sup>(1)</sup> dédié à l'extraction de l'ensemble  $\mathcal{MCR}$  de tous les motifs corrélés rares à partir d'un contexte d'extraction donné. Les notations utilisées dans l'algorithme `CRP_MINER` sont récapitulées dans la

---

1. `CRP_MINER` est l'acronyme de *Correlated Rare Patterns\_Miner*.

table 4.1.

### 4.2.1 Description de l'algorithme CRP\_MINER

L'ensemble  $\mathcal{MCR}$  des motifs corrélés rares est extrait grâce à l'algorithme CRP\_MINER dont le pseudo-code est donné par l'algorithme 1. En effet, l'ensemble  $\mathcal{MCR}$  résulte de la conjonction de la contrainte monotone de rareté et de la contrainte anti-monotone de corrélation. Ainsi l'espace de recherche des motifs corrélés rares est délimité d'une part, par les motifs rares parmi l'ensemble  $\mathcal{MCM}_{max}$  des motifs corrélés maximaux (*cf.* Définition 14) et, d'autre part, par les motifs corrélés parmi l'ensemble  $\mathcal{MR}_{Min}$  des motifs rares minimaux (*cf.* Définition 11).

$X_n$	: Motif $X$ de taille $n$ .
$X.Conj$	: Support conjonctif du motif $X$ .
$X.Disj$	: Support disjonctif du motif $X$ .
$X.bond$	: Valeur de mesure de corrélation $bond$ du motif $X$ .
$\mathcal{MC}_{and}_n$	: Ensemble des motifs candidats de taille $n$ .
$\mathcal{MCR}$	: Ensemble des motifs corrélés rares.
$\mathcal{MCM}_{max}$	: Ensemble des motifs corrélés maximaux.
$\mathcal{MCM}_{max}\mathcal{R}$	: Ensemble des motifs corrélés maximaux rares.
$\mathcal{MCM}_{max}\mathcal{F}$	: Ensemble des motifs corrélés maximaux fréquents.

TABLE 4.1 – Notations adoptées dans l'algorithme CRP\_MINER.

Toutefois, il est intéressant de signaler que le repérage de la bordure d'un ensemble donné de motifs est un problème NP-complet, le temps d'exécution des algorithmes de fouille dédiés est toujours élevé [Boley et Gärtner, 2009]. En effet, il n'existe pas un algorithme permettant de résoudre ce problème en un temps polynomial. Par conséquent, le problème d'extraction des motifs corrélés rares, localisés entre deux bordures, est un problème complexe.

À cet égard, nous nous sommes basés sur l'idée d'extraire une des bordures de cet ensemble dans un premier temps puis de dériver le reste des motifs corrélés rares à partir de cette bordure. En effet, les éléments de la bordure formée par les motifs rares minimaux corrélés permet de nous renseigner quant à la nature de fréquence d'un candidat donné. Tout candidat englobant un motif rare minimal corrélé sera un motif rare grâce à la propriété de filtre d'ordre des motifs rares. Cependant, on ne peut rien confirmer quant à

sa corrélation. Toutefois, la bordure composée par les motifs corrélés maximaux rares est plus intéressante quant à l'identification des motifs corrélés rares potentiels. En effet, tout candidat inclut dans un motif de l'ensemble des motifs corrélés maximaux rares est corrélé grâce à la propriété d'idéal d'ordre des motifs corrélés. Ainsi, les candidats seront évalués uniquement par rapport à la contrainte de rareté. Par conséquent, nous jugeons intéressant de récupérer la bordure composée par les motifs corrélés maximaux rares moyennant un algorithme dédié puis de dériver le reste des motifs corrélés rares à partir de cette bordure. Cette idée constitue le fondement de la conception de l'algorithme CRP\_MINER d'extraction de l'ensemble  $MCR$  des motifs corrélés rares que nous proposons.

Ce dernier prend en entrée une base de transactions  $\mathcal{D}$ , un seuil minimal de support  $minsupp$ , ainsi qu'un seuil de corrélation minimale  $minbond$  et offre en sortie l'ensemble  $MCR$  de tous les motifs corrélés rares munis de leurs supports conjonctifs et de leur valeur de la mesure  $bond$ .

L'algorithme CRP\_MINER se déroule en trois principales étapes. La première consiste à extraire l'ensemble des motifs corrélés maximaux puis à filtrer, par rapport à  $minsupp$ , les motifs maximaux corrélés rares et ceux fréquents. Ensuite, l'ensemble  $MCR$  des motifs corrélés rares sera initialisé à l'ensemble des motifs corrélés maximaux rares. La deuxième principale étape consiste à extraire les items corrélés rares. Ensuite, la dernière phase correspond à l'extraction des motifs corrélés rares de taille supérieure ou égale à deux.

En effet, les stratégies d'élagage mises en place correspondent à :

(i) **L'élagage de tout candidat non inclu dans un motif corrélé maximal rare**, puisqu'il sera non corrélé rare.

(ii) **L'élagage de tout candidat inclu dans un motif corrélé maximal fréquent**, puisqu'il sera corrélé fréquent d'après la propriété de l'idéal d'ordre des motifs corrélés fréquents.

(iii) **L'élagage par rapport à la propriété de cross support vérifiée par la mesure  $bond$** . En effet, tout candidat possédant deux items vérifiant la propriété de cross-support sera élagué puisqu'il est non corrélé. Expliquons à présent le déroulement de chaque étape de l'algorithme CRP\_MINER.

#### 4.2.2 Étape 1 : Extraction des motifs corrélés maximaux

Lors de la première étape, l'ensemble des motifs corrélés maximaux est récupéré grâce à l'algorithme ALGORITHME\_EXTRACTION\_MCMAx. Les motifs maximaux corrélés extraits seront filtrés par la contrainte de  $minsupp$ . Les motifs rares seront insérés dans

l'ensemble  $\mathcal{MCMax}\mathcal{R}$  des motifs corrélés maximaux rares et ceux fréquents seront insérés dans l'ensemble  $\mathcal{MCMax}\mathcal{F}$  des motifs corrélés maximaux fréquents (*cf.* ligne 1 et ligne 1 de l'algorithme 1). Ensuite, les motifs maximaux corrélés rares seront insérés dans l'ensemble des motifs corrélés rares selon leur taille (*cf.* ligne 1 de l'algorithme 1).

### 4.2.3 Étape 2 : Extraction des items corrélés rares

Cette étape consiste à extraire les items corrélés rares. L'ensemble des motifs candidats de taille 1 est composé de l'ensemble de tous les items (*cf.* ligne 1 de l'algorithme 1). Ensuite, les items rares seront insérés dans l'ensemble des motifs corrélés rares  $\mathcal{MCR}_1$  (*cf.* ligne 1 de l'algorithme 1), puisque la valeur de la mesure *bond* de tout item est égale à 1 dépassant ainsi tout seuil minimal de *bond*. L'étape suivante correspond à l'extraction des motifs corrélés rares de taille supérieure ou égale à deux.

### 4.2.4 Étape 3 : Extraction des motifs corrélés rares de taille supérieure ou égale à deux

Cette étape se réalise moyennant un parcours par niveau du bas vers le haut du treillis et englobe quatre phases, que nous détaillons dans ce qui suit.

#### (a) La génération des motifs candidats

La première phase correspond à la phase de génération des motifs candidats de taille  $n$  avec  $n$  est égale à 2. Étant donné que les motifs corrélés rares ne forment pas un idéal d'ordre. C'est à dire pour un motif corrélé rare de taille  $n$ , ses sous-ensemble ne sont pas forcément tous corrélés rares. Plutôt, tous ses sous-ensembles doivent être corrélés. Ainsi, l'ensemble  $\mathcal{MCand}_n$  des motifs candidats de taille  $n$  sera généré moyennant la phase combinatoire d'APRIORI-GEN à partir de l'ensemble  $\mathcal{MCand}_{n-1}$  des motifs corrélés de taille  $n - 1$  (*cf.* ligne 1 de l'algorithme 1).

#### (b) L'élagage des motifs candidats

L'élagage des motifs candidats se réalise selon deux propriétés. D'abord, l'élagage sera effectué par rapport à la propriété de cross support vérifiée par la mesure *bond*. Cependant, la vérification de la propriété de cross-support pour un candidat donné est conditionné

par la valeur du seuil  $minbond$  comme le montre la proposition suivante.

**Proposition 9** *Désignons d'abord par  $MinS$  la plus petite valeur du support conjonctif des items d'un contexte donné,  $MinS = \min\{Supp(\wedge x) \mid x \in \mathcal{I}\}$ , par  $MaxS$  la plus grande valeur du support conjonctif des items d'un contexte donné,  $MaxS = \max\{Supp(\wedge x) \mid x \in \mathcal{I}\}$  et par  $MinR$  la valeur du rapport entre  $MinS$  et  $MaxS$ ,  $MinR = \frac{MinS}{MaxS}$ . Pour  $minbond \leq MinR$ , aucune paire d'items ne vérifie la propriété de cross-support.*

**Preuve.** *Soit un contexte d'extraction  $\mathcal{D} = (\mathcal{T}, \mathcal{I}, \mathcal{R})$ . Soient  $x$  et  $y$  deux items quelconques de  $\mathcal{I}$ . Nous avons  $MinS \leq Supp(\wedge x) \leq MaxS$  et  $MinS \leq Supp(\wedge y) \leq MaxS$ . Ainsi,  $\frac{1}{Supp(\wedge y)} \geq \frac{1}{MaxS}$ . Puisque,  $Supp(\wedge x) > 0$ , donc nous avons  $\frac{Supp(\wedge x)}{Supp(\wedge y)} \geq \frac{Supp(\wedge x)}{MaxS}$ . Ainsi pour toute paire d'items  $x$  et  $y$ , nous avons  $\frac{Supp(\wedge x)}{Supp(\wedge y)} \geq MinR$ . Par conséquent, dans le cas où le seuil minimal de corrélation  $minbond \leq MinR$ , nous avons  $minbond \leq MinR \leq \frac{Supp(\wedge x)}{Supp(\wedge y)}$ , ainsi  $minbond \leq \frac{Supp(\wedge x)}{Supp(\wedge y)}$ .*

*D'une manière plus sémantique, nous concluons que si  $minbond \leq MinR$ , alors aucune paire d'items ne vérifie la propriété de cross-support traduite par  $\frac{Supp(\wedge x)}{Supp(\wedge y)} < minbond$ .*

Il est à déduire, d'après la proposition précédente, que la vérification de la propriété de cross-support pour un candidat donné ne doit se réaliser que si le seuil minimal de corrélation  $minbond$  est strictement supérieur au rapport  $MinR$ . Dans le cas échéant, tout candidat possédant deux items vérifiant la propriété de cross-support sera élagué [Ben Younes *et al.*, 2010a] puisqu'il est non corrélé (*cf.* ligne 1 de l'algorithme 1).

Le deuxième critère d'élagage correspond à l'élimination de tout candidat non inclus dans un élément de l'ensemble  $\mathcal{MCMaXR}$  des motifs corrélés maximaux rares (*cf.* ligne 1 de l'algorithme 1). À ce stade, l'ensemble des motifs candidats maintenus sont tous corrélés. Cependant, nous ne pouvons rien déduire quant à la nature de fréquence de ces candidats. En effet, les candidats qui sont inclus dans un élément de l'ensemble  $\mathcal{MCMaXF}$  des motifs corrélés maximaux fréquents seront fréquents. À cet égard, ses candidats seront élagués, (*cf.* ligne 1 de l'algorithme 1).

### (c) L'évaluation des motifs candidats

L'évaluation des candidats maintenus se réalise par la fonction dédiée (*cf.* ligne 1 de l'algorithme 1), décrite par l'algorithme 2. Cette fonction est invoquée afin de retourner l'ensemble des motifs corrélés rares de taille  $n$ . Ensuite, la variable  $n$  sera incrémentée

(cf. ligne 1 de l'algorithme 1) et de nouveaux candidats de taille  $n$  seront générés à partir des motifs corrélés de taille  $n - 1$  (cf. ligne 1 de l'algorithme 1). La boucle itérative s'arrête lorsque l'ensemble des motifs candidats est vide (cf. ligne 1 de l'algorithme 1) alors l'algorithme CRP\_MINER marque sa fin d'exécution et retourne l'ensemble  $\mathcal{MCR}$  de tous les motifs corrélés rares (cf. ligne 1 de l'algorithme 1).

Expliquons, à présent, le déroulement de la fonction CALCUL\_SUPPORTS\_BOND dont le pseudo code est donné par l'algorithme 2. Cette fonction prend en entrée le contexte d'extraction  $\mathcal{D}$ , le seuil  $minsupp$  et l'ensemble  $\mathcal{MCand}$  des candidats de taille  $n$  et fournit en sortie l'ensemble  $\mathcal{MCR}_n$  des motifs corrélés rares de taille  $n$ .

Cette fonction opère de la manière suivante. D'abord, le contexte d'extraction est parcouru d'une manière séquentielle. Pour chaque transaction  $T$  du contexte, nous parcourons l'ensemble de tous les motifs corrélés rares. Pour chaque candidat  $X_n$  de l'ensemble  $\mathcal{MCand}$  (cf. ligne 2 de l'algorithme 2), le support conjonctif, le support disjonctif seront mis à jour. En effet, nous désignons par  $I$  l'ensemble des items appartenant à une transaction  $T$  et par  $\omega$  l'ensemble des items commun entre  $I$  et le candidat  $X_n$ . Deux cas sont alors possibles.

- (i) Si  $\omega$  contient au moins un seul item du motif candidat  $X_n$  alors le support disjonctif  $X_n.Disj$  sera incrémenté (cf. ligne 2 de l'algorithme 2).
- (ii) Si  $\omega$  contient tous les items composant le candidat  $X_n$  alors le support conjonctif  $X_n.Conj$  sera incrémenté (cf. ligne 2 de l'algorithme 2).

Après le balayage de tout le contexte, les supports disjonctifs et conjonctifs de tous les candidats sont calculés. L'étape suivante consiste à parcourir l'ensemble des candidats et à vérifier la rareté du candidat en cours (cf. ligne 2 de l'algorithme 2). Dans le cas où, le candidat en cours est rare alors sa valeur de la mesure bond sera calculée (cf. ligne 2 de l'algorithme 2) et le candidat sera inséré dans l'ensemble  $\mathcal{MCR}_n$  des motifs corrélés rares de taille  $n$  (cf. ligne 2 de l'algorithme 2). Lorsque tous les candidats sont évalués, la fonction CALCUL\_SUPPORTS\_BOND marque sa fin d'exécution et retourne l'ensemble  $\mathcal{MCR}_n$  (cf. ligne 5 de l'algorithme 2) des motifs corrélés rares de taille  $n$ .

Nous avons ainsi analysé les différentes étapes de l'algorithme CRP\_MINER. Nous enchaînons, dans ce qui suit, par la trace d'exécution de cet algorithme appliquée à la base de transaction de la table 1.1.

---

**Algorithme 1 : CRP\_MINER**

---

**Données :**

1. Un contexte d'extraction  $\mathcal{D}$ .
2. Le seuil minimal de support conjonctif  $minsupp$ .
3. Le seuil minimal de corrélation  $minbond$ .

**Résultat :** L'ensemble  $\mathcal{MCR}$  des motifs corrélés rares munis de leurs supports conjonctifs et de leurs valeurs de mesure  $bond$ .

**début**

```

 $\mathcal{MCM}ax := \text{ALGORITHME\_EXTRACTION\_MCM}ax(\mathcal{D}, minbond);$ 
 $\mathcal{MCM}ax\mathcal{F} := \{ X \in \mathcal{MCM}ax \mid X.Conj \geq minsupp \};$ 
 $\mathcal{MCM}ax\mathcal{R} := \{ X \in \mathcal{MCM}ax \mid X.Conj < minsupp \};$ 
 $k := 1;$ 
 $\mathcal{MCR}_{|k|} := \emptyset;$ 
pour chaque ( $M \in \mathcal{MCM}ax\mathcal{R}$ ) faire
     $\mathcal{MCR}_{|M|} := \mathcal{MCR}_{|M|} \cup (M, M.Conj, M.bond);$ 
    si ( $k < |M|$ ) alors
         $k := |M|;$ 
 $\mathcal{MC}and_1 := \{i \mid i \in \mathcal{I}\};$ 
 $\mathcal{MCR}_1 := \{X \in \mathcal{MC}and_1 \mid X.Conj < minsupp\};$ 
 $n := 2;$ 
 $\mathcal{MC}and_n := \text{APRIORI-GEN}(\mathcal{MC}and_{n-1});$ 
tant que ( $\mathcal{MC}and_n \neq \emptyset$ ) faire
    /* Élagage des motifs candidats */
     $\mathcal{MC}and_n := \{ X_n \in \mathcal{MC}and_n \mid \nexists x, y \in X_n \mid \frac{x.Conj}{y.Conj} < minbond \};$ 
     $\mathcal{MC}and_n := \{ X_n \in \mathcal{MC}and_n \mid \exists Z \in \mathcal{MCM}ax\mathcal{R} \mid X_n \subset Z \};$ 
     $\mathcal{MC}and_n := \{ X_n \in \mathcal{MC}and_n \mid \nexists Z \in \mathcal{MCM}ax\mathcal{F} \mid X_n \subset Z \};$ 
    /* Évaluation des motifs candidats retenus */
     $\mathcal{MCR}_n := \text{CALCUL\_SUPPORTS\_BOND}(\mathcal{D}, \mathcal{MC}and_n, minsupp);$ 
    /* Génération de nouveaux candidats */
     $n := n + 1;$ 
     $\mathcal{MC}and_n := \text{APRIORI-GEN}(\mathcal{MC}and_{n-1});$ 
retourner  $\bigcup_{i \in [1, k]} \mathcal{MCR}_i;$ 

```

---

**Algorithme 2 : CALCUL\_SUPPORTS\_BOND**
**Données :**

1. Un contexte d'extraction  $\mathcal{D}$ .
2. L'ensemble  $\mathcal{MCand}_n$  des motifs candidats de taille  $n$ .
3. Le seuil minimal de support conjonctif  $minsupp$ .

**Résultat :** L'ensemble  $\mathcal{MCR}_n$  des motifs corrélés rares de taille  $n$ 
**début**

```

pour chaque (Objet O du contexte D) faire
    pour chaque ( $X_n$  de  $\mathcal{MCand}_n$ ) faire
         $\omega := X_n \cap I$  /*  $I$  correspond aux items appartenant à l'objet  $O$  */;
        si ( $\omega \neq \emptyset$ ) alors
             $X_n.Disj := X_n.Disj + 1$ ;
            si ( $\omega = X_n$ ) alors
                 $X_n.Conj := X_n.Conj + 1$ ;
    pour chaque ( $X_n$  de  $\mathcal{MCand}_n$ ) faire
        si ( $X_n.Conj < minsupp$ ) alors
             $X_n.bond := \frac{X_n.Conj}{X_n.Disj}$ ;
             $\mathcal{MCR}_n := \mathcal{MCR}_n \cup (X_n, X_n.Conj, X_n.bond)$ ;
retourner  $\mathcal{MCR}_n$ ;
    
```

#### 4.2.5 Trace d'exécution de l'algorithme CRP\_MINER

Considérons la base de transactions illustrée par la table 1.1. Pour  $minsupp = 3$  et  $minbond = 0,20$ , l'application de l'algorithme CRP\_MINER pour l'extraction de l'ensemble  $\mathcal{MCR}$  des motifs corrélés rares se réalise de la manière suivante : Initialement, les motifs maximaux sont extraits grâce à l'algorithme ALGORITHME\_EXTRACTION\_MCMAx,  $\mathcal{MCMAx} = \{(ACD, 1, \frac{1}{4}), (ABCE, 2, \frac{2}{5})\}$ . Étant donné que tous les motifs de l'ensemble  $\mathcal{MCMAx}$  sont rares, ils sont donc insérés dans l'ensemble  $\mathcal{MCR}$  et répartis en fonction de leur taille comme suit.  $\mathcal{MCR}_3 = \{(ACD, 1, \frac{1}{4})\}$ ,  $\mathcal{MCR}_4 = \{(ABCE, 2, \frac{2}{5})\}$ .

Ensuite, un balayage de la base de transactions est réalisé et l'ensemble des motifs candidats est initialisé,  $\mathcal{MCand}_1 = \{A, B, C, D, E\}$ . Le seul item rare  $D$  est identifié,  $\mathcal{MCR}_1 = \{(D, 1, \frac{1}{1})\}$ . L'ensemble  $\mathcal{MCand}_2$  des motifs candidats de taille 2 est égal é,  $\mathcal{MCand}_2 = \{AB, AC, AD, AE, BC, BE, BD, CE, CD, DE\}$ .

**Itération 1 :**

La propriété de cross-support n'élaguera aucun des candidats de l'ensemble  $\mathcal{MCand}_2$ . Cependant, les candidats BD et DE sont élagués vu qu'ils ne sont inclus dans aucun motif maximal corrélé rare. Ainsi, nous avons  $\mathcal{MCand}_2 = \{AB, AC, AD, AE, BC, BE, CE, CD\}$ . Ensuite, les supports conjonctifs, disjonctifs et les valeurs de mesure *bond* des candidats retenus sont calculés par la fonction CALCUL\_SUPPORTS\_BOND. Ainsi nous distinguons l'ensemble  $\mathcal{MCR}_2 = \{(AD, 1, \frac{1}{3}), (CD, 1, \frac{1}{4}), (AB, 2, \frac{2}{5}), (AE, 2, \frac{2}{5})\}$ . La variable  $n$  sera ensuite incrémentée,  $n = 3$  et les candidats de taille trois sont générés.  $\mathcal{MCand}_3 = \{ABC, ABD, ABE, ACD, ACE, ADE, BCD, BCE, CDE\}$ .

**Itération 2 :**

Les candidats ABD, BCD, CDE et ADE sont élagués puisqu'ils ne sont pas inclus dans un motif corrélé maximal rare. Toutefois, le motif ABCE appartient à l'ensemble des motifs corrélés maximaux rares et il est déjà inséré dans l'ensemble  $\mathcal{MCR}$ , donc il sera élagué.  $\mathcal{MCand}_3 = \{ABC, ABE, ACE, BCE\}$ . Pour les candidats retenus, nous calculons les supports conjonctifs, disjonctifs et la valeur de la mesure *bond* et nous identifions les motifs corrélés rares suivants,  $\mathcal{MCR}_3 = \{(ACD, 1, \frac{1}{4}), (ABC, 2, \frac{2}{5}), (ABE, 2, \frac{2}{5}), (ACE, 2, \frac{2}{5})\}$ . Le déroulement de la boucle itérative se poursuit encore, la variable  $n$  sera incrémentée,  $n = 4$ , et les candidats de taille 4 sont générés.  $\mathcal{MCand}_4 = \{ABCD, ACDE, ABCE, ABDE\}$ .

**Itération 3 :**

Lors de cette itération, tous les candidats sont élagués puisqu'ils ne sont pas des sous-ensembles stricts d'aucun motif corrélé maximal. Toutefois, le motif ABCE appartient à l'ensemble des motifs corrélés maximaux rares et il est déjà inséré dans l'ensemble  $\mathcal{MCR}$ , donc il ne sera pas retraité.

Ensuite la variable  $n$  sera incrémentée,  $n = 5$ . L'ensemble des candidats de taille 5 est vide,  $\mathcal{MCand}_5 = \{\emptyset\}$  alors l'algorithme marque sa fin d'exécution donnant ainsi comme résultat l'ensemble  $\mathcal{MCR}$  des motifs corrélés rares.  $\mathcal{MCR} = \{(D, 1, \frac{1}{1}), (AD, 1, \frac{1}{3}), (AB, 2, \frac{2}{5}), (AE, 2, \frac{2}{5}), (CD, 1, \frac{1}{4}), (ACD, 1, \frac{1}{4}), (ABC, 2, \frac{2}{5}), (ABE, 2, \frac{2}{5}), (ACE, 2, \frac{2}{5}), (ABCE, 2, \frac{2}{5})\}$ .

Il est à remarquer que dans cet exemple d'exécution de l'algorithme CRP\_MINER, aucun candidat généré n'a été élagué par la propriété de cross-support. En effet, nous avons pour cet exemple d'exécution  $MinS = 1$ ,  $MaxS = 4$  et  $MinR = \frac{MinS}{MaxS} = \frac{1}{4} = 0,25$ . Or,  $minbond = 0,20 < MinR = 0,25$ . Ainsi, d'après la proposition 9 aucune paire d'items ne vérifie la propriété de cross-support.

Nous avons ainsi présenté et analysé l'algorithme CRP\_MINER d'extraction de l'en-

semble  $\mathcal{MCR}$  de tous les motifs corrélés rares. Dans la suite, nous présentons l'algorithme  $\text{CRPR\_MINER}$  d'extraction de la représentation concise exacte  $\mathcal{RMCR}$ .

### 4.3 CRPR\_MINER : Algorithme d'extraction de la représentation concise exacte $\mathcal{RMCR}$

Dans cette section, nous nous concentrons uniquement sur l'approche d'extraction de la représentation concise exacte  $\mathcal{RMCR}$  puisque les autres représentations concises exactes  $\mathcal{RMMaxF}$ ,  $\mathcal{RMinMF}$  et la représentation concise approximative  $\mathcal{RMinMMaxF}$  peuvent y être facilement dérivées.

À cet égard, nous introduisons l'algorithme  $\text{CRPR\_MINER}$  <sup>(2)</sup> dédié à l'extraction de la représentation concise exacte  $\mathcal{RMCR}$ . Les notations utilisées dans cet algorithme sont récapitulées dans la table 4.2.

#### 4.3.1 Description de l'algorithme CRPR\_MINER

La représentation concise exacte  $\mathcal{RMCR}$  (*cf.* Définition 24 page 63) composée de l'ensemble  $\mathcal{MMCR}$  des motifs minimaux corrélés rares et de l'ensemble  $\mathcal{MFCR}$  des motifs fermés corrélés rares est extraite grâce à l'algorithme  $\text{CRPR\_MINER}$ .

Cet algorithme, dont le pseudo-code est donné par l'algorithme 3, prend en entrée un contexte d'extraction  $\mathcal{D}$ , un seuil minimal de support conjonctif *minsupp* ainsi qu'un seuil minimal de corrélation *minbond*. L'algorithme  $\text{CRPR\_MINER}$  permet de déterminer, à partir du contexte  $\mathcal{D}$ , l'ensemble des motifs minimaux corrélés rares  $\mathcal{MMCR}$  et l'ensemble des motifs fermés corrélés rares  $\mathcal{MFCR}$  munis de leurs supports conjonctifs et de leurs valeurs de mesure *bond*.

Les stratégies d'élagage des motifs candidats mises en place sont les suivantes :

- (i) **L'élagage de tout candidat non inclus dans un motif corrélé maximal rare**, puisqu'il sera non corrélé rare.
- (ii) **L'élagage de tout candidat inclus dans un motif corrélé maximal fréquent**, puisqu'il sera corrélé fréquent d'après la propriété de l'idéal d'ordre des motifs corrélés fréquents.
- (iii) **Élagage par rapport à la propriété de cross-support vérifiée par la mesure de corrélation *bond***. En effet, tout candidat contenant deux items qui vérifient la

---

2.  $\text{CRPR\_MINER}$  est l'acronyme de *Correlated Rare Patterns Representation Miner*.

$X_n$	: Motif $X$ de taille $n$ .
$X.Conj$	: Support conjonctif du motif $X$ .
$X.Disj$	: Support disjonctif du motif $X$ .
$X.bond$	: Valeur de mesure de corrélation $bond$ du motif $X$ .
$X.f_c$	: fermé conjonctif du motif $X$ .
$X.f_d$	: fermé disjonctif du motif $X$ .
$X.CmpDisj$	: Ensemble des items n'appartenant à aucune transaction contenant au moins un item du motif $X$ .
$X.f_{bond}$	: fermé associé à la mesure $bond$ du motif $X$ .
$MCand_n$	: Ensemble des motifs candidats de taille $n$ .
$MCMax$	: Ensemble des motifs maximaux corrélés.
$MCMax\mathcal{R}$	: Ensemble des motifs maximaux corrélés rares.
$MCMax\mathcal{F}$	: Ensemble des motifs maximaux corrélés fréquents.
$MMCR_n$	: Ensemble des motifs minimaux corrélés rares de taille $n$ .
$MFCR_n$	: Ensemble des motifs fermés corrélés rares de taille $n$ .

TABLE 4.2 – Notations adoptées dans l'algorithme CRPR\_MINER.

propriété de cross-support par rapport au seuil minimal  $minbond$  est un motif non corrélé et sera ainsi élagué de l'ensemble des motifs candidats.

(iv) **Élagage par rapport à la propriété d'idéal d'ordre des motifs minimaux corrélés.** En effet, les motifs minimaux corrélés vérifient la propriété de l'idéal d'ordre. Ainsi, tout candidat corrélé possédant un sous-ensemble non minimal corrélé, sera non minimal corrélé et il sera ainsi élagué.

Nous détaillons dans ce qui suit minutieusement chaque étape de l'algorithme CRPR\_MINER.

### 4.3.2 Étape 1 : Extraction des motifs corrélés maximaux

Cette première étape se réalise d'une manière similaire à celle de la première étape de l'algorithme CRP\_MINER. En effet, l'ensemble des motifs corrélés maximaux est récupéré grâce à l'algorithme ALGORITHME\_EXTRACTION\_MC\_MAX. Ces derniers seront filtrés par la contrainte de  $minsupp$  et insérés selon leur nature dans les ensembles  $MCMax\mathcal{R}$  et  $MCMax\mathcal{F}$ . Ensuite, les motifs maximaux corrélés rares seront insérés dans l'ensemble des motifs corrélés rares selon leur taille.

### 4.3.3 Étape 2 : Extraction de tous les motifs minimaux et fermés corrélés rares

La deuxième étape consiste à réaliser un parcours par niveau du bas vers le haut du treillis afin d'extraire les motifs minimaux corrélés rares et de calculer leurs fermetures. Premièrement, l'ensemble des motifs candidats de taille 1 est composé de l'ensemble de tous les items (*cf.* ligne 3 de l'algorithme 3). Ensuite, les items rares seront insérés dans l'ensemble des motifs minimaux corrélés rares  $\mathcal{MMCR}_1$  et leurs fermetures seront calculés moyennant la fonction `CALCUL_SUPPORTS_FERMETURES` (*cf.* ligne 3 de l'algorithme 3).

La phase de génération de candidats s'effectue d'une manière similaire à celle de l'algorithme `CRP_MINER`. Toutefois, l'ensemble  $\mathcal{MCand}_n$  des motifs candidats de taille  $n$  sera généré moyennant la phase combinatoire d'APRIORI-GEN à partir de l'ensemble  $\mathcal{MCand}_{n-1}$  (*cf.* ligne 3 de l'algorithme 3). Par la suite, les candidats vérifiant la propriété de cross-support seront élagués (*cf.* ligne 3 de l'algorithme 3). De plus, tout candidat non inclu dans un motif maximal corrélé rare sera élagué (*cf.* ligne 3 de l'algorithme 3) puisqu'il n'est pas corrélé d'après la proposition 3. Ensuite, tout candidat inclu dans un motif corrélé maximal fréquent sera élagué, (*cf.* ligne 3 de l'algorithme 3). Un autre élagage basé sur la propriété de l'idéal d'ordre des motifs minimaux corrélés est réalisé. En effet, tous les sous-ensembles d'un motif minimal corrélé doivent être des motifs minimaux corrélés d'après la propriété 1. À cet égard, tout candidat de taille  $n$  possédant un sous-ensemble de taille  $n - 1$  non minimal corrélé, sera élagué (*cf.* ligne 3 de l'algorithme 3).

À ce stade, l'ensemble  $\mathcal{MCand}_n$  des motifs candidats de taille  $n$  englobe tous les motifs minimaux corrélés potentiels. L'étape suivante consiste donc à identifier les motifs minimaux corrélés qui sont rares et à calculer leur fermetures par  $f_{bond}$ . Ceci est réalisé grâce à la fonction `CALCUL_SUPPORTS_FERMETURES` (*cf.* ligne 3 de l'algorithme 3). Cette fonction est invoquée afin d'extraire l'ensemble des motifs minimaux corrélés rares de taille  $n$ , de calculer leurs fermetures et mettre à jour l'ensemble  $\mathcal{MFCR}$  des motifs fermés corrélés rares. Ensuite, la variable  $n$  sera incrémentée et de nouveaux candidats de taille  $n$  seront générés à partir des motifs corrélés de taille  $n - 1$  (*cf.* ligne 3 de l'algorithme 3). La boucle itérative s'arrête lorsque l'ensemble des motifs candidats est vide (*cf.* ligne 3 de l'algorithme 3) alors l'algorithme `CRPR_MINER` marque sa fin d'exécution et retourne la représentation concise exacte  $\mathcal{RMCR}$  composée par l'ensemble  $\mathcal{MMCR}$  des motifs minimaux corrélés rares et de l'ensemble  $\mathcal{MFCR}$  des motifs fermés corrélés rares (*cf.* ligne 3 de l'algorithme 3).

---

**Algorithme 3 : CRPR\_MINER**

---

**Données :**

1. Un contexte d'extraction  $\mathcal{D}$ .
2. Un seuil minimal de corrélation  $minbond$ .
3. Un seuil minimal de support conjonctif  $minsupp$ .

**Résultat :** La représentation concise exacte  $\mathcal{RMCR} = \mathcal{MMCR} \cup \mathcal{MF CR}$ .

**début**

```

 $\mathcal{MCM}ax := \text{ALGORITHME\_EXTRACTION\_MCM}ax(\mathcal{D}, minbond);$ 
 $\mathcal{MCM}ax\mathcal{F} := \{X \in \mathcal{MCM}ax \mid X.Conj \geq minsupp\};$ 
 $\mathcal{MCM}ax\mathcal{R} := \{X \in \mathcal{MCM}ax \mid X.Conj < minsupp\};$ 
 $\mathcal{MC}and_1 := \{i \in \mathcal{I}\};$ 
 $\mathcal{MMCR}_1 \cup \mathcal{MF CR} := \text{CALCUL\_SUPPORTS\_FERMETURES}(\mathcal{D}, \mathcal{MC}and_1, minsupp);$ 
 $n := 2;$ 
 $\mathcal{MC}and_n := \text{APRIORI-GEN}(\mathcal{MC}and_{n-1});$ 
tant que  $(\mathcal{MC}and_n \neq \emptyset)$  faire
    /* Élagage des motifs candidats */
     $\mathcal{MC}and_n := \{X_n \in \mathcal{MC}and_n \mid \nexists x, y \in X_n \mid \frac{x.Conj}{y.Conj} < minbond\};$ 
     $\mathcal{MC}and_n := \{X_n \in \mathcal{MC}and_n \mid \exists Z \in \mathcal{MCR} \mid X_n \subset Z\};$ 
     $\mathcal{MC}and_n := \{X_n \in \mathcal{MC}and_n \mid \nexists Z \in \mathcal{MCM}ax\mathcal{F} \mid X_n \subset Z\};$ 
     $\mathcal{MC}and_n := \{X_n \in \mathcal{MC}and_n \mid \nexists Y_{n-1} \subset X_n \text{ et } Y_{n-1} \notin \mathcal{MC}and_{n-1}\};$ 
    /* Extraction des minimaux et calcul des fermetures */
     $\mathcal{MMCR}_n \cup \mathcal{MF CR} := \text{CALCUL\_SUPPORTS\_FERMETURES}(\mathcal{D}, \mathcal{MC}and_n,$ 
         $minsupp);$ 
     $n := n + 1;$ 
     $\mathcal{MC}and_n := \text{APRIORI-GEN}(\mathcal{MC}and_{n-1});$ 
retourner  $\bigcup_{i \in [1, n]} \mathcal{MMCR}_i \cup \bigcup_{i \in [1, n]} \mathcal{MF CR}_i;$ 

```

---

Décrivons, à présent, le déroulement de la fonction  $\text{CALCUL\_SUPPORTS\_FERMETURES}$  dont le pseudo code est donné par l'algorithme 4. Cette fonction prend en entrée le contexte d'extraction  $\mathcal{D}$ , le seuil  $minsupp$  et l'ensemble  $\mathcal{MC}and$  de candidats de taille  $n$  et fournit en sortie l'ensemble  $\mathcal{MMCR}_n$  des motifs minimaux corrélés rares de taille  $n$  et l'ensemble  $\mathcal{MF CR}$  des motifs fermés corrélés rares. Cette fonction opère d'une manière similaire à la fonction  $\text{CALCUL\_SUPPORTS\_BOND}$ . De plus du calcul des supports conjonctifs, disjonctifs et la valeur  $bond$ , la fonction  $\text{CALCUL\_SUPPORTS\_FERMETURES}$  assure le

calcul des fermetures conjonctives, disjonctives et par conséquent la fermeture par  $f_{bond}$  des candidats retenus. À cet égard, le contexte d'extraction est parcouru d'une manière séquentielle. Pour chaque transaction  $T$  du contexte, nous désignons par  $I$  l'ensemble des items appartenant à cette transaction  $T$  et par  $\omega$  l'ensemble des items commun entre  $I$  et le candidat en cours  $X_n$ . En effet, Trois cas sont alors possibles.

(i) Si  $\omega$  est vide, autrement dit aucune intersection n'existe entre le motif candidat  $X_n$  et la transaction  $T$ . Alors, le complément de la fermeture disjonctive  $X_n.CmpDisj$ , correspond aux items n'appartenant à aucune transaction contenant au moins un item du candidat  $X_n$ , réçoit l'ensemble des items  $\omega$  (cf. ligne 4 de l'algorithme 4).

(ii) Si  $\omega$  contient au moins un seul item du motif candidat  $X_n$  alors le support disjonctif  $X_n.Disj$  sera incrémenté (cf. ligne 4 de l'algorithme 4).

(iii) Si  $\omega$  contient tous les items composant le candidat  $X_n$  (cf. ligne 4 de l'algorithme 4) alors le support conjonctif  $X_n.Conj$  sera incrémenté (cf. ligne 4 de l'algorithme 4) et la fermeture conjonctive du motif candidat  $X_n.f_c$  si elle est vide alors elle sera initialisée à  $\omega$  (cf. ligne 4 de l'algorithme 4) sinon elle sera mise à jour (cf. ligne 4 de l'algorithme 4).

Après le balayage de tout le contexte, les supports disjonctifs, conjonctifs, les fermetures conjonctives et les compléments de la fermeture disjonctive de tous les candidats sont mis à jour. L'étape suivante consiste à parcourir l'ensemble des candidats maintenus afin d'identifier les motifs minimaux corrélés rares. Nous testons d'abord la rareté de chaque candidat (cf. ligne 4 de l'algorithme 4). Si le candidat en cours est rare alors nous calculons sa valeur de la mesure  $bond$  (cf. ligne 4 de l'algorithme 4). et nous procédons à la vérification de sa minimalité. En effet, d'après la définition 19, un motif minimal corrélé ne doit pas être inclut dans la fermeture de ses sous-ensembles directs. Autrement dit, un motif minimal corrélé ne doit posséder aucun sous-ensemble direct de même valeur de mesure  $bond$  que lui (cf. ligne 4 de l'algorithme 4). Dans le cas échéant, le motif candidat est ainsi minimal corrélé rare et sera inséré dans l'ensemble  $\mathcal{MMCR}_n$  des motifs minimaux corrélés rares de taille  $n$  (cf. ligne 4 de l'algorithme 4).

Nous calculons, ensuite, son fermé disjonctif  $X_n.f_d$  dans la ligne 20. Le fermé  $X_n.f_{bond}$ , résultant de l'intersection entre la fermeture conjonctive  $X_n.f_c$  et la fermeture disjonctive  $X_n.f_d$ , sera ensuite dérivé (cf. ligne 4 de l'algorithme 4).

Les motifs fermés calculés lors de chaque itération seront insérés dans l'ensemble  $\mathcal{MFCR}$  des motifs fermés corrélés rares et répartis selon leur taille. À cet égard, nous sauvegardons la taille  $l$  de chaque motif fermé,  $l = |X_n.f_{bond}|$  (cf. ligne 4 de l'algorithme 4). Par conséquent, chaque motif fermé de taille  $l$  sera inséré dans l'ensemble  $\mathcal{MFCR}_l$  des motifs

fermés corrélés rares de taille  $l$  (cf. ligne 4 de l'algorithme 4). L'ensemble  $\mathcal{MF}\mathcal{CR}$  de tous les motifs fermés corrélés rares sera, par la suite, mis à jour (cf. ligne 4 de l'algorithme 4).

À la fin de l'exécution de la fonction CALCUL\_SUPPORTS\_FERMETURES, l'ensemble  $\mathcal{MM}\mathcal{CR}_n$  des motifs minimaux corrélés rares de taille  $n$  sera extrait et l'ensemble  $\mathcal{MF}\mathcal{CR}$  des motifs fermés corrélés rares sera mis à jour (cf. ligne 4 de l'algorithme 4).

Nous avons ainsi analysé les différentes étapes de l'algorithme CRPR\_MINER. Nous enchaînons dans ce qui suit par sa trace d'exécution appliquée au contexte d'extraction donné par la table 1.1.

#### 4.3.4 Trace d'exécution de l'algorithme CRPR\_MINER

Considérons la base de transactions 1.1 pour  $minsupp = 3$  et  $minbond = 0,20$ . En utilisant l'algorithme CRPR\_MINER, l'extraction de la représentation  $\mathcal{RMCR}$  se fait de la manière suivante : Initialement, les motifs maximaux sont récupérés grâce à l'algorithme ALGORITHME\_EXTRACTION\_MC\_MAX,  $\mathcal{MC}\mathcal{M}ax = \{(ACD, 1, \frac{1}{4}), (ABCE, 2, \frac{2}{5})\}$ . Étant donné que tous les motifs de l'ensemble  $\mathcal{MC}\mathcal{M}ax$  sont rares, ils seront ainsi tous insérés dans l'ensemble  $\mathcal{MC}\mathcal{M}ax\mathcal{R}$  des motifs maximaux corrélés rares,  $\mathcal{MC}\mathcal{M}ax\mathcal{R} = \{(ACD, 1, \frac{1}{4}), (ABCE, 2, \frac{2}{5})\}$ .

Ensuite, la base de transactions est parcourue et l'ensemble des motifs candidats est initialisé,  $\mathcal{MC}and_1 = \{A, B, C, D, E\}$ . La fonction CALCUL\_SUPPORTS\_FERMETURES est ensuite invoquée. Le seul item rare  $D$  est identifié, et il est inséré dans l'ensemble  $\mathcal{MM}\mathcal{CR}_1 = \{(D, 1, \frac{1}{1})\}$ . Nous avons  $D.f_c = ACD.f_d = D$  et  $D.f_{bond} = D$ . Le motif fermé  $D$  est inséré dans l'ensemble  $\mathcal{MF}\mathcal{CR}_1$ ,  $\mathcal{MF}\mathcal{CR}_1 = \{(D, 1, \frac{1}{1})\}$ . L'ensemble  $\mathcal{MC}and_2$  des motifs candidats de taille 2 est égal à,  $\mathcal{MC}and_2 = \{AB, AC, AD, AE, BC, BE, BD, CE, CD, DE\}$ . Alors nous commençons la première itération de l'algorithme.

##### Itération 1 :

Tous les candidats vérifient la propriété de l'idéal d'ordre des motifs minimaux corrélés. De plus, la propriété de cross-support n'élaguera aucun des candidats de l'ensemble  $\mathcal{MC}and_2$ . Cependant, seuls les candidats  $BD$  et  $DE$  sont élagués vu qu'ils ne sont inclus dans aucun motif maximal corrélé rare. Ainsi, nous avons  $\mathcal{MC}and_2 = \{AB, AC, AD, AE, BC, BE, CE, CD\}$ . Les supports conjonctifs et disjonctifs des candidats sont calculés. Pour les candidats rares  $AB, AD, AE$  et  $CD$ , la valeur de la mesure  $bond$  est calculée. Tous ces candidats sont des motifs minimaux corrélés rares, ainsi ils ont insérés dans l'ensemble  $\mathcal{MM}\mathcal{CR}_2$ .  $\mathcal{MM}\mathcal{CR}_2 = \{(AB, 2, \frac{2}{5}), (AE, 2, \frac{2}{5}), (AD, 1, \frac{1}{3}), (CD, 1, \frac{1}{4})\}$ . Nous calculons par la suite leurs

**Algorithme 4 : CALCUL\_SUPPORTS\_FERMETURES**

**Données :**

1. Un contexte d'extraction  $\mathcal{D}$ .
2. L'ensemble  $\mathcal{MCand}_n$  des motifs candidats de taille  $n$ .
3. Le seuil minimal de support conjonctif  $minsupp$ .

**Résultat :** L'ensemble  $\mathcal{MMCR}_n$  des motifs minimaux corrélés rares sera extrait et

l'ensemble  $\mathcal{MFCR}$  des motifs fermés corrélés rares sera mis à jour

début

```

pour chaque (Objet  $O$  du contexte  $\mathcal{D}$ ) faire
  pour chaque ( $X_n$  de  $\mathcal{MCand}_n$ ) faire
     $\omega := X_n \cap I$  /*  $I$  correspond aux items appartenant à l'objet  $O$  */;
    si ( $\omega = \emptyset$ ) alors
       $X_n.CmpDisj := X_n.CmpDisj \cup I$ ;
    sinon
       $X_n.Disj := X_n.Disj + 1$ ;
      si ( $\omega = X_n$ ) alors
         $X_n.Conj := X_n.Conj + 1$ ;
        si  $X_n.f_c = \emptyset$  alors
           $X_n.f_c := \omega$ ;
        sinon
           $X_n.f_c := X_n.f_c \cap \omega$ ;

  pour chaque ( $X_n$  de  $\mathcal{MCand}_n$ ) faire
    si ( $X_n.Conj < minsupp$ ) alors
       $X_n.bond := \frac{I.Conj}{I.Disj}$ ;
    si ( $\nexists Y_n \subset X_{n+1} \mid bond(Y_n) = bond(X_{n+1})$ ) alors
       $\mathcal{MMCR}_n := \mathcal{MMCR}_n \cup (X_n, X_n.Conj, X_n.bond)$ ;
       $X_n.f_d := \mathcal{I} \setminus X_n.CmpDisj$ ;
       $X_n.f_{bond} := X_n.f_d \cap X_n.f_c$ ;
       $l := |X_n.f_{bond}|$ ;
       $\mathcal{MFCR}_l := \mathcal{MFCR}_l \cup (X_n.f_{bond}, X_n.Conj, X_n.bond)$ ;
       $\mathcal{MFCR} := \mathcal{MFCR} \cup \mathcal{MFCR}_l$ ;

  retourner  $\mathcal{MMCR}_n \cup \mathcal{MFCR}$ ;

```

$X$	Type ( $X$ )	Supp( $\wedge X$ )	bond( $X$ )	$X$	Type ( $X$ )	Supp( $\wedge X$ )	bond( $X$ )
D	MMCR et MFCR	1	$\frac{1}{1}$	AB	MMCR	2	$\frac{2}{5}$
AD	MMCR et MFCR	1	$\frac{1}{3}$	AE	MMCR	2	$\frac{2}{5}$
CD	MMCR	1	$\frac{1}{4}$	ABCE	MFCR	2	$\frac{2}{5}$
ACD	MFCR	1	$\frac{1}{4}$				

TABLE 4.3 – Résultat de l'exécution de l'algorithme CRPR\_MINER pour  $minsupp = 3$  et  $minbond = 0,20$ .

fermetures et nous avons  $\mathcal{MFCR}_4 = \{(ABCE, 2, \frac{2}{5})\}$ ,  $\mathcal{MFCR}_3 = \{(ACD, 1, \frac{1}{4})\}$ ,  $\mathcal{MFCR}_2 = \{(AD, 1, \frac{1}{3})\}$ . La variable  $n$  sera ensuite incrémentée,  $n = 3$  et les candidats de taille trois sont générés.  $\mathcal{MCand}_3 = \{ABC, ABD, ABE, ACD, ACE, ADE, BCD, BCE, CDE\}$ .

**Itération 2 :**

Lors de la deuxième itération, aucun des candidats générés ne sera élagué par la propriété de cross-support. Cependant, les candidats ABD, BCD, CDE, et ADE sont élagués puisqu'ils ne sont pas inclus dans un motif corrélé maximal rare.

$\mathcal{MCand}_3 = \{ABC, ABE, ACD, ACE, BCE\}$ . Alors, nous calculons les supports conjonctifs et disjonctifs et la valeur  $bond$  pour les candidats rares retenus à savoir  $(ABC, 2, \frac{2}{5})$ ,  $(ACD, 1, \frac{1}{4})$ ,  $(ABE, 2, \frac{2}{5})$ ,  $(ACE, 2, \frac{2}{5})$ . Nous remarquons qu'aucun de ses candidats n'est rare minimal corrélé. En effet, les candidats  $(ABC, 2, \frac{2}{5})$  et  $(ABE, 2, \frac{2}{5})$  ont le sous ensemble  $(AB, 2, \frac{2}{5})$  de même mesure  $bond$  qu'eux. Pour le candidat  $(ACE, 2, \frac{2}{5})$ , il est sur-ensemble du motif  $(AE, 2, \frac{2}{5})$  et ont la même valeur de la mesure  $bond$ . Le candidat  $(ACD, 1, \frac{1}{4})$  possède le sous-ensemble  $(CD, 1, \frac{1}{4})$ , avec qui il partage la même valeur de la mesure  $bond$ . Ainsi l'ensemble  $\mathcal{MMCR}_3$  est vide,  $\mathcal{MMCR}_3 = \{\emptyset\}$ . La variable  $n$  sera ensuite incrémentée  $n = 4$  et l'ensemble des candidats de taille 4 est vide,  $\mathcal{MCand}_4 = \{\emptyset\}$  alors la boucle itérative marque sa fin d'exécution donnant ainsi comme résultat les motifs minimaux corrélés rares  $\mathcal{MMCR} = \{(D, 1, \frac{1}{1}), (AB, 2, \frac{2}{5}), (AE, 2, \frac{2}{5}), (AD, 1, \frac{1}{3}), (CD, 1, \frac{1}{4})\}$  et leurs fermés  $\mathcal{MFCR} = \{(D, 1, \frac{1}{1}), (AD, 1, \frac{1}{3}), (ACD, 1, \frac{1}{4}), (ABCE, 2, \frac{2}{5})\}$ . Les éléments de la représentation concise exacte  $\mathcal{RMCR}$  extraits sont représentés par la table 4.3.

Nous avons ainsi présenté et analysé les différentes étapes de l'algorithme CRPR\_MINER d'extraction de la représentation concise exacte  $\mathcal{RMCR}$ . Nous signalons que l'extraction

des représentations concises exactes  $\mathcal{RMM}ax\mathcal{F}$  et  $\mathcal{RMin}\mathcal{MF}$  et de la représentation concise approximative  $\mathcal{RMinMM}ax\mathcal{F}$  sont possibles moyennant l'algorithme CRPR\_MINER. À cet égard, nous détaillons ce point dans ce qui suit.

#### 4.3.5 Extraction de la représentation concise exacte $\mathcal{RMM}ax\mathcal{F}$

En effet, la représentation  $\mathcal{RMM}ax\mathcal{F}$  est composée de l'ensemble  $\mathcal{MMCR}$  des motifs minimaux corrélés rares et de l'ensemble  $\mathcal{MF}CRMax$  des motifs fermés corrélés rares maximaux (cf. Définition 26 page 67). Or, lors de chaque itération  $n$  l'algorithme CRPR\_MINER permet de mettre à jour l'ensemble  $\mathcal{MF}CR$  des motifs fermés corrélés rares. Ainsi l'idée consiste à intégrer dans l'algorithme CRPR\_MINER l'instruction permettant de filtrer les éléments maximaux de l'ensemble des motifs fermés corrélés rares générés. Or, un motif fermé corrélé rare maximal ne doit posséder aucun sur-ensemble corrélé. À cet égard, l'extraction des motifs fermés corrélés rares maximaux de taille  $n - 1$  nécessitent la reconnaissance de leurs sur-ensembles de taille  $n$  et seront ainsi extraits pendant l'itération  $n$  grâce à l'instruction suivante.

$$\mathcal{MF}CRMax_{n-1} := \{X_{n-1} \in \mathcal{MF}CR_{n-1} \mid \nexists Y_n \in \mathcal{MC}and_n \text{ avec } Y_n \supset X_{n-1} \text{ et } Y_n.bond \geq minbond\}$$

#### 4.3.6 Extraction de la représentation concise exacte $\mathcal{RMin}\mathcal{MF}$

Considérons maintenant la représentation concise exacte  $\mathcal{RMin}\mathcal{MF}$  composée de l'ensemble  $\mathcal{MF}CR$  des motifs fermés corrélés rares et de l'ensemble  $\mathcal{MM}CRMin$  des éléments minimaux de l'ensemble  $\mathcal{MM}CR$  des motifs rares (cf. Définition 28 page 69). En effet, l'ensemble  $\mathcal{MM}CRMin$  est composé des motifs qui sont à la fois minimaux corrélés et rares minimaux. Ces derniers correspondent aux motifs minimaux corrélés dont tous leurs sous ensembles directs sont des motifs fréquents. Par conséquent, nous intégrons l'instruction suivante permettant de filtrer ces motifs à partir de l'ensemble  $\mathcal{MM}CR$ .

$$\mathcal{MM}CRMin_n := \{X_n \in \mathcal{MM}CR_n \mid \forall Y_{n-1} \subset X_n, Y_{n-1}.Conj \geq minsupp\}$$

À présent, nous avons introduit et décrit les instructions permettant d'extraire les représentations concises exactes  $\mathcal{RMM}ax\mathcal{F}$  et  $\mathcal{RMin}\mathcal{MF}$ . Par conséquent, la représentation concise approximative  $\mathcal{RMinMM}ax\mathcal{F}$  (cf. Définition 29 page 71) résultante de l'union des ensembles  $\mathcal{MM}CRMin$  et  $\mathcal{MF}CRMax$  sera aisément dérivée grâce aux deux instructions précédemment décrites.

Nous avons, à ce stade, présenté l'algorithme CRPR\_MINER d'extraction de la représentation  $\mathcal{MMCR}$  et introduit les instructions à y intégrer afin d'extraire les autres représentations concises proposées. Dans la suite nous démontrons les propriétés théoriques de l'algorithme CRPR\_MINER.

### 4.3.7 Preuves théoriques

Dans cette section, nous démontrons les propriétés de validité et de terminaison de l'algorithme CRPR\_MINER.

**Proposition 10** *L'algorithme CRPR\_MINER génère tous les motifs minimaux et fermés corrélés rares munis de leurs supports conjonctifs et de leurs valeurs de la mesure bond.*

**Preuve.** *L'algorithme CRPR\_MINER est un algorithme par niveau permettant d'extraire avec exactitude tous les éléments de la représentation concise exacte  $\mathcal{RMCR}$ . En effet, lors du premier parcours de la base de transactions, les items rares sont identifiés séparément. Les items rares constituent les motifs minimaux corrélés rares de taille 1 et leurs fermés par  $f_{bond}$  seront calculés d'une manière exacte. Ensuite les éléments minimaux de l'ensemble  $\mathcal{MMCR}$  des motifs minimaux corrélés rares seront extraits et leurs fermés respectifs seront calculés d'une manière itérative. En effet, lors de chaque itération, un ensemble de candidats de taille  $n$  est généré à partir des motifs fréquents de taille  $n - 1$ . Ces candidats ne doivent contenir aucun sous ensemble rare non corrélé. De plus, ils ne doivent pas englober des items qui vérifient la propriété de cross-support.*

*Ensuite, les supports conjonctifs, les supports disjonctifs, les fermetures conjonctives et les fermetures disjonctives de tous les candidats seront calculés moyennant un balayage de la base de transactions. Les candidats fréquents seront sauvegardés dans l'ensemble des motifs fréquents. Cependant, nous calculons la valeur de la mesure bond pour les motifs candidats vérifiant la contrainte monotone de rareté. Dans le cas où la valeur de bond d'un motif rare  $X$  dépasse le seuil minimal  $minbond$ , alors nous vérifions la minimalité du candidat en cours. En effet, s'il ne possède aucun sous ensemble direct de même mesure bond que lui, alors le candidat en cours est minimal corrélé rare. Par conséquent, le motif fermé par  $f_{bond}$  correspondant au motif minimal corrélé rare en cours, sera calculé. Il résulte, en effet, de l'intersection entre son fermé conjonctif et son fermé disjonctif. Étant donné que les supports conjonctifs, disjonctifs et la mesure bond d'un fermé sont égaux à ceux du motif minimal correspondant, alors nous déduisons que les caractéristiques de chaque*

fermé par l'opérateur de fermeture  $f_{\text{bond}}$  sont attribués d'une manière exacte. La boucle itérative d'extraction des éléments minimaux de l'ensemble  $\mathcal{MMCR}$  et de calcul de leurs fermés respectifs se termine lorsqu'il n'y a plus de motifs candidats à générer. À la fin de cette étape l'ensemble  $\mathcal{MMCR}$  est composé de tous les motifs qui sont minimaux corrélés et rares minimaux à la fois et leurs fermés respectifs sont inclus dans l'ensemble  $\mathcal{MFCR}$ . L'étape suivante consiste à effectuer un traitement itératif afin de dériver le reste des motifs minimaux corrélés rares à partir des motifs minimaux extraits lors de l'étape précédente et à calculer leurs fermés par  $f_{\text{bond}}$ . En effet, lors de chaque itération, un ensemble de candidats de taille  $n$  est généré à partir des motifs minimaux corrélés rares de taille  $n - 1$ . Ces candidats sont tous rares puisqu'ils sont des sur-ensembles de motifs rares. Ainsi, ils seront testés par rapport à la propriété de cross support et par rapport à la contrainte anti-monotone des motifs minimaux corrélés. Les candidats rares de taille  $n$  qui sont minimaux corrélés seront insérés dans l'ensemble  $\mathcal{MMCR}_n$ . Par la suite, leurs fermés par  $f_{\text{bond}}$  seront calculés et insérés dans l'ensemble  $\mathcal{MFCR}$  des motifs fermés corrélés rares. L'algorithme  $\text{CRPR\_MINER}$  marque sa fin d'exécution lorsque l'ensemble de motifs candidats est vide. Nous concluons que  $\text{CRPR\_MINER}$  permet d'extraire avec exactitude tous les éléments des ensembles  $\mathcal{MMCR}$  et  $\mathcal{MFCR}$  munis de leurs supports conjonctifs et de leurs valeurs de mesure bond exacts. Il est donc correct et complet. Ainsi, l'ensemble  $\mathcal{MMCR}_n$  ne contient que les motifs minimaux corrélés rares de taille  $n$  et l'ensemble  $\mathcal{MFCR}_n$  ne contient que les fermés corrélés rares de taille  $n$ .

**Proposition 11** *L'algorithme  $\text{CRPR\_MINER}$  se termine correctement.*

**Preuve.** *Le nombre des motifs générés par  $\text{CRPR\_MINER}$  est fini. En effet, le nombre de motifs candidats pouvant être générés à partir d'une base de transactions ayant  $n$  items distincts, est au plus égal à  $2^n$ . De plus, le nombre d'opérations effectuées, afin de traiter chaque motif est fini. Par conséquent, l'algorithme  $\text{CRPR\_MINER}$  se termine correctement.*

Nous avons, ainsi, prouvé les propriétés théoriques de validité et de terminaison de l'algorithme  $\text{CRPR\_MINER}$  d'extraction de la représentation concise exacte  $\mathcal{RMCR}$ . Dans la section suivante, nous introduisons les algorithmes d'interrogation et de régénération des motifs corrélés rares à partir de la représentation concise exacte  $\mathcal{RMCR}$ .

$I.Conj$	: Support conjonctif du motif $I$ .
$I.Disj$	: Support disjonctif du motif $I$ .
$I.Neg$	: Support négatif du motif $I$ .
$I.bond$	: Valeur de la mesure $bond$ du motif $I$ .
$I.f_{bond}$	: Fermeture du motif $I$ par $f_{bond}$ .

TABLE 4.4 – Notations adoptées dans les algorithmes REGENERATE et CRP\_REGENERATION .

## 4.4 Algorithmes d'interrogation et de régénération des motifs corrélés rares à partir de la représentation $\mathcal{RMCR}$

Nous introduisons, dans cette section, les deux stratégies de régénération à savoir la régénération d'un seul motif corrélé rare et la régénération de l'ensemble total de tous les motifs corrélés rares à partir de la représentation concise exacte  $\mathcal{RMCR}$ . Les notations utilisées dans les algorithmes de régénération proposés sont introduites dans le tableau 4.4.

### 4.4.1 Interrogation de la représentation concise exacte $\mathcal{RMCR}$

Nous introduisons, à présent, l'algorithme REGENERATE permettant l'interrogation de la représentation  $\mathcal{RMCR}$ .

Étant donné que nous avons démontré, dans la section précédente, la correction et la complétude de l'algorithme CRPR\_MINER d'extraction de la représentation  $\mathcal{RMCR}$ . Cette régénération correspond à l'interrogation de la représentation afin de déterminer la nature d'un motif quelconque. Dans le cas où il s'agit d'un motif corrélé rare, alors ses données (support conjonctif, disjonctif, négatif et la valeur de mesure  $bond$ ) seront régénérés grâce à la représentation  $\mathcal{RMCR}$ .

Cette opération est achevée grâce à l'algorithme REGENERATE dont le pseudo-code est donné par l'algorithme 5. Ce dernier prend en entrée le nombre de transactions  $|T|$ , la représentation  $\mathcal{RMCR}$  composée des ensembles  $\mathcal{MMCR}$  et  $\mathcal{MFCR}$  et le motif en question et fournit en sortie les données (le support conjonctif, disjonctif, négatif et la valeur de mesure  $bond$ ) du motif passé en paramètre si'il est corrélé rare sinon il retourne

**Algorithme 5 : REGENERATE**
**Données :**

1. Un motif  $I$ .
2. Le nombre de transactions  $|\mathcal{T}|$ .
3. La représentation  $\mathcal{RMCR} = \mathcal{MMCR} \cup \mathcal{MFCR}$ .

**Résultat :** Le support conjonctif, disjonctif, négatif et la valeur de la mesure *bond* si le motif  $I$  est corrélé rare, sinon l'ensemble vide.

**début**

```

si ( $I \in \mathcal{RMCR}$ ) alors
     $I.Disj = \frac{I.Conj}{I.bond}$  ;
     $I.Neg = |\mathcal{T}| - I.Disj$  ;
    retourner  $\{I, I.Conj, I.Disj, I.Neg, I.bond\}$  ;
sinon
    si ( $\exists J, Z \in \mathcal{RMCR} \mid J \subset I \text{ et } I \subset Z$ ) alors
         $F := \min_{\subseteq} \{I_1 \in \mathcal{RMCR} \mid I \subset I_1\}$  ;
         $I.Conj = F.Conj$  ;
         $I.bond = F.bond$  ;
         $I.Disj = \frac{I.Conj}{I.bond}$  ;
         $I.Neg = |\mathcal{T}| - I.Disj$  ;
        retourner  $\{I, I.Conj, I.Disj, I.Neg, I.bond\}$  ;
    sinon
        retourner  $\emptyset$  ;
    
```

l'ensemble vide.

Ainsi, afin de vérifier la nature du motif  $I$  passé en paramètre, trois cas se présentent. Dans le cas où, le motif  $I$  appartient à la représentation  $\mathcal{RMCR}$  (cf. ligne 5 de l'algorithme 5), alors il est rare corrélé. Nous disposons, alors, de son support conjonctif et de sa valeur de la mesure *bond*. Quant à son support disjonctif il correspond au rapport de son support conjonctif par la valeur de *bond* (cf. ligne 5 de l'algorithme 5) et son support négatif est extrait à partir de son support disjonctif (cf. ligne 5 de l'algorithme 5). L'algorithme retourne alors les différents supports du motif ainsi que sa valeur de *bond* (cf. ligne 5 de l'algorithme 5). Le deuxième cas se réalise lorsque le motif  $I$  n'appartient pas à

la représentation  $\mathcal{RMCR}$  mais il est compris entre deux éléments de la représentation  $\mathcal{RMCR}$  (cf. ligne 5). Ainsi, le motif fermé associé à l'itemset  $I$  correspond au plus petit, selon l'inclusion ensembliste, sur-ensemble du motif  $I$  appartenant à la représentation  $\mathcal{RMCR}$  (cf. ligne 5 de l'algorithme 5). Le motif  $I$  partage ainsi les mêmes valeurs des différents supports et de bond que son fermé identifié (cf. ligne 5). Cependant, lorsque le motif  $I$  n'appartient pas à la représentation  $\mathcal{RMCR}$  et il n'est pas compris entre deux éléments de la représentation  $\mathcal{RMCR}$  alors le motif  $I$  n'est pas corrélé rare et l'algorithme retourne l'ensemble vide (cf. ligne 5 de l'algorithme 5).

Ainsi nous avons décrit le déroulement de l'algorithme REGENERATE, nous enchaînons par la suite avec un exemple d'exécution.

**Exemple 46** *Considérons la représentation  $\mathcal{RMCR}$  présentée par la table 4.3 et considérons le motif  $ACE$ . En comparant  $ACE$  avec les éléments de la représentation  $\mathcal{MMCR}$ , nous remarquons que  $AE \subset ACE$  et  $ACE \subset ABCE$ . Ainsi, le motif  $ACE$  est corrélé rare et son fermé est  $ABCE$ . Par conséquent,  $ACE.Conj = ABCE.Conj = 2$ ,  $ACE.Disj = ABCE.Disj = 5$ ,  $ACE.Neg = |\mathcal{T}| - ACE.Disj = 5 - 5 = 0$  et  $ACE.bond = ABCE.bond = \frac{2}{5}$ . Prenons le cas du motif  $BC$ . En effet,  $BC$  n'appartient pas à la représentation  $\mathcal{RMCR}$  et il n'est pas inclu entre deux éléments de la représentations  $\mathcal{RMCR}$ . Ainsi, l'algorithme retourne l'ensemble vide pour indiquer que le motif  $BC$  n'est pas un motif corrélé rare.*

Dans ce qui suit nous présentons la procédure de régénération de l'ensemble de tous les motifs corrélés rares é partir de la représentation concise exacte  $\mathcal{RMCR}$ .

#### 4.4.2 Régénération de l'ensemble total de tous les motifs corrélés rares

La régénération de l'ensemble  $\mathcal{MCR}$  de tous les motifs corrélés rares à partir de la représentation concise exacte  $\mathcal{RMCR}$  s'effectue grâce à l'algorithme CRP\_REGENERATION dont le pseudo-code est donné par l'algorithme 6.

Cet algorithme prend en entrée la représentation concise exacte  $\mathcal{RMCR}$  et fournit en sortie l'ensemble  $\mathcal{MCR}$  des motifs corrélés rares munis de leurs supports conjonctifs et de leurs valeurs de mesure  $bond$ . En effet, la procédure de régénération s'effectue de la manière suivante. D'abord, tous les éléments de la représentation  $\mathcal{RMCR}$  seront insérés dans l'ensemble  $\mathcal{MCR}$  (cf. ligne 6 de l'algorithme 6). Par la suite, l'algorithme parcourt d'une manière séquentielle l'ensemble  $\mathcal{MMCR}$  des motifs minimaux et affecte à chaque minimal  $M$  son fermé  $F$  (cf. ligne 6 de l'algorithme 6). Puis l'ensemble de motifs compris

**Algorithme 6 : CRP\_REGENERATION**
**Données :**

1. La représentation concise exacte  $\mathcal{RMCR} = \mathcal{MMCR} \cup \mathcal{MFCR}$ .
2. Le nombre de transactions :  $|\mathcal{T}|$ .

**Résultat :** L'ensemble  $\mathcal{MCR}$  des motifs corrélés rares munis de leurs valeurs du support conjonctif et de leurs valeurs de la mesure *bond*.

**début**

```

 $\mathcal{MCR} := \emptyset;$ 
pour chaque ( $M \in \mathcal{RMCR}$ ) faire
     $\mathcal{MCR} := \mathcal{MCR} \cup \{M, M.Conj, M.bond\};$ 
pour chaque ( $M \in \mathcal{MMCR}$ ) faire
     $F := \min_{\subseteq} \{M_1 \in \mathcal{MFCR} \mid M \subset M_1\};$ 
    pour chaque ( $X \mid M \subset X \text{ et } X \subset F$ ) faire
         $X.Conj = F.Conj;$ 
         $X.bond = F.bond;$ 
        si ( $X \notin \mathcal{MCR}$ ) alors
             $\mathcal{MCR} := \mathcal{MCR} \cup \{X, X.Conj, X.bond\};$ 
retourner  $\mathcal{MCR};$ 
    
```

entre le minimal  $M$  et son fermé  $F$  est généré (cf. ligne 6 de l'algorithme 6). Chaque élément de cet ensemble est un motif corrélé rare et partage le même support conjonctif et la même valeur de bond que son fermé  $F$  et sera inséré, si'il n'existe pas déjà, dans l'ensemble  $\mathcal{MCR}$  (cf. ligne 6 de l'algorithme 6). Lorsque tous les motifs générés sont insérés dans l'ensemble  $\mathcal{MCR}$ , alors l'algorithme marque sa fin et retourne, ainsi, l'ensemble total des motifs corrélés rares  $\mathcal{MCR}$  (cf. ligne 6 de l'algorithme 6).

Nous avons ainsi analysé l'algorithme CRP\_REGENERATION, nous enchaînons dans ce qui suit par la trace d'exécution.

**Exemple 47** Reconsidérons la représentation concise exacte donnée par la table 4.3. La régénération de tous les motifs corrélés rares par l'algorithme CRPREGENERATION se réalise de la manière suivante. D'abord, l'ensemble  $\mathcal{MCR}$  des motifs corrélés rares est initialisé à l'ensemble vide. Ensuite, tous les éléments de la représentation concise exacte  $\mathcal{RMCR}$  seront insérés dans l'ensemble  $\mathcal{MCR}$ . Ainsi,  $\mathcal{MCR} = \{(D, 1, \frac{1}{1}), (AB, 2, \frac{2}{5}), (AD, 1, \frac{1}{3}), (AE, 2, \frac{2}{5}), (CD, 1, \frac{1}{4}), (ABCE, 2, \frac{2}{5}), (ACD, 1, \frac{1}{4})\}$ . Par la suite, nous générons

les motifs  $ABE$  et  $ABC$  compris entre le minimal  $(AB, 2, \frac{2}{5})$  et son fermé  $(ABCE, 2, \frac{2}{5})$  et le motif  $ACE$  compris entre le minimal  $(AE, 2, \frac{2}{5})$  et son fermé  $(ABCE, 2, \frac{2}{5})$ . Les motifs  $ABE$ ,  $ABC$  et  $ACE$  générés auront ainsi le même support conjonctif et la même valeur de bond que leur motif fermé  $ABCE$  et seront alors insérés dans l'ensemble  $\mathcal{MCR}$ . Ce dernier est par conséquent mis à jour et englobe tous les motifs corrélés rares.  $\mathcal{MCR} = \{(D, 1, \frac{1}{1}), (AD, 1, \frac{1}{3}), (CD, 1, \frac{1}{4}), (ACD, 1, \frac{1}{4}), (AE, 2, \frac{2}{5}), (AB, 2, \frac{2}{5}), (ACE, 2, \frac{2}{5}), (ABE, 2, \frac{2}{5}), (ABC, 2, \frac{2}{5}), (ABCE, 2, \frac{2}{5})\}$ .

## 4.5 Conclusion

Dans ce chapitre, nous avons présenté l'algorithme  $\text{CRP\_MINER}$  d'extraction de l'ensemble  $\mathcal{MCR}$  de tous les motifs corrélés rares. Ensuite, nous avons introduit l'algorithme  $\text{CRPR\_MINER}$  permettant d'extraire la représentation concise exacte  $\mathcal{RMCR}$ . Toutefois, la contrainte monotone de rareté et la contrainte anti-monotone de corrélation sont simultanément intégrées dans le processus de fouille offert par l'algorithme  $\text{CRPR\_MINER}$ . Les critères pertinents de l'élagage des candidats et de l'optimisation de l'espace de recherche ont été soigneusement incorporés dans cet algorithme. Ce chapitre a été clôturé avec la présentation des stratégies d'interrogation et de régénération des motifs corrélés rares à partir de la représentation  $\mathcal{RMCR}$ . Dans le chapitre suivant, nous présenterons les expérimentations réalisées grâce aux quelles nous mesurons l'apport bénéfique des représentations concises proposées en terme de taux de réduction et nous étudions également leurs couts d'extractions.



# Chapitre 5

## Étude expérimentale

### 5.1 Introduction

Dans le chapitre précédent, nous avons présenté l'algorithme `CRP_MINER` d'extraction de l'ensemble  $\mathcal{MCR}$  des motifs corrélés rares ainsi que l'algorithme `CRPR_MINER` dédié à l'extraction de la représentation concise exacte  $\mathcal{RMCR}$  basée sur les motifs minimaux et les motifs fermés corrélés rares. Dans ce chapitre, nous présentons les expérimentations faites sur des bases "benchmark". À cet égard, nous comptabilisons les cardinalités de l'ensemble  $\mathcal{MCR}$  et des différentes représentations concises proposées. Nous visons à travers ces expérimentations à prouver les taux de compacité offerts par les représentations concises proposées. De plus, nous évaluons les performances de l'algorithme `CRPR_MINER` et comparons les coûts d'extraction des différentes représentations. Nous décrivons également le processus de classification basé sur les règles associatives de classification et appliqué dans le cadre de la détection d'intrusions.

### 5.2 Environnement d'expérimentations

L'ensemble des expérimentations présentées dans ce chapitre ont été réalisées sur une machine *Acer* munie d'un processeur Intel Dual Core *E5400* avec  $2M$  de mémoire cache, ayant une fréquence d'horloge de  $2,7\text{ GHz}$  et  $4\text{ Go}$  de mémoire vive tournant sur une plateforme Linux Ubuntu 10.04. L'ensemble des algorithmes proposés dans le chapitre précédent ont été implantés en langage C++ et les programmes ont été compilés avec le compilateur `gcc 4.3.3`. Nous commençons dans la suite par la présentation des expérimentations faites sur des bases de test "benchmark".

## 5.3 Évaluation expérimentale pour des bases de test “benchmark”

### 5.3.1 Description des bases de test

Les expérimentations, que nous exposons dans cette section, ont été menées sur les bases “benchmark” <sup>(1)</sup> denses CHESS, CONNECT, MUSHROOM, PUMSB, PUMSB\* BMS-WEB-VIEW1 et sur les bases éparsees RETAIL, ACCIDENTS, T10I4D100K et T40I10D100K. Tous les résultats expérimentaux sont repérés en détail dans les tableaux des annexes. Les caractéristiques des ces différentes bases sont décrites dans le tableau 5.1. Ce tableau décrit pour chaque base, le type, le nombre de transactions, le nombre d’items et la taille moyenne des transactions. Par “Base dense”, nous entendons que les transactions de la base sont fortement corrélées, tandis que, par “Base éparse”, nous entendons que les transactions de la base sont faiblement corrélées.

Base	Type de la base	Nombre d’items	Nombre de transactions	Taille moyenne des transactions
CHESS	Dense	75	3 196	37,00
CONNECT	Dense	129	67 557	43,00
MUSHROOM	Dense	119	8 124	23,00
PUMSB	Dense	7 117	49 046	74,00
PUMSB*	Dense	7 117	49 046	50,00
BMS-WEB-VIEW1	Dense	497	59 602	2,51
RETAIL	Éparse	16 470	88 162	10,00
ACCIDENTS	Éparse	468	340 183	33,81
T10I4D100K	Éparse	870	100 000	10,10
T40I10D100K	Éparse	942	100 000	39,61

TABLE 5.1 – Caractéristiques des bases de test “benchmark”.

Nous enchainons dans la suite avec l’étude quantitative des cardinalités. Cette étude s’étalera sur deux principaux axes et ce suivant la nature de la base considérée. Ainsi, nous distinguons l’étude des cardinalités pour des bases denses et l’étude des cardinalités pour des bases éparsees.

1. Ces bases sont disponibles à l’adresse suivante : <http://fimi.cs.helsinki.fi/data>.

### 5.3.2 Étude des cardinalités pour des bases denses

Étudions d’abord la variation de la taille de l’ensemble  $\mathcal{MCR}$  en fonction de la variation des seuils  $minbond$  et  $minsupp$  de corrélation et de fréquence respectifs.

#### 5.3.2.1 Analyse de la variation de la taille de l’ensemble $\mathcal{MCR}$

Lors des expérimentations réalisées, nous avons comptabilisé, d’une part, la cardinalité de l’ensemble  $\mathcal{MCR}$  de tous les motifs corrélés rares et la cardinalité de l’ensemble  $\mathcal{MCF}$  de tous les motifs corrélés fréquents pour différentes valeurs des seuils  $minbond$  et  $minsupp$ .

##### a. Effet de la variation du seuil $minsupp$

Nous étudions, dans un premier temps, la variation de la taille de l’ensemble  $\mathcal{MCR}$  en fonction de la variation de l’ensemble  $\mathcal{MCF}$ .

Nous concluons d’après les résultats donnés par les tableaux A.1 et A.3 de l’annexe A, d’une part, que la taille de l’ensemble  $\mathcal{MCR}$  varie dans le sens opposé que la taille de l’ensemble  $\mathcal{MCF}$  qui contient les motifs corrélés qui sont fréquents. Ces derniers correspondent aux motifs corrélés dont le support conjonctif dépasse le seuil minimal  $minsupp$ .

Prenons le cas de la base MUSHROOM pour  $minbond = 0,15$ . Pour le seuil  $minsupp = 5\%$ ,  $|\mathcal{MCR}| = 361$ ,  $|\mathcal{MCF}| = 100\ 906$ . Cependant, pour  $minsupp = 20\%$ , le nombre des motifs corrélés rares augmente,  $|\mathcal{MCR}| = 48\ 056$  alors que le nombre de motifs corrélés fréquents diminue presque de 50%,  $|\mathcal{MCF}| = 53\ 211$ .

Pour la base CHESS pour  $minbond = 0,60$ . Pour le seuil  $minsupp = 20\%$ ,  $|\mathcal{MCR}| = 21$ ,  $|\mathcal{MCF}| = 255\ 023$ . Cependant, pour  $minsupp = 70\%$ ,  $|\mathcal{MCR}| = 206\ 075$  et  $|\mathcal{MCF}| = 48\ 969$ .

Toutefois, nous remarquons que pour un seuil de corrélation  $minbond$  fixe, la cardinalité  $|\mathcal{MCF}|$  augmente en diminuant le seuil minimal  $minsupp$  et diminue en l’augmentant.

Considérons la base CONNECT pour  $minbond = 0,80$ . Pour un seuil  $minsupp$  faible,  $minsupp 20\%$ , la taille  $|\mathcal{MCF}|$  est égale à  $534\ 012$ . Cependant, en variant le seuil  $minsupp$  de  $20\%$  à  $86\%$ , sa taille diminue significativement et passe à  $|\mathcal{MCF}| = 105\ 031$ .

Nous constatons aussi que, la taille de l’ensemble  $\mathcal{MCR}$  varie selon la base. Par exemple considérons les seuils  $minbond = 0,80$  et  $minsupp = 50\%$ . Pour la base CONNECT, nous avons  $|\mathcal{MCR}| = 91$ . Cependant, pour ces mêmes seuils de  $minbond$  et de  $minsupp$ , et pour la base PUMSB, la taille de l’ensemble  $\mathcal{MCR}$  est beaucoup plus importante, nous

notons  $|\mathcal{MCR}| = 3\,521$ .

Dans ce même sens, nous avons constaté aussi que pour un seuil de corrélation *minbond* fixe, la taille de l'ensemble  $\mathcal{MCR}$  est proportionnelle au seuil minimal de fréquence *minsupp*.

Par exemple, pour le cas de la base MUSHROOM pour  $\text{minbond} = 0,15$ . Pour le seuil  $\text{minsupp} = 5\%$ ,  $|\mathcal{MCR}| = 361$ . Cependant, pour  $\text{minsupp} = 20\%$ ,  $|\mathcal{MCR}| = 48\,056$ .

De même pour la base CHESS et pour  $\text{minbond} = 0,60$ . Pour le seuil  $\text{minsupp} = 20\%$ ,  $|\mathcal{MCR}| = 21$ . Cependant, pour  $\text{minsupp} = 70\%$  la taille de cet ensemble augmente considérablement et est égale à  $|\mathcal{MCR}| = 206\,075$ . Ces résultats expérimentaux obtenus renforcent la propriété théorique relative à la taille de l'ensemble  $\mathcal{MCR}$  donnée par la proposition 4 (cf. page 53).

Toutefois, le nombre de motifs corrélés rares augmente en augmentant le seuil *minsupp* et diminue dans le cas opposé. Il est aussi important de remarquer que l'augmentation considérable de la taille de l'ensemble  $\mathcal{MCR}$  des motifs corrélés rares pour un seuil *minsupp* strictement supérieur au seuil *minbond*.

Par exemple, pour le cas de la base MUSHROOM pour  $\text{minbond} = 0,15$ . Pour le seuil  $\text{minsupp} = 15\%$  nous avons  $|\mathcal{MCR}| = 3\,038$ , cependant en augmentant légèrement *minsupp* de 5%, nous aurons  $\text{minsupp} = 20\%$ ,  $|\mathcal{MCR}| = 48\,056$ . Cette constatation est valide aussi pour la base CONNECT pour  $\text{minbond} = 0,80$ . En effet, la taille de l'ensemble  $\mathcal{MCR}$  varie de 171 motifs pour  $\text{minsupp} = 80\%$  à 212 291 motifs pour  $\text{minsupp} = 82\%$ .

Toutefois pour les seuils  $\text{minbond} < \text{minsupp}$ , les motifs corrélés rares correspondent aux motifs corrélés dont la valeur de corrélation ne dépasse pas le seuil *minsupp*. D'une manière formelle,  $\text{minbond} \leq \text{bond}(X) < \text{minsupp}$  (cf. proposition 6 de la page 55).

Cette variation pertinente de la taille de l'ensemble  $\mathcal{MCR}$ , s'explique par le fait que la valeur de la corrélation d'une grande tranche de motifs corrélés ne dépasse pas le seuil *minsupp*.

Par exemple, considérons la base *PumSB* pour  $\text{minbond} = 0,80$ . Pour  $\text{minsupp} = 85\%$ ,  $|\mathcal{MCR}| = 125\,420$ . Autrement dit, nous avons 125 420 motifs corrélés dont la valeur de la mesure *bond* est supérieure ou égale à 0,80 mais ne dépasse pas 0,85. Pour  $\text{minsupp} = 90\%$ ,  $|\mathcal{MCR}| = 143\,345$ . Ainsi, nous avons 143 345 motifs corrélés rares, dont la corrélation entre 80% et 90%. À cet égard, nous déduisons que seuls 17 925 (correspondant à  $143\,345 - 125\,420$ ) de motifs présentent un degré de corrélation important compris entre 85% et 90%.

Il est cependant clair que, pour la base PUMSB\*, la taille de l'ensemble  $\mathcal{MCR}$  ne présente pas une transition aiguë lors de la variation du seuil *minsupp* qu'on a constaté

précédemment. En effet, pour  $minbond = 0,50$ , pour  $minsupp = 50\%$ , nous avons  $|MCR| = 91\ 546$  et en augmentant  $minsupp$  de  $5\%$ , le nombre de motifs corrélés rares est de  $91\ 868$ . Ainsi, cette augmentation de  $322$  itemsets uniquement est relativement négligeable par rapport à la variation aiguë que présentent les autres bases PUMSB, CHESS, CONNECT et MUSHROOM.

Quant à la base BMS-WEB-VIEW1, elle présente un comportement insensible quant à la variation du seuil  $minsupp$ . En effet, pour un seuil  $minbond$  fixé à  $0,90$ , nous remarquons que plus de  $99\%$  des motifs corrélés sont rares et leurs supports conjonctifs sont compris entre  $1\%$  et  $8\%$ . En effet, pour  $minsupp = 1\%$ , nous avons  $60\ 002$  motifs corrélés rares et uniquement  $68$  motifs corrélés fréquents et pour  $minsupp = 8\%$ , tous les motifs corrélés sont rares et aucun motif corrélé n’est fréquent,  $|MCR| = 60\ 070$  et  $|MCF| = 0$ .

#### b. Effet de la variation du seuil $minbond$

Nous étudions, à ce stade pour un seuil  $minsupp$  fixe, l’effet de la variation du seuil  $minbond$  sur la variation de la taille des ensembles  $MCR$  et  $MCF$ . Nous nous basons sur les résultats donnés par le tableau A.5 de l’annexe A.

Il nous est clair que la variation de la taille de l’ensemble  $MCR$  est disproportionnelle à la variation du seuil  $minbond$ . Toutefois, le nombre de motifs corrélés rares augmente en diminuant le seuil  $minbond$  et diminue en augmentant  $minbond$ . Considérons la base MUSHROOM pour  $minsupp = 30\%$ . Pour un seuil  $minbond = 0,25$ , nous avons  $|MCR| = 4\ 120$  et pour  $minbond = 0,30$ , nous avons  $|MCR| = 674$ .

Nous remarquons aussi que, la taille de l’ensemble  $MCF$  est aussi disproportionnelle à la variation du seuil  $minbond$ . Nous avons par exemple, pour la base PUMSB pour  $minsupp = 80\%$ . Le nombre de motifs corrélés fréquents est de  $142\ 156$  pour un seuil  $minbond = 0,80$ . Ce nombre diminue largement et atteint  $20\ 550$  pour une légère augmentation de  $5\%$  du seuil  $minbond$ .

Nous déduisons donc que la taille des ensembles  $MCR$  et  $MCF$  varient dans le même sens pour un seuil  $minsupp$  fixe. Ceci s’explique par le fait que ces deux ensembles doivent vérifier la contrainte de corrélation minimale et présentent donc des comportements similaires lors de la variation du seuil minimal  $minbond$ .

Cependant, nous remarquons pour la base BMS-WEB-VIEW1, que tous les motifs corrélés sont rares. Pour un seuil  $minsupp$  fixé à  $10\%$ , nous avons pour  $minbond = 0,10$ ,  $|MCR| = 60\ 161$  et  $|MCF| = 0$ . Une augmentation considérable du seuil  $minbond$  de

$0,10$  à  $1$ , engendre une diminution négligeable de la taille de l'ensemble  $MCR$ . En effet, pour  $minbond = 1$ ,  $|MCR| = 60\ 070$  et le nombre de motifs corrélés fréquents est toujours nul. Nous déduisons que, cette base présente une forte insensibilité quant à la variation du seuil  $minbond$ .

Nous avons ainsi discuté la variation des cardinalités des ensembles  $MCR$  et  $MCF$  en fonction de la variation des seuils  $minbond$  et  $minsupp$ . De plus, nous avons étudié, pour différentes bases, le lien de dépendance entre les tailles de ces deux ensembles. Dans ce qui suit, nous abordons l'analyse de la cardinalité de la représentation concise exacte  $\mathcal{R}MCR$ .

### 5.3.2.2 Analyse de la variation de la taille de la représentation $\mathcal{R}MCR$

Nous nous focalisons à présent sur l'étude de la cardinalité de la représentation concise exacte  $\mathcal{R}MCR$ . Nous discutons aussi le taux de compacité offert par cette dernière, que nous désignons par  $Tx-\mathcal{R}MCR$ . Ce taux est donné en pourcentage et correspond à la formule suivante :  $Tx-\mathcal{R}MCR = 1 - \frac{|\mathcal{R}MCR|}{|MCR|}$ .

En effet, nous avons comptabilisé la taille de la représentation concise  $|\mathcal{R}MCR|$ . Nous avons tout de même spécifié d'une manière séparée, afin que l'analyse soit minutieusement établie, la taille des ensembles  $MMCR$  des motifs minimaux corrélés rares et  $MFCR$  des motifs fermés corrélés rares. Ces cardinalités sont données par les tableaux A.2, A.4 et A.6 de l'annexe A.

Ces données expérimentaux confirment que la représentation concise exacte  $\mathcal{R}MCR$  est une couverture parfaite de l'ensemble  $MCR$  des motifs corrélés rares. En effet, nous pouvons constater que, pour toutes les bases et pour tous les seuils minimaux  $minsupp$  et  $minbond$ , la taille de la représentation  $\mathcal{R}MCR$  ne dépasse jamais celle de l'ensemble  $MCR$ . Par exemple, pour la base MUSHROOM pour  $minsupp = 35\%$  et  $minbond = 0,15$ , nous avons  $|\mathcal{R}MCR| = 1\ 810 < |MCR| = 100\ 156$ . La taille de la représentation est ainsi réduite par rapport à la taille de l'ensemble  $MCR$  et le taux de réduction est ainsi très important,  $Tx-\mathcal{R}MCR = 98\%$ . Ceci s'explique par la nature des classes d'équivalence induites dans ce cas. En effet, nous avons  $|MMCR| = 1\ 412$  et  $|MFCR| = 652$ . Comme la représentation  $\mathcal{R}MCR$  correspond à l'union sans redondance des ensembles  $MMCR$  et  $MFCR$ , nous avons donc toujours  $|\mathcal{R}MCR| \leq |MMCR| + |MFCR|$ .

Cependant, nous constatons d'après les résultats obtenus que le taux de réduction de la représentation  $\mathcal{R}MCR$  diffère selon la base considérée. Par exemple, pour la base CONNECT et pour  $minsupp = 80\%$  et  $minbond = 0,80$ , le taux de réduction est moyen,

$\text{Tx-}\mathcal{RMCR} = 35\%$ . Cependant, pour la base CHESS, pour un seuil  $\text{minsupp}$  de 70% et un seuil  $\text{minbond}$  de 0,6, nous avons  $|\mathcal{RMCR}| = 862$  et  $|\mathcal{MCR}| = 206\ 075$ . Ainsi le taux de réduction est important,  $\text{Tx-}\mathcal{RMCR} = 99\%$ .

Nous remarquons que pour la base BMS-WEB-VIEW1, la taille de la représentation  $\mathcal{RMCR}$  est relativement élevée et égale à la taille de l'ensemble  $\mathcal{MCR}$ . En effet, nous avons pour  $\text{minsupp} = 10\%$  et  $\text{minbond} = 0,90$  :  $|\mathcal{RMCR}| = 60\ 070 = |\mathcal{MCR}| = 60\ 070$ . Ceci est dû à la nature des classes d'équivalence induites par l'opérateur  $f_{\text{bond}}$ . En effet, tous les motifs minimaux sont aussi des fermés dans leurs classes d'équivalence. Par exemple, pour ces mêmes seuils de  $\text{minsupp}$  et  $\text{minbond}$ , nous avons  $|\mathcal{MMCR}| = |\mathcal{MFCR}| = 60\ 070$  et même en variant le seuil  $\text{minbond}$ , cela est toujours valide. Nous avons pour  $\text{minsupp} = 10\%$  et  $\text{minbond} = 0,30$ ,  $|\mathcal{MMCR}| = |\mathcal{MFCR}| = 60\ 074$ . Ceci implique que le taux  $\text{Tx-}\mathcal{RMCR}$  offert pour cette base est nul.

Il est à constater aussi que pour toutes les bases et pour tous les seuils de  $\text{minsupp}$  et de  $\text{minbond}$ , le nombre de motifs fermés corrélés rares noté  $|\mathcal{MFCR}|$  ne dépasse jamais le nombre des motifs minimaux corrélés rares noté  $|\mathcal{MMCR}|$ . Considérons, par exemple la base PUMSB pour  $\text{minsupp} = 30\%$  et  $\text{minbond} = 0,80$ . Nous avons  $|\mathcal{MFCR}| = 451 < |\mathcal{MMCR}| = 2\ 090$ . Il en est de même pour la base PUMSB\*, pour  $\text{minsupp} = 20\%$  et  $\text{minbond} = 0,50$  :  $|\mathcal{MFCR}| = 882 < |\mathcal{MMCR}| = 2\ 155$ . Cependant, pour la base CONNECT, pour  $\text{minsupp} = 20\%$  et  $\text{minbond} = 0,80$  :  $|\mathcal{MFCR}| = |\mathcal{MMCR}| = 70$ .

Toutefois, ceci s'explique par la nature de l'opérateur de fermeture  $f_{\text{bond}}$  qui permet de regrouper, dans des classes d'équivalence, les motifs ayant les mêmes caractéristiques. En effet, chaque classe d'équivalence est représentée par un seul motif fermé corrélé et un ou plusieurs minimaux corrélés rares.

Nous avons ainsi présenté et analysé quantitativement la représentation concise exacte  $\mathcal{RMCR}$ . Nous enchaînons par la suite avec l'analyse et la comparaison des autres représentations concises exactes proposées.

### 5.3.2.3 Analyse de la variation des tailles des représentations concises exactes $\mathcal{RMMaxF}$ et $\mathcal{RMinMF}$

Nous nous focalisons à présent sur l'étude des cardinalités des représentations concises exactes  $\mathcal{RMMaxF}$  et  $\mathcal{RMinMF}$ . Nous discutons aussi les taux de compacité offerts par ces dernières. Nous désignons par  $\text{Tx-}\mathcal{RMMaxF}$  le taux de réduction de la représentation concise exacte  $\mathcal{RMMaxF}$  et par  $\text{Tx-}\mathcal{RMinMF}$  le taux de réduction de la représentation concise exacte  $\mathcal{RMinMF}$ . Ces taux sont donnés en pourcentage et correspondent é,  $\text{Tx-}$

$$\mathcal{RMM}ax\mathcal{F} = 1 - \frac{|\mathcal{RMM}ax\mathcal{F}|}{|\mathcal{MCR}|} \text{ et } \text{Tx-}\mathcal{R}Min\mathcal{MF} = 1 - \frac{|\mathcal{R}Min\mathcal{MF}|}{|\mathcal{MCR}|}.$$

Toutefois, nous avons comptabilisé les cardinalités de ces représentations. Nous avons aussi spécifié la taille  $|\mathcal{MMCR}Min|$  de l'ensemble des éléments minimaux de l'ensemble  $\mathcal{MMCR}$  et la taille  $|\mathcal{MF}CRMax|$  de l'ensemble des motifs fermés corrélés rares maximaux. Ces cardinalités sont données par les tableaux A.2, A.4 et A.6 de l'annexe A. Il est à remarquer que les tailles des représentations concises exactes  $\mathcal{RMM}ax\mathcal{F}$  et  $\mathcal{R}Min\mathcal{MF}$  ne dépassent jamais la taille de la représentation concise exacte  $\mathcal{R}MCR$ .

Par exemple, pour la base MUSHROOM, pour  $minsupp = 35\%$  et  $minbond = 0,15$ , nous avons  $|\mathcal{R}MCR| = 1\ 810 > |\mathcal{RMM}ax\mathcal{F}| = 1\ 421 > |\mathcal{R}Min\mathcal{MF}| = 667$ . Il en est de même pour la base PUMSB. En effet, pour  $minsupp = 40\%$  et  $minbond = 0,80$  :  $|\mathcal{R}MCR| = 2\ 168 > |\mathcal{RMM}ax\mathcal{F}| = 2\ 136 > |\mathcal{R}Min\mathcal{MF}| = 2\ 108$ .

Ces résultats sont justifiés par les définitions mêmes des représentations concises exactes  $\mathcal{RMM}ax\mathcal{F}$  et  $\mathcal{R}Min\mathcal{MF}$ . En effet, la représentation  $|\mathcal{RMM}ax\mathcal{F}|$  basée sur l'ensemble  $\mathcal{MMCR}$  des minimaux corrélés rares et sur l'ensemble  $\mathcal{MF}CRMax$  des motifs fermés corrélés rares maximaux.

Toutefois, nous remarquons que la taille de l'ensemble  $\mathcal{MF}CRMax$  ne dépasse jamais la taille de l'ensemble  $\mathcal{MF}CR$ . Par exemple, pour la base PUMSB pour  $minsupp = 30\%$  et pour  $minbond = 0,80$ , nous avons  $|\mathcal{MF}CRMax| = 112 < |\mathcal{MF}CR| = 451$ . Par conséquent, nous avons toujours  $|\mathcal{RMM}ax\mathcal{F}| \leq |\mathcal{R}MCR|$ .

Concernant la représentation concise  $\mathcal{R}Min\mathcal{MF}$ , elle est basée sur l'ensemble  $\mathcal{MMCR}Min$  des éléments minimaux de l'ensemble  $\mathcal{MMCR}$  et sur l'ensemble  $\mathcal{MF}CR$  des motifs fermés corrélés rares. En effet, nous remarquons que la taille de l'ensemble  $\mathcal{MMCR}Min$  ne dépasse jamais la taille de l'ensemble  $|\mathcal{MMCR}|$ . Par exemple, pour la base MUSHROOM pour  $minsupp = 40\%$  et pour  $minbond = 0,15$ , nous avons :  $|\mathcal{MMCR}Min| = 98 < |\mathcal{MMCR}| = 1\ 491$ . Pour la base CHESS,  $minsupp = 20\%$  et  $minbond = 0,60$  :  $|\mathcal{MMCR}Min| = |\mathcal{MMCR}| = 21$ . À cet égard, nous déduisons que dans ce cas, la taille de la représentation  $\mathcal{R}Min\mathcal{MF}$  est égale à la taille de la représentation  $\mathcal{R}MCR$ ,  $|\mathcal{R}Min\mathcal{MF}| = |\mathcal{R}MCR|$ .

Toutefois, nous déduisons, d'après les résultats obtenus, que les représentations  $\mathcal{R}Min\mathcal{MF}$  et  $\mathcal{RMM}ax\mathcal{F}$  offrent d'une manière générale des taux de réduction plus intéressants que la représentation  $\mathcal{R}MCR$ .

Par exemple, la base MUSHROOM présente des taux de réduction intéressants. Pour  $minsupp = 10\%$  et  $minbond = 0,15$  :  $\text{Tx-}\mathcal{R}MCR = 29\%$ ,  $\text{Tx-}\mathcal{RMM}ax\mathcal{F} = 48\%$ ,  $\text{Tx-}\mathcal{R}Min\mathcal{MF} = 56\%$ .

Ces taux peuvent être très proches et des fois égaux, comme le cas de la base PUMSB\*

pour  $minsupp = 40\%$  et  $minbond = 0,65$ , nous avons  $Tx\text{-}\mathcal{R}MCR = 84\%$ ,  $Tx\text{-}\mathcal{R}MMax\mathcal{F} = 85\%$  et  $Tx\text{-}\mathcal{R}Min\mathcal{MF} = 86\%$ .

Il est important de signaler que nous ne pouvons pas affirmer laquelle de ces deux représentations est plus réduite. Toutefois, la représentation la plus concise varie en fonction de la base et des seuils minimaux de corrélation et de fréquence posés. D’ailleurs, pour les exemples considérés précédemment, nous remarquons que la représentation  $\mathcal{R}Min\mathcal{MF}$  est la plus concise. Cependant, dans d’autres cas c’est la représentation  $\mathcal{R}MMax\mathcal{F}$  qui offre le plus de réduction. Considérons la base PUMSB pour  $minbond = 0,80$ . Nous avons pour  $minsupp = 10\%$ ,  $|\mathcal{R}MMax\mathcal{F}|$  est inférieure à  $\mathcal{R}Min\mathcal{MF}$ ,  $|\mathcal{R}MMax\mathcal{F}| = 2\,041$  alors que  $|\mathcal{R}Min\mathcal{MF}| = 2\,045$ .

Nous avons ainsi analysé les cardinalités des représentations  $\mathcal{R}Min\mathcal{MF}$  et  $\mathcal{R}MMax\mathcal{F}$  par rapport à la représentation  $\mathcal{R}MCR$ . Dans la suite nous nous focalisons sur l’étude de la représentation  $\mathcal{R}MinMMax\mathcal{F}$ .

#### 5.3.2.4 Analyse de la cardinalité de la représentation approximative $\mathcal{R}MinMMax\mathcal{F}$

Nous constatons d’après les résultats expérimentaux présentés par les tableaux A.2, A.4 et A.6 de l’annexe A, que pour les différentes bases denses testées et pour tous les seuils de  $minsupp$  et de  $minbond$ , la taille de la représentation concise approximative  $\mathcal{R}MinMMax\mathcal{F}$  ne dépasse pas la taille de la représentation concise exacte  $\mathcal{R}MMax\mathcal{F}$  ou celle de la représentation concise exacte  $\mathcal{R}Min\mathcal{MF}$ .

Par exemple, pour la base MUSHROOM,  $minsupp = 35\%$  et  $minbond = 0,15$ , nous avons  $|\mathcal{R}MinMMax\mathcal{F}| = 104 < |\mathcal{R}Min\mathcal{MF}| = 667 < |\mathcal{R}MMax\mathcal{F}| = 1\,421$ . Pour la base CONNECT,  $minsupp = 86\%$  et  $minbond = 0,8$  :  $|\mathcal{R}MinMMax\mathcal{F}| = 111 < |\mathcal{R}Min\mathcal{MF}| = 263 < |\mathcal{R}MMax\mathcal{F}| = 395$ .

Ces résultats sont justifiés par le fait que la représentation concise approximative correspond à l’union sans redondance des ensembles  $MMCRMin$  et  $MFCRMMax$ . Ce qui implique que  $|\mathcal{R}MinMMax\mathcal{F}| \leq |MMCRMin| + |MFCRMMax|$ . Or  $|MMCRMin| + |MFCRMMax| \leq |MMCR| + |MFCRMMax|$  donc  $\mathcal{R}MinMMax\mathcal{F}$  ne dépasse jamais  $\mathcal{R}MMax\mathcal{F}$ .

De plus,  $|MMCRMin| + |MFCRMMax| \leq |\mathcal{R}Min\mathcal{MF}|$ , donc  $|\mathcal{R}MinMMax\mathcal{F}| \leq |\mathcal{R}Min\mathcal{MF}|$ . Nous déduisons ainsi que la représentation concise approximative est la plus concise.

Désignons par  $Tx\text{-}\mathcal{R}MinMMax\mathcal{F}$  le taux de réduction de la représentation  $\mathcal{R}MinMMax\mathcal{F}$ .

Ce taux est donné en pourcentage et correspond é,  $\text{Tx-}\mathcal{R}\mathcal{M}\text{in}\mathcal{M}\mathcal{M}\text{ax}\mathcal{F} = 1 - \frac{|\mathcal{R}\mathcal{M}\text{in}\mathcal{M}\mathcal{M}\text{ax}\mathcal{F}|}{|\mathcal{M}\mathcal{C}\mathcal{R}|}$ .

Nous constatons d'après les résultats obtenus que, ce taux diffère d'une base à une autre. Par exemple, la base MUSHROOM présente des taux de réduction intéressants. Pour  $\text{minsupp} = 5\%$  et  $\text{minbond} = 0,15$  :  $\text{Tx-}\mathcal{R}\mathcal{M}\text{in}\mathcal{M}\mathcal{M}\text{ax}\mathcal{F} = 78\%$ . La base PUMSB présente des taux de réduction aussi importants. Pour  $\text{minsupp} = 60\%$  et  $\text{minbond} = 0,80$  :  $\text{Tx-}\mathcal{R}\mathcal{M}\text{in}\mathcal{M}\mathcal{M}\text{ax}\mathcal{F} = 43\%$ . Cependant, la base CONNECT présente un taux de réduction nul pour  $\text{minsupp} = 50\%$  et  $\text{minbond} = 0,80$ .

Nous avons ainsi étudié les cardinalités des représentations proposées pour différentes bases denses. Dans ce qui suit, nous nous focalisons sur l'étude des représentations proposées pour des bases éparses.

### 5.3.3 Étude des cardinalités pour des bases éparses

Dans cette section, nous analysons et comparons les cardinalités de l'ensemble  $\mathcal{M}\mathcal{C}\mathcal{R}$  et des différentes représentations concises proposées pour les bases éparses T10I4D100K, T40I10D100K, ACCIDENTS et RETAIL. Nous soulignons que nous nous limitons à une récapitulation de l'analyse de la variation des différentes représentations vu que cette variation est similaire à celle pour des bases denses.

#### 5.3.3.1 Effet de la variation du seuil $\text{minsupp}$

En effet, d'après les résultats expérimentaux présentés par le tableau A.7 de l'annexe A, nous constatons que la taille de l'ensemble  $\mathcal{M}\mathcal{C}\mathcal{R}$  pour les bases éparses est relativement réduite par comparaison à sa taille pour les bases denses. Toutefois, la taille  $|\mathcal{M}\mathcal{C}\mathcal{R}|$  ne dépasse pas  $2\ 703$  pour T10I4D100K et  $4\ 703$  pour la base T40I10D100K. Ces valeurs réduites sont dues à la nature éparse des bases T40I10D100K et T10I4D100K. Cependant, la taille de l'ensemble  $\mathcal{M}\mathcal{C}\mathcal{R}$  est plus importante pour les bases ACCIDENTS et RETAIL. En effet, cet ensemble englobe  $29\ 834$  motifs pour la base RETAIL pour un seuil  $\text{minsupp}$  de  $20\%$  et pour un seuil  $\text{minbond}$  faible de  $0,10$ . Pour la base ACCIDENTS, le nombre de motifs corrélés rares est plus élevé. Nous avons pour  $\text{minsupp} = 50\%$  et  $\text{minbond} = 0,30$ ,  $|\mathcal{M}\mathcal{C}\mathcal{R}| = 142\ 275$ .

Nous constatons aussi que pour un seuil  $\text{minbond}$  fixe, la taille de l'ensemble  $\mathcal{M}\mathcal{C}\mathcal{R}$  croît en augmentant  $\text{minsupp}$ . Par exemple, pour la base T40I10D100K, pour  $\text{minsupp} = 5\%$  et  $\text{minbond} = 0,10$ , nous avons  $|\mathcal{M}\mathcal{C}\mathcal{R}| = 4\ 387$  et pour  $\text{minsupp} = 30\%$  et  $\text{minbond} = 0,10$ , nous avons  $|\mathcal{M}\mathcal{C}\mathcal{R}| = 4\ 703$ .

Il est à remarquer aussi, que la taille de l’ensemble  $\mathcal{MCR}$  varie légèrement pour une variation importante du seuil  $minsupp$  pour les bases T40I10D100K, T10I4D100K et RETAIL. Cependant la base ACCIDENTS, présente un comportement différent. En effet, elle assure une meilleure sensibilité quant au seuil  $minsupp$ . Par exemple, pour  $minbond = 0,30$  nous avons pour  $minsupp = 40\%$ ,  $|\mathcal{MCR}| = 117\ 805$  et pour  $minsupp = 50\%$  nous avons  $|\mathcal{MCR}| = 142\ 275$ .

Analysons à présent les cardinalités des différentes représentations proposées en se basant sur les résultats donnés par le tableau A.8 de l’annexe A.

Nous constatons que les cardinalités des différentes représentations sont presque stables pour chacune des trois bases T10I4D100K, T40I10D100K et RETAIL. Par conséquent, les taux de réduction de ces représentations ne présentent pas une variation marquante. Prenons l’exemple de la base RETAIL pour un seuil  $minbond$  fixe à  $0,15$ . Nous avons pour  $minsupp = 5\%$ ,  $|\mathcal{RMCR}| = 19\ 791$  et  $|\mathcal{RMMaxF}| = 18\ 898$ . Ainsi nous avons les taux suivants,  $Tx\text{-}\mathcal{RMCR} = 13\%$  et  $Tx\text{-}\mathcal{RMMaxF} = 9\%$ . En augmentant le seuil  $minsupp$  à  $50\%$ , nous aurons  $|\mathcal{RMCR}| = 19\ 802$  et  $|\mathcal{RMMaxF}| = 18\ 909$ . Ainsi, les taux demeurent toujours constants,  $Tx\text{-}\mathcal{RMCR} = 13\%$  et  $Tx\text{-}\mathcal{RMMaxF} = 9\%$ .

Il est aussi remarquable que les cardinalités des différentes représentations sont relativement plus variable pour la base ACCIDENTS. En effet, une petite augmentation du seuil  $minsupp$  engendre une augmentation considérable des cardinalités des différentes bases. Par exemple, pour un seuil  $minbond$  fixe à  $0,30$ . Nous avons pour  $minsupp = 30\%$ ,  $|\mathcal{RMCR}| = 686$  et  $|\mathcal{RMinMF}| = 614$ . Ainsi nous avons les taux suivants,  $Tx\text{-}\mathcal{RMCR} = 12\%$  et  $Tx\text{-}\mathcal{RMinMF} = 22\%$ . En augmentant le seuil  $minsupp$  de  $10\%$ , nous aurons  $|\mathcal{RMCR}| = 1\ 722$  et  $|\mathcal{RMinMF}| = 754$ . Ainsi les taux augmentent,  $Tx\text{-}\mathcal{RMCR} = 98\%$  et  $Tx\text{-}\mathcal{RMinMF} = 99\%$ .

### 5.3.3.2 Effet de la variation du seuil $minbond$

Nous nous basons dans cette partie sur les résultats expérimentaux donnés par les tableaux A.9 et A.10 de l’annexe A.

Nous constatons, pour toutes les bases éparées, qu’en augmentant le seuil  $minbond$  pour un seuil fixe de  $minsupp$ , la taille de l’ensemble  $\mathcal{MCR}$  diminue. Par exemple, considérons la base T40I10D100K pour  $minsupp = 25\%$ . Pour  $minbond = 0,05$ , nous avons  $|\mathcal{MCR}| = 40\ 533$ . En augmentant  $minbond$  de  $0,50$  uniquement, la taille  $|\mathcal{MCR}|$  décroît presque de  $90\%$ , nous avons pour  $minbond = 0,10$ ,  $|\mathcal{MCR}| = 4\ 702$ .

L’augmentation du seuil  $minbond$  engendre aussi une diminution des cardinalités des

différentes représentations proposées. Par conséquent, les taux de réduction se dégradent. Considérons, par exemple la base ACCIDENTS pour  $minsupp = 50\%$ . Pour  $minbond = 0,20$ , nous avons  $Tx-RCR = 100\%$ . Ce taux diminue progressivement, pour  $minbond = 0,30$ , nous avons  $Tx-RCR = 98\%$  et pour  $minbond = 0,40$ , nous avons  $Tx-RCR = 95\%$ .

Par opposition à la base ACCIDENTS, les bases éparses T10I4D100K, T40I10D100K et RETAIL présentent toujours des taux de réduction stables même pour une variation importante du seuil  $minbond$ .

Par exemple, la base T40I10D100K, pour  $minsupp = 25\%$  et  $minbond = 0,15$  :  $Tx-RCR = 1\%$ ,  $Tx-RCMaxF = 8\%$ ,  $Tx-RCMinMF = 9\%$  et  $Tx-RCMinMMaxF = 38\%$ . Ces valeurs sont très proches pour la base T10I4D100K. Pour  $minsupp = 25\%$  et  $minbond = 0,15$  :  $Tx-RCR = 1\%$ ,  $Tx-RCMaxF = 8\%$ ,  $Tx-RCMinMF = 9\%$  et  $Tx-RCMinMMaxF = 40\%$ .

Nous remarquons aussi que pour une même base de données, les taux  $Tx-RCMaxF$  et  $Tx-RCMinMF$  sont plus intéressants que le taux  $Tx-RCR$ . Le taux  $Tx-RCMinMMaxF$  est dans la majorité des cas plus élevé que les deux taux précédents.

Considérons par exemple la base RETAIL pour  $minsupp = 20\%$ . Pour  $minbond = 0,10$ , nous avons  $Tx-RCR = 26\%$ ,  $Tx-RCMaxF = 31\%$ ,  $Tx-RCMinMF = 31\%$  et  $Tx-RCMinMMaxF = 45\%$ .

Nous avons ainsi analysé les cardinalités et les taux de réduction des représentations proposées pour différentes bases “benchmark”. Dans ce qui suit, nous étudions les performances de l’algorithme CRPR\_MINER. Nous soulignons que nous présentons uniquement les temps d’extraction des différentes représentations concises proposées afin de comparer ces différents couts d’extraction.

## 5.4 Étude des temps d’extraction des représentations concises proposées

Nous notons que nous nous limitons à l’étude des temps d’extraction uniquement pour les deux bases denses MUSHROOM et PUMSB et pour la base éparses T40I10D100K. Ceci est justifié par le fait que les coûts d’extraction pour les différentes bases évaluées présentent des variations similaires. En effet, nous constatons d’après les résultats obtenus, que pour une base donnée, les temps d’extraction des différentes représentations concises proposées sont proches. Nous désignons par  $Tps-RCR$ ,  $Tps-RCMaxF$ ,

Tps- $\mathcal{RMinMF}$  et par Tps- $\mathcal{RMinMMaxF}$  les temps d'extraction des représentations  $\mathcal{RMCR}$ ,  $\mathcal{RMMaxF}$ ,  $\mathcal{RMinMF}$  et  $\mathcal{RMinMMaxF}$  respectivement.

Nous remarquons que les temps d'extraction diminuent avec l'augmentation de  $minbond$  et augmentent avec l'augmentation de  $minsupp$  étant donné que les tailles des différentes représentations varient dans ce sens aussi. Considérons par exemple la base PUMSB pour un seuil fixe  $minsupp = 10\%$  et pour  $minbond = 0,10$ , nous avons Tps- $\mathcal{RMCR} =$  Tps- $\mathcal{RMMaxF} =$  Tps- $\mathcal{RMinMF} =$  Tps- $\mathcal{RMinMMaxF} = 1\ 627$  secondes. Cette durée d'extraction diminue en augmentant le seuil  $minbond$  de  $0,10$ , nous avons ainsi Tps- $\mathcal{RMCR} =$  Tps- $\mathcal{RMMaxF} =$  Tps- $\mathcal{RMinMF} =$  Tps- $\mathcal{RMinMMaxF} = 385$  secondes. Nous constatons aussi que les coûts d'extraction des différentes représentations pour les bases MUSHROOM et PUMSB sont plus élevés que ceux de la base T40I10D100K. Ceci s'explique par le fait que toutes les représentations proposées présentent des cardinalités plus élevées pour les bases denses que pour les bases éparses et le coût d'extraction de la représentation est proportionnelle à sa taille en nombre de motifs. Autrement dit, plus la taille de la représentation est élevée plus son extraction est coûteuse. Nous affirmons ainsi le compromis existant entre le taux de réduction offert par une représentation concise donnée et son coût d'extraction. Dans ce qui suit, nous proposons une application de la représentation concise exacte  $\mathcal{RMCR}$  dans le cadre de la détection d'intrusions.

## 5.5 Application de la représentation concise exacte $\mathcal{RMCR}$ dans le cadre de la détection d'intrusions

Dans cette section nous présentons le processus d'application de la représentation concise exacte  $\mathcal{RMCR}$  sur des données réelles de détection d'intrusions. Décrivons d'abord les bases de données utilisées.

### 5.5.1 Description des bases de données

Les expérimentations ont été menées sur des bases de données de détection d'intrusions DARPA 1998 <sup>(2)</sup>. Nous nous sommes principalement basés sur la description de ces bases présentée dans [Brahmi, 2008]. Toutefois, ces bases de données sont issues du trafic réseau DARPA 1998 (Defense Advanced Research Projects Agency) et sont orientées détection d'intrusion. Dans chaque base de données, chaque ligne (ou connexion) code un flot de

---

2. Ces bases sont disponibles dans l'adresse suivante : <http://www.ll.mit.edu/mission/communications/ist/corpora/ideval/data/1998data.html>.

données (entre deux instants définis) entre une source et une destination (identifiée chacune par son adresse IP) sous un protocole donné (TCP, UDP). Chaque connexion est caractérisée par dix attributs que nous listons dans la table 5.2.

Les bases de données DARPA 1998 recensent 35 types d'attaques. Ces dernières sont groupées en quatre catégories. Ces catégories sont décrites dans [Ben Amor *et al.*, 2006] comme suit.

- **Le déni de service (DOS)** : Les attaques de type déni de service (Denial of service). Il s'agit d'empêcher les utilisateurs légitimes d'un service de l'utiliser. Comme exemples d'attaque DOS, nous citons "Neptune", "Smurf", "Apache2" et "Pod".
- **Les attaques de reconnaissance (Probing)** : Ces actions ne sont pas destructrices. En effet, elles permettent d'acquérir des informations importantes afin de mener plus tard une vraie attaque. Un exemple d'outils de reconnaissance est "Satan" (Security Administrator Tool for Analyzing Networks) qui est un analyseur de ports TCP/IP et effectue la recherche des failles de sécurité et les défauts de configuration courants.
- **Les attaques de type Remote to Local Access (R2L)** : Ce type d'attaque consiste à exploiter la vulnérabilité du système afin de contrôler la machine distante. Comme exemple de ce type d'attaques, il y a les attaques qui visent les failles des protocoles IMAP (Internet Message Access Protocol), nous citons aussi "Httpunnel" et "Perl".
- **Les attaques de type User to Root (U2R)** : Ce type d'attaque se réalise lorsque l'attaquant essaie d'avoir les droits d'accès à partir d'un poste afin d'accéder au système. Comme exemple de ce type d'attaques, nous citons Rootkit, Ftp\_write, Guess\_passwd et Guest. Les différentes attaques appartenant à chacune de ces catégories sont présentées dans [Ben Amor *et al.*, 2006].

### 5.5.2 Description du processus de traitement des bases de détection d'intrusion

Nous proposons une application de la représentation concise exacte  $\mathcal{RMCR}$  proposée dans le cadre de la détection d'intrusions. Nous décrivons à cet égard la démarche suivie depuis l'extraction de la représentation concise  $\mathcal{RMCR}$  jusqu'à l'étape de la classification basée sur les règles d'association corrélées rares. Ce processus est donné par la figure 5.1 et se réalise en cinq principales phases :

#### Étape 1 : Pré-traitement des bases de données

1.	:	Identifiant de la connexion.
2.	:	Date de la connexion.
3.	:	Instant de début de la connexion.
4.	:	Instant de fin de la connexion.
5.	:	Service.
6.	:	Adresse source de port.
7.	:	Adresse destination de port.
8.	:	Adresse <i>IP</i> source.
9.	:	Adresse <i>IP</i> destination.
10.	:	Label de la connexion.

TABLE 5.2 – Liste des attributs dans les bases DARPA 1998.

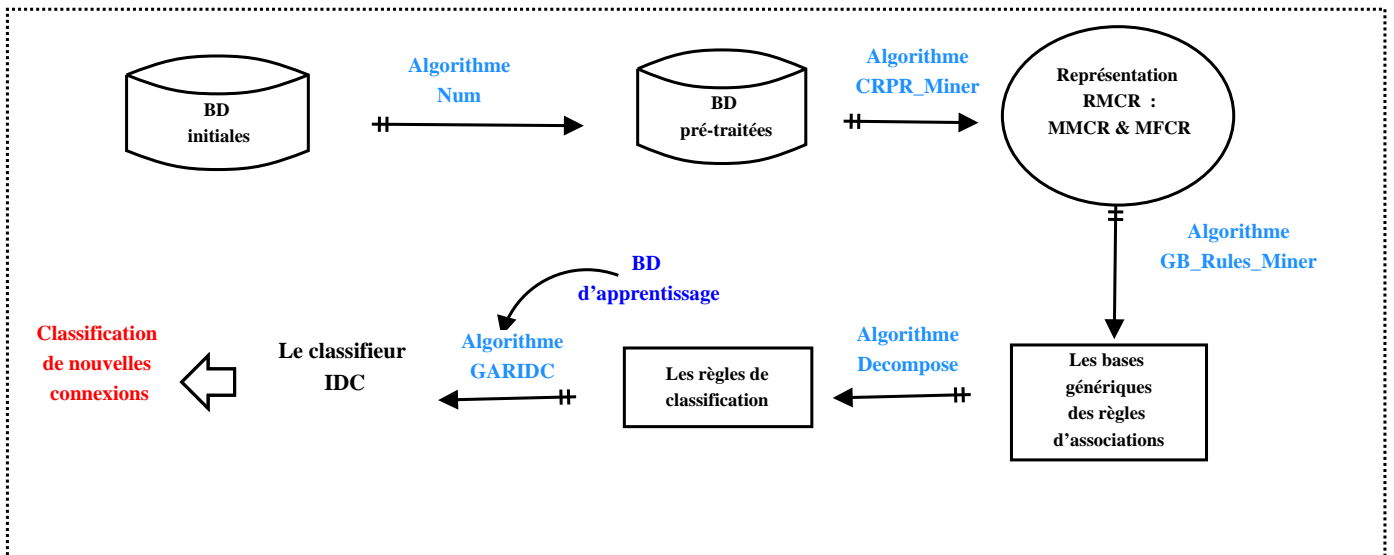


FIGURE 5.1 – Processus de traitement des données depuis l'extraction des motifs jusqu'au la tâche de la classification.

Nous recourons à l'algorithme NUM [Brahmi, 2008] afin de pré-traiter les données en les transformant en des données énumératives ordonnées. Par exemple, la discrétisation de l'attribut "Service" {http, ftp, tcpmux, private, http} correspond à : {1, 2, 3, 4, 1}. Les caractéristiques des bases pré-traitées sont décrites dans la table 5.3.

Base	Nombre d'items	Nombre de transactions	Taille des transactions
DOS	30 128	212 774	6
PROBE	24 353	18 018	6
NORMAL	12 743	59 481	6
U2R	329	466	6
R2L	1 294	1 289	6

TABLE 5.3 – Caractéristiques des bases de données DARPA 1998 pré-traitées.

### Étape 2 : Extraction de la représentation concise exacte $\mathcal{RMCR}$

Ces bases pré-traitées sont communiquées à l'algorithme CRPR\_MINER afin d'extraire la représentation concise exacte  $\mathcal{RMCR}$ . Les motifs minimaux et les motifs fermés corrélés rares sont identifiés d'une manière séparée. Nous désignons par  $\mathcal{NR-MFCR}$  l'ensemble des motifs fermés corrélés rares qui ne sont pas des minimaux. Ces itemsets seront utilisés plus tard dans la phase de génération des règles génériques. Les résultats des expérimentations menées sur les différentes bases utilisées sont donnés par la table 5.4.

Base	Minsupp(%)	Minbond	$ \mathcal{MCR} $	$ \mathcal{MMCR} $	$ \mathcal{MFCR} $	$ \mathcal{NR-MFCR} $
DOS	20	0,80	31 208	30 133	815	801
PROBE	50	0,70	39 688	25 546	4 835	3 097
NORMAL	60	0,60	12 910	12 763	4 664	51
R2L	60	0,60	1 404	1 308	200	54
U2R	60	0,60	434	348	101	45

TABLE 5.4 – Évaluation expérimentale du nombre de motifs extraits pour les différentes bases de détection d'intrusions.

### Étape 3 : Extraction des règles d'association génériques

Cette étape consiste à extraire les règles d'association génériques à partir des ensembles  $\mathcal{MMCR}$  et  $\mathcal{NR-MFCR}$  précédemment identifiés. Désignons par  $Gen$  un motif minimal et

par *Ferme* un motif fermé corrélé rare, toutes les règles d'association de la forme  $Gen \Rightarrow Ferme \setminus Gen$  seront extraites grâce à l'algorithme GB\_RULES\_MINER. Cet algorithme prend en entrée les ensembles  $\mathcal{MMCR}$  et  $\mathcal{MFCR}$  et offre en sortie toutes les règles d'association à prémisse minimale et à conclusion maximale (en terme de nombre d'items) munie chacune de la valeur de son support et de sa confiance. Les règles exactes, ayant une valeur de la confiance égale à 1 forment la base générique des règles exactes, tandis que les règles approximatives, ayant une valeur de la confiance inférieure à 1 forment la base informative des règles approximatives. Toutefois, l'extraction des règles génériques a été motivé par les avantages que présentent ces dernières en terme de compacité et d'informativité [Brahmi, 2008]. Ces règles étant génériques, elles permettent de convoier le maximum d'informations. Nous proposons un exemple dans ce qui suit.

- **R1** :  $service = http \Rightarrow port-source = 35$ .
- **R2** :  $service = tcpmux$  et  $port-destination = 80 \Rightarrow attaque = Neptune$ .
- **R3** :  $protocole = tcp \Rightarrow attaque = Dos$ .
- **R4** :  $service = private$  et  $IP-destination = 209.051.071.32 \Rightarrow IP-source = 172.016.118.48$ .
- **R5** :  $port-destination = 80 \Rightarrow attaque = Neptune$ .

#### Étape 4 : Génération des règles associatives de classification

Cette étape consiste à générer les règles de classification à partir des règles associatives génériques moyennant l'algorithme DECOMPOSE [Brahmi *et al.*, 2008]. En effet, cet algorithme permet de filtrer les règles associatives générées lors de la phase précédente afin de ne garder que les règles les plus intéressantes *c.-é.-d.* celles ayant le label de la classe dans la partie conclusion. En effet, les règles retenues seront encore filtrées afin de ne garder que les règles de classification ayant la prémisse la plus minimale. Ce genre de règles est plus générique et supporte plus de connexions de la base de données. À la fin de cette phase, les règles maintenues correspondent aux règles dont la conclusion englobe la classe voulue et la prémisse est la plus minimale. Par exemple, parmi les règles **R1**, **R2**, **R3**, **R4** et **R5** précédemment proposées, seules les règles **R2**, **R3** et **R5** seront maintenues.

- **R2** :  $service = tcpmux$  et  $protocole = udp$  et  $port-destination = 80 \Rightarrow attaque = Neptune$ .
- **R3** :  $protocole = tcp \Rightarrow attaque = Dos$ .
- **R5** :  $port-destination = 80$  et  $protocole = udp \Rightarrow attaque = Neptune$ .

Nous remarquons que les règles **R2** et **R5** ont la même conclusion ( $attaque = Neptune$ ) et que la prémisse de la règle **R5** est plus minimale que celle de **R2**. Ainsi, la règle **R5**

est plus générique que **R2**, elle sera gardée alors que la règle **R2** sera supprimée.

### Étape 5 : Construction du classifieur à partir des règles génériques de classification

Cette phase consiste à construire le classifieur IDC à partir des règles génériques de classification moyennant l'algorithme GARIDC [Brahmi *et al.*, 2008]. En effet, l'ensemble des règles génériques de classification et la base de données d'apprentissage seront communiqués à l'algorithme GARIDC afin d'alimenter le classifieur. À cet égard, l'ensemble d'apprentissage est parcouru d'une manière séquentielle et pour chaque connexion nous sélectionons la première règle qui couvre cette connexion. Autrement dit, la règle dont la prémisse est incluse ou égale aux attributs de la connexion courante et dont la conclusion est égale à l'étiquette de la connexion courante sera ajoutée au classifieur IDC. À la fin de cette étape, le classifieur englobe toutes les règles qui couvrent toute la base d'apprentissage.

### Étape 6 : Classification de nouvelles connexions

La phase de la classification de nouvelles attaques consiste à affecter à une nouvelle connexion  $C$  la classe de l'attaque qui lui est associée. En effet, les règles de classification dont la prémisse est incluse dans la connexion  $C$  seront extraites. Ensuite, le score de chacune de ces règles sera calculé [Brahmi, 2008] en fonction des valeurs des mesures du support et du lift. La classe attribuée à la connexion  $C$  correspond à la conclusion de la règle présentant la valeur maximale du score. Par exemple, désignons par  $C_1$  une nouvelle connexion,  $C_1$  : port-destination = 80 et protocole = *udp* et IP-source = 010.200.030.040. En considérant les règles **R3** et **R5** extraites lors de la quatrième phase, la classe *Neptune* sera affectée à la connexion  $C_1$ .

### 5.5.3 Évaluation expérimentale de l'efficacité de la classification basée sur les règles d'association corrélées rares

Nous évaluons à présent expérimentalement l'efficacité de la classification basée sur les règles génériques de classification corrélées rares. Les résultats des expérimentations menées sur les différentes bases sont décrites par la table 5.5 et 5.6.

Nous constatons d'après les résultats donnés par la table 5.5 que, le nombre de règles

Base	Minsupp(%)	Minconf	Nombre de règles génériques exactes	Nombre de règles génériques approximatives	Nombre de règles génériques de classification
DOS	20	0,80	1 601	6	5
PROBE	50	0,60	8 514	201	7
NORMAL	60	0,90	105	17	2
R2L	60	0,70	111	15	4
U2R	60	0,80	95	11	7

TABLE 5.5 – Évaluation expérimentale pour les différentes bases de détection d'intrusions.

génériques de classification est plus réduit que le nombre des règles génériques approximatives et exactes. Toutefois, les règles d'association génériques peuvent englober des règles inutiles et non porteuses d'informations. À cet égard, seules les règles intéressantes et qui contribuent à l'amélioration de la tâche de classification seront maintenues.

Base	Taux de détection TD(%)	Taux de fausses alarmes TFA(%)
DOS	98,99	1,00
PROBE	88,01	11,98
NORMAL	100,00	0,00
R2L	88,05	11,94
U2R	90,12	9,87

TABLE 5.6 – Évaluation expérimentale de l'efficacité des règles de classification corrélées rares.

La table 5.6 présente les taux de détection ainsi que les taux de fausses alarmes. Le taux de détection est équivalent au pourcentage de classifications correctes (PCC) et est défini ainsi,  $PCC = \frac{NbrCC}{NbrTotal}$  avec  $NbrCC$  correspond au nombre d'instances correctement classées et  $NbrTotal$  correspond au nombre total d'instances classées. Tandis que le taux de fausses alarmes (TFA) est défini ainsi,  $TFA = \frac{NbrMalC}{NbrTotal}$  avec  $NbrMalC$  correspond au nombre d'instances mal classées.

Nous constatons d'après les résultats donnés par la table 5.6 que les taux de détection de vraies attaques sont intéressants et les taux de fausses alarmes sont faibles pour les cinq catégories de connexions et pour les différents seuils de  $minsupp$  et de  $minconf$ . Nous présentons dans ce qui suit une comparaison entre les taux de détection fournis par les règles génériques corrélées rares de classification et les différentes approches de la littérature.

Il est clair d'après les résultats donnés par la table 5.7 que les taux offerts par les règles génériques corrélées rares sont plus intéressants que ceux des règles génériques fréquentes pour les bases DOS, PROBE et R2L. Toutefois, pour les bases NORMAL et U2R les règles génériques fréquentes présentent les mêmes taux de précision que les règles corrélées rares.

Nous remarquons aussi que la classification basée sur la base IGB des règles fréquentes [Brahmi *et al.*, 2008] présente des taux de précision très proches des taux fournis par les règles corrélées rares pour les classes NORMAL, DOS et U2R. Ces règles fréquentes ont été générées à partir des bases de données DARPA 1998 et diffèrent de notre approche dans le choix des règles à extraire.

Au cas où nous faisons abstraction des conditions d'expérimentations et nous nous limitons aux taux de détection pour chacune des classes d'attaques, les résultats obtenus dans nos expérimentations sont globalement meilleurs que ceux des approches proposées dans [Farid *et al.*, 2010] et dans [Ben Amor *et al.*, 2006]. Ces approches traitent la base de données KDD 1999. En particulier, notre approche présente de meilleurs résultats que l'approche proposée dans [Farid *et al.*, 2010] pour les classes d'attaques NORMAL et DOS. Pour les approches discutées dans [Ben Amor *et al.*, 2006], nos résultats sont plus intéressants pour les classes d'attaques U2R, R2L, NORMAL et DOS.

Base	Les règles génériques corrélées rares	Les règles génériques fréquentes	La base IGB des règles fréquentes [Brahmi <i>et al.</i> , 2008]
DOS	<b>98,99</b>	<b>98,60</b>	<b>99,28</b>
PROBE	<b>88,01</b>	<b>68,20</b>	<b>99,66</b>
NORMAL	<b>100,00</b>	<b>100,00</b>	<b>100,00</b>
R2L	<b>88,05</b>	<b>88,00</b>	<b>98,99</b>
U2R	<b>90,12</b>	<b>90,12</b>	<b>91,41</b>

TABLE 5.7 – Taux de détection en pourcentage obtenus pour différentes approches de détection d'intrusions.

Nous présentons aussi le taux de détection moyen offert par l'approche WIFI MINER [Rahman *et al.*, 2008]. Cette dernière est basée sur les motifs rares pour la détection d'intrusions dans les réseaux informatiques sans fil. Nous constatons d'après les résultats donnés par la table 5.8, que le taux moyen de détection assuré par les règles corrélées rares est plus intéressant que celui de l'approche WIFI MINER. Nous concluons ainsi que les règles génériques corrélées rares constituent un outil de classification efficace dans le cadre de la détection d'intrusions dans les réseaux informatiques.

	Les règles génériques corrélées rares	L'approche WIFI MINER [Rahman <i>et al.</i> , 2008]
Taux moyen de détection TD(%)	<b>93,03</b>	86,00
Taux moyen de fausses alarmes TFA(%)	<b>06,95</b>	14,00

TABLE 5.8 – Comparaison entre les règles génériques corrélées rares de classification et l'approche WIFI MINER basée sur les motifs rares.

## 5.6 Conclusion

Dans ce chapitre, nous avons mené une étude expérimentale des deux algorithmes CRP\_MINER et CRPR\_MINER sur des bases “benchmark” communément utilisées. Nous avons prouvé expérimentalement que les représentations proposées permettent de réduire considérablement le nombre de motifs corrélés rares générés. Nous avons par la suite effectué la génération des règles d'association de classification à partir de ces représentations. La classification basée sur ces règles corrélées rares a présenté de bons résultats et a prouvé l'utilité des représentations concises extraites dans le cadre de la détection d'intrusions.



# Conclusion générale

Dans ce mémoire, nous nous sommes intéressés à la fouille des motifs corrélés rares associés à la mesure *bond*. Ces motifs résultent de la conjonction de deux contraintes de types opposés, à savoir la contrainte anti-monotone de la corrélation et la contrainte monotone de la rareté. Cette nature opposée des contraintes traitées dans ce travail rend complexe la localisation de l'ensemble des motifs corrélés rares. Cet ensemble se différencie ainsi de l'ensemble des motifs induit par une ou plusieurs contraintes de même type. Cette caractéristique constitue la principale originalité de notre contribution. À cet égard, nous avons proposé, dans ce mémoire, une caractérisation de cet ensemble moyennant la notion de classe d'équivalence et nous avons proposé de nouvelles représentations concises de cet ensemble. En effet, nous avons entamé ce mémoire avec la présentation des notions préliminaires relatives aux motifs rares et aux motifs corrélés selon la mesure *bond*. Nous avons tout de même décrit les spécificités des classes d'équivalence induites par l'opérateur de fermeture  $f_{bond}$  associé à la mesure *bond*. Ensuite, nous avons étudié les différentes approches de la littérature traitant de l'extraction des motifs rares ainsi que les approches traitant la problématique de la fouille des motifs corrélés sous contraintes. Nous avons, par la suite, enchaîné avec l'analyse et la critique des approches génériques d'extraction des motifs sous la conjonction de contraintes de types opposés. Une revue profonde des approches réductrices des motifs extraits a été également présentée.

Dans ce sens, nous avons défini rigoureusement l'ensemble des motifs rares corrélés selon la mesure *bond*. Nous avons étudié profondément ses propriétés spécifiques. Par la suite, nous nous sommes basés sur les éléments minimaux et maximaux des classes d'équivalence corrélées rares, afin d'introduire de nouvelles représentations concises des motifs corrélés rares. En effet, nous avons proposé les représentations concises exactes  $\mathcal{RMCR}$ ,  $\mathcal{RMMaxF}$  et  $\mathcal{RMinMF}$  ainsi que la représentation concise approximative  $\mathcal{RMinMMaxF}$ . Une étude minutieuse des propriétés théoriques de ces approches a été également menée. Toutefois, ces représentations permettent d'une part de réduire significativement le nombre de motifs corrélés rares extraits. Elles améliorent aussi leur qualité

et ce en évitant la redondance entre les motifs puisqu'elles ne maintiennent qu'un sous-ensemble sans perte d'information de l'ensemble total des motifs corrélés rares. D'autre part, elles assurent la régénération aisée et efficace de l'ensemble des motifs corrélés rares. Nous avons présenté également l'approche CRP\_MINER d'extraction de l'ensemble total des motifs corrélés rares et l'approche CRPR\_MINER d'extraction des différentes représentations concises proposées. Nous avons aussi démontré les propriétés théoriques de validité, de complétude et de terminaison de l'algorithme CRPR\_MINER et calculé sa complexité théorique. Par ailleurs, nous avons décrit les deux stratégies de régénération à partir de la représentation concise exacte  $\mathcal{RMCR}$ . À cet égard, nous avons suggéré l'algorithme REGENERATE, permettant l'interrogation de cette représentation ainsi que l'algorithme CRPREGENERATION permettant la dérivation de tous les motifs corrélés rares à partir de la représentation  $\mathcal{RMCR}$ . Nous avons prouvé, grâce aux expérimentations réalisées sur différentes bases de test, l'apport bénéfique en terme de compacité des différentes représentations concises proposées. Nous avons effectué la génération des règles d'association de classification à partir de ces représentations. La classification basée sur ces règles corrélées rares a présenté des résultats intéressants et a prouvé l'utilité des représentations concises extraites dans le cadre de la détection d'intrusions.

Les perspectives de travaux futurs concernent :

- L'extraction et l'application dans des cas réels des formes généralisées de règles d'association présentant des conjonctions, des disjonctions, et des négations d'items corrélés rares en prémisse ou en conclusion. Dans cette situation, les représentations proposées offrent l'information concernant les différents supports d'un motif en plus de sa mesure *bond*.
- L'extension de l'approche proposée dans ce travail pour les motifs corrélés rares selon toute autre mesure de corrélation vérifiant les mêmes propriétés que la mesure *bond*, telle que la mesure *all-confidence* [Omicinski, 2003] par exemple. L'évaluation sur la base d'une application réelle de la qualité des motifs corrélés rares associés à chacune de ces mesures est alors une perspective intéressante.
- L'optimisation des algorithmes proposés et la comparaison de leurs performances avec celles des algorithmes de la littérature.

# Bibliographie

- [Adda *et al.*, 2007] ADDA, M., WU, L. et FENG, Y. (2007). Rare itemset mining. *In Proceedings of the 6th IEEE International Conference on Machine Learning and Applications (ICMLA 2007), Cincinnati, Ohio, USA*, pages 73–80.
- [Agrawal et Srikant, 1994] AGRAWAL, R. et SRIKANT, R. (1994). Fast algorithms for mining association rules in large databases. *In Proceedings of the 20th International Conference on Very Large Data Bases (VLDB 1994), Santiago, Chile*, pages 487–499.
- [Ayouni *et al.*, 2010] AYOUNI, S., LAURENT, A., BEN YAHIA, S. et PONCELET, P. (2010). Mining closed gradual patterns. *In International Conference on Artificial Intelligence and Soft Computing (ICAISC) (1)*, pages 267–274. Springer.
- [Ben Amor *et al.*, 2006] BEN AMOR, N., BENFERHAT, S. et ELOUEDI, Z. (2006). Réseaux bayésiens naïfs et arbres de décision dans les systèmes de détection d'intrusions. *Technique et Science Informatiques*, pages 167–196.
- [Ben Younes et Hamrouni, 2010] BEN YOUNES, N. et HAMROUNI, T. (2010). Une revue critique des mesures et algorithmes d'extraction des motifs corrélés de l'état de l'art. *Dans la 10 ième Colloque Africain sur la Recherche en Informatique et en Mathématiques Appliquées (CARI 2010), Yamoussoukro, Cote d'Ivoire*, pages 397–404.
- [Ben Younes *et al.*, 2010a] BEN YOUNES, N., HAMROUNI, T. et BEN YAHIA, S. (2010a). Bridging conjunctive and disjunctive search spaces for mining a new concise and exact representation of correlated patterns. *In Proceedings of the 13th International Conference Discovery Science (DS 2010), LNCS, volume 6332, Springer-Verlag, Canberra, Australia*, pages 189–204.
- [Ben Younes *et al.*, 2010b] BEN YOUNES, N., HAMROUNI, T. et BEN YAHIA, S. (2010b). Extraction efficace d'une nouvelle représentation concise des motifs corrélés à travers la mesure *bond*. *In 12ième Conférence Francophone sur l'Apprentissage Automatique (CAp 2010), Clermont-Ferrand, France*, pages 317–320.

- [Berberidis et Vlahavas, 2007] BERBERIDIS, C. et VLAHAVAS, I. P. (2007). Detection and prediction of rare events in transaction databases. *International Journal on Artificial Intelligence Tools*, 16(5):829–848.
- [Boley et Gärtner, 2009] BOLEY, M. et GÄRTNER, T. (2009). On the complexity of constraint-based theory extraction. In *Proceedings of the 12th International Conference Discovery Science (DS 2009), LNCS, volume 5808, Springer-Verlag, Porto, Portugal*, pages 92–106.
- [Bonchi et al., 2003] BONCHI, F., GIANNOTTI, F., MAZZANTI, A. et PEDRESCHI, D. (2003). Adaptive constraint pushing in frequent pattern mining. In *Proceedings of the 7th European Conference on Principles and Practice of Knowledge Discovery in Databases, (PKDD 2003), Cavtat-Dubrovnik, Croatia*, pages 47–58.
- [Bonchi et al., 2005] BONCHI, F., GIANNOTTI, F., MAZZANTI, A. et PEDRESCHI, D. (2005). Efficient breadth-first mining of frequent pattern with monotone constraints. *Knowledge and Information Systems*, 8(2):131–153.
- [Bonchi et Lucchese, 2006] BONCHI, F. et LUCCHESE, C. (2006). On condensed representations of constrained frequent patterns. *Knowledge and Information Systems*, 9(2):180–201.
- [Booker, 2009] BOOKER, Q. E. (2009). Improving identity resolution in criminal justice data : An application of NORA and SUDA. *Journal of Information Assurance and Security*, 4:403–411.
- [Bouasker et al., 2011] BOUASKER, S., HAMROUNI, T. et BEN YAHIA, S. (2011). Motifs corrélés rares : caractérisation et nouvelles représentations concises exactes. *A paraître dans le Numéro spécial de la RNTI : Qualité des Données et des Connaissances / Évaluation des méthodes d'Extraction de Connaissances dans les Données*.
- [Boulicaut et Jeudy, 2000] BOULICAUT, J. F. et JEUDY, B. (2000). Using constraints during frequent set mining : Should we prune or not ? In *Actes des 16èmes Journées Bases de Données Avancées, (BDA 2000), Blois, France*, pages 221–237.
- [Boulicaut et Jeudy, 2001] BOULICAUT, J.-F. et JEUDY, B. (2001). Mining free itemsets under constraints. In *Proceedings of the 5th International Database Engineering & Applications Symposium (IDEAS 01), IEEE Computer Society Press, Grenoble, France*, pages 322–329.
- [Boulicaut et Jeudy, 2010] BOULICAUT, J.-F. et JEUDY, B. (2010). Constraint-based data mining. In *Data Mining and Knowledge Discovery Handbook (2nd edition), Springer*, pages 339–354.

- [Brahmi, 2008] BRAHMI, I. (2008). Détection d'intrusions dans les réseaux informatiques avec les règles génériques de classification.
- [Brahmi *et al.*, 2010] BRAHMI, I., BEN YAHIA, S. et PONCELET, P. (2010). MAD-IDS : novel intrusion detection system using mobile agents and data mining approaches. *In Pacific-Asia Workshop on Intelligence and Security Informatics (PAISI)*, pages 73–76. Springer.
- [Brahmi *et al.*, 2008] BRAHMI, I., BEN YAHIA, S. et SLIMANI, Y. (2008). Ids-garc : Détection d'intrusions basé sur les règles associatives génériques de classification. *Dans le Colloque Africain sur la Recherche en Informatique et en Mathématiques Appliquées (CARI 2008), Rabat, Maroc.*
- [Brin *et al.*, 1997] BRIN, S., MOTWANI, R. et SILVERSTEIN, C. (1997). Beyond market baskets : generalizing association rules to correlations. *In Proceedings of the ACM-SIGMOD International Conference on Management of Data (SIGMOD 1997), Washington D. C., USA*, pages 265–276.
- [Bucila *et al.*, 2003] BUCILA, C., GEHRKE, J., KIFER, D. et WHITE, W. M. (2003). DUALMINER : A dual-pruning algorithm for itemsets with constraints. *Data Mining knowledge Discovery*, 7(3):241–272.
- [Calders et Goethals, 2007] CALDERS, T. et GOETHALS, B. (2007). Non-derivable itemset mining. *Data Mining and Knowledge Discovery*, 14(1):171–206.
- [Calders *et al.*, 2005] CALDERS, T., RIGOTTI, C. et BOULICAUT, J.-F. (2005). A survey on condensed representations for frequent sets. *In Constraint Based Mining and Inductive Databases, LNAI, volume 3848, Springer-Verlag*, pages 64–80.
- [Casali *et al.*, 2005] CASALI, A., CICHETTI, R. et LAKHAL, L. (2005). Essential patterns : A perfect cover of frequent patterns. *In Proceedings of the 7th International Conference on Data Warehousing and Knowledge Discovery (DaWaK 2005), LNCS, volume 3589, Springer-Verlag, Copenhagen, Denmark*, pages 428–437.
- [Cohen *et al.*, 2000] COHEN, E., DATAR, M., FUJIWARA, S., GIONIS, A., INDYK, P., R. MOTWANI, ULLMAN, J. D. et YANG, C. (2000). Finding interesting associations without support pruning. *In Proceedings of the 16th International Conference on Data Engineering (ICDE 2000), IEEE Computer Society Press, San Diego, California, USA*, pages 489–499.
- [De Raedt *et al.*, 2002] DE RAEDT, L., JAEGER, M., LEE, S. D. et MANNILA, H. (2002). A theory of inductive query answering. *In Proceedings of the 2nd International Confe-*

- rence on Data Mining (ICDM 2002), IEEE Computer Society Press, Maebashi City, Japan, pages 123–130.
- [El-Hajj et Zaïane, 2004] EL-HAJJ, M. et ZAÏANE, O. R. (2004). Cofi approach for mining frequent itemsets revisited. In *Proceedings of the 9th ACM SIGMOD Workshop on Research Issues in Data Mining and Knowledge Discovery, (DMKD 2004), Paris, France, June 2004*.
- [El-Hajj et Zaïane, 2005] EL-HAJJ, M. et ZAÏANE, O. R. (2005). Mining with constraints by pruning and avoiding ineffectual processing. In *Proceedings of the 18th Australian Joint Conference on Artificial Intelligence (AI 2005), LNCS, volume 3809, Springer-Verlag, Sydney, Australia, pages 1001–1004*.
- [El-Hajj et al., 2005] EL-HAJJ, M., ZAÏANE, O. R. et P.NALOS (2005). Bifold constraint-based mining by simultaneous monotone and anti-monotone checking. In *Proceedings of the IEEE 2005 International Conference on Data Mining, Houston, Texas., pages 1001–1004*.
- [Farid et al., 2010] FARID, M., HARBI, N., BAHRI, E., RAHMAN, M. et RAHMAN, C. (2010). Attacks classification in adaptive intrusion detection using decision tree. In *Proceedings of the International Conference on Computer Science (ICCS'10), Rio De Janeiro, Brazil*.
- [Galambos et Simonelli, 2000] GALAMBOS, J. et SIMONELLI, I. (2000). *Bonferroni-type inequalities with applications*. Springer.
- [Ganter et Wille, 1999] GANTER, B. et WILLE, R. (1999). *Formal Concept Analysis*. Springer.
- [Gasmi et al., 2007] GASMI, G., BEN YAHIA, S., NGUIFO, E. M. et BOUKER, S. (2007). Extraction of association rules based on literalsets. In *International Conference on Data Warehousing and Knowledge Discovery (DaWaK)*, pages 293–302. Springer.
- [Grahne et al., 2000] GRAHNE, G., LAKSHMANAN, L. V. S. et WANG, X. (2000). Efficient mining of constrained correlated sets. In *Proceedings of the 16th International Conference on Data Engineering (ICDE 2000), IEEE Computer Society Press, San Diego, California, USA, pages 512–521*.
- [Haglin et Manning, 2007] HAGLIN, D. J. et MANNING, A. M. (2007). On minimal infrequent itemset mining. In *Proceedings of the International Conference on Data Mining (DMIN 2007), Las Vegas, Nevada, USA, pages 141–147*.

- [Hamrouni *et al.*, 2011] HAMROUNI, T., BEN CHAABENE, S. et BEN YAHIA, S. (2011). Réduire pour mieux exploiter : représentations concises et exactes des motifs rares. *In Actes du 7ième Atelier Qualité des Données et des Connaissances, en conjonction avec la 11ième Conférence Internationale Francophone Extraction et Gestion des Connaissances (EGC 2011), 25 - 28 Janvier, Brest, France*, pages 1–12.
- [Hamrouni *et al.*, 2008] HAMROUNI, T., BEN YAHIA, S. et MEPHU NGUIFO, E. (2008). Succinct minimal generators : Theoretical foundations and applications. *International journal of foundations of computer science*, 19(02):271–296.
- [Hamrouni *et al.*, 2009] HAMROUNI, T., BEN YAHIA, S. et MEPHU NGUIFO, E. (2009). Sweeping the disjunctive search space towards mining new exact concise representations of frequent itemsets. *Data & Knowledge Engineering*, 68(10):1091–1111.
- [Hamrouni *et al.*, 2010] HAMROUNI, T., BEN YAHIA, S. et MEPHU NGUIFO, E. (2010). Generalization of association rules through disjunction. *Annals of Mathematics and Artificial Intelligence*, 59(2):201–222.
- [He et Xu, 2005] HE, Z. et XU, X. (2005). Fp-outlier : Frequent pattern based outlier detection. *Computer Science Information System*, 2(1):103–118.
- [Hu et Li, 2009] HU, J. et LI, X. (2009). Association rules mining including weak-support modes using novel measures. *WSEAS Transactions on Computer*, 8:559–568.
- [Huynh *et al.*, 2005] HUYNH, X., GUILLET, F. et BRIAND, H. (2005). Une plateforme exploratoire pour la qualité des règles d’association : Apport pour l’analyse implicative. *In Proceedings de la 3ième Rencontre Internationale Analyse Statistique Implicative 2005*, pages 339–349.
- [Jaccard, 1901] JACCARD, P. (1901). étude comparative de la distribution orale dans une portion des Alpes et des Jura. *Bulletin de la Société Vaudoise des Sciences Naturelles*, 37:547–579.
- [Kim *et al.*, 2004] KIM, W. Y., LEE, Y. K. et HAN, J. (2004). CCMINE : efficient mining of confidence-closed correlated patterns. *In Proceedings of the 8th International Pacific-Asia Conference on Knowledge Data Discovery (PAKDD 2004), Sydney, Australie*, pages 569–579.
- [Kiran et Reddy, 2010] KIRAN, R. U. et REDDY, P. K. (2010). Mining rare association rules in the datasets with widely varying items’ frequencies. *In Proceedings of the 15th International Conference on Database Systems for Advanced Applications (DASFAA 2010), LNCS, volume 5981, Springer-Verlag, Tsukuba, Japan*, pages 49–62.

- [Koh et Rountree, 2005] KOH, Y. et ROUNTREE, N. (2005). Finding sporadic rules using APRIORI-INVERSE. *In Proceedings of the 9th Pacific-Asia Conference on Advances in Knowledge Discovery and Data Mining, Hanoi, Vietnam, May, 2005, volume 3518 of Lecture Notes in Computer Science*, volume 3518, pages 97–106.
- [Koh et Rountree, 2010] KOH, Y. S. et ROUNTREE, N. (2010). *Rare Association Rule Mining and Knowledge Discovery : Technologies for Infrequent and Critical Event Detection*. IGI Global Publisher.
- [Lee et De Raedt, 2004] LEE, S. D. et DE RAEDT, L. (2004). An efficient algorithm for mining string databases under constraints. *In Proceedings of the 3rd International Workshop on Knowledge Discovery in Inductive Databases (KDID 2004), LNCS, volume 3377, Springer-Verlag, Pisa, Italy*, pages 108–129.
- [Lee et al., 2003] LEE, Y. K., KIM, W. Y., CAI, Y. D. et HAN, J. (2003). COMINE : efficient mining of correlated patterns. *In Proceedings of the 3rd International Conference on Data Mining (ICDM 2003), IEEE Computer Society Press, Melbourne, Florida, USA*, pages 581–584.
- [Lei et al., 2003] LEI, J., RENQING, P. et DINGYU, P. (2003). Tough constraint-based frequent closed itemsets mining. *In Proceedings of the 18th Symposium on Applied Computing (SAC 03), ACM Press, New York, USA*, pages 416–420.
- [Liu et al., 1999] LIU, B., HSU, W. et Y.MA (1999). Mining association rules with multiple minimum supports. *In Proceedings of the ACM SIGKDD International Conference on Knowledge Discovery and Data Mining (KDD -99), August, 1999, San Diego, CA, USA*.
- [Ma et Hellerstein, 2001] MA, S. et HELLERSTEIN, J. L. (2001). Mining mutually dependent patterns. *In Proceedings of the IEEE International Conference on Data Mining (ICDM 2001), San Jose, California, USA*, pages 409–406.
- [Mahmood et al., 2010] MAHMOOD, A. N., HU, J., TARI, Z. et LECKIE, C. (2010). Critical infrastructure protection : Resource efficient sampling to improve detection of less frequent patterns in network traffic. *Journal of Network and Computer Applications*, 33(4):491–502.
- [Mannila et Toivonen, 1997] MANNILA, H. et TOIVONEN, H. (1997). Levelwise search and borders of theories in knowledge discovery. *Data Mining and Knowledge Discovery*, 3(1):241–258.

- [Manning *et al.*, 2008] MANNING, A. M., HAGLIN, D. J. et KEANE, J. A. (2008). A recursive search algorithm for statistical disclosure assessment. *Data Mining and Knowledge Discovery*, 16(2):165–196.
- [Okubo et Haraguchi, 2010] OKUBO, Y. et HARAGUCHI, M. (2010). An algorithm for extracting rare concepts with concise intents. In *Proceedings of the 8th International Conference on Formal Concept Analysis (ICFCA 2010)*, LNCS, volume 5986, Springer-Verlag, Agadir, Morocco, pages 145–160.
- [Okubo *et al.*, 2010] OKUBO, Y., HARAGUCHI, M. et NAKAJIMA, T. (2010). Finding rare patterns with weak correlation constraint. In *Proceedings of the 10th IEEE International Conference on Data Mining Workshops (ICDMW 2010)*, Sydney, Australia, December 2010, pages 822–829.
- [Omicinski, 2003] OMIECINSKI, E. (2003). Alternative interest measures for mining associations in databases. *IEEE Transactions on Knowledge and Data Engineering*, 15(1):57–69.
- [Ben Othman et Ben Yahia, 2008] BEN OTHMAN, L. B. et BEN YAHIA, S. (2008). Yet another approach for completing missing values. In *Concept Lattices and Their Applications*, pages 155–169. Springer.
- [Padmanabhan et Tuzhilin, 2006] PADMANABHAN, B. et TUZHILIN, A. (2006). On characterization and discovery of minimal unexpected patterns in rule discovery. *IEEE Transactions on Knowledge and Data Engineering*, 18(2):202–216.
- [Pasquier *et al.*, 2005] PASQUIER, N., BASTIDE, Y., TAOUIL, R., STUMME, G. et LAKHAL, L. (2005). Generating a condensed representation for association rules. *Intelligent Information Systems*, 24(1):25–60.
- [Pei et Han, 2004] PEI, J. et HAN, J. (2004). Constrained frequent pattern mining : a pattern-growth view. *ACM-SIGKDD Explorations*, 4(1):31–39.
- [Rahman *et al.*, 2008] RAHMAN, A., EZEIFE, C. et AGGARWAL, A. (2008). Wifi miner : An online apriori-infrequent based wireless intrusion system. In *Proceedings of the second international Workshop on Knowledge Discovery from Sensor Data, (Sensor-KDD 2008)*, Las Vegas, USA.
- [Roberto et Bayardo, 1998] ROBERTO, J. et BAYARDO, J. (1998). Efficiently mining long patterns from databases. In *Proceedings of the 1998 ACM-SIGMOD International Conference on Management of Data*, pages 85–93.

- [Romero *et al.*, 2010] ROMERO, C., ROMERO, J. R., LUNA, J. M. et VENTURA, S. (2010). Mining rare association rules from e-learning data. *In Proceedings of the 3rd International Conference on Educational Data Mining (EDM 2010), Pittsburgh, PA, USA*, pages 171–180.
- [Sandler et Thomo, 2010] SANDLER, I. et THOMO, A. (2010). Mining frequent highly-correlated item-pairs at very low support levels. *In Proceedings of the SDM'10 Workshop on High Performance Analytics - Algorithms, Implementations, and Applications (PHPA'10), Columbus, Ohio, USA*.
- [Segond et Borgelt, 2011] SEGOND, M. et BORGELT, C. (2011). Item set mining based on cover similarity. *In Proceedings of the 15th Pacific-Asia Conference on Knowledge Discovery and Data Mining (PAKDD 2011), Shenzhen, China (À paraître, accessible à [http://www.borgelt.net/papers/pakdd\\_11.pdf](http://www.borgelt.net/papers/pakdd_11.pdf))*.
- [Surana *et al.*, 2010] SURANA, A., KIRAN, R. U. et REDDY, P. K. (2010). Selecting a right interestingness measure for rare association rules. *In Proceedings of the 16th International Conference on Management of Data (COMAD 2010), Nagpur, India*, pages 115–124.
- [Szathmary, 2006] SZATHMARY, L. (2006). Méthodes symboliques de fouille de données avec la plate-forme Coron. Ph.D. Thesis, École Doctorale IAEM Lorraine, Université Henri Poincaré Nancy 1, France.
- [Szathmary *et al.*, 2006] SZATHMARY, L., MAUMUS, S., PETRONIN, P., TOUSSAINT, Y. et NAPOLI, A. (2006). Vers l'extraction de motifs rares. *In Actes des 6èmes journées Extraction et Gestion des Connaissances (EGC 2006), RNTI, Cépaduès-Éditions, Lille, France*, pages 499–510.
- [Szathmary *et al.*, 2007] SZATHMARY, L., NAPOLI, A. et VALTCHEV, P. (2007). Towards rare itemset mining. *In Proceedings of the 19th IEEE International Conference on Tools with Artificial Intelligence (ICTAI 2007), IEEE Computer Society, 2007, Patras, Greece, Volume 1*, pages 305–312.
- [Szathmary *et al.*, 2010] SZATHMARY, L., VALTCHEV, P. et NAPOLI, A. (2010). Generating rare association rules using the minimal rare itemsets family. *International Journal of Software and Informatics*, 4(3):219–238.
- [Taniar *et al.*, 2008] TANIAR, D., RAHAYU, W., LEE, V. et DALY, O. (2008). Exception rules in association rule mining. *Applied Mathematics and Computation*, 205(2):735–750.

- [Tanimoto, 1958] TANIMOTO, T. T. (1958). An elementary mathematical theory of classification and prediction. *Technical Report, I.B.M. Corporation Report*.
- [Weiss, 2004] WEISS, G. M. (2004). Mining with rarity : A unifying framework. *ACM-SIGKDD Explorations*, 6(1):7–19.
- [Xiong *et al.*, 2004] XIONG, H., SHEKHAR, S., TAN, P.-N. et KUMAR, V. (2004). Exploiting a support-based upper bound of pearson’s correlation coefficient for efficiently identifying strongly correlated pairs. *In Proceedings of the 10th International Conference on Knowledge Discovery and Data Mining (KDD 2004), Seattle, WA, USA*, pages 334–343.
- [Xiong *et al.*, 2006] XIONG, H., TAN, P. N. et KUMAR, V. (2006). Hyperclique pattern discovery. *Data Mining and Knowledge Discovery.*, 13(2):219–242.
- [Yun *et al.*, 2003] YUN, H., HA, D., HWANG, B. et RYU, K. (2003). Mining association rules on significant rare data using relative support. *The Journal of Systems and Software*, 67:181–191.



# Annexe



# Annexe A

## Tableaux des résultats expérimentaux

Dans cet annexe, nous présentons les résultats obtenus suite aux différentes expérimentations réalisées dans l'objectif de comparer les cardinalités des différents ensembles et représentations proposés dans ce travail.

Base	$minsupp$	$minbond$	$ MCR $	$ MCF $	$ MMCR $	$ MFCR $	$ MMCRMin $	$ MFCRMax $
MUSHROOM	5%	0,15	361	100 906	205	167	49	29
	10%	0,15	913	100 354	451	386	73	33
	15%	0,15	3038	98 229	709	558	85	15
	20%	0,15	48 056	53 211	974	578	92	8
	25%	0,15	95 876	5 391	1 223	624	85	9
	30%	0,15	98 566	2 701	1 318	633	91	9
	35%	0,15	100 156	1 111	1 412	652	95	9
	40%	0,15	100 736	531	1 491	648	98	9
	45%	0,15	100 960	307	1 574	670	102	9
	50%	0,15	101 114	153	1 616	684	106	9
	55%	0,15	101 170	97	1 639	694	109	9
	60%	0,15	101 216	51	1 657	702	111	9
	CHESS	10%	0,60	14	255 030	14	14	14
20%		0,60	21	255 023	21	21	21	19
30%		0,60	25	255 019	25	25	25	22
40%		0,60	35	255 009	35	35	35	32
50%		0,60	40	255 004	40	40	38	30
60%		0,60	94	254 950	86	86	41	22
70%		0,60	206 075	48 969	739	188	51	7
80%		0,60	246 762	8 282	1 135	280	55	7
90%		0,60	254 416	628	1 359	355	62	7
95%		0,60	254 966	78	1 424	389	66	7

TABLE A.1 – Cardinalités des ensembles extraits en fonction de  $minsupp$  pour les bases denses CHESS et MUSHROOM.

Base	$minsupp$	$minbond$	$ MCR $	$ \mathcal{R}MCR $	$ \mathcal{R}MMaxF $	$ \mathcal{R}MinMF $	$ \mathcal{R}MinMMaxF $
MUSHROOM	5%	0,15	361	255	220	184	78
	10%	0,15	913	650	478	406	106
	15%	0,15	3 038	1 061	724	587	100
	20%	0,15	48 056	1 300	982	608	100
	25%	0,15	95 876	1 621	1 232	640	94
	30%	0,15	98 566	1 704	1 327	648	100
	35%	0,15	100 156	1 810	1 421	667	104
	40%	0,15	10 0736	1 890	1 500	663	107
	45%	0,15	100 960	1 985	1 583	685	111
	50%	0,15	101 114	2 043	1 625	699	115
	55%	0,15	101 170	2 076	1 648	709	118
	60%	0,15	101 216	2 099	1 666	717	120
CHESS	10%	0,60	14	14	14	14	14
	20%	0,60	21	21	21	21	21
	30%	0,60	25	25	25	25	25
	40%	0,60	35	35	35	35	35
	50%	0,60	40	40	40	40	38
	60%	0,60	94	94	92	86	61
	70%	0,60	206 075	862	746	188	58
	80%	0,60	246 762	1 355	1 142	280	62
	90%	0,60	254 416	1 648	1 366	355	69
	95%	0,60	254 966	1 742	1 431	389	73

TABLE A.2 – Cardinalités des représentations concises extraites en fonction de  $minsupp$  pour les bases denses MUSHROOM et CHESS.

Base	$minsupp$	$minbond$	$ MCR $	$ MCF $	$ MMCR $	$ MFCR $	$ MMCRMin $	$ MFCRMax $
PUMSB	10%	0,80	2 052	143 091	1 993	787	1 978	302
	20%	0,80	2 077	143 876	2 018	812	2 002	304
	30%	0,80	3 260	142 693	2 090	451	2 028	112
	40%	0,80	3 395	142 558	2 126	403	2 042	20
	50%	0,80	3 521	142 432	2 181	412	2 061	19
	60%	0,80	3 655	142 298	2 208	361	2 074	20
	70%	0,80	3 736	142 217	2 240	386	2 079	21
	80%	0,80	3 797	142 156	2 270	411	2 088	10
	85%	0,80	125 420	20 533	2 498	486	2 089	6
	90%	0,80	143 345	2 608	2 754	539	2 093	6
CONNECT	10%	0,80	56	534 026	56	56	56	38
	20%	0,80	70	534 012	70	70	70	45
	30%	0,80	83	533 999	83	83	83	54
	40%	0,80	88	533 994	88	88	88	55
	50%	0,80	91	533 991	91	91	91	57
	60%	0,80	93	533 989	93	93	93	58
	70%	0,80	99	533 983	99	99	99	59
	80%	0,80	171	533 911	108	108	101	25
	82%	0,80	212 291	321 791	223	128	103	6
	86%	0,80	429 051	105 031	389	158	105	6
90%	0,80	506 975	27 107	548	184	108	6	
PUMSB*	5%	0,50	2 087	90 086	2 020	1 082	1 942	64
	10%	0,50	2 126	90 047	2 057	845	1 987	64
	15%	0,50	3 690	88 483	2 105	871	1 994	28
	20%	0,50	11 524	80 649	2 155	882	2 002	1
	25%	0,50	62 641	29 532	2 451	530	2 020	1
	30%	0,50	64 967	27 206	2 517	579	2 028	1
	35%	0,50	65 936	26 237	2 600	657	2 033	1
	40%	0,50	82 413	9 760	2 805	579	2 042	2
	45%	0,50	90 712	1 461	3 051	710	2 050	2
	50%	0,50	91 546	627	3 156	700	2 062	2
55%	0,50	91 868	305	3 206	686	2 069	2	
60%	0,50	92 006	167	3 237	683	2 074	2	
BMS-WEB- VIEW1	1%	0,90	60 002	68	60 002	60 002	60 002	53 366
	2%	0,90	60 049	21	60 049	60 049	60 049	53 366
	4%	0,90	60 065	5	60 065	60 065	60 065	53 366
	6%	0,90	60 067	3	60 067	60 067	60 067	53 366
	8%	0,90	60 070	0	60 070	60 070	60 070	53 366
	10%	0,90	60 070	0	60 070	60 070	60 070	53 366

TABLE A.3 – Cardinalités des ensembles extraits en fonction de  $minsupp$  pour des bases denses.

Base	$minsupp$	$minbond$	$ MCR $	$ RMCR $	$ RMMaxF $	$ RMinMF $	$ RMinMMaxF $
PUMSB	10%	0,80	2 052	2 045	2 041	2 045	2 036
	20%	0,80	2 077	2 070	2 066	2 070	2 061
	30%	0,80	3 260	2 126	2 110	2 083	2 055
	40%	0,80	3 395	2 168	2 136	2 108	2 054
	50%	0,80	3 521	2 240	2 192	2 149	2 074
	60%	0,80	3 655	2 267	2 220	2 162	2 088
	70%	0,80	3 736	2 315	2 253	2 187	2 094
	80%	0,80	3 797	2 354	2 280	2 212	2 098
	85%	0,80	125 420	2 665	2 504	2 287	2 095
	90%	0,80	143 345	2 985	2 760	2 342	2 099
CONNECT	10%	0,80	56	56	56	56	56
	20%	0,80	70	70	70	70	70
	30%	0,80	83	83	83	83	83
	40%	0,80	88	88	88	88	88
	50%	0,80	91	91	91	91	91
	60%	0,80	93	93	93	93	93
	70%	0,80	99	99	99	99	99
	80%	0,80	171	111	111	111	104
	82%	0,80	212 291	224	229	231	109
	86%	0,80	429 051	437	395	263	111
90%	0,80	506 975	620	554	292	114	
PUMSB*	5%	0,80	2 087	2 074	2 037	2 064	1 973
	10%	0,80	2 126	2 113	2 074	2 103	2 018
	15%	0,80	3 690	2 167	2 111	2 129	2 009
	20%	0,80	11 524	2 230	2 156	2 140	2 003
	25%	0,80	62 641	2 548	2 452	2 162	2 021
	30%	0,80	64 967	2 652	2 518	2 211	2 029
	35%	0,80	65 936	2 801	2 601	2 289	2 034
	40%	0,80	82 413	3 012	2 807	2 302	2 044
	45%	0,80	90 712	3 369	3 053	2 421	2 054
	50%	0,80	91 546	3 473	3 158	2 437	2 064
55%	0,80	91 868	3 552	3 208	2 471	2 071	
60%	0,80	92 006	3 589	3 239	2 484	2 076	
BMS-WEB- VIEW1	1%	0,90	60 002	60 002	60 002	60 002	60 002
	2%	0,90	60 049	60 049	60 049	60 049	60 049
	4%	0,90	60 065	60 065	60 065	60 065	60 065
	6%	0,90	60 067	60 067	60 067	60 067	60 067
	8%	0,90	60 070	60 070	60 070	60 070	60 070
	10%	0,90	60 070	60 070	60 070	60 070	60 070

TABLE A.4 – Cardinalités des représentations concises extraites en fonction de  $minsupp$  pour des bases denses.

Base	$minsupp$	$minbond$	$ MCR $	$ MCF $	$ MMCR $	$ MFCR $	$ MMCRMin $	$ MFCRMax $
MUSHROOM	30%	0,10	578 359	2 701	1 798	700	91	6
	30%	0,15	98 566	2 701	1 318	633	91	9
	30%	0,20	52 237	2 701	917	522	91	14
	30%	0,25	4 120	2 701	611	448	91	30
	30%	0,30	674	2 701	382	322	91	28
	30%	0,35	319	1 258	240	230	91	31
	30%	0,40	223	635	176	162	91	20
	30%	0,50	167	204	135	120	91	18
	30%	0,60	134	83	105	92	91	22
	30%	0,70	126	56	97	84	91	22
	30%	0,80	123	47	94	81	91	23
	30%	0,90	122	34	93	80	91	32
	30%	1	119	28	91	79	91	32
PUMSB	80%	0,75	536 153	142 194	2 127	461	2 028	2
	80%	0,80	3 797	142 156	2 270	411	2 088	10
	80%	0,85	2 987	20 550	2 197	375	2 088	24
	80%	0,90	2 760	2 634	2 148	350	2 088	58
	80%	0,95	2 288	188	2 108	331	2 088	82
	80%	1	2 220	29	2 088	339	2 088	206
PUMSB*	40%	0,45	448 318	10 674	3 088	657	2 042	2
	40%	0,50	82 413	9 760	2 805	597	2 042	2
	40%	0,55	39 171	4 571	2 564	553	2 042	3
	40%	0,60	27 084	3 015	2 436	498	2 042	3
	40%	0,65	15 499	2 616	2 344	465	2 042	3
	40%	0,70	7 057	2 042	2 253	444	2 042	3
	40%	0,75	4 880	1 066	2 167	421	2 042	3
	40%	0,80	3 395	370	2 125	403	2 042	3
	40%	0,85	2 736	251	2 090	387	2 042	36
	40%	0,90	2 615	145	2 066	376	2 042	171
	40%	0,95	2 170	118	2 046	371	2 042	193
	40%	1	2 166	54	2 042	367	2 042	208
BMS-WEB-VIEW1	10%	0,10	60 161	0	60 155	60 158	60 070	1 031
	10%	0,30	60 074	0	60 074	60 074	60 070	34 846
	10%	0,50	60 072	0	60 072	60 072	60 070	41 931
	10%	0,70	60 070	0	60 070	60 070	60 070	53 366
	10%	0,90	60 070	0	60 070	60 070	60 070	53 366
	10%	1	60 070	0	60 070	60 070	60 070	53 366

TABLE A.5 – Cardinalités des ensembles extraits en fonction de  $minbond$  pour des bases denses.

Base	$minsupp$	$minbond$	$ MCR $	$ RMCR $	$ RMMaxF $	$ R.MinMF $	$ R.MinM.MaxF $
MUSHROOM	30%	0,10	578 359	2 251	1 804	715	97
	30%	0,15	98 566	1 704	1 327	648	100
	30%	0,20	52 237	1 223	931	567	105
	30%	0,25	4 120	816	637	463	121
	30%	0,30	674	480	395	337	119
	30%	0,35	319	285	251	245	121
	30%	0,40	223	194	184	177	109
	30%	0,50	167	142	138	135	104
	30%	0,60	134	109	108	107	101
	30%	0,70	126	101	100	99	98
	30%	0,80	123	98	97	96	95
	30%	0,90	122	97	96	95	94
	30%	1	119	94	93	94	93
PUMSB	80%	0,75	536 153	2 167	2 129	2 093	2 030
	80%	0,80	3 797	2 354	2 280	2 212	2 098
	80%	0,85	2 987	2 252	2 209	2 176	2 102
	80%	0,90	2 760	2 189	2 162	2 151	2 109
	80%	0,95	2 288	2 143	2 124	2 132	2 110
	80%	1	2 220	2 126	2 124	2 126	2 124
PUMSB*	40%	0,45	448 318	3 353	3 090	2 362	2 044
	40%	0,50	82 413	3 012	2 807	2 302	2 044
	40%	0,55	39 171	2 723	2 567	2 258	2 045
	40%	0,60	27 084	2 547	2 439	2 203	2 045
	40%	0,65	15 499	2 429	2 347	2 170	2 045
	40%	0,70	7 057	2 319	2 256	2 149	2 045
	40%	0,75	4 880	2 219	2 170	2 126	2 045
	40%	0,80	3 395	2 167	2 135	2 108	2 054
	40%	0,85	2 736	2 124	2 100	2 092	2 058
	40%	0,90	2 615	2 097	2 094	2 081	2 077
	40%	0,95	2 170	2 076	2 074	2 076	2 074
	40%	1	2 166	2 072	2 072	2 072	2 072
BMS-WEB- VIEW1	10%	0,10	60 161	60 161	60 161	60 158	60 157
	10%	0,30	60 074	60 074	60 074	60 074	60 074
	10%	0,50	60 072	60 072	60 072	60 072	60 072
	10%	0,70	60 070	60 070	60 070	60 070	60 070
	10%	0,90	60 070	60 070	60 070	60 070	60 070
	10%	1	60 070	60 070	60 070	60 070	60 070

TABLE A.6 – Cardinalités des représentations concises extraites en fonction de  $minbond$  pour des bases denses.

Base	<i>minsupp</i>	<i>minbond</i>	$ MCR $	$ MCF $	$ MMCR $	$ MFCR $	$ MMCRMin $	$ MFCRMax $
T10I4D100K	0,1%	0,10	140	2 563	137	137	73	36
	0,5%	0,10	1 838	865	1 297	1 233	301	57
	1%	0,10	2 319	384	1 635	1 500	495	56
	5%	0,10	2 693	10	2 006	1 866	860	56
	10%	0,10	2 703	0	2 016	1 876	870	56
	15%	0,10	2 703	0	2 016	1 876	870	56
	20%	0,10	2 703	0	2 016	1 876	870	56
	T40I10D100K	5%	0,10	4 387	316	2 189	2 462	641
	10%	0,10	4 621	82	2 413	2 696	860	21
	15%	0,10	4 684	19	2 476	2 759	923	21
	20%	0,10	4 698	5	2 490	2 773	937	21
	25%	0,10	4 702	1	2 494	2 777	941	21
	30%	0,10	4 703	0	2 495	2 778	942	21
RETAIL	5%	0,15	22 835	12	18 869	15 102	16 464	29
	10%	0,15	22 838	9	18 872	15 105	16 465	29
	20%	0,15	22 844	3	18 878	15 111	16 468	29
	40%	0,15	22 845	2	18 879	15 112	16 468	29
	50%	0,15	22 846	1	18 880	15 113	16 469	29
	60%	0,15	22 847	0	18 881	15 114	16 470	29
	80%	0,15	22 847	0	18 881	15 114	16 470	29
	90%	0,15	22 847	0	18 881	15 114	16 470	29
ACCIDENTS	10%	0,30	440	149 894	428	392	393	70
	20%	0,30	485	149 849	473	437	420	68
	30%	0,30	788	149 546	609	569	436	29
	40%	0,30	117 805	32 529	1 485	709	438	23
	50%	0,30	142 275	8 059	1 952	813	444	23
	60%	0,30	148 259	2 075	2 267	923	447	23
	70%	0,30	149 805	529	2 408	992	452	23
	80%	0,30	150 185	149	2 520	1 051	457	23
	90%	0,30	150 303	31	2 564	1 072	463	23

TABLE A.7 – Cardinalités des ensembles extraits en fonction de *minsupp* pour les bases éparses.

Base	<i>minsupp</i>	<i>minbond</i>	$ MCR $	$ RMCR $	$ RMMaxF $	$ RMinMF $	$ RMinMMaxF $
T10I4D100K	0,1%	0,10	140	140	139	137	109
	0,5%	0,10	1 838	1 689	1 351	1 233	358
	1%	0,10	2 319	2 087	1 690	1 500	551
	5%	0,10	2 693	2 457	2 061	1 866	916
	10%	0,10	2 703	2 467	2 071	1 876	926
	15%	0,10	2 703	2 467	2 071	1 876	926
	20%	0,10	2 703	2 467	2 071	1 876	926
	T40I10D100K	5%	0,10	4 387	3 409	2 210	2 462
	10%	0,10	4 621	3 643	2 434	2 696	881
	15%	0,10	4 684	3 706	2 497	2 759	944
	20%	0,10	4 698	3 720	2 511	2 773	958
	25%	0,10	4 702	3 724	2 515	2 777	962
	30%	0,10	4 703	3 725	2 516	2 778	963
RETAIL	5%	0,15	22 835	19 791	18 898	18 031	16 493
	10%	0,15	22 838	19 794	18 901	18 034	16 494
	20%	0,15	22 844	19 800	18 907	18 040	16 497
	40%	0,15	22 845	19 801	18 908	18 041	16 497
	50%	0,15	22 846	19 802	18 909	18 042	16 498
	60%	0,15	22 847	19 803	18 910	18 043	16 499
	80%	0,15	22 847	19 803	18 910	18 043	16 499
	90%	0,15	22 847	19 803	18 910	85 043	16 499
ACCIDENTS	10%	0,30	440	440	436	437	423
	20%	0,30	485	485	481	482	450
	30%	0,30	788	686	635	614	465
	40%	0,30	117 805	1 722	1 508	754	461
	50%	0,30	142 275	2 312	1 975	858	467
	60%	0,30	148 259	2 743	2 290	968	470
	70%	0,30	149 805	2 954	2 431	1 037	475
	80%	0,30	150 185	3 111	2 543	1 096	480
	90%	0,30	150 303	3 167	2 587	1 117	486

TABLE A.8 – Cardinalités des représentations concises extraites en fonction de *minsupp* pour des bases éparées.

Base	$minsupp$	$minbond$	$ MCR $	$ MCF $	$ MMCR $	$ MFCR $	$ MMCR.Min $	$ MFCR.Max $
T10I4D100K	25%	0,05	7 876	0	3 275	2 552	870	29
	25%	0,10	2 703	0	2 016	1 876	870	56
	25%	0,15	1 548	0	1 435	1 402	870	64
	25%	0,20	1 189	0	1 164	1 162	870	66
	25%	0,30	994	0	989	989	870	62
	25%	0,40	925	0	925	925	870	54
	25%	0,50	901	0	901	901	870	81
	25%	0,6	886	0	886	886	870	203
T40I10D100K	25%	0,05	40 533	1	5 129	6 623	941	1
	25%	0,10	4 702	1	2 494	2 777	941	21
	25%	0,15	1 652	1	1 477	1 501	941	77
	25%	0,20	1 175	1	1 163	1 164	941	106
	25%	0,30	991	1	991	991	941	86
	25%	0,40	961	1	961	961	941	280
	25%	0,50	950	1	950	950	941	376
	25%	0,60	945	1	945	945	941	518
RETAIL	20%	0,05	72 498	3	25 966	17 123	16 468	10
	20%	0,10	29 834	3	20 634	15 924	16 468	20
	20%	0,15	22 844	3	18 878	15 111	16 468	29
	20%	0,20	19 515	3	17 754	14 562	16 468	61
	20%	0,30	18 160	3	17 128	14 101	16 468	37
	20%	0,50	17 231	2	16 722	13 784	16 468	72
	20%	0,70	16 736	2	16 470	13 619	16 468	637
	20%	0,90	16 734	2	16 468	13 617	16 468	636
	20%	1	16 734	2	16 468	13 617	16 468	636
ACCIDENTS	50%	0,20	883 311	8 059	2 711	998	444	53
	50%	0,30	142 275	8 059	1 952	813	444	23
	50%	0,40	25 070	8 059	1 030	610	444	16
	50%	0,50	516	8 058	498	463	444	72
	50%	0,60	461	2 105	450	416	444	175
	50%	0,70	456	164	445	411	444	210
	50%	0,80	456	549	445	411	444	210
	50%	0,90	456	50	445	411	444	210
	50%	1	455	24	444	410	444	221

TABLE A.9 – Cardinalités des ensembles extraits en fonction de  $minbond$  pour des bases éparses.

Base	$minsupp$	$minbond$	$ MCR $	$ \mathcal{R}MCR $	$ \mathcal{R}MMaxF $	$ \mathcal{R}MinMF $	$ \mathcal{R}MinMMaxF $
T10I4D100K	25%	0,05	7 876	4 387	3 304	2 552	2 552
	25%	0,10	2 703	2 467	2 071	1 876	926
	25%	0,15	1 548	1 539	1 464	1 402	934
	25%	0,20	1 189	1 189	1 178	1 162	936
	25%	0,30	994	994	991	989	932
	25%	0,40	925	925	925	925	899
	25%	0,50	901	901	901	901	897
	25%	0,60	886	886	886	886	886
	T40I10D100K	25%	0,05	40 533	10 184	5 130	6 623
25%		0,10	4 702	3 724	2 515	2 777	962
25%		0,15	1 652	1 633	1 527	1 501	1 018
25%		0,20	1 175	1 175	1 173	1 164	1 047
25%		0,30	991	991	991	991	979
25%		0,40	961	961	961	961	957
25%		0,50	950	950	950	950	950
25%		0,60	945	945	945	945	945
RETAIL		20%	0,05	72 498	28 641	25 976	20 052
	20%	0,10	29 834	22 180	20 654	18 853	16 488
	20%	0,15	22 844	19 800	18 907	18 040	16 497
	20%	0,20	19 515	18 330	17 813	17 491	16 529
	20%	0,30	18 160	17 497	17 164	17 030	16 505
	20%	0,50	17 231	16 906	16 783	16 713	16 540
	20%	0,70	16 736	16 548	16 518	16 548	16 517
	20%	0,90	16 734	16 546	16 468	16 546	16 516
	20%	1	16 734	16 546	16 516	16 546	16 516
ACCIDENTS	50%	0,20	883 311	3 256	2 764	1 043	497
	50%	0,30	142 275	2 312	1 975	858	467
	50%	0,40	25 070	1 189	1 043	655	460
	50%	0,50	516	516	509	508	478
	50%	0,60	461	461	461	461	460
	50%	0,70	456	456	456	456	456
	50%	0,80	456	456	456	456	456
	50%	0,90	456	456	456	456	456
	50%	1	455	455	455	455	455

TABLE A.10 – Cardinalités des représentations concises extraites en fonction de  $minbond$  pour des bases éparées.